



11 Número de publicación: 2 374 822

51 Int. Cl.: **C12Q 1/00** 

(2006.01)

12)	TRADUCCIÓN DE PATENTE EUROPEA  96 Número de solicitud europea: 05724048 .3  96 Fecha de presentación: 23.02.2005  97 Número de publicación de la solicitud: 1718756  97 Fecha de publicación de la solicitud: 08.11.2006		
	SELECCIÓN DE TOXINAS BO	OTULÍNICAS.	
(30) Prioridad: 24.02.2004 US 54759	1 P	Titular/es: ALLERGAN, INC. 2525 DUPONT DRIVE	

45) Fecha de la publicación del folleto de la patente: 22.02.2012

(45) Fecha de publicación de la mención BOPI:

22.02.2012

74 Agente: Carpintero López, Mario

FERNANDEZ-SALAS, Ester;

**IRVINE CA 92612, US** 

GARY, Patton, E. y AOKI, Kei, Roger

72 Inventor/es:

ES 2 374 822 T3

Aviso: En el plazo de nueve meses a contar desde la fecha de publicación en el Boletín europeo de patentes, de la mención de concesión de la patente europea, cualquier persona podrá oponerse ante la Oficina Europea de Patentes a la patente concedida. La oposición deberá formularse por escrito y estar motivada; sólo se considerará como formulada una vez que se haya realizado el pago de la tasa de oposición (art. 99.1 del Convenio sobre concesión de Patentes Europeas).

# **DESCRIPCIÓN**

Ensayo de selección de toxinas botulínicas

5

10

15

20

25

30

50

55

60

La presente solicitud de patente reivindica la prioridad, de acuerdo con el título 35, artículo 119(e), del Código de Estados Unidos (U.S.C.), para la solicitud provisional con el número de serie 60/547.591, presentado el 24 de febrero de 2004.

Las propiedades miorrelajantes de las toxinas botulínicas (BoNT) se han explotado en una amplia variedad de aplicaciones terapéuticas y cosméticas; véase, por ejemplo, William J. Lipham, COSMETIC AND CLINICAL APPLICATIONS OF BOTULINUM TOXIN (Slack, Inc., 2004). Por ejemplo, se han propuesto terapias con BoNT para tratar distonia: véase, por ejemplo Kei Roger Aoki y col., Method for treating Dystonia with Botulinum Toxin C to G, documento de patente de Estados Unidos Nº 6.319.505 (20 de noviembre, 2001); dolor: véase, por ejemplo, Kei Roger Aoki y col., Method for Treating Pain by Peripheral Administration of a Neurotoxin, documento de patente de Estados Unidos Nº 6.464.986 (15 de octubre, 2002); lesiones musculares: véase, por ejemplo, Gregory F. Brooks, Methods for Treating Muscle Injuries, documento de patente de Estados Unidos Nº 6.423.319 (23 de julio, 2002); enfermedades cardiovasculares: veáse, por ejemplo, Gregory F. Brooks, Methods for Treating Cardiovascular Diseases with Botulinum Toxins, publicación de patente de Estados Unidos Nº 2003/0185860 (2 de octubre, 2003); trastornos neuropsiquiátricos: véase, por ejemplo, Steven Donovan, Therapeutic Treatments for Neuropsychiatric Disorders, publicación de patente de Estados Unidos Nº 2003/0211121 (13 de noviembre, 2003); lumbalgia: véase, por ejemplo, Kei Roger Aoki y col., Botulinum Toxin Therapy for Lower Back Pain, publicación de patente de Estados Unidos Nº 2004/0037852 (26 de febrero, 2004); así como otros trastornos neuromusculares: véase, por ejemplo, Kei Roger Aoki y col., Multiple Botulinum Toxins for Treating Neuromuscular Disorders and Conditions, publicación de patente de Estados Unidos Nº 2001/0021695 (13 de septiembre, 2001); Kei Roger Auki y col., Treatment of Neuromuscular Disorders and Conditions with Different Botulinum, publicación de patente de Estados Unidos Nº 2002/0010138 (24 de enero, 2002); Kei Roger Auki y col., Use of Botulinum Toxins for Treating Various Disorders and Conditions and Associated Pain, publicación de patente de Estados Unidos Nº 2004/0013692 (22 de enero. 2004). Se han extendido otros usos propuestos de BoNT como neuromoduladores biofarmacéuticos, cubriendo una amplia variedad de tratamientos dirigidos a determinados trastornos que carecen de una base neuromuscular. Por ejemplo, los efectos sobre el sistema nervioso autónomo han permitido desarrollar la terapia con el serotipo A de la toxina botulínica (BoNT/A) para el tratamiento de hiperhidrosis o sudoración axilar, e informes indican que la BoNT/A puede ser un tratamiento eficaz para dolor y tensión miofacial, apoplejía, lesión cerebral traumática, parálisis cerebral, trastornos de motilidad grastrointestinal, incontinencia urinaria, cáncer y migrañas. Por último, se conocen ampliamente aplicaciones cosméticas o terapéuticas de otro tipo. De hecho, se prevé que el uso esperado de la BoNT tanto en tratamientos terapéuticos como cosméticos de seres humanos se extenderá a un abanico cada vez más amplio de enfermedades y alimentos que pueden beneficiarse de las propiedades miorrelajantes de estas toxinas.

El uso clínico y terapéutico creciente de toxinas botulínicas precisa de la industria farmacéutica para que realice ensayos precisos de la actividad de BoNT con el fin de, por ejemplo, asegurar formulaciones farmacéuticas precisas y llevar un seguimiento de las normas de control de calidad establecidos. Además, debido al riesgo potencial asociado a cantidades pequeñas de BoNT en productos alimentarios, la industria alimenticia precisa de ensayos de actividad de BoNT, por ejemplo, para validar procedimientos de envasado de nuevos alimentos y para asegurar la inocuidad de los alimentos. Adicionalmente, los ensayos sobre la actividad de BoNT son útiles para identificar moduladores de la actividad de BoNT, por ejemplo, moduladores que reducen la actividad de BoNT que pueden ser útiles como antídotos de tóxinas y moduladores que aumentan la actividad de BoNT que pueden ser útiles para crear formulaciones farmacéuticas más potentes o de mayor duración. La presente invención proporciona ensayos de BoNT novedosos para detectar la presencia de actividad de una BoNT útiles para diversas industrias, tales como, por ejemplo, la industria farmacéutica y la industria alimentaria, y también proporciona ventajas relacionadas.

## Breve descripción de las figuras

**FIG. 1:** muestra un esquema del paradigma actual del mecanismo de intoxicación con BoNT/A. Este proceso de intoxicación puede describirse como un proceso que comprende cuatro etapas: 1) unión al receptor, en la que la BoNT/A se une a un sistema receptor de BoNT/A iniciando el proceso de intoxicación; 2) internalización del complejo, en la que después de la unión de BoNT/A, se produce la endocitosis de una vesícula que contiene el complejo sistema toxina/receptor en la célula; 3) traslocación de la cadena ligera, en la que se piensa que tienen lugar multiples eventos, incluidos cambios en el pH externo de la vesícula, formación de un poro canal que comprende el dominio H<sub>N</sub> de la cadena pesada de BoNT/A, separación de la cadena ligera de BoNT/A de la cadena pesada, activación enzimática de la cadena ligera y liberación de la cadena ligera activada 4) modificación de la diana enzimática, en la que la cadena ligera activada de BoNT/A escinde proteolíticamente sus sustratos de SNARE diana, tales como, por ejemplo, SNAP-25.

**FIG. 2:** muestra un esquema de un FGFR3 y los exones empalmados alternativamente que dan como resultado FGFR3IIIb y FGFR3IIIc La parte superior del diagrama muestra un dibujo generalizado de un FGFR3. El dominio extracelular comprende un péptido señalizador (cuadro etiquetado como SP), tres dominios similares a Ig (bucles etiquetados como IgI, IgII e IgIII) y una caja de ácido (cuadro etiquetado como ácido). Una única región que abarca

la membrana comprende el dominio transmembrana (cuadro etiquetado como TM). La porción citoplásmica del receptor comprende el dominio tirosina quinasa. El diagrama del medio muestra un dibujo generalizado de los exones que codifican una isoforma de FGFR3IIIb, en el que el exón 9 se separa del tránscrito primario durante el procesamiento. El diagrama inferior muestra un dibujo generalizado de los exones que codifican una isoforma de FGFR3IIIc, en el que el exón 8 se separa del tránscrito primario durante el procesamiento.

5

10

15

20

25

35

40

45

50

55

- FIG. 3: muestra los resultados de electroporación de PURE-A en células HIT-T15. La figura 3 muestra los resultados de un ensayo de inhibición de liberación de insulina. El gráfico indica que la adición de glucosa a una concentración 25 mM induce la secreción de insulina por parte de células no tratadas (control) y las células sometidas a electroporación sin la adicion de PURE-A (electroporación No PURE-A). No obstante, las células HIT-TI5 en las que se introdujo PURE-A (electroporación PURE-A) mostraron una disminución en la secreción de insulina que indicaba que estas células no eran sensibles a la inducción de secreción de insulina. La figura 3 muestra el resultado de un ensayo de escisión de SNAP-25. El análisis de inmunotransferencia (Western) identificó la presencia de un producto de escisión de SNAP-25197 de BoNT/A en células tratadas con PURE-A (electroporación PURE-A), pero no en cada control (control y electroporación No PURE-A), con cantidades iguales de proteína cargadas por carril, y se analizó con un anticuerpo que detecta el producto de escisión de SNAP-25197 de BoNT/A.
- **FIG. 4:** muestra los efectos de electroporación de células HIT-T15 con respecto al tiempo. La figura 4a muestra los resultados de un ensayo de inhibición de liberación de insulina que demuestran que la presencia de la toxina retrasa el crecimiento de células HIT-T15 en comparación con los controles, pero las células tratadas con toxina fueron capaces de replicarse normalmente después de un periodo de recuperación. La figura 4b muestra un análisis de inmunotransferencia (Western) que demuestra que la escisión de SNAP-25 se detectó en todos los puntos temporales analizados cuando se introdujo PURE-A en las células, con cantidades iguales de proteína cargadas por carril, y se analizó con un anticuerpo que detecta el producto de escisión de SNAP-25197 de BoNT/A.
- **FIG. 5:** muestra células HIT-T15 transformadas con una biblioteca de ADNc cerebral humano y seleccionadas usando perlas magnéticas a las que se ha unido BoNT/A. Las colonias individuales son visibles en la placa y están rodeadas por perlas magnéticas.
- **FIG. 6:** muestra los resultados de un ensayo de liberación de insulina a partir de células HIT-T15 que contenían el receptor de BONT/A putativo. Las células se expusieron a PURE-A 1 nM y se analizaron para evaluar la inhibición de la liberación de insulina después de estimulación con glucosa.
- **FIG. 7:** muestra el análisis de dos aislados de células HIT-T15 C6 y C7. La figura 7a muestra la reducción de la liberación de insulina en transformantes HIT-T15 representativos C6 y C7 después de la incubación con BONT/A. La figura 7b muestra un análisis de inmunotransferencia (Western) que demuestra que la escisión de SNAP-25 se detectó en clones C6 y C7 incubados con BoNT/A, con cantidades iguales de proteína cargadas por carril, y se analizó con un anticuerpo que detecta el producto de escisión de SNAP- 25197 de BoNT/A.
  - FIG. 8: muestra un análisis de inmunotransferencia (Western) que identifica células con alta afinidad de captación por una toxina clostridial. La figura 8a muestra un análisis de inmunotransferencia (Western) usado para identificar células capaces de captar BoNT/A. La mancha muestra cinco líneas celulares tratadas con una concentración 1 nM de PURE-A durante la noche, con cantidades iguales de proteína cargadas por carril, y se analizaron con un anticuerpo que detecta el producto de escisión de SNAP-25197 de BoNT/A. La figura 8b muestra un análisis de inmunotransferencia (Western) usado para evaluar el tiempo necesario para la captación de BoNT/A. Las manchas muestran bien células Neuro-2A o células SH-SY5Y tratadas con una concentración 1 nM de PURE-A durante varios periodos de tiempo, con cantidades iguales de proteína cargadas por carril, y se analizaron con un anticuerpo que detecta el producto de escisión de SNAP-25197 de BoNT/A. La figura 8c muestra un análisis de inmunotransferencia (Western) usado para evaluar el intervalo de concentración necesario para la captación de BoNT/A. Las manchas muestran células Neuro-2A tratadas con un intervalo de concentraciones de PURE-A durante la noche, con cantidades iguales de proteína cargadas por carril, y se analizaron con un anticuerpo que detecta el producto de escisión de SNAP- 25197 de BoNT/A.
  - **FIG. 9:** muestra un análisis de inmunotransferencia (Western) que evalúa los efectos de tratamientos con gangliósido usados para aumentar la captación de una toxina botulínica. La figura 9a muestra un análisis de inmunotransferencia (Western) que evalúa los efectos del tratamiento con gangliósido sobre la captación de BoNT/A.. La mancha muestra células Neuro-2A tratadas sin o con 25 μg/ml de GT1b (- o +) y que se expusieron durante la noche a tres concentraciones diferentes de BoNT/A (12,5 pM, 25 pM o 50 pM), con cantidades iguales de proteína cargadas por carril, y se analizó con un anticuerpo que detecta el producto de escisión de SNAP-25197 de BoNT/A. La figura 9b muestra un análisis de inmunotransferencia (Western) que evalúan los efectos del tratamiento con ganglósidos sobre la captación de BoNT/E. La mancha muestra células Neuro-2A tratadas con, en cada caso, 25 μg/ml de GT1b, GQ1b GD1a, GD1b o GD3 y expuestas durante aproximadamente 5 horas a una concentración 14 nM de BoNT/E bicatenario, con cantidades iguales de proteína cargadas por cada carril y analizadas con un anticuerpo (SMI-81; Sternberger Monoclonals, Lutherville, MD, Estados Unidos) que detecta el sustrato de SNAP-25180 de BoNT/E.

- **FIG. 10:** muestra los resultados de un experimento de reticulación en células Neuro-2A usando toxina BoNT/A-SBED. La figura 10a muestra el aislamiento de un complejo de aproximadamente 250 kDa a partir de células Neuro-2A que contienen la nuerotoxina de 150 kDa reticulada con el receptor BONT/A putativo. Las bandas se visualizaron con tinción de plata. La figura 10b muestra un análisis de inmunotransferencia (Western) para identificar un receptor de BoNT/A. Las manchas muestran la presencia de una banda única correspondiente a FGFR3 de 97 kDa (primer panel) y dos bandas que corresponden a la holotoxina BoNT/A de 150 kDa y la cadena pesada de BoNT/A de 100 kDa (segundo panel), con cantidades iguales de proteína cargadas por carril, y se analizaron con un anticuerpo que detecta bien FGFR3 o bien BoNT/A.
- **FIG. 11:** muestra un análisis de inmunotransferencia (Western) usado para determinar la presencia de FGFR en cinco líneas celulares diferentes. Sólo los anticuerpos que se unen selectivamente a FGFR3 detectaron bandas que se correlacionaron con líneas celulares que contenían receptor de BoNT/A.
  - FIG. 12: muestra los rsultados de un experimento de competición de receptores en células Neuro-2a usando ligandos PURE-A y FGF. Un análisis de inmunotransferencia (Western) muestra que FGF1 y FGF2 compiten eficazmente con BoNT/A por la unión al receptor de BoNT/A, con cantidades iguales de proteína cargadas por cada carril y se analizaron con un anticuerpo (SMI-81; Sternberger Monoclonals, Lutherville, MD, Estados Unidos) que detecta el sustrato de SNAP-25206 no escindido y el producto de escisión de SNAP-25180 de BoNT/E. La aparición del sustrato de SNAP-25206 no escindido se detectó cuando había presencia de una concentración tan pequeña como 1nM de ligando FGF y era claramente visible cuando se usó había presencia de una concentración 5 nM de ligando FGF. No hubo niveles detectables del producto de escisión de SNAP-25197 de BoNT/A en tratamientos con ligando FGF a una concentración 200 mM.
  - **FIG. 13:** muestra los resultados de los estudios de fosforilación de FGFR3 en células Neuro-2A. La figura 13 a muestra un análisis de inmunotransferencia (Western) que indica la presencia de FGFR3 fosforilado después de una exposición a FGF2 o BoNT/A. La mancha muestra células Neuro-2A tratadas bien con FGF2 5 nM o bien PURE-A 5 nM durante varios periodos de tiempo, con cantidades iguales de proteína cargadas por carril y se analizaron con un anticuerpo que detecta FGFR3. La figura 13b muestra un análisis de inmunotransferencia (Western) que indica al reducción de FGFR3 fosforilado cuando se expone a cantidades crecientes de DMBI. La mancha muestra células Neuro-2A tratadas con FGF2 5 nM durante 10 minutos, con cantidades iguales de proteína cargadas por carril y se analizaron con un anticuerpo que detecta FGFR3 fosforilado. La figura 13c muestra un análisis de inmunotransferencia (Western) que indica la reducción del producto de escisión de SNAP-25<sub>197</sub> cuando se expone a cantidades crecientes de DMBI. Las manchas muestran en cada caso células Neuro-2A tratadas con una concentración 5 nM de PURE-A durante 10 minutos, con cantidades iguales de proteína cargadas por carril, y se analizaron con un anticuerpo que detecta el producto de escisión de SNAP-25<sub>197</sub> de BoNT/A.

# Descripción detallada de la invención

15

20

25

30

35

40

45

50

55

60

La presente invención se basa en la identificación de un receptor de superficie celular al que se une selectivamente BoNT/A como primera etapa para la intoxicación selectiva de una neurona. La presente memoria descriptiva, en parte, divulga que el receptor 3 del factor de crecimiento de fibroblastos (FGFR3) es útil como receptor de BoNT, tal como, por ejemplo, un receptor de BoNT/A. Además, la presente divulgación identifica gangliósidos específicos que facilitan la unión de una BoNT a un receptor de BoNT y la internalización de estas toxinas dentro de la célula neuronal, tal como, por ejemplo, una unión potenciada de BoNT/A por un receptor de BoNT/A usando un gangliósido como GT1b; y una unión potenciada de BoNT/E por un receptor de BoNT/E usando un gangliósido como GQ1b, GD1a, GD1b o GD3.

La presente invención proporciona procedimientos novedosos para detectar la presencia o ausencia de una BoNT/A activa. Los procedimientos novedosos divulgados en la presente memoria descriptiva reducen la necesidad de estudios de toxicidad basados en animales, pero sirven, no obstante, para analizar múltiples funciones de las toxinas, es decir, la unión y la captación celular de la toxina, la translocación en el citosol celular y la actividad de proteasa. Tal como se debate más adelante, los procedimientos nuevos de la presente divulgación pueden usarse para analizar muestras en bruto y heterogéneas, así como toxinas bicatenarias muy purificadas y productos de toxinas formulados y, además, son susceptibles de automatizar formatos de ensayo de alto rendimiento.

Algunos aspectos de la presente invención proporcionan procedimientos para detectar la actividad de BoNT/A poniendo en contacto una muestra con una célula que contiene un FGFR3 exógeno, en los que dicha célula puesta en contacto es capaz de intoxicarse con BoNT/A, y detectando la presencia de la actividad de BoNT/A de dicha célula puesta en contacto con respecto a una célula control, siendo la diferencia en dicha actividad de BoNT/A de dicha célula que se ha puesto en contacto en comparación con dicha célula control indicativa de actividad de BoNT/A. Otros aspectos de la presente invención proporcionan procedimientos para detectar la actividad de BoNT/A poniendo en contacto una muestra con una célula que contiene de forma transitoria un FGFR3 exógeno, en los que dicha célula puesta en contacto es capaz de intoxicarse con BoNT/A, y detectando la presencia de la actividad de BoNT/A de dicha célula puesta en contacto con respecto a una célula control, siendo la diferencia en dicha actividad de BoNT/A de dicha célula que se ha puesto en contacto en comparación con dicha célula control indicativa de actividad de BoNT/A. Otros aspectos de la presente invención proporcionan procedimientos para detectar la actividad de BoNT/A poniendo en contacto una muestra con una célula que contiene de forma estable un FGFR3

# ES 2 374 822 T3

exógeno, en el que dicha célula puesta en contacto es capaz de intoxicarse con BoNT/A, y detectando la presencia de la actividad de BoNT/A de dicha célula puesta en contacto con respecto a una célula control, siendo la diferencia en dicha actividad de BoNT/A de dicha célula que se ha puesto en contacto en comparación con dicha célula control indicativa de actividad de BoNT/A.

- 5 Un aspecto de referencia proporciona procedimientos de reducción de la actividad de BoNT/A en un ser humano que comprenden administrar a dicho ser humano una composición farmacéutica que comprende una molécula que se une selectivamente a un FGFR3, en los que dicha unión selectiva reduce la capacidad de BoNT/A de unirse a dicho FGFR3.
- Otro aspecto de la presente invención proporciona procedimientos para seleccionar una molécula capaz de competir con BoNT/A para unirse selectivamente a células susceptibles de intoxicarse con BoNT/A poniendo en contacto dicha muestra con una composición que comprende un FGFR3 y detectando si dicha molécula se une selectivamente a dicho FGFR3, en los que la unión selectiva de dicha molécula a dicho FGFR3 indica que dicha molécula es capaz de competir con BoNT/A para unirse selectivamente a células susceptibles de intoxicarse con BoNT/A y en los que si dicha molécula es BoNT/A, dichos procedimientos no comprenden un ensayo de DL50.
- Un aspecto de referencia proporciona procedimientos de comercialización de una nuerotoxina capaz de unirse selectivamente al mismo FGFR3 que BoNT/A que comprenden obtener la aprobación de comercialización de una autoridad reguladora gubernamental o regional para una neurotoxina terapeútica, en los que dicha neurotoxina se analiza para evaluar su unión selectiva a una célula que comprende poner en contacto dicha neurotoxina con una composición que comprende un FGFR3 y detectar si dicha neurotoxina se une selectivamente a dicho FGFR3, en los que la unión selectiva de dicha neurotoxina a dicho FGFR3 indica que dicha neurotoxina es capaz de unirse selectivamente a células susceptibles de intoxicarse con BoNT/A y en los que si dicha molécula es BoNT/A, dichos procedimientos no comprenden un ensayo de DL50; envasar dicha neurotoxina para su venta de un modo consecuente con los requerimientos de dicha autoridad reguladora y vender dicha neurotoxina.
- Un aspecto de referencia proporciona procedimientos de comercialización de una neurotoxina capaz de unirse selectivamente al mismo FGFR3 que BoNT/A que comprenden obtener la aprobación de comercialización de una autoridad reguladora gubernamental o regional para una neurotoxina terapeútica, en los que dicha neurotoxina se analiza para evaluar su unión selectiva a una célula que comprende poner en contacto dicha neurotoxina con una célula que contiene un FGFR3 exógeno en los que dicha célula puesta en contacto es capaz de intoxicarse con BoNT/A, y detectar la presencia de actividad de BoNT/A de dicha célula puesta en contacto con relación a una célula control, siendo indicativo de la actividad de BoNT/A una diferencia en la actividad de BoNT/A de dicha célula puesta en contacto en comparación con dicha célula control; envasar dicha neurotoxina para su venta de un modo consecuente con los requerimientos de dicha autoridad reguladora y vender dicha neurotoxina.
- Las BoNT se traducen cada una como un polipéptido monocatenario de aproximadamente 150 kDa que subsiguientemente se escinde mediante escisión proteolítica dentro de un bucle disulfuro por proteasas bacterianas o hísticas. Este procesamiento postraduccional proporciona una molécula bicatenaria que comprende una cadena ligera (LC) de a proximadamente 50 kDa y una cadena pesada (HC) de aproximadamente 100 kDa que están unidas mediante un enlace disulfuro sencillo e interacciones no covalentes. Cada una de las moléculas bicatenarias maduras comprende tres dominios de distinta funcionalidad: 1) un dominio enzimático localizado en la LC que incluye una región de metaloproteasa que contiene una actividad de endopeptidasa dependiente de cinc que está dirigida específicamente a los componentes del núcleo del aparato de liberación de nuerotransmisores; 2) un dominio de translocación incluido dentro de la mitad amino-terminal de la HC (HN) que facilita la liberación de la toxina desde las vesículas intracelulares al citoplasma de la célula diana; y 3) un dominio de unión que se encuentra en la mitad carboxi-terminal de la HC (Hc) que determina la actividad de unión y la especificidad de unión de la toxina al complejo receptor localizado en la superficie de la célula diana.
- Tanto la unión, como la translocación y la actividad enzimática de estos tres dominios funcionales son necesarias 45 para la toxicidad. Aunque todos los detalles de este proceso no son aún conocidos con precisión, el mecanismo de intoxicación celular general por el que las BoNT se introducen en una neurona e inhiben la liberación de neurotransmisores es similar, independientemente del tipo. Aunque los solicitantes no desean estar limitados por la descripción siguiente, el mecanismo de intoxicación puede describirse como un mecanismo de cuatro etapas: 1) 50 unión al receptor, 2) internalización del complejo 3) translocación de la cadena ligera y 4) modificación de la diana enzimática (véase la figura 1). El proceso se inicia cuando el dominio Hc de una BoNT de une a un complejo receptor específico de BoNT localizado en la superficie de la membrana plasmática de una célula diana. Se piensa que la especificidad de unión de un complejo receptor se logra, en parte, mediante combinaciones específicas de gangliósidos y receptores proteicos que parece que comprenden de forma diferente cada complejo receptor de BoNT/A. Una vez unido, los complejos BoNT/receptor se internalizan mediante endocitosis y las vesículas 55 internalizadas se clasifican para rutas intracelulares específicas. La etapa de translocación parece que se desencadena mediante la acidificación del compartimiento de la vesícula. Este proceso parece que inicia dos reordenamientos estructuras dependientes del pH importantes que aumentan la hidrofobicidad y promueven la actividad enzimática de la toxina. Una vez activada, la endopeptidasa de cadena ligera de la toxina se libera desde la vesícula intracelular al citosol, en el que se dirige específicamente a de uno a tres componentes del núcleo 60 conocidos del aparato de liberación de neurotransmisores. Tres de estas proteínas del núcleo, la proteína de

membrana asociada a la vesícula (VAMP)/sinaptobrevina, la proteína asociada al sinaptosoma de 25 kDa (SNAP-25) y la sintaxina, son necesarias para el anclaje a la vesícula sináptica y la fusión en el nervio terminal y constituyen miembros de la familia del receptor de proteína de unión del factor sensible a N-etilmaleimida soluble (SNARE). La proteolisis selectiva de SNARE sinápticas tiene importancia en el bloqueo total de liberación de neurotransmisores provocado por toxinas clostridiales *in vivo*. Las dianas de proteínas SNARE de toxinas clostridiales son comunes a la exocitosis en una variedad de tipos no neuronales, en estas células, así como neuronas, la actividad de la peptidasa de cadena ligera inhibe la exocitosis, véase, por ejemplo, Yann Humeau y col., How Botulinum and Tetanus Neurotoxins Block Neurotransmitter Release, 82(5) Biochimie. 427-446 (2000); Kathryn Turton y col., Botulinum and Tetanus Neurotoxins: Structure, Function and Therapeutic Utility, 27(11) Trends Biochem. Sci. 552-558. (2002); M. Zouhair Atassi, Basic and Therapeutic Aspects of Botulinum and Tetanus Toxins, (Dirk W. Dressler y Joseph J. Jankovic ed., 2003); Giovanna Lalli y col., The Journey of Tetanus and Botulinum Neurotoxins in Neurons, 11(9) Trends Microbiol. 431-437. (2003).

10

15

20

25

30

35

40

45

50

55

60

Las estructuras cristalinas tridimensionales de BoNT/A indican que los tres dominios funcionales de la toxina son estructuralmente distintos; veáse, por ejemplo, Humeau y col., supra, (2000), Turton y col, supra, (2002) y Lalli y col., supra, (2003). El motivo de consenso HEXXH de la cadena ligera forma el bolsillo de unión al cinc tetraédrico del sitio catalítico localizado en una hendidura profunda de la superficie de la proteína que es accesible por un canal. A este motivo de unión a cinc conservado se une al menos un átomo de cinc necesario para su función catalítica. La estructura de los dominios HN y Hc consta principalmente de topologías de lámina □ que están unidas por una hélice □ única. El dominio Hn comprende un plegamiento de rollo de gelatina de barrera □, que semeja el resto de unión a carbohidrato que se encuentra en lectinas, sugiriendo que este dominio puede reconocer moléculas que contienen oligosacáridos y tener un papel en el ordenamiento intracelular. Además de su similaridad estructural general con lectinas, el dominio HN también contiene dos características estructurales distintas que sugieren funciones. Primeramente, el dominio HN contiene un par de hélices anfifáticas largas que semejan el motivo de hélice superenrollada que se encuentra en algunas proteínas víricas. En virus, estas hélices favorecen la fusión de la membrana vírica a la membrana celular del huésped, sugiriendo que la región de hélice superenrollada puede favorecer la inserción del dominio HN en la membrana de una vesícula intracelular. En segundo lugar, un bucle largo denominado "cinturón de translocación" envuelve una hendidura cargada negativamente grande de la cadena ligera que bloquea el acceso del átomo de cinc al bolsillo de unión catalítica del sitio activo. El dominio Hc contiene un sitio de unión a gangliósido y un motivo de cinco restos de unión a gangliósido. Estas regiones adoptan una estructura de plegamiento de tres hojas en □ modificada que forma cuatro regiones de unión a carbohidrato distintas que se cree que median en la unión a moléculas aceptoras específicas que contienen carbohidrato de la superficie celular. De acuerdo con esta función, el domino H<sub>c</sub> muestra la mayor divergencia de secuencia entre toxinas clostridiales que puede considerarse para las distintas propiedades de unión y esquemas de selección de TeNT y BoNT. El dominio Hc se inclina lejos del dominio HN exponiendo los bucles de superficie y haciéndolos accesibles para la unión. Parece que no tiene lugar ningún contacto entre la cadena ligera y el dominio Hc. El extremo N de la región Hc presenta una arquitectura de rollo de gelatina relacionada con la de las eslectinas, una familia de proteínas de unión a carbohidrato. Por el contrario, el extremo C de Hc está en una conformación de tres hojas seudo-triple que presenta similaridad estructural con las interleucinas-1□ y 1□ no relacionadas secuncialmente, inhibidores de tripsina de tipo Kunitz, así como con los factores de crecimiento de fibroblastos (FGF). Estas proteínas, en su mayor parte proteínas 

están implicadas en interacciones proteína-proteína.

Parece que los gangliósidos de la superficie cellular son parte del sistema receptor para la BoNT/A y parece que participan en la unión de la toxina a su receptor de la BoNT/A. Aunque la unión de toxinas no es estrictamente dependiente de la presencia de gangliósidos, la presencia de gangliósidos específicos parece necesaria para una unión de alta afinidad. En particular, se ha observado que los BoNT interactúan in vitro e in vivo con polisialogangliósidos, especialmente los de la serie G1b (GD1a, GD1b, GD3, GQ1b o GT1b), véase, por ejemplo, Jane L. Halpern y Elaine A. Neale, Neurospecific binding, internalization, and retrograde axonal transport, 195 Curr. Top. Microbiol. Immunol. 221-241 (1995). La preincubación de la toxina con estos gangliósidos protege la unión neuromuscular (NMJ) de ratones de la toxicidad producida por BoNT. Los sitios de unión a BoNT de alta afinidad sensibles a tripsina se encontraron en sinaptosomas aislados, véase, por ejemplo R. S. Williams y col., Radioiodination of botulinum neurotoxin type A with retention of biological activity and its binding to brain synaptosomes. 131(2) Eur. J. Biochem. 1437-1445 (1983). Debido a que las lectinas con alta afinidad por el ácido siálico antagonizan la unión de BoNT, sus receptores proteicos pueden ser glucoproteínas. Los receptores para BoNT los dirigirían a vesículas ácidas que permiten la translocación de la LC en el citosol de la neurona. La secuencia de aminoácidos en el extremo C de Hc está poco conservada entre diferentes neurotoxinas clostridiales y experimentos de competición han demostrado que serotipos de BoNT diferentes se unen a receptores proteicos diferentes en la superficie de células neuronales. Por lo tanto, este análisis es consecuente con la hipótesis de que las nuerotoxinas BoNT se unen a sistemas receptores que comprenden al menos dos componentes; un componente proteico y un componente carbohidrato.

Sobre la base de estos hallazgos y tal como da a conocer la presente divulgación, los solicitantes han descubierto que células que expresan el receptor del factor de crecimiento de fibroblastos 3 (FGFR3) pueden unirse a BoNT/A. La internalización de la toxina puede seguirse cuando las líneas celulares están expuestas a la toxina. Además, la internalización de BoNT/A se inhibe de un modo dependiente de la dosis cuando se añade a concentraciones

crecientes FGF, tal como, por ejemplo FGF1, FGF2, FGF4, FGF8 y FGF9. Las células analizadas por los solicitantes que no mostraron el receptor de FGFR3 fueron incapaces de internalizar la toxina, aunque cuando se sometieron a electroporación en presencia de BoNT/A, la escisión intracelular de SNAP-25 podía detectarse, indicando que la actividad de endopeptidas de la toxina permanecía intacta, y que las células seguían siendo susceptibles a la endopeptidasa. Además, los aplicantes han hallado que el pretratamiento con el polisialogangliósido GT1b aumenta la captación celular de BoNT/A.

5

10

15

25

30

35

40

Los factores de crecimiento de fibroblastos (FGF) participan en muchos procesos de desarrollo, diferenciación y crecimiento y de reparación de células mediante las rutas de señalización combinatorias complejas. Actualmente, al menos se conocen 23 ligandos (FGF1-23) para señalizar a través de una familia de cinco receptores FGF de tirosina quinasa transmembranales (FGFR1-4). La identidad de secuencia de aminoácidos está muy conservada entre miembros de la familia FGFR y cada uno comparte una organización estructural característica. La porción extracelular de FGFR comprende un péptido señalizador hidrófobo amino-terminal, tres dominios similares a lg (IgI, IgII y IgIII) y un dominio de caja de ácido de aproximadamente ocho restos ácidos, seguidos de un dominio hidrófobo transmembrana único que, a su vez, está seguido de un dominio tirosina quinasa intracelular (véase la figura 2). La afinidad de FGFR por sus ligandos es muy diversa con distintas afinidades por cada miembro de la familia de factores de crecimiento; véase, por ejemplo, C. J. Powers y col., Fibroblast growth factors, their receptors and signaling 7(3)Endocr. Relat. Cancer. 165-197 (2000). La tabla 1 enumera algunas relaciones de señalización FGF-FGFR conocidas de diversos FGF y sus FGFR.

TABLA 1. Variantes de FGFR								
Variantes	FG	FR1	FGI	FR2	FG	FR3	FGFR4	FGFR4
	IIIb	IIIc	IIIb	IIIc	IIIb	IIIc		
Ligandos	FGF-1 FGF-2 FGF-3 FGF-8 FGF-10	FGF-1 FGF-2 FGF-4 FGF-5 FGF-6 FGF-8 FGF-17	FGF-1 FGF-3 FGF-7 FGF-10	FGF-1 FGF-2 FGF-4 FGF-5 FGF-6 FGF-8 FGF-9 FGF-17	FGF-1 FGF-9	FGF-1 FGF-2 FGF-4 FGF-8 FGF-9	FGF-1 FGF-2 FGF-4 FGF-6 FGF-8 FGF-9	FGF-1 FGF-2
Tejidos	riñón pulmón, mús	o, hueso, , piel, corazón, culo, rona	pulmón,	riñón, piel, hígado, gliales	riñón pulr	o, SNC, , piel, nón, ículo	Pulmón, hígado, riñón	Cerebro, piel pulmón, testículo

Tabla 1- Variantes de FGFR y afinidades de ligandos. Variantes de FGFR, ligandos asociados y distribución en tejidos, véase, por ejemplo, Powers y col., anteriormente, (2000) y Reuss y von Bohlen und Halbach, anteriormente, (2003).

La diversidad en la señalización de FGF más allá de los cinco receptores se logra en parte por la generación de variantes de ayuste alternativas que codifican distintas isoformas de receptores; véase, por ejemplo, Bernhard Reuss y Oliver von Bohlen und Halbach, Fibroblast growth factors and their receptors in the central nervous system, 313(2) Cell Tissue Res. 139-157 (2003). La región proteica que parece que tiene la mayor influencia sobre la especificad de unión a ligandos es una porción del dominio IgIII, para el que se han identificado las isoformas codificadas por tres variantes de ayuste diferentes. Estas tres isoformas, denominadas IgIIIa, IgIIIb e IgIIIc, tienen afinidades de unión relativas por miembros diferentes de la familia FGFR. El ayuste alternativo en el dominio de unión a ligando FGFR, denominado a y b, genera isoformas de receptor adicionales con afinidades por ligandos nuevos. Las isoformas para IgIIIa, IgIIIb e IgIIIc se han identificado tanto para FGFR1 como para FGFR2. Hasta ahora no se ha informado de la isoforma IgIIIa de FGFR3 ni de las isoformas IgIIIa e IgIIIb de FGFR4 y FGFR5.

Tal como se ha mencionado anteriormente, el FGFR3 existe comúnmente en dos isoformas, FGFR3IIIc y FGFR3IIIb, que surgen siguiendo el ayuste alternativo del tránscrito principal en el que se omite bien el exón 8 o bien el exón 9, respectivamente (véase la figura 2). No obstante, existen isoformas adicionales. Por ejemplo, se ha descrito una isoforma de FGFR3 que carece de caja ácida; véase, por ejemplo, Akio Shimizu y col., A novel alternatively spliced fibroblast growth factor receptor 3 isoform lacking the acid box domain is expressed during chondrogenic differentiation of ATDC5 cells, 276(14) J. Biol. Chem. 11031-11040 (2001). En otro ejemplo, se identificó recientemente una isoforma nueva potencialmente citoplásmica, denominada FGFR3S, en la que los exones 8, 9 y 10 están desempalmados creando un FGFR3 que carece de la segunda mitad de IgIIIc y del dominio transmembrana; véase, por ejemplo, L-M. Sturla y col., FGFR3IIIS: a novel soluble FGFR3 spliced variant that modulates growth is frequently expressed in tumour cells, 89(7) Br. J. Cancer 1276-1284 (2003).

Algunos aspectos de la presente invención proporcionan, en parte, un procedimiento de detección de la actividad de BoNT/A poniendo en contacto una muestra con una célula que contiene un FGFR3 exógeno, en el que dicha célula puesta en contacto es capaz de intoxicarse con BoNT/A, y detectando la presencia de la actividad de BoNT/A de dicha célula puesta en contacto con respecto a una célula control, siendo la diferencia en dicha actividad de BoNT/A de dicha célula puesta en contacto en comparación con dicha célula control indicativa de actividad de BoNT/A. En una realización, un procedimiento para detectar la actividad de BoNT/A comprende poner en contacto una muestra con una célula que contiene transitoriamente un FGFR3 exógeno, en el que dicha célula puesta en contacto es capaz de intoxicarse con BoNT/A, y detectar la presencia de la actividad de BoNT/A de dicha célula puesta en contacto, siendo la diferencia en dicha actividad de BoNT/A. En otra realización, un procedimiento para detectar la actividad de BoNT/A comprende poner en contacto una muestra con una célula que contiene de forma estable un FGFR3 exógeno, en el que dicha célula puesta en contacto es capaz de intoxicarse con BoNT/A, y detectar la presencia de la actividad de BoNT/A de dicha célula puesta en contacto, siendo la diferencia en dicha actividad de BoNT/A de dicha célula puesta en contacto, siendo la diferencia en dicha actividad de BoNT/A de dicha célula puesta en contacto, siendo la diferencia en dicha actividad de BoNT/A de dicha célula puesta en contacto, siendo la diferencia en dicha actividad de BoNT/A de dicha célula puesta en contacto, siendo la diferencia en dicha actividad de BoNT/A de dicha célula puesta en contacto, siendo la diferencia en dicha actividad de BoNT/A.

Tal como se usa en el presente documento "serotipo A de toxina botulínica" es sinónimo de "BoNT/A," "tipo A," o terminología similar que se refiera de forma no ambigua a la nuerotoxina Clostridium botulinum de tipo A, significa cualquiera de entre una serie de neurotoxinas polipeptídicas y derivados de las mismas que pueden purificarse a partir de cepas de serotipo A de Clostridium botulinum y que comparten FGFR3 como receptor de superficie celular. Dichas neurotoxinas incluyen las que se encuentran en, o que se corresponden con las cepas y números de acceso enumerados en, la tabla 2.

TABLA 2				
Сера	Nº de acceso			
CL138	AAQ16535			
137	AAQ16534			
129	AAQ16533			
13	AAQ16532			
42N	AAQ16531			
Hall A-hyper	AAM75961			
667Ab	CAA61124			
NCTC 2916	CAA36289			
Allergan-Hall A	AAQ06331			
62A	AAA23262			
Kyoto-F	CAA51824			
NIH NCTC 7272 7103-H tipo A	BAA11051			
Kumgo	AAO21363			

Tal como se usa en el presente documento, la expresión "recepctor del factor de crecimiento de fibroblastos 3" es sinónimo de "FGFR3" y significa un péptido, o peptidomimético de, FGFR3 que se une a BoNT/A de un modo tal que facilite una respuesta por intoxicación con BoNT/A. Los FGFR3 útiles en la presente invención abarcan, sin suponer limitación, FGFR3 natural, variantes de FGFR3 de origen natural, variantes de FGFR3 no naturales, tales como, por ejemplo, variantes producidas por ingeniería genética mediante mutagénesis aleatoria o diseño racional, y fragmentos activos derivados de FGFR3. Como ejemplo no limitantes, un FGFR3 humano, variantes de FGFR3 humano de origen natural, variantes de FGFR3 humano no naturales y fragmentos de FGFR3 humano que mantienen la capacidad de unirse selectivamente a BoNT/A y median el proceso de intoxicación, pueden ser útiles como receptores de BoNT/A en aspectos de la presente invención. En otro ejemplo no limitante, un FGFR3 bovino, variantes de FGFR3 bovino que mantienen la capacidad de unirse selectivamente a BoNT/A y median el proceso de intoxicación, pueden ser útiles como receptores de BoNT/A en aspectos de la presente invención. En otro ejemplo no limitante, un FGFR3 de rata, variantes de FGFR3 de rata no naturales y fragmentos de

FGFR3 de rata que mantienen la capacidad de unirse selectivamente a BoNT/A y median el proceso de intoxicación, pueden ser útiles como receptores de BoNT/A en aspectos de la presente invención. En otro ejemplo no limitante más, un FGFR3 de ratón, variantes de FGFR3 de ratón de origen natural, variantes de FGFR3 de ratón no naturales y fragmentos de FGFR3 de ratón que mantienen la capacidad de unirse selectivamente a BoNT/A y median el proceso de intoxicación, pueden ser útiles como receptores de BoNT/A en aspectos de la presente invención. En otro ejemplo no limitante, un FGFR3 de pollo, variantes de FGFR3 de pollo de origen natural, variantes de FGFR3 de pollo no naturales y fragmentos de FGFR3 de pollo que mantienen la capacidad de unirse selectivamente a BoNT/A y median el proceso de intoxicación, pueden ser útiles como receptores de BoNT/A en aspectos de la presente invención. En otro ejemplo no limitante, un FGFR3 de rana, variantes de FGFR3 de rana de origen natural, variantes de FGFR3 de rana no naturales y fragmentos de FGFR3 de rana que mantienen la capacidad de unirse selectivamente a BoNT/A y median el proceso de intoxicación, pueden ser útiles como receptores de BoNT/A en aspectos de la presente invención. En otro ejemplo no limitante, un FGFR3 de tritón, variantes de FGFR3 de tritón de origen natural, variantes de FGFR3 de tritón no naturales y fragmentos de FGFR3 de tritón que mantienen la capacidad de unirse selectivamente a BoNT/A y median el proceso de intoxicación, pueden ser útiles como receptores de BoNT/A en aspectos de la presente invención. En otro ejemplo no limitante, un FGFR3 de pez cebra, variantes de FGFR3 de pez cebra de origen natural, variantes de FGFR3 de pez cebra no naturales y fragmentos de FGFR3 de pez cebra que mantienen la capacidad de unirse selectivamente a BoNT/A y median el proceso de intoxicación, pueden ser útiles como receptores de BoNT/A en aspectos de la presente invención. Se entiende también que ambas moléculas de ácido nucleico, ADN y ARN, que codifican un FGFR3 divulgado en la presente memoria descriptiva y moléculas peptídicas o peptidomiméticos que comprenden un FGFR3 divulgado en la presente memoria descriptiva son útiles en aspectos de la presente invención. SEC ID N.º 1, 3, 5, 7, 9, 11, 13, 15, 17, 19, 21, 23, 25 y 27 divulgan moléculas de ácido nucleico que codifican representantes de FGFR3 útiles en aspectos de la presente invención, mientras que SEC ID Nº: 2, 4, 6, 8, 10, 12, 14, 16, 18, 20, 22, 24, 26 y 28 divulgan moléculas peptídicas representantes de FGFR3 útiles en aspectos de la presente invención.

10

15

20

35

40

45

50

55

60

Tal como se usa en el presente documento, el término "peptidomimético" se usa de forma amplia para referirse a moléculas similares a péptidos que se unen selectivamente a BoNT/A como el receptor de BoNT/A peptídico sobre el que se basan estructuralmente. Dichos peptidomiméticos incluyen péptidos químicamente modificados, moléculas similares a péptidos que contienen aminoácidos de origen no natural y peptoides, que son moléculas similares a péptidos que son el resultado del ensamble oligomérico de glicinas N-sustituidas, y que se unen selectivamente a BoNT/A como el sustrato peptídico del que derivan los peptidomiméticos; véase, por ejemplo, Goodman y Ro, Peptidomimetics for Drug Design, en "Burger's Medicinal Chemistry and Drug Discovery" Vol. 1 (ed. M.E. Wolff; John Wiley y Sons, 1995), páginas 803-861).

Se conocen en la técnica una variedad de peptidomiméticos, incluidos, por ejemplo, moléculas similares a péptidos que contienen un aminoácido constreñido, un componente no peptídico que imita la estructura secundaria peptídica o un isóstero de enlace amida. Un peptidomimético que contiene un aminoácido de origen no natural constreñido puede incluir, por ejemplo, un aminoácido ¬metilado; una ¬¬dialquil-glicina o ácido ¬aminocicloalcano carboxílico; un aminoácido ¬¬metilado; un aminoácido ¬¬metilado; un ácido ¬¬metilado; un ácido ¬¬metilado; un aminoácido ¬¬metilado; un aminoácido ¬¬metilado; un aminoácido ¬¬metilado; un 2,3-metano aminoácido ¬¬metilado; un aminoácido ¬¬metilado; un 2,3-metano aminoácido. Además, un peptidomimético que imita la estructura secundaria peptídica puede contener, por ejemplo, un imitador del giro ¬¬mo peptídico; imitador de giro ¬¬metilador de la estructura de lámina ¬¬metilador de la estructura helicoidal, cada uno de los cuales es bien conocido en la técnica. Un péptidomimético también puede ser una molécula similar a péptido que contiene, por ejemplo, un isóstero de enlace amida tal como una modificación retro-inversa; enlace amida reducido; enlaces metilentioéter o metilensulfóxido; enlace metilenéter; enlace etileno; enlace tioamida; enlace transolefínico o fluroolefínico; anillo de tetrazol 1,5-disustituido; enlace cetometileno o flurorocetometileno u otro isóstero de amida. Un experto en la técnica entiende que estos y otros peptidomiméticos están incluidos dentro del significado del término "peptidomimético" tal como se usa en el presente documento.

De este modo, en algunos aspectos de la presente invención, el FGFR3 puede ser un FGFR3IIIb humano que se une selectivamente a BoNT/A que tiene, por ejemplo, al menos el 70 % de identidad de aminoácidos con el FGFR3 de SEC ID Nº: 2, al menos el 75 % de identidad de aminoácidos con el FGFR3 de SEC ID Nº: 2, al menos el 80 % de identidad de aminoácidos con el FGFR3 de SEC ID Nº: 2, al menos el 85 % de identidad de aminoácidos con el FGFR3 de SEC ID Nº: 2 o al menos el 95 % de identidad de aminoácidos con el FGFR3 de SEC ID Nº: 2 o al menos el 95 % de identidad de aminoácidos con el FGFR3 de SEC ID Nº: 2. En otros aspectos de la presente realización, el FGFR3 es un FGFR3IIIb humano que se une selectivamente a BoNT/A que tiene, por ejemplo, como máximo, una, dos, tres, cuatro, cinco, seis, siete, ocho, nueve o diez sustituciones de aminoácidos con relación al FGFR3 de SEC ID Nº: 2.

En otros aspectos de la presente invención, el FGFR3 puede ser un FGFR3IIIc humano que se une selectivamente a BoNT/A que tiene, por ejemplo, al menos el 70 % de identidad de aminoácidos con el FGFR3 de SEC ID Nº: 4, al menos el 75 % de identidad de aminoácidos con el FGFR3 de SEC ID Nº: 4, al menos el 80 % de identidad de aminoácidos con el FGFR3 de SEC ID Nº: 4, al menos el 85 % de identidad de aminoácidos con el FGFR3 de SEC ID Nº: 4, al menos el 90 % de identidad de aminoácidos con el FGFR3 de SEC ID Nº: 4 o al menos el 95 % de

identidad de aminoácidos con el FGFR3 de SEC ID Nº: 4. En otros aspectos de la presente realización, el FGFR3 es un FGFR3IIIc humano que se une selectivamente a BoNT/A que tiene, por ejemplo, como máximo, una, dos, tres, cuatro, cinco, seis, siete, ocho, nueve o diez sustituciones de aminoácidos con relación al FGFR3 de SEC ID Nº: 4.

En otros aspectos de la presente invención, el FGFR3 puede ser un FGFR3IIIS humano que se une selectivamente a BoNT/A que tiene, por ejemplo, al menos el 70 % de identidad de aminoácidos con el FGFR3 de SEC ID N°: 6, al menos el 75 % de identidad de aminoácidos con el FGFR3 de SEC ID N°: 6, al menos el 80 % de identidad de aminoácidos con el FGFR3 de SEC ID N°: 6, al menos el 85 % de identidad de aminoácidos con el FGFR3 de SEC ID N°: 6 o al menos el 95 % de identidad de aminoácidos con el FGFR3 de SEC ID N°: 6 o al menos el 95 % de identidad de aminoácidos con el FGFR3 de SEC ID N°: 6. En otros aspectos de la presente realización, el FGFR3 es un FGFR3IIIS humano que se une selectivamente a BoNT/A que tiene, por ejemplo, como máximo, una, dos, tres, cuatro, cinco, seis, siete, ocho, nueve o diez sustituciones de aminoácidos con relación al FGFR3 de SEC ID N°: 6.

5

10

15

30

35

40

55

60

En otros aspectos de la presente invención, el FGFR3 puede ser un FGFR3IIIc bovino que se une selectivamente a BoNT/A que tiene, por ejemplo, al menos el 70 % de identidad de aminoácidos con el FGFR3 de SEC ID Nº: 8, al menos el 75 % de identidad de aminoácidos con el FGFR3 de SEC ID Nº: 8, al menos el 80 % de identidad de aminoácidos con el FGFR3 de SEC ID Nº: 8, al menos el 85 % de identidad de aminoácidos con el FGFR3 de SEC ID Nº: 8 o al menos el 95 % de identidad de aminoácidos con el FGFR3 de SEC ID Nº: 8 o al menos el 95 % de identidad de aminoácidos con el FGFR3 de SEC ID Nº: 8. En otros aspectos de la presente realización, el FGFR3 es un FGFR3IIIc bovino que se une selectivamente a BoNT/A que tiene, por ejemplo, como máximo, una, dos, tres, cuatro, cinco, seis, siete, ocho, nueve o diez sustituciones de aminoácidos con relación al FGFR3 de SEC ID Nº: 8.

En otros aspectos de la presente invención, el FGFR3 puede ser un FGFR3IIIc de ratón que se une selectivamente a BoNT/A que tiene, por ejemplo, al menos el 70 % de identidad de aminoácidos con el FGFR3 de SEC ID №: 10, al menos el 80 % de identidad de aminoácidos con el FGFR3 de SEC ID №: 10, al menos el 80 % de identidad de aminoácidos con el FGFR3 de SEC ID №: 10, al menos el 80 % de identidad de aminoácidos con el FGFR3 de SEC ID №: 10, al menos el 90 % de identidad de aminoácidos con el FGFR3 de SEC ID №: 10 o al menos el 95 % de identidad de aminoácidos con el FGFR3 de SEC ID №: 10. En otros aspectos de la presente realización, el FGFR3 es un FGFR3IIIc de ratón que se une selectivamente a BoNT/A que tiene, por ejemplo, como máximo, una, dos, tres, cuatro, cinco, seis, siete, ocho, nueve o diez sustituciones de aminoácidos con relación al FGFR3 de SEC ID №: 10.

En otros aspectos de la presente invención, el FGFR3 puede ser un FGFR3IIIc de ratón que se une selectivamente a BoNT/A que tiene, por ejemplo, al menos el 70 % de identidad de aminoácidos con el FGFR3 de SEC ID Nº: 12, al menos el 80 % de identidad de aminoácidos con el FGFR3 de SEC ID Nº: 12, al menos el 80 % de identidad de aminoácidos con el FGFR3 de SEC ID Nº: 12, al menos el 90 % de identidad de aminoácidos con el FGFR3 de SEC ID Nº: 12 o al menos el 95 % de identidad de aminoácidos con el FGFR3 de SEC ID Nº: 12 o al menos el 95 % de identidad de aminoácidos con el FGFR3 de SEC ID Nº: 12. En otros aspectos de la presente realización, el FGFR3 es un FGFR3IIIc de ratón que se une selectivamente a BoNT/A que tiene, por ejemplo, como máximo, una, dos, tres, cuatro, cinco, seis, siete, ocho, nueve o diez sustituciones de aminoácidos con relación al FGFR3 de SEC ID Nº: 12.

En otros aspectos de la presente invención, el FGFR3 puede ser un FGFR3-delAcid de ratón que se une selectivamente a BoNT/A que tiene, por ejemplo, al menos el 70 % de identidad de aminoácidos con el FGFR3 de SEC ID Nº: 14, al menos el 75 % de identidad de aminoácidos con el FGFR3 de SEC ID Nº: 14, al menos el 80 % de identidad de aminoácidos con el FGFR3 de SEC ID Nº: 14, al menos el 85 % de identidad de aminoácidos con el FGFR3 de SEC ID Nº: 14, al menos el 90 % de identidad de aminoácidos con el FGFR3 de SEC ID Nº: 14 o al menos el 95 % de identidad de aminoácidos con el FGFR3 de SEC ID Nº: 14. En otros aspectos de la presente realización, el FGFR3 es un FGFR3-delAcid de ratón que se une selectivamente a BoNT/A que tiene, por ejemplo, como máximo, una, dos, tres, cuatro, cinco, seis, siete, ocho, nueve o diez sustituciones de aminoácidos con relación al FGFR3 de SEC ID Nº: 14.

En otros aspectos de la presente invención, el FGFR3 puede ser un FGFR3IIIIb de rata que se une selectivamente a BoNT/A que tiene, por ejemplo, al menos el 70 % de identidad de aminoácidos con el FGFR3 de SEC ID N°: 16, al menos el 80 % de identidad de aminoácidos con el FGFR3 de SEC ID N°: 16, al menos el 80 % de identidad de aminoácidos con el FGFR3 de SEC ID N°: 16, al menos el 90 % de identidad de aminoácidos con el FGFR3 de SEC ID N°: 16 o al menos el 95 % de identidad de aminoácidos con el FGFR3 de SEC ID N°: 16. En otros aspectos de la presente realización, el FGFR3 es un FGFR3IIIb de rata que se une selectivamente a BoNT/A que tiene, por ejemplo, como máximo, una, dos, tres, cuatro, cinco, seis, siete, ocho, nueve o diez sustituiciones aminoacídicas con relación al FGFR3 de SEC ID N°: 16.

En otros aspectos de la presente invención, el FGFR3 puede ser un FGFR3IIIc de rata que se une selectivamente a BoNT/A que tiene, por ejemplo, al menos el 70 % de identidad de aminoácidos con el FGFR3 de SEC ID Nº: 18, al menos el 75 % de identidad de aminoácidos con el FGFR3 de SEC ID Nº: 18, al menos el 80 % de identidad de aminoácidos con el FGFR3 de SEC ID Nº: 18, al menos el 80 % de identidad de aminoácidos con el FGFR3 de SEC ID Nº: 18, al menos el 90 % de identidad de aminoácidos con el FGFR3 de SEC ID Nº: 18 o al menos el 95 % de identidad de aminoácidos con el FGFR3 de SEC ID Nº: 18. En otros aspectos de la presente realización, el FGFR3 es un FGFR3IIIc de rata que se une selectivamente a BoNT/A que tiene, por ejemplo, como máximo, una, dos, tres, cuatro, cinco, seis, siete, ocho, nueve o diez sustituiciones aminoacídicas con relación al FGFR3 de SEC ID Nº: 18.

En otros aspectos de la presente invención, el FGFR3 puede ser un FGFR3 de pollo que se une selectivamente a BoNT/A que tiene, por ejemplo, al menos el 70 % de identidad de aminoácidos con el FGFR3 de SEC ID Nº: 20, al menos el 75 % de identidad de aminoácidos con el FGFR3 de SEC ID Nº: 20, al menos el 80 % de identidad de aminoácidos con el FGFR3 de SEC ID Nº: 20, al menos el 85 % de identidad de aminoácidos con el FGFR3 de SEC ID Nº: 20 o al menos el 95 % de identidad de aminoácidos con el FGFR3 de SEC ID Nº: 20 o al menos el 95 % de identidad de aminoácidos con el FGFR3 de SEC ID Nº: 20. En otros aspectos de la presente realización, el FGFR3 es un FGFR3 de pollo que se une selectivamente a BoNT/A que tiene, por ejemplo, como máximo, una, dos, tres, cuatro, cinco, seis, siete, ocho, nueve o diez sustituciones de aminoácidos con relación al FGFR3 de SEC ID Nº: 20.

5

20

35

40

45

50

55

60

En otros aspectos de la presente invención, el FGFR3 puede ser un FGFR3-1 de rana que se une selectivamente a BoNT/A que tiene, por ejemplo, al menos el 70 % de identidad de aminoácidos con el FGFR3 de SEC ID Nº: 22, al menos el 75 % de identidad de aminoácidos con el FGFR3 de SEC ID Nº: 22, al menos el 80 % de identidad de aminoácidos con el FGFR3 de SEC ID Nº: 22, al menos el 80 % de identidad de aminoácidos con el FGFR3 de SEC ID Nº: 22, al menos el 90 % de identidad de aminoácidos con el FGFR3 de SEC ID Nº: 22 o al menos el 95 % de identidad de aminoácidos con el FGFR3 de SEC ID Nº: 22. En otros aspectos de la presente realización, el FGFR3 es un FGFR3 de rana que se une selectivamente a BoNT/A que tiene, por ejemplo, como máximo, una, dos, tres, cuatro, cinco, seis, siete, ocho, nueve o diez sustituciones de aminoácidos con relación al FGFR3 de SEC ID Nº: 22.

En otros aspectos de la presente invención, el FGFR3 puede ser un FGFR3-2 de rana que se une selectivamente a BoNT/A que tiene, por ejemplo, al menos el 70 % de identidad de aminoácidos con el FGFR3 de SEC ID N°: 24, al menos el 75 % de identidad de aminoácidos con el FGFR3 de SEC ID N°: 24, al menos el 80 % de identidad de aminoácidos con el FGFR3 de SEC ID N°: 24, al menos el 85 % de identidad de aminoácidos con el FGFR3 de SEC ID N°: 24, al menos el 90 % de identidad de aminoácidos con el FGFR3 de SEC ID N°: 24 o al menos el 95 % de identidad de aminoácidos con el FGFR3 de SEC ID N°: 24. En otros aspectos de la presente realización, el FGFR3 es un FGFR3 de rana que se une selectivamente a BoNT/A que tiene, por ejemplo, como máximo, una, dos, tres, cuatro, cinco, seis, siete, ocho, nueve o diez sustituciones de aminoácidos con relación al FGFR3 de SEC ID N°: 24.

En otros aspectos de la presente invención, el FGFR3 puede ser un FGFR3 de tritón que se une selectivamente a BoNT/A que tiene, por ejemplo, al menos el 70 % de identidad de aminoácidos con el FGFR3 de SEC ID N°: 26, al menos el 80 % de identidad de aminoácidos con el FGFR3 de SEC ID N°: 26, al menos el 80 % de identidad de aminoácidos con el FGFR3 de SEC ID N°: 26, al menos el 80 % de identidad de aminoácidos con el FGFR3 de SEC ID N°: 26, al menos el 90 % de identidad de aminoácidos con el FGFR3 de SEC ID N°: 26 o al menos el 95 % de identidad de aminoácidos con el FGFR3 de SEC ID N°: 26. En otros aspectos de la presente realización, el FGFR3 es un FGFR3 de tritón que se une selectivamente a BoNT/A que tiene, por ejemplo, como máximo, una, dos, tres, cuatro, cinco, seis, siete, ocho, nueve o diez sustituciones de aminoácidos con relación al FGFR3 de SEC ID N°: 26.

En otros aspectos de la presente invención, el FGFR3 puede ser un FGFR3 de pez cebra que se une selectivamente a BoNT/A que tiene, por ejemplo, al menos el 70 % de identidad de aminoácidos con el FGFR3 de SEC ID N°: 28, al menos el 75 % de identidad de aminoácidos con el FGFR3 de SEC ID N°: 28, al menos el 80 % de identidad de aminoácidos con el FGFR3 de SEC ID N°: 28, al menos el 85 % de identidad de aminoácidos con el FGFR3 de SEC ID N°: 28 o al menos el 95 % de identidad de aminoácidos con el FGFR3 de SEC ID N°: 28. En otros aspectos de la presente realización, el FGFR3 es un FGFR3 de pez cebra que se une selectivamente a BoNT/A que tiene, por ejemplo, como máximo, una, dos, tres, cuatro, cinco, seis, siete, ocho, nueve o diez sustituciones de aminoácidos con relación al FGFR3 de SEC ID N°: 28

Otros aspectos de la presente invención proporcionan, en parte, el uso opcional de polisialogangliósidos, especialmente los de la serie G1b, tales como, por ejemplo, GD1a, GD1b, GD3, GQ1b o GT1b. Las composiciones celulares que comprenden un FGFR3 y un polisialogangliósido pueden aumentar la unión selectiva a BoNT/A con relación a un composición que no contiene un polisialigangliósido. De este modo, en una realización, una composición comprende un FGFR3 y opcionalmente un polisialogangliósido. En algunos aspectos de la presente realización, una composición comprende un FGFR3 y opcionalmente un polisialogangliósido G1b tal como, por ejemplo, GD1a, GD1b, GD3, GQ1b o GT1b

De este modo, en una realización, un procedimiento para detectar la actividad de BoNT/A comprende poner en contacto una muestra con una célula que contiene un FGFR3 exógeno y opcionalmente un polisialogangliósido G1b, en el que dicha célula puesta en contacto es capaz de intoxicarse con BoNT/A, y detectar la presencia de la actividad de BoNT/A de dicha célula puesta en contacto, siendo la diferencia en dicha actividad de BoNT/A de dicha célula puesta en contacto en comparación con dicha célula control indicativa de actividad de BoNT/A. En otra realización, un procedimiento para detectar la actividad de BoNT/A comprende poner en contacto una muestra con una célula que contiene transitoriamente un FGFR3 exógeno y un polisialogangliósido G1b, en el que dicha célula puesta en contacto es capaz de intoxicarse con BoNT/A, y detectar la presencia de la actividad de BoNT/A de dicha célula puesta en contacto, siendo la diferencia en dicha actividad de BoNT/A de dicha célula puesta en contacto en comparación con dicha célula control indicativa de actividad de BoNT/A. En otra realización, un procedimiento para detectar la actividad de BoNT/A comprende poner en contacto una muestra con una célula que contiene de forma estable un FGFR3 exógeno y un polisialogangliósido G1b, en el que dicha célula puesta en contacto es capaz de intoxicarse con BoNT/A, y detectar la presencia de la actividad de BoNT/A de dicha célula puesta en contacto,

siendo la diferencia en dicha actividad de BoNT/A de dicha célula puesta en contacto en comparación con dicha célula control indicativa de actividad de BoNT/A.

Otros aspectos de la presente invención proporcionan, en parte, un procedimiento para detectar la actividad de BoNT/A que comprende poner en contacto una muestra con una célula que contiene transitoriamente un FGFR3 exógeno, en el que dicha célula puesta en contacto es capaz de intoxicarse con BoNT/A, y detectar la presencia de la actividad de BoNT/A de dicha célula puesta en contacto con respecto a una célula control, siendo la diferencia en dicha actividad de BoNT/A de dicha célula puesta en contacto en comparación con dicha célula control indicativa de actividad de BoNT/A. Tal como se usa en el presente documento, la expresión "que contiene transitoriamente" significa un FGFR3 que se introduce temporalmente en una célula con el fin de realizar los ensayos divulgados en la presente memoria descriptiva. De este modo, los aspectos de una célula que contiene transitoriamente un FGFR3 divulgados en la presente memoria descriptiva pueden incluir una célula que contiene un FGFR3 durante, por ejemplo, como máximo aproximadamente cinco días y, como máximo, aproximadamente seis días, como máximo aproximadamente siete días, como máximo aproximadamente ocho días, como máximo aproximadamente nueve días y, como máximo, aproximadamente diez días.

5

10

40

45

50

55

60

En un aspecto de la presente realización, el FGFR3 puede ser codificado por una molécula de ácido nucleico de un 15 FGFR3 de mamífero tal como, por ejemplo, un FGFR3 humano, un FGFR3 bovino, un FGFR3 de rata o un FGFR3 de ratón; un FGFR3 de ave tal como, por ejemplo, un FGFR3 de pollo; un FGFR3 de anfibio tal como, por ejemplo, un FGFR3 de tritón o un FGFR3 de rana; y un FGFR3 de pez tal como, por ejemplo, un FGFR3 de pez cebra. En un aspecto de la presente realización, un procedimiento de detección de la actividad de BoNT/A comprende poner en 20 contacto una muestra con una célula que contiene transitoriamente una molécula de ácido nucleico que codifica un FGFR3 exógeno de mamífero, en el que dicha célula puesta en contacto es capaz de intoxicarse con BoNT/A, y detectar la presencia de la actividad de BoNT/A de dicha célula puesta en contacto, siendo la diferencia en dicha actividad de BoNT/A de dicha célula puesta en contacto en comparación con dicha célula control indicativa de actividad de BoNT/A. En otro aspecto de la presente realización, un procedimiento de detección de la actividad de BoNT/A comprende poner en contacto una muestra con una célula que contiene transitoriamente una molécula de 25 ácido nucleico que codifica un FGFR3 exógeno de ave, en el que dicha célula puesta en contacto es capaz de intoxicarse con BoNT/A, y detectar la presencia de la actividad de BoNT/A de dicha célula puesta en contacto. siendo la diferencia en dicha actividad de BoNT/A de dicha célula puesta en contacto en comparación con dicha célula control indicativa de actividad de BoNT/A. En un aspecto de la presente realización, un procedimiento de 30 detección de la actividad de BoNT/A comprende poner en contacto una muestra con una célula que contiene transitoriamente una molécula de ácido nucleico que codifica un FGFR3 exógeno de anfibio, en el que dicha célula puesta en contacto es capaz de intoxicarse con BoNT/A, y detectar la presencia de la actividad de BoNT/A de dicha célula puesta en contacto, siendo la diferencia en dicha actividad de BoNT/A de dicha célula puesta en contacto en comparación con dicha célula control indicativa de actividad de BoNT/A. En otro aspecto de la presente realización, 35 un procedimiento de detección de la actividad de BoNT/A comprende poner en contacto una muestra con una célula que contiene transitoriamente una molécula de ácido nucleico que codifica un FGFR3 exógeno de pez, en el que dicha célula puesta en contacto es capaz de intoxicarse con BoNT/A, y detectar la presencia de la actividad de BoNT/A de dicha célula puesta en contacto, siendo la diferencia en dicha actividad de BoNT/A de dicha célula puesta en contacto en comparación con dicha célula control indicativa de actividad de BoNT/A.

En otro aspecto de la presente realización, el FGFR3 puede ser un FGFR3 de mamífero tal como, por ejemplo, un FGFR3 humano, un FGFR3 bovino, un FGFR3 de rata o un FGFR3 de ratón; un FGFR3 de ave tal como, por ejemplo, un FGFR3 de pollo; un FGFR3 de anfibio tal como, por ejemplo, un FGFR3 de tritón o un FGFR3 de rana; y un FGFR3 de pez tal como, por ejemplo, un FGFR3 de pez cebra. De este modo, en una realización, un procedimiento para detectar la actividad de BoNT/A comprende poner en contacto una muestra con una célula que contiene transitoriamente un FGFR3 exógeno, en el que dicha célula puesta en contacto es capaz de intoxicarse con BoNT/A, y detectar la presencia de la actividad de BoNT/A de dicha célula puesta en contacto, siendo la diferencia en dicha actividad de BoNT/A de dicha célula puesta en contacto en comparación con dicha célula control indicativa de actividad de BoNT/A. En un aspecto de la presente realización, el FGFR3 puede ser un FGFR3 de mamífero tal como, por ejemplo, un FGFR3 humano, un FGFR3 bovino, un FGFR3 de rata o un FGFR3 de ratón; un FGFR3 de ave tal como, por ejemplo, un FGFR3 de pollo; un FGFR3 de anfibio tal como, por ejemplo, un FGFR3 de tritón o un FGFR3 de rana; y un FGFR3 de pez tal como, por ejemplo, un FGFR3 de pez cebra. En un aspecto de la presente realización, un procedimiento para detectar la actividad de BoNT/A comprende poner en contacto una muestra con una célula que contiene transitoriamente un FGFR3 exógeno de mamífero, en el que dicha célula puesta en contacto es capaz de intoxicarse con BoNT/A, y detectar la presencia de la actividad de BoNT/A de dicha célula puesta en contacto, siendo la diferencia en dicha actividad de BoNT/A de dicha célula puesta en contacto en comparación con dicha célula control indicativa de actividad de BoNT/A. En un aspecto de la presente realización, un procedimiento para detectar la actividad de BoNT/A comprende poner en contacto una muestra con una célula que contiene transitoriamente un FGFR3 exógeno de ave, en el que dicha célula puesta en contacto es capaz de intoxicarse con BoNT/A, y detectar la presencia de la actividad de BoNT/A de dicha célula puesta en contacto, siendo la diferencia en dicha actividad de BoNT/A de dicha célula puesta en contacto en comparación con dicha célula control indicativa de actividad de BoNT/A. En un aspecto de la presente realización, un procedimiento para detectar la actividad de BoNT/A comprende poner en contacto una muestra con una célula que contiene transitoriamente un FGFR3 exógeno de anfibio, en el que dicha célula puesta en contacto es capaz de intoxicarse con BoNT/A, y detectar la presencia de la actividad de BoNT/A de dicha célula puesta en contacto, siendo la diferencia en dicha actividad de BoNT/A de dicha célula puesta en contacto en comparación con dicha célula control indicativa de actividad de BoNT/A. En otro aspecto de la presente realización, un procedimiento para detectar la actividad de BoNT/A comprende poner en contacto una muestra con una célula que contiene transitoriamente un FGFR3 exógeno de pez, en el que dicha célula puesta en contacto es capaz de intoxicarse con BoNT/A, y detectar la presencia de la actividad de BoNT/A de dicha célula puesta en contacto, siendo la diferencia en dicha actividad de BoNT/A de dicha célula control indicativa de actividad de BoNT/A.

5

10

15

20

25

30

35

40

45

50

55

60

Otros aspectos de la presente invención proporcionan, en parte, un procedimiento para detectar la actividad de BoNT/A que comprende poner en contacto una muestra con una célula que contiene de forma estable un FGFR3 exógeno, en el que dicha célula puesta en contacto es capaz de intoxicarse con BoNT/A, y detectar la presencia de la actividad de BoNT/A de dicha célula puesta en contacto con respecto a una célula control, siendo la diferencia en dicha actividad de BoNT/A de dicha célula puesta en contacto en comparación con dicha célula control indicativa de actividad de BoNT/A. Tal como se usa en el presente documento, la expresión "que contiene de forma estable" significa un FGFR3 que se introduce en una célula y se mantiene durante periodos largos con el fin de realizar los ensayos de la presente memoria descriptiva. Las moléculas de ácido nucleico mantenidas de forma estable abarcan moléculas de ácido nucleico mantenidas de forma estable que son extracromosómicas y se replican de forma autónoma y moléculas de ácido nucleico mantenidas de forma estable que están integradas en el material cromosómico de la célula y se replican de forma no autónoma. De este modo, aspectos de una célula que contiene de forma estable un FGFR3 divulgado en la presente memoria descriptiva pueden incluir una célula que contiene un FGFR3 durante, por ejemplo, al menos diez días, al menos 20 días, al menos 30 días, al menos cuarente días, al menos 50 días y al menos 60 días, al menos 70 días, al menos 80 días, al menos 90 días y al menos cien días. Otros aspectos de una célula que contiene de forma estable un FGFR3 divulgado en la presente memoria descriptive pueden incluir una célula que contiene un FGFR3 durante, por ejemplo, al menos 100 días, al menos 200 días, al menos 300 días, al menos 400 días y al menos 500 días. Otros aspectos más de una célula que contiene de forma estable un FGFR3 divulgado en la presente memoria descriptive pueden incluir una célula que contiene un FGFR3 de forma permanente.

En un aspecto de la presente realización, el FGFR3 puede ser codificado por una molécula de ácido nucleico de un FGFR3 de mamífero tal como, por ejemplo, un FGFR3 humano, un FGFR3 bovino, un FGFR3 de rata o un FGFR3 de ratón; un FGFR3 de pájaro tal como, por ejemplo, un FGFR3 de pollo; un FGFR3 de anfibio tal como, por ejemplo, un FGFR3 de tritón o un FGFR3 de rana; y un FGFR3 de pez tal como, por ejemplo, un FGFR3 de pez cebra. En un aspecto de la presente realización, un procedimiento de detección de la actividad de BoNT/A comprende poner en contacto una muestra con una célula que contiene de forma estable una molécula de ácido nucleico que codifica un FGFR3 exógeno de mamífero, en el que dicha célula puesta en contacto es capaz de intoxicarse con BoNT/A, y detectar la presencia de la actividad de BoNT/A de dicha célula puesta en contacto, siendo la diferencia en dicha actividad de BoNT/A de dicha célula puesta en contacto en comparación con dicha célula control indicativa de actividad de BoNT/A. En otro aspecto de la presente realización, un procedimiento de detección de la actividad de BoNT/A comprende poner en contacto una muestra con una célula que contiene de forma estable una molécula de ácido nucleico que codifica un FGFR3 exógeno de ave, en el que dicha célula puesta en contacto es capaz de intoxicarse con BoNT/A, y detectar la presencia de la actividad de BoNT/A de dicha célula puesta en contacto, siendo la diferencia en dicha actividad de BoNT/A de dicha célula puesta en contacto en comparación con dicha célula control indicativa de actividad de BoNT/A. En un aspecto de la presente realización, un procedimiento de detección de la actividad de BoNT/A comprende poner en contacto una muestra con una célula que contiene de forma estable una molécula de ácido nucleico que codifica un FGFR3 exógeno de anfibio, en el que dicha célula puesta en contacto es capaz de intoxicarse con BoNT/A, y detectar la presencia de la actividad de BoNT/A de dicha célula puesta en contacto, siendo la diferencia en dicha actividad de BoNT/A de dicha célula puesta en contacto en comparación con dicha célula control indicativa de actividad de BoNT/A. En otro aspecto de la presente realización, un procedimiento de detección de la actividad de BoNT/A comprende poner en contacto una muestra con una célula que contiene de forma estable una molécula de ácido nucleico que codifica un FGFR3 exógeno de pez, en el que dicha célula puesta en contacto es capaz de intoxicarse con BoNT/A, y detectar la presencia de la actividad de BoNT/A de dicha célula puesta en contacto, siendo la diferencia en dicha actividad de BoNT/A de dicha célula puesta en contacto en comparación con dicha célula control indicativa de actividad de BoNT/A.

En otro aspecto de la presente realización, el FGFR3 puede ser un FGFR3 de mamífero tal como, por ejemplo, un FGFR3 humano, un FGFR3 bovino, un FGFR3 de rata o un FGFR3 de ratón; un FGFR3 de ave tal como, por ejemplo, un FGFR3 de pollo; un FGFR3 de anfibio tal como, por ejemplo, un FGFR3 de tritón o un FGFR3 de rana; y un FGFR3 de pez tal como, por ejemplo, un FGFR3 de pez cebra. En un aspecto de la presente realización, un procedimiento para detectar la actividad de BoNT/A comprende poner en contacto una muestra con una célula que contiene de forma estable un FGFR3 exógeno de mamífero, en el que dicha célula puesta en contacto es capaz de intoxicarse con BoNT/A, y detectar la presencia de la actividad de BoNT/A de dicha célula puesta en contacto, siendo la diferencia en dicha actividad de BoNT/A de dicha célula puesta en contacto en comparación con dicha célula control indicativa de actividad de BoNT/A. En otro aspecto de la presente realización, un procedimiento para detectar la actividad de BoNT/A comprende poner en contacto una muestra con una célula que contiene de forma estable un FGFR3 exógeno de ave, en el que dicha célula puesta en contacto es capaz de intoxicarse con BoNT/A,

y detectar la presencia de la actividad de BoNT/A de dicha célula puesta en contacto, siendo la diferencia en dicha actividad de BoNT/A de dicha célula puesta en contacto en comparación con dicha célula control indicativa de actividad de BoNT/A. En un aspecto de la presente realización, un procedimiento para detectar la actividad de BoNT/A comprende poner en contacto una muestra con una célula que contiene de forma estable un FGFR3 exógeno de anfibio, en el que dicha célula puesta en contacto es capaz de intoxicarse con BoNT/A, y detectar la presencia de la actividad de BoNT/A de dicha célula puesta en contacto, siendo la diferencia en dicha actividad de BoNT/A. En otro aspecto de la presente realización, un procedimiento para detectar la actividad de BoNT/A comprende poner en contacto una muestra con una célula que contiene de forma estable un FGFR3 exógeno de pez, en el que dicha célula puesta en contacto es capaz de intoxicarse con BoNT/A, y detectar la presencia de la actividad de BoNT/A de dicha célula puesta en contacto, siendo la diferencia en dicha actividad de BoNT/A de dicha célula puesta en contacto, siendo la diferencia en dicha actividad de BoNT/A de dicha célula puesta en contacto en comparación con dicha célula control indicativa de actividad de BoNT/A.

10

15

20

25

30

35

40

45

50

55

60

Tal como se ha mencionado anteriormente, una molécula de ácido nucleico puede usarse para expresar un FGFR3 divulgado en la presente memoria descriptiva. Se considera que puede usarse cualquier procedimiento para introducir una molécula de ácido nucleico en una célula. Los procedimientos útiles para introducir una molécula de ácido nucleico en una célula incluyen, sin suponer limitación, procedimientos mediados por fosfato de calcio, DEAD, procedimientos mediados por dextrano, mediados por lípidos, mediados por polibreno, mediados por polilisina, mediados víricamente, microinyección, fusión de protoplastos, biolísticos, electroporación y conjugación a un anticuerpo, gramacidina S, desarrollo vírico artificial u otros vehículos intracelulares tales como TAT; véase, por ejemplo, Introducing Cloned Genes into Cultured Mammalian Cells, páginas 16.1-16.62 (Sambrook y Russell, ed., Molecular Cloning A Laboratory Manual, Vol. 3, 3ª ed. 2001); Alessia Colosimo y col., Transfer and expression of foreign genes in mammalian cells, 29(2) Biotechniques 314-318, 320-322, 324 (2000); Philip Washbourne y A. Kimberley McAllister, Techniques for gene transfer into neurons, 12(5) Curr. Opin. Neurobiol. 566-573 (2002); y Current Protocols in Molecular Biology, John Wiley y Sons, páginas 9.16.4-9.16.11 (2000). Un experto en la técnica entiende que la selección de un procedimiento específico para introducir una molécula de ácido nucleico en una célula dependerá, en parte, de si la célula contendrá transitoriamente un receptor de BoNT/A o si la célula contendrá de forma estable un receptor de BoNT/A.

Tal como se ha mencionado anteriormente, un FGFR3 divulgado en la presente memoria descriptiva puede introducirse en una célula. Se considra que puede usarse cualquier procedimiento que use un agente sde liberación para introducir un FGFR3 en una célula. Tal como usa en el presente documento, "agente de liberación" significa cualquier molécula que permita o potencie la internalización de un FGFR3 unido covalentemente, unido de forma no covalente o de asociado de cualquier otro modo a la célula. De este modo, la expresión "agente de liberación" abarca, sin suponer limitación, proteínas, péptidos, peptidomiméticos, moléculas pequeñas, moléculas de ácido nucleico, liposomas, lípidos, virus, retrovirus y células que, sin suponer limitación, transportan un sustrato unido covalentemente o de forma no covalente a la membrana celular, al citoplasma celular o al núcleo. Se entiende, además, que la expresión "agente de liberación" abarca moléculas que se internalizan mediante cualquier mecanismo, incluidos agentes de liberación que actúan mediante endocitosis mediada por receptor y los que son independientes de endocitosis mediada por receptor.

Un agente de liberación útil en la invención también puede ser un agente que permita o potencie la captación celular de un FGFR3 unido covalentemente tal como, por ejemplo, proteínas de fusión producidas mediante conjugación química o genéticamente. En Steven F. Dowdy, Protein Transduction System and Methods of Use Thereof, Publicación de patente internacional Nº WO 00/34308 (15 de junio, 2000); Gérard Chassaing y Alain Prochiantz, Peptides which can be Used as Vectors for the Intracellular Addresing of Active Molecuels, documento de patente de Estados Unidos Nº 6.080.724 (27 de junio, 2000); Alan Frankel y col., Fusion Protein Comprising TAT-derived Transport Moiert, documento de patente de Estados Unidos Nº 5.674.980 (7 de octubre, 1995); Alan Frankel y col., TAT-derived Transport Polypeptide Conjugates, documento de patente de Estados Unidos № 5.747.641 (5 de mayo, 1998); Alan Frankel y col., TAT-derived Transport Polypeptides and Fusion Proteins, documento de patente de Estados Unidos Nº 5.804.604 (8 de septiembre, 1998); Peter F. J. O'Hare y col., Use of Transport Proteins, documento de patente de Estados Unidos Nº 6.734.167 (11 de mayo, 2004); Yao-Zhong Lin y Jack J. Hawiger, Method for importing biologically active molecules into cells, documento de patente de Estados Unidos Nº 5.807.746 (15 de septiembre, 1998); Yao-Zhong Lin y Jack J. Hawiger, Method for importing biologically active molecules into cells, documento de patente de Estados Unidos Nº 6.043.339 (28 de marzo, 2000); Yao-Zhong Lin y col., Sequence and Method for Genetic Engineering of Proteins with Cell Membrane Translocating Activity, documento de patente de Estados Unidos Nº 6.248.558 (19 de junio, 2001); Yao- Zhong Lin y col., Sequence and Method for Genetic Engineering of Proteins with Cell Membrane Translocating Activity, documento de patente de Estados Unidos Nº 6.432.680 (13 de agosto, 2002); Jack J. Hawiger y col., Method for importing biologically active molecules into cells, documento de patente de Estados Unidos Nº 6.495.518 (17 de diciembre, 2002); Yao-Zhong Lin y col., Sequence and Method for Genetic Engineering of Proteins with Cell Membrane Translocating Activity, documento de patente de Estados Unidos Nº 6.780.843 (24 de agosto, 2004); Jonathan B. Rothbard y Paul A Wender, Method and Composition for Enhancing Transport Across Biological Membranes, documento de patente de Estados Unidos Nº 6.306.993 (23 de octubre, 2001); Jonathan B. Rothbard y Paul A Wender, Method and Composition for Enhancing Transport Across Biological Membranes, documento de patente de Estados Unidos Nº 6.495.663 (17 de diciembre, 2002) y Pamela B. Davis y col., Fusion proteins for protein delivery, documento de patente de Estados Unidos Nº 6.287.817 (11 de septiembre, 2001) se describen, por ejemplo, procedimientos de agents de liberación de unión covalente y procedimientos para usar dichos agentes.

Un agente de liberación útil en la invención también puede ser un agente que permita o potencie la captación celula de un FGFR3 asociado de forma no covalente. En Gilles Divita y col., Peptide-mediated Transfection Agents and Methods of Use, documento de patente de Estados Unidos Nº 6.841.535 (11 de enero, 2005); Philip L Felgner y Olivier Zelphati, Intracellular Protein Delivery Compositions and Methods of Use, documento de patente de Estados Unidos Nº 2003/0008813 y Michael Karas Intracellular Delivery of Small Molecules, Proteins and Nucleic Acids, documento de patente de Estados Unidos Nº 2004/0209797 (21 de octubre, 2004) se describen, por ejemplo, procedimientos que operan en ausencia de unión covalente y procedimientos para usar dichos agentes. Dichos agentes de liberación peptídicos pueden prepararse y usarse mediante procedimientos estándar y están disponibles en el mercado; véase, por ejemplo, el reactivo Chariot™ (Active Motif, Carlsbad, CA, Estados Unidos); reactivo BioPORTER® (Gene Therapy Systems, Inc., San Diego, CA, Estados Unidos), reactivo de suministro de proteínas BioTrek™ (Stratagene, La Jolla, CA, Estados Unidos) y reactivo de transfección de proteínas Pro-Ject™ (Pierce Biotechnology Inc., Rockford, IL, Estados Unidos).

5

10

25

30

35

40

45

50

55

60

Tal como se ha mencionado anteriormente, una célula puede contener de forma estable un FGFR3 divulgado en la presente memoria descriptiva. En, por ejemplo, Elizabeth E. Plowright y col., Ectopic expression of fibroblast growth factor receptor 3 promotes myeloma cell proliferation and prevents apoptosis, 95(3) Blood 992-998 (2000); TC; véase, por ejemplo, Hiroyuki Onose y col., Over-expression of fibroblast growth factor receptor 3 in a human thyroid carcinoma cell line results in overgrowth of the confluent cultures, 140(2) Eur. J. Endocrinol. 169-173 (1999); M. Kana y col., Signal transduction pathway of human fibroblast growth factor receptor 3. Identification of a novel 66-kDa phosphoprotein, 272(10) J. Biol. Chem. 6621-6628 (1997) y Janet E. Henderson y col., Expression of FGFR3 with the G380R achondroplasia mutation inhibits proliferation and maturation of CFK2 chondrocytic cells, 15(1) J. Bone Miner. Res. 155-165 (2000) se describen procedimientos útiles para producir y usar células que contienen de forma estable un FGFR3.

Otro aspecto de la presente invención proporciona, en parte, un constructo de expresión que permite la expresión de una molécula de ácido nucleico que codifica un FGFR3 divulgado en la presente memoria descriptiva. Estos constructos de expresión comprenden un marco de lectura abierto que codifica un FGFR3 divulgado en la presente memoria descriptiva, unido operativamente a secuencias control de un vector de expresión útil para la expresión de FGFR3 en una célula. La expresión "unido operativamente", tal como se usa en el presente documento, se refiere a cualquiera entre una variedad de procedimientos de clonación que pueden ligar una molécula de ácido nucleico divulgada en la presente memoria descriptiva en un vector de expresión de tal modo que se exprese un péptido codificado por la composición cuando se introduzca en una célula. Las técnicas de biología molecula bien establecidas que pueden ser necesarias para fabricar un constructo de expresió divulgado en la presente memoria descriptiva incluyen, pero no están limitadas a, procedimientos que implican la reacción en cadena de la polimerasa (PCR), reacciones enzimáticas de restricción de la amplificación, electroforesis en gel de agarosa, ligación de ácidos nucleicos, transformación bacteriana, purificación de ácidos nucleicos, secuenciación de ácidos nucleicos, son procedimientos rutinarios que están dentro del alcance de un experto en la técnica y de las enseñanzas del presente documento. En, por ejemplo, MOLECULAR CLONING A LABORATORY MANUAL, anteriormente, (2001) y CURRENT PROTOCOLS IN MOLECULAR BIOLOGY (Frederick M. Ausubel y col., ed. John Wiley e hijos, 2004) se describen ejemplos no limitantes de protocolos específicos para fabricar un constructo de expresión. Estos protocolos son procedimientos rutinarios que están dentro del alcance de un experto en la técnica y de las enseñanzas del presente documento.

Puede usarse una amplia variedad de vectores de expresión para expresar un marco de lectura abierta que codifique un FGFR3 e incluyen, sin suponer limitación, vectores de expresión vírica, vectores de expresión procariótica y vectores de expresión procariótica, incluidos vectores de expresión de levaduras, insectos y mamíferos. Los ejemplos no limitantes de vectores de expresión, junto con reactivos y condiciones bien establecidas para fabricar y usar un constructo de expresión de dichos vectores de expresión están disponibles fácilmente en suministradores comerciales, que incluyen, sin suponer limitación, BD Biosciences-Clontech, Palo Alto, CA, Estados Unidos; BD Biosciences Pharmingen, San Diego, CA, Estados Unidos; Invitrogen, Inc, Carlsbad, CA, Estados Unidos; EMD Biosciences-Novagen, Madison, WI, Estados Unidos; QIAGEN, Inc., Valencia, CA, Estados Unidos; Stratagene, La Jolla, CA, Estados Unidos. La selección, fabricación y uso de un vector de expresión apropiado son procedimientos rutinarios dentro del alcance de un experto en la técnica y de las enseñanzas del presente documento.

Se considera que cualquiera entre una variedad de sistemas de expresión puede ser útil para expresar composiciones de constructo divulgadas en la presente memoria descriptiva. Un sistema de expresión abarca tanto los sistemas basados en células como los sistemas de expresión exentos de células. Los sistemas basados en células incluyen, sin suponer limitación, sistemas de expresión vírica, sistemas de expresión procariótica, sistemas de expresión de levaduras, sistemas de expresión baculovíricos, sistemas de expresión de insectos y sistemas de expresión de mamíferos. Los sistemas exentos de células incluyen, sin suponer limitación, extractos de germen de trigo, extractos de reticulocito de conejo y extractos de E. coli. La expresión usando un sistema de expresión puede incluir cualquiera entre una variedad de características que incluyen, sin suponer limitación, expresión inducible, expresión no inducible, expresión constitutiva, expresión mediada víricamente, expresión integrada de forma estable

y expresión transitoria. Los sistemas de expresión que incluyen vectores, reactivos, condiciones y células bien caracterizados están bien establecidos y están fácilmente disponibles de suministradores comerciales que incluyen, sin suponer limitación, Ambion, Inc. Austin, TX, Estados Unidos; BD Biosciences-Clontech, Palo Alto, CA, Estados Unidos; BD Biosciences Pharmingen, San Diego, CA, Estados Unidos; Invitrogen, Inc, Carlsbad, CA, Estados Unidos; QIAGEN, Inc., Valencia, CA, Estados Unidos; Roche Applied Science, Indianapolis, IN, Estados Unidos y Stratagene, La Jolla, CA, Estados Unidos. En, por ejemplo, PROTEIN EXPRESSION. A PRACTICAL APPROACH (S. J. Higgins y B. David Hames ed., Oxford University Press, 1999); Joseph M. Fernandez y James P. Hoeffler, GENE EXPRESSION SYSTEMS. USING NATURE FOR THE ART OF EXPRESSION (Academic Press, 1999) y Meena Rai y Harish Padh, Expression Systems for Production of Heterologous Proteins, 80(9) CURRENT SCIENCE 1121-1128, (2001), se describen ejemplos no limitantes de la selección y el uso de sistemas de expresión heterólogos apropiados. Estos protocolos son procedimientos rutinarios que están dentro del alcance de un experto en la técnica y de las enseñanzas del presente documentos.

5

10

15

20

25

30

35

40

45

50

55

60

Un constructo de expresión que comprende una molécula de ácido nucleico que codifica un FGFR3 divulgado en la presente memoria descriptiva puede unirse operativamente a una variedad de elementos reguladores que pueden modular positiva o negativamente, bien directa o bien indirectamente, la expresión de una molécula de ácido nucleico tal como, por ejemplo, promotores y potenciadores constitutivos, específicos de tejido, inducibles o sintéticos. Los ejemplos no limitantes de elementos reguladores constitutivos incluyen, por ejemplo, elementos reguladores de citomegalovirus (CMV), timidina quinasa del virus del herpes simple (HSV TK), virus de simio 40 (SV40) temprano, repetición terminal larga 5' (LTR), factor de elongación 1□ (EF-1□) y polibiquitina (UbC). Ejemplos no limitantes de elementos reguladores inducibles útiles en aspectos de la presente invención incluyen, por ejemplo, elementos reguladores inducibles químicamente tales como, sin suponer limitación, regulados por alcohol, regulados por tetraciclina, regulados por esteroides, regulados por metal y relacionados con patogénesis y elementos reguladores inducibles físicamente tales como, sin suponer limitación, regulados por temperatura o regulados por la luz. Dichos elementos reguladores inducibles pueden prepararse y usarse mediante procedimientos estándar y están disponible en el mercado, incluidos, pero sin limitación elementos inducibles por tetraciclina y sensible a tetraciclina tales como, por ejemplo, Tet-On™ y Tet-Off™ (BD Biosciences-Clontech, Palo Alto, CA, Estados Unidos) y el T-REx™ (expresión regulada por tetraciclina) y sistemas Flp-In™ T-REx™ (Invitrogen, Inc., Carlsbad, CA, Estados Unidos); elementos reguladores inducibles por ecdisone tales como, por ejemplo, el sistema de expresión de mamífero inducible Complete Control® (Stratagene, Inc., La Jolla, CA, Estados Unidos); elementos reguladores inducibles por isopropil □-D-galactopiranósido (IPTG) tales como, por ejemplo, el sistema de expresión de mamífero inducible LacSwitch® II (Stratagene, Inc., La Jolla, CA, Estados Unidos); y elementos inducibles por esteroides tales como, por ejemplo, el sistema inducible por receptor de progesterona quimérica GeneSwitch™ (Invitrogen, Inc., Carlsbad, CA, Estados Unidos). El experto entiende que estos y una variedad de otros sistemas reguladores constitutivos e inducibles están disponibles en el comercio o son bien conocidos en la técnica y pueden ser útiles en la invención para controlar la expresión de una molécula de ácido nucleico que codifica un receptor de BoNT/A.

En una realización, una molécula de ácido nucleico que codifica un FGFR3 puede unirse opcionalmente a un elemento regulador tal como un elemento regulador constitutivo. En aspectos de la presente realización, una molécula de ácido nucleico que codifica un FGFR3 de mamífero puede estar unido a un elemento regulador tal como un elemento regulador constitutivo; una molécula de ácido nucleico que codifica un FGFR3 de ave puede estar unido a un elemento regulador tal como un elemento regulador constitutivo; una molécula de ácido nucleico que codifica un FGFR3 de anfibio puede estar unido a un elemento regulador tal como un elemento regulador constitutivo y una molécula de ácido nucleico que codifica un FGFR3 de pez puede estar unido a un elemento regulador tal como un elemento regulador constitutivo.

En otra realización, una molécula de ácido nucleico que codifica un FGFR3 puede unirse opcionalmente a un elemento regulador tal como un elemento regulador inducible. En aspectos de la presente realización, una molécula de ácido nucleico que codifica un FGFR3 de mamífero puede estar unido a un elemento regulador inducible; una molécula de ácido nucleico que codifica un FGFR3 de ave puede estar unido a un elemento regulador tal como un elemento regulador inducible; una molécula de ácido nucleico que codifica un FGFR3 de anfibio puede estar unido a un elemento regulador tal como un elemento regulador inducible y una molécula de ácido nucleico que codifica un FGFR3 de pez puede estar unido a un elemento regulador tal como un elemento regulador inducible. En otro aspecto de la presente realización, la expresión de la molécula de ácido nucleico se induce usando, por ejemplo, inducible por tetraciclina, inducible por ecdisona o inducible por esteroides.

Se entiende que un FGFR3 útil en aspectos de la presente invención puede incluir opcionalmente uno o varios componentes adicionales. Como ejemplo no limitante, una secuencia espaciadora flexible tal como secuencias de poliglicina puede estar incluida en un FGFR3 útil en la invención. Un FGFR3 útil puede incluir, sin suponer limitación, uno o varios de los siguientes: marcas de unión a epitope, tales como, por ejemplo, FLAG, Express<sup>TM</sup>, hematoglutinina del virus de la gripe humana (HA), proteína p62<sup>c-Myc</sup> humana (c-MYC), glucoproteína del virus de estomatitis vesicular (VSV-G), precursor de glucoproteína-D de virus del herpes simple (HSV), V5 y AU1; unión de afinidad, tales como, por ejemplo, polihistidina (HIS), péptido de unión a estreptavidina (strep) y biotina o una secuencia de biotinilación; regiones de unión a péptido, tales como, por ejemplo, dominio de unión a glutation de glutation-S-transferasa, el dominio de unión a calmodulina de la proteína de unión a calmodulina; un enlazador de N-

hidroxisuccinimida; un giro en horquilla peptídico o peptidomimético; o una secuencia hidrófila u otro componente o secuencia que, por ejemplo, promueva la solubilidad o estabilidad de un FGFR3. En, por ejemplo, Epitope Tagging, páginas 17.90-17.93 (Sambrook y Russell, ed., Molecular Cloning A Laboratory Manual, Vol. 3, 3ª ed. 2001); Antibodies: A Laboratory Manual (Edward Harlow y David Lane, ed., Cold Spring Harbor Laboratory Press, 2ª ed. 1998) y Using Antibodies: A Laboratory Manual: Portable Protocol Nº I (Edward Harlow y David Lane, Cold Spring Harbor Laboratory Press, 1998) se describen ejemplos no limitantes de protocolos específicos para seleccionar, fabricar y usar un péptido de unión apropiado. Además, ejemplos no limitantes de péptidos de unión así como reactivos, condiciones y protocolos bien caracterizados son fácilmente disponibles de suministradores comerciales que incluyen, sin suponer limitación, BD Biosciences-Clontech, Palo Alto, CA, Estados Unidos; BD Biosciences Pharmingen, San Diego, CA, Estados Unidos; Invitrogen, Inc, Carlsbad, CA, Estados Unidos; QIAGEN, Inc., Valencia, CA, Estados Unidos y Stratagene, La Jolla, CA, Estados Unidos. Estos protocolos son procedimientos rutinarios que están dentro del alcance de un experto en la técnica y de las enseñanzas del presente documentos.

5

10

15

20

25

30

35

40

45

50

55

60

Algunos aspectos de la presente invención proporcionan, en parte, una célula que contiene un FGFR3 exógeno siendo dicha célula capaz de intoxicarse con BoNT/A. Tal como se usa en el presente documento, el término "célula" significa cualquier célula eucariótica que expresa, o puede diseñarse para expresar, al menos un FGFR3 exógeno que se une a BoNT/A. el término célula abarca células de una variedad de organismos, tales como, por ejemplo, células murinas, de rata, porcinas, bovinas, equinas, de primate y humanas; de una variedad de tipos celulares tales como, por ejemplo, neuronales y no neuronales; y puede aislarse de, o parte de, una población celular heterogénea, tejido u organismo. Se entiende que las células útiles en aspectos de la invención pueden incluir, sin suponer limitación, células primarias; células cultivadas; células establecidas; células normales, células transformadas; células tumorales; células infectadas; células diferenciadas por proliferación y terminalmente y células transfectadas de forma estable o transitoria, incluidas las células transfectadas de forma estable y transitoria. Se entiende, además, que las células útiles en aspectos de la invención pueden estar en cualquier estado tal como de proliferación o quiescente, intactas o permeabilizadas como mediante transfección mediada químicamente, tal como, por ejemplo, mediada por fosfato de calcio, mediada por dietilaminoetilo (DEAD) dextrano, mediada por lípidos, mediada por polietilenoimina (PEI), mediada por polibreno, y agentes de suministro de proteínas; transfección mediada físicamente, tal como, por ejemplo, suministro de partículas biolísticas, microinvección y electroporación: y transfección mediada víricamente, tal como, por ejemplo, transfección mediada por retrovirales. Se entiende, además, que células útiles en aspectos de la invención pueden incluir las que expresan un FGFR3 bajo control de un elemento promotor, elemento potenciador o ambos, constitutivo, específico de tejido, específico de célula o inducible.

Tal como se usa en el presente documento, la expresión "célula capaz de intoxicarse con BoNT/A" significa una célula que puede permitir el mecanismo celular total por el que la BoNT/A escinde proteolíticamente un sustrato tal como, por ejemplo, SNAP-25, y abarca la unión de BoNT/A a un receptor de afinidad baja o alta, la internalización del complejo toxina/receptor, la traslocación de la cadena ligera de BoNT/A al interior del citoplasma y la modificación diana enzimática de un sustrato de BoNT/A. Por definición, una célula capaz de intoxicarse con BoNT/A debe expresar un FGFR3. Como ejemplo no limitante, una célula neuronal o no neuronal puede diseñarse de forma transitoria o estable para expresar una molécula de ácido nucleico exógena que codifica un FGFR3. Como otro ejemplo no limitante, una célula neuronal o no neuronal puede diseñarse transitoriamente para que contenga un FGFR3 exógeno.

Las células útiles en aspectos de la invención incluyen tanto células neuronales como no neuronales. Las células neuronales útiles en aspectos de la invención incluyen, sin suponer limitación, células neuronales primarias; células neuronales inmortalizadas o establecidas; células neuronales transformadas; células tumorales neuronales; células neuronales transfectadas de forma estable o transitoria y además incluyen, sin estar limitadas a, células neuronales de mamífero, murinas, de rata, de primate y humanas. Ejemplos no limitantes de células neuronales útiles en aspectos de la invención incluyen, por ejemplo, células neuronales periféricas, tales como, por ejemplo, neuronas motoras y neuronas sensoriales; y células neuronales del SNC tales como, por ejemplo, neuronas de la médula espinal como neuronas de la médula espinal embriónicas, neuronas del ganglio espinal (DGR), neuronas del córtex cerebral, neuronas del cerebelo, neuronas del hipocampo y neuronas motoras. Las células neuronales útiles en la invención pueden ser, por ejemplo, neuronas del sistema nervioso central (SNC); células del nueroblastoma; neuronas motoras, neuronas del hipocampo o neuronas del cerebelo y además pueden ser, sin suponer limitación, células Neuro-2A, SH-SY5Y, NG108-15, N1E-115 o SK-N-DZ. El experto entiende que estas neuronas y neuronas adicionales primarias y establecidas pueden ser útiles en las células y procedimientos de la invención.

Las neuronas útiles en aspectos de la invención incluyen, sin suponer limitación, cultivos primarios tales como cultivos primarios de neuronas de ganglios espinales (DGR). Como ejemplo, en Mary J. Welch y col., Sensitivity of embryonic rat dorsal root ganglia neurons to Clostridium botulinum neurotoxins, 38(2) Toxicon 245 258 (2000) se describen cultivos primaries de neuronas DGR de rata embriónicas y en Elaine A. Neale y col., Botulinum neurotoxin A blocks synaptic vesicle exocytosis but not endocytosis at the nerve terminal, 147(6) J. Cell Biol. 1249-1260 (1999) y John A. Chaddock y col., Inhibition of vesicular secretion in both neuronal and non-neuronal cells by a retargeted endopeptidase derivative of Clostridium botulinum neurotoxin type A, 68(5) Infect. Immun. 2587-2593 (2000) se describen cultivos primarios de neuronas de médula espinal fetal, por ejemplo, cultivos primarios de neuronas de médula espinal fetal murina. De este modo, en una realización, una célula capaz de intoxicarse con BoNT/A puede ser una neurona que contiene un FGFR3 exógeno. En aspectos de la presente realización, una neurona puede ser

una neurona de, por ejemplo, un cultivo primario, un cultivo primario de ganglio espinal embriónico o un cultivo primario de médula espinal fetal. Como ejemplos no limitantes, las células útiles según un procedimiento divulgado en la presente memoria descriptiva pueden incluir una célula neuronal primaria que contenga un FGFR3 exógeno tal como, por ejemplo, una neurona de ganglio espinal (DRG) embriónico de rata que contenga un FGFR3 exógeno o una neurona de médula espinal fetal murina que contenga un FGFR3 exógeno.

5

35

40

45

50

55

60

Las líneas celulares neuronales útiles en aspectos de la invención incluyen, sin suponer limitación, líneas celulares de neuroblastoma, líneas celulares híbridas neuronales, líneas celulares de médula espinal, líneas celulares del sistema nervioso central, líneas celulares del córtex cerebral, líneas celulares de ganglio espinal, líneas celulares del hipocampo y líneas celulares de feocromocitoma.

10 Las líneas celulares de neuroblastoma, tales como, por ejemplo, líneas celulares de neuroblastoma murinas, de rata, de primate o humanas pueden ser útiles en aspectos de la invención. Las líneas celulares de nueroblastoma útiles en aspectos de la invención incluyen, sin suponer limitación, BE (2)-C (ATCC CRL-2268; ECACC 95011817), BE(2)-M17 (ATCC CRL-2267; ECACC 95011816), C1300 (ECACC 93120817), CHP-212 (ATCC CRL-2273), CHP-126 (DSMZ ACC 304), IMR 32 (ATCC CRL-127; ECACC 86041809; DSMZ ACC 165), KELLY (ECACC 92110411; 15 DSMZ ACC 355), LA-N-2; véase, por ejemplo, Robert C. Seeger y col., Morphology, growth, chromosomal pattern and fibrinolytic activity of two new human neuroblastoma cell lines, 37(5) Cancer Res. 1364-1371 (1977) y G. J. West y col., Adrenergic, cholinergic, and inactive human neuroblastoma cell lines with the action-potential Na+ ionophore, 37(5) Cancer Res. 1372-1376 (1977), MC-IXC (ATCC CRL-2270), MHH-NB-11 (DSMZ ACC 157), N18Tg2 (DSMZ ACC 103), N1E-115 (ATCC CCL-2263; ECACC 88112303), N4TG3 (DSMZ ACC 101), Neuro-2A (ATCC CCL-131; ECACC 89121404; DSMZ ACC 148), NB41A3 (ATCC CCL-147; ECACC 89121405), NS20Y (DSMZ ACC 94), SH-20 SY5Y (ATCC CRL-2266; ECACC 94030304; DSMZ ACC 209), SIMA (DSMZ ACC 164), SK-NDZ (ATCC CRL-2149; ECACC 94092305), SK-N-F1 (ATCC CRL-2142, ECACC 94092304), SK-N-MC (ATCC HTB-10, DSMZ ACC 203) y SK-N-SH (ATCC HTB-11, ECACC 86012802). De este modo, en una realización, una célula capaz de intoxicarse con BoNT/A puede ser una célula de neuroblastoma que contiene un FGFR3 exógeno. En aspectos de la presente realización, una célula de neuroblastoma puede ser, por ejemplo, BE(2)-C, BE(2)-M17, C1300, CHP-212, CHP-126, 25 IMR 32, KELLY, LA-N-2, MC-IXC, MHHNB- 11, N18Tg2, N1E-115, N4TG3, Neuro-2A, NB41A3, NS20Y, SH-SY5Y, SIMA, SK-N-DZ, SK-N-F1, SK-N-MC v SK-N-SH, Como ejemplos no limitantes, las células útiles para detectar la actividad de BoNT/A según un procedimiento divulgado en la presente memoria descriptiva pueden incluir una célula de neuroblastoma que contiene un FGFR3 exógeno tal como una célula SH-SY5Y que contiene un FGFR3 exógeno; 30 una célula Neuro-2a que contiene un FGFR3 exógeno y una célula N1E-115 que contiene un FGFR3 exógeno y una célula SK-N-DZ que contiene un FGFR3 exógeno.

Las líneas celulares híbridas neuronales, tales como, por ejemplo, líneas celulares neuronales híbridas, pueden ser útiles en aspectos de la invención. Dichas líneas celulares híbridas incluyen híbridos de neuroblastoma/glioma tales como, por ejemplo, N18 (ECACC 88112301), NG108-15 (ATCC HB-12317, ECACC 88112302) y NG115-401L (ECACC 87032003); híbridos de neuroblastoma/neurona motora tales como, por ejemplo, NSC-19 y NSC-34, que expresan características de nuerona motora, muestran un fenotipo similar a neurona multipolar, expresan niveles altos de colina acetiltransferasa (CHAT), generan potenciales de acción, expresan proteínas de triplete neurofilamentosas y sintetizan, almacenan y liberan acetilcolina; véase, por ejemplo, N. R. Cashman y col., Neuroblastoma x spinal cord (NSC) hybrid cell lines resemble developing motor neurons, 194(3) Dev. Dyn. 209-221 (1992) y Christopher J. Eggett y col., Development and characterisation of a glutamate-sensitive motor neuronal cell line, 74 (5) J. Neurochem. 1895-1902 (2000); híbridos de neuroblastoma/neurona de ganglio espinal, tales como, por ejemplo, F11; véase, por ejemplo, Doros Platika y col., Neuronal traits of clonal cell lines derived by fusion of dorsal root ganglia neurons with neuroblastoma cells, 82(10) Proc. Natl. Acad. Sci. U.S.A. 3499-3503 (1985), ND-E (ECACC 92090915), ND-U1 (ECACC 92090916), ND7/23 (ECACC 92090903), ND8/34 (ECACC 92090904) y ND27 (ECACC 92090912); híbridos de neuroblastoma/neurona de hipocampo tales como, por ejemplo, HN-33; véase, por ejemplo, Henry J. Lee y col., Neuronal properties and trophic activities of immortalized hippocampal cells from embryonic and young adult mice. 10(6) J. Neurosci. 1779-1787 (1990). De este modo, en una realización, una célula capaz de intoxicarse con toxina BoNT/A puede ser una neurona híbrida que contiene un FGFR3 exógeno. En aspectos de la presente realización, una neurona híbrida puede ser, por ejemplo, una célula híbrida neuroblastoma/glioma que contien un FGFR3 exógeno, una célula híbrida neuroblastoma/neurona motora que contiene un FGFR3 exógeno, una célula híbrida neuroblastoma/neurona de ganglio espinal que contiene un FGFR3 exógeno y una célula híbrida neuroblastoma/neurona de hipocampo que contiene un FGFR3 exógeno. En otros aspectos de esta realización, un híbrido de neuroblastoma/glioma puede ser, por ejemplo, N18, NG108-15 y NG115-401L. En otros aspectos de esta realización, un híbrido de neuroblastoma/neurona motora puede ser, por ejemplo, NSC-19 y NSC-32. En otros aspectos de esta realización, un híbrido de neuroblastoma/neurona de ganglio espinal puede ser, por ejemplo, F11, ND-E, ND-U1, ND7/23, ND8/34 y ND27. En otros aspectos de esta realización, un híbrido de neuroblastoma/neurona de hipocampo puede ser, por ejemplo, HN-33. Como ejemplos no limitantes, las células útiles para detectar la actividad de BoNT/A según un procedimiento divulgado en la presente memoria descriptiva pueden incluir una célula neuronal híbrida tal como, por ejemplo, una célula NG108-15 que contiene un FGFR3 exógeno.

Las líneas celulares de médula espinal tales como, por ejemplo, líneas celulares de médula espinal murinas, de rata, de primate o humanas pueden ser útiles en aspectos de la invención e incluyen, sin suponer limitación, TE 189.T (ATCC CRL-7947) y M4b; véase, por ejemplo, Ana M. Cardenas y col., Establishment and characterization of

immortalized neuronal cell lines derived from the spinal cord of normal and trisomy 16 fetal mice, an animal model of Down syndrome, 68(1) J. Neurosci. Res. 46-58 (2002). Como ejemplo, una línea celular de médula espinal humana puede generarse a partir de precursores de células de médula espinal embriónicas humanas (embrión del primer trimestre) que se inmortalizan con un oncogén v-myc sensible a tetraciclina tal como se describe por Ronghao Li y col., Motoneuron differentiation of immortalized human spinal cord cell lines, 59(3) J. Neurosci. Res. 342-352 (2000). Dichas células pueden expandirse indefinidamente en condiciones de crecimiento proliferativas antes de una diferenciación rápida (4-7 días) en neuronas funcionales que expresan marcadores fenotípicos neuronales tales como colina acetiltransferasa. Como otro ejemplo, una línea celular de médula espinal murina puede prepararse inmortalizando un cultivo de médula espinal embriónica usando medio transformante. Dicha línea celular de médula espinal puede ser, por ejemplo, la línea M4b murina y puede expresar marcadores neuronales tales como NSE, sinaptofisina, MAP 2 y colina acetiltransferasa, y puede liberar acetilcolina después de la estimulación apropiada; véase, por ejemplo, Cardenas y col., anteriormente, (2002). De este modo, en una realización, una célula capaz de intoxicarse con BoNT/A puede ser una célula de médula espinal que contiene un FGFR3 exógeno. En aspectos de esta realización, una célula de médula espinal que contiene un FGFR3 exógeno.

Las líneas celulares del sistema nervioso central (SNC), tales como, por ejemplo, líneas celulares del SNC murinas, de rata, de primate y humanas pueden ser útiles en aspectos de la invención. Una línea celular de SNC puede ser, por ejemplo, una línea del SNC inmortalizada con un oncogén v-myc sensible a tetraciclina tal como se describe, por ejemplo, por Dinah W. Sah y col., Bipotent progenitor cell lines from the human CNS, 15(6) Nat. Biotechnol. 574-580 (1997). Después de la represión del oncogén, las células se diferencian en neuronas. De este modo, en una realización, una célula capaz de intoxicarse con BoNT/A puede ser una célula del SNC que contiene un FGFR3 exógeno.

Las líneas de córtex cerebral tales como, por ejemplo, las líneas de córtex cerebral murinas, de rata, de primate y humanas pueden ser útiles en aspectos de la invención e incluyen, sin suponer limitación, CNh, véase, por ejemplo, Ana M. Cardenas y col., Calcium signals in cell lines derived from the cerebral cortex of normal and trisomy 16 mice, 10(2) Neuroreport 363-369 (1999), HCN-1a (ATCC CRL-10442) y HCN-2 (ATCC CRL-10742). Como ejemplo, cultivos primarios de córtex murino de embriones de 12-16 días pueden inmortalizarse, por ejemplo, cultivando las células en medio acondicionado a partir de líneas celulares de tiroides de rata que inducen transformación *in vitro*. Las células inmortalizadas pueden diferenciarse en neuronas que expresan marcadores neuronales usando el medio apropiado; estas células diferenciadas expresan colina acetiltransferasa y segregan acetilcolina y glutamato en respuesta a despolarización y estimulación nicotínica, véase, por ejemplo, David D. Allen y col., Impaired cholinergic function in cell lines derived from the cerebral cortex of normal and trisomy 16 mice, 12(9) Eur. J. Neurosci. 3259-3264 (2000). De este modo, en una realización, una célula capaz de intoxicarse con BoNT/A puede ser una célula del córtex cerebral que contiene un FGFR3 exógeno. En aspectos de esta realización, una célula de córtex cerebral que contiene un FGFR3 exógeno, una célula HCN-1a que contiene un FGFR3 exógeno, una célula HCN-1a que contiene un FGFR3 exógeno.

Las líneas celulares de ganglio espinal tales como, por ejemplo, líneas celulares de ganglio espinal murinas, de rata, de primate y humanas pueden ser útiles en aspectos de la invención e incluyen, sin suponer limitación, G4b, véase, por ejemplo, David D. Allen y col., A dorsal root ganglia cell line derived from trisomy 16 fetal mice, a model for Down syndrome, 13(4) Neuroreport 491-496 (2002). Los cultivos primarios de ganglio espinal embrionario pueden inmortalizarse con medio acondicionado de transformación tal como se ha descrito anteriormente. Después de la diferenciación, la línea celular muestra rasgos neuronales y carece de marcadores gliales por inmunohistoquímica. La liberación de neurotransmisores tales como acetilcolina puede inducirse en respuesta a potasio y nicotina, Allen y col., anteriormente, (2002). De este modo, en una realización, una célula capaz de intoxicarse con BoNT/A puede ser una célula del ganglio espinal que contiene un FGFR3 exógeno. En aspectos de esta realización, una célula de ganglio espinal puede ser, por ejemplo, una célula G4b que contiene un FGFR3 exógeno.

Las líneas celulares de hipocampo tales como, por ejemplo, líneas de hipocampo murinas, de rata, de primate y humanas pueden ser útiles en aspectos de la invención e incluyen, sin suponer limitación, HT-4, véase, por ejemplo, K. Frederiksen y col., Immortalization of precursor cells from the mammalian CNS, 1(6) Neuron 439-448 (1988) y HT-22, véase, por ejemplo, John B. Davis and Pamela Maher, Protein kinase C activation inhibits glutamate-induced cytotoxicity in a neuronal cell line, 652(1) Brain Res. 169-173 (1994). Como ejemplo no limitante, la línea celular de hipocampo HT-22 murina puede ser útil en la invención. Como ejemplo no limitante, la línea celular de hipocampo HN33 inmortalizada puede ser útil en la invención. Esta línea celular de hipocampo se derivó de la fusión de neuronas primarias a partir del hipocampo de ratones de 21 días con la línea cellular de nueroblastoma N18TG2 y, cuando se diferencian, comparten propiedades de membrana con neuronas de hipocampo adulto en cultivos primarios, véase, por ejemplo, Henry J. Lee y col., Neuronal Properties and Trophic Activities of Immortalized Hippocampal Cells from Embryonic and Young Adult Mice, 19(6) J. Neurosci. 1779-1787 (1990) y Henry J. Lee y col., Immortalized young adult neurons from the septal region: generation and characterization, 52(1-2) Brain Res. Dev Brain Res. 219-228 (1990). De este modo, en una realización, una célula capaz de intoxicarse con BoNT/A puede ser una célula del hipocampo que contiene un FGFR3 exógeno. En aspectos de esta realización, una célula de hipocampo que contiene un FGFR3 exógeno puede ser, por ejemplo, una célula HT-4 que contiene un FGFR3 exógeno, una célula HT-4 que contiene un FGFR3 exógeno, una célula HT-4 que contiene un FGFR3 exógeno.

Una diversidad de células no neuronales son útiles en aspectos de la invención. Las células no neuronales útiles en aspectos de la invención incluyen, sin suponer limitación, células no neuronales primarias; células no neuronales inmortalizadas o establecidas; células no neuronales transformadas; células tumorales no neuronales; células no neuronales transfectadas de forma estable o transitoria y además incluyen, sin estar limitadas a, células no neuronales de mamífero, murinas, de rata, de primate y humanas. Las células no neuronales útiles en aspectos de la invención también incluyen, sin suponer limitación, cualquiera de las células primarias o establecidas siguientes: células de la pituitaria anterior; células suprarrenales tales como, por ejemplo, células de cromafina de la médula suprarrenal; células pancreáticas tales como, por ejemplo, células acinares pancreáticas, células de los islotes K pancreáticas e células HIT o INS-1 del insulinoma; células de ovario tales como, por ejemplo, células de ovario productoras de esteroides; células renales tales como, por ejemplo, células del conducto colector medular interno (IMCD); células estomacales tales como, por ejemplo, células de enterocromafina; células sanguíneas tales como. por ejemplo, euritrocitos, leucocitos, plaquetas, neutrófilos, eosinófilos, mastocitos; células epiteliales tales como, por ejemplo, las de la membrana plasmática apical; fibroblastos; células del tiroide; condrocitos; células musculares; hepatocitos; céulas glandulares tales como, por ejemplo, células de pituitaria, células suprarrenales, célula de cromafina; y células implicadas en la translocación del transportador de glucosa (GLUT4). De este modo, en una realización, una célula capaz de intoxicarse con BoNT/A puede ser una célula no neuronal. En aspectos de esta realización, una célula no neuronal puede ser de una línea celular no neuronal primaria o establecida de, por ejemplo, células de pituitaria anterior, células suprarrenales, células pancreáticas, células de ovarios, células renales, células de estómago, células sanguíneas, células epiteliales, fibroblastos, células de tiroides, condrocitos, células musculares, hepatocitos y células glandulares.

5

10

15

20

25

30

35

40

45

50

55

60

Como ejemplos no limitantes, las células útiles para detectar la actividad de BoNT/A según un procedimiento divulgado en la presente memoria descriptiva pueden incluir una célula no neuronal primaria o establecida que contiene un FGFR3 exógeno, tal como, por ejemplo, una célula de cromafina que contiene un FGFR3 exógeno o una célula acinar pancreática que contiene un FGFR3 exógeno; una célula neuronal primaria que contiene un FGFR3 exógeno.

Tal como se ha debatido anteriormente, las células útiles en la invención incluyen células neuronales y no neuronales que expresan niveles bajos o indetectables de receptor endógeno pero que han sido transfectadas con, o diseñadas de otro modo para expresar, una o varias moléculas de ácido nucleico que codifican uno o varios FGFR3. Las células útiles en aspectos de la presente invención también incluyen, sin suponer limitación, células transformadas, tumorales o de otro tipo que sobreexpresan uno o varios FGFR3 exógenos. Se entiende que el receptor sobreexpresado puede ser una forma natural del receptor o puede incluir una o varias modificaciones de aminoácidos en comparación con el receptor natural, con la condición de que el proceso de intoxicación con BoNT/A puede tener lugar aún. Como ejemplo no limitante, las células útiles para detector la actividad de BoNT/A abarcan las que expresan o sobreexpresan un FGFR3 exógeno de mamífero tal como, por ejemplo, un FGFR3 humano, un FGFR3 bovino, un FGFR3 de rata o un FGFR3 de ratón. Como otro ejemplo no limitante, las células útiles para detector la actividad de BoNT/A abarcan las que expresan o sobreexpresan un FGFR3 exógeno de ave, tal como, por ejemplo, FGFR3 de pollo. Como otro ejemplo no limitante, las células útiles para detector la actividad de BoNT/A abarcan las que expresan o sobreexpresan un FGFR3 exógeno de anfibio, tal como, por ejemplo, un FGFR3 de tritón o un FGFR3 de rana. Como otro ejemplo no limitante, las células útiles para detector la actividad de BoNT/A abarcan las que expresan o sobreexpresan un FGFR3 exógeno de pez, tal como, por ejemplo, FGFR3 de pez cebra.

De este modo, en una realización, una célula capaz de intoxicarse con BoNT/A puede ser una célula que expresa de forma estable un FGFR3 exógeno. En aspectos de esta realización, una célula capaz de intoxicarse con BoNT/A puede ser una célula que expresa de forma estable un FGFR3 exógeno de mamífero tal como, por ejemplo, un FGFR3 humano, un FGFR3 bovino, un FGFR3 de rata o un FGFR3 de ratón. En otros aspectos de esta realización, una célula capaz de intoxicarse con BoNT/A puede ser una célula que expresa de forma estable un FGFR3 exógeno de ave tal como, por ejemplo, un FGFR3 de pollo. En otros aspectos de esta realización, una célula capaz de intoxicarse con BoNT/A puede ser una célula que expresa de forma estable un FGFR3 exógeno de anfibio tal como, por ejemplo, un FGFR3 de tritón o un FGFR3 de rana. En otros aspectos de esta realización, una célula capaz de intoxicarse con BoNT/A puede ser una célula que expresa de forma estable un FGFR3 exógeno de pez tal como, por ejemplo, un FGFR3 de pez cebra.

Aspectos de la presente invención proporcionan, en parte, detectar la presencia de actividad de BoNT/A de dicha célula puesta en contacto con relación a la célula de control, siendo una diferencia en dicha actividad de BoNT/A de dicha célula puesta en contacto en comparación con dicha célula de control indicativo de actividad de BoNT/A. Tal como se usa en el presente documento, el término "célula de control" significa una célula del mismo tipo o similar que la célula puesta en contacto y cultivada en las mismas condiciones pero que no se ha puesto en contacto con ninguna muestra o se ha puesto en contacto con una muestra definida negativa o una muestra definida positiva. Un experto en la técnica entiende que una diversidad de células de control son útiles en los procedimientos divulgados en la presente memoria descriptiva y que una célula de control puede ser una célula de control positivo o una célula de control negativo. Una célula de control puede ser, por ejemplo, una célula de control negativo tal como una célula similar o idéntica que contiene el mismo FGFR3 o similar que se pone en contacto con una muestra similar definida negativa que se sabe que carece de BoNT/A activo, o que no se pone en contacto con ninguna muestra. Una célula de control puede ser, por ejemplo una célula de control positive tal como una célula similar o identica que contiene el

mismo FGFR3 o similar puesta en contacto con una muestra definida positiva que se sabe que incluye BoNT/A activo.

5

10

15

20

25

30

35

40

45

50

55

60

Puede usarse una amplia variedad de ensayos para determinar la presencia de actividad de BoNT/A, incluidos ensayos directos e indirectos de captación de toxina. Los ensayos para determinar las propiedades de unión o captación de BoNT/A pueden usarse para evaluar la actividad de BoNT/A. Dichos ensayos incluyen, sin suponer limitación, ensayos de reticulación usando BoNT/A etiquitada, tales como, por ejemplo, BoNT/ASBED; véase, por ejemplo, el ejemplo II de la presente memoria descriptiva y [125 I] BoNT/A; véanse, por ejemplo, Noriko Yokosawa y col., Binding of Clostridium botulinum type C neurotoxin to different neuroblastoma cell lines, 57(1) Infect. Immun. 272-277 (1989); Noriko Yokosawa y col., Binding of botulinum type CI, D and E neurotoxins to neuronal cell lines and synaptosomes, 29 (2) Toxicon 261-264 (1991) y Tei-ichi Nishiki y col., Identification of protein receptor for Clostridium botulinum type B neurotoxin in rat brain synaptosomes, 269(14) J. Biol. Chem. 10498-10503 (1994). Otros ensavos no limitantes incluyen ensayos inmunocitoquímicos que detectan la unión a toxina usando anticuerpos marcados o no marcados; véase, por ejemplo, Atsushi Nishikawa y col., The receptor and transporter for internalization of Clostridium botulinum type C progenitor toxin into HT-29 cells, 319(2) Biochem. Biophys. Res. Commun. 327-333 (2004), y ensayos de inmunoprecipitación; véase, por ejemplo, Yukako Fujinaga y col., Molecular characterization of binding subcomponents of Clostridium botulinum type C progenitor toxin for intestinal epithelial cells and erythrocytes, 150(Pt 5) Microbiology 1529-1538 (2004). Los anticuerpos útiles para estos ensayos incluven, sin suponer limitación, anticuerpos seleccionados contra una BoNT/A, anticuerpos seleccionados contra un receptor de BoNT/A, tal como, por ejemplo, FGFR3, anticuerpos seleccionados contra un gangliósido, tal como, por ejemplo, GD1a, GD1b, GD3, GQ1b o GT1b y anticuerpos seleccionados contra un compuesto de ensavo, tal como, por ejemplo, una molécula que se une selectivamente al receptor de BoNT/A, modulando la unión selectiva la actividad de BoNT/A. Si el anticuerpo está marcado, la unión de la molécula puede detectarse usando diversos medios, incluidos inmunotransferencia (Western), observación microscópica directa de la localización celular del anticuerpos, medición de anticuerpo unido a la célula o al sustrato seguido de etapa de lavado o electroforesis, usando técnicas bien conocidas por los expertos en la técnica. Si el anticuerpo no está marcado, puede usarse un anticuerpo secundario marcado para la detección indirecta de la molécula unida y la detección puede realizarse como para un anticuerpo marcado. Se entiende que estos ensayos y otros similares que determinan las propiedades o características de captación de BoNT/A pueden ser útiles para detectar la actividad de BoNT/A.

Los ensayos de seguimiento de la liberación de una molécula tras exposición a BoNT/A también pueden ser útiles para evaluar la presencia de actividad de BoNT/A. En estos ensayos, la inhibición de la liberación de la molécula tendría lugar en células que expresan un FGFR3 después del tratamiento con BoNT/A. Como ejemplo no limitante, con el ensayo de inhibición de la liberación de insulina divulgado en la presente memoria descriptiva puede realizarse un seguimiento de la liberación de una molécula tras exposición a BoNT/A y, por lo tanto, ser útil en la evaluación de si una molécula se une selectivamente a un receptor BoNT/A (véase el ejemplo I). Otros ensayos no limitantes incluyen procedimientos que miden la inhibición de la liberación de catecolamina radiomarcada desde neuronas, tales como, por ejemmplo, la liberación de [3H] norsuprarrenalina o [3H] dopamine; véase, por ejemplo, A Fassio y col., Evidence for calcium-dependent vesicular transmitter release insensitive to tetanus toxin and botulinum toxin type F, 90(3) Neuroscience 893-902 (1999) y Sara Stigliani y col., The sensitivity of catecholamine release to botulinum toxin C1 and E suggests selective targeting of vesicles set into the readily releasable pool, 85(2) J. Neurochem. 409-421 (2003), o miden la liberación de catecolamina usando procedimientos flurométricos; véase, por ejemplo, Anton de Paiva y col., A role for the interchain disulfide or its participating thiols in the internalization of botulinum neurotoxin. A revealed by a toxin derivative that binds to ecto-acceptors and inhibits transmitter release intracellularly, 268(28) J. Biol. Chem. 20838-20844 (1993); Gary W. Lawrence y col., Distinct exocytotic responses of intact and permeabilised chromaffin cells after cleavage of the 25-kDa synaptosomal-associated protein (SNAP-25) or synaptobrevin by botulinum toxin A or B, 236(3) Eur. J. Biochem. 877-886 (1996); y Patrick Foran y col., Botulinum neurotoxin CI cleaves both syntaxin and SNAP-25 in intact and permeabilized chromaffin cells; correlation with its blockade of catecholamine release, 35(8) Biochemistry 2630-2636 (1996); y procedimientos que miden la inhibición de liberación de hormonas desde células endocrinas, tales como, por ejemplo células de la pituitaria anterior o células de ovarios. Se entiende que estos ensayos y otros similares de análisis de liberación de moléculas pueden ser útiles para evaluar la actividad de BoNT/A.

Como ejemplos no limitantes, un ensayo de inhibición de liberación de insulina puede usarse para determinar la presencia de actividad de BoNT/A en células que contienen un FGFR3 y son capaces de segregar insulina; puede usarse un ensayo de inhibición de liberación de norsuprarrenalina para determinar la actividad de BoNT/A en células que contienen un FGFR3 y son capaces de segregar norsuprarrenalina y puede usarse un ensayo de inhibición de liberación de estrógeno para determinar la actividad de BoNT/A en células que contienen un FGFR3 y son capaces de segregar estrógeno.

Los ensayos para detectar la escisión de un sustrato de BoNT/A después de exposición a BoNT/A también pueden usarse para evaluar la presencia de actividad de BoNT/A. En estos ensayos, la generación de un producto de escisión de BoNT/A se detectaría después del tratamiento con BoNT/A. Como ejemplo no limitante, en ensayo de escisión de SNAP-25 que se divulga en la presente memoria descriptiva puede detectar la escisión de un sustrato de BoNT/A después de la exposición a BoNT/A y, por lo tanto, ser útil para evaluar la actividad de BoNT/A (véase el ejemplo I). Otros procedimientos no limitantes útiles para detectar la escisión de un sustrato de BoNT/A después de la exposición a BoNT/A se describen por, por ejemplo, Lance E. Steward y col., FRET Protease Assays for

Botulinum Serotype A/E Toxins, Publicación de patente de Estados Unidos Nº. 2003/0143650 (31 de julio, 2003) y Ester Fernandez-Salas y col., Cell-based Fluorescence Resonance Energy Transfer (FRET) Assays for Clostridial Toxins, Publicación de patente de Estados Unidos Nº 2004/0072270 (15 de abril, 2004). Se entiende que estos ensayos y otros similares para determinar la escisión del sustratao de BoNT/A pueden ser útiles para evaluar la actividad de BoNT/A.

5

10

15

20

25

30

35

40

45

50

55

60

Como ejemplos no limitantes, el análisis de inmunotransferencia (Western) usando un anticuerpo que reconoce el producto de escisión de SNAP-25 de BoNT/A puede usarse para determinar la presencia de actividad de BoNT/A. Los ejemplos de anticuerpos anti-SNAP-25 útiles para estos ensayos incluyen, sin limitación, antisuero anti-SNAP25<sup>197</sup> policional de conejo pAb anti-SNAP25197 Nº 1 (Allergan, Inc., Irvine, CA, Estados Unidos), anticuerpo anti-SNAP-25 monoclonal de ratón SMI-81 (Sternberger Monoclonals, Lutherville, MD, Estados Unidos), anticuerpo anti-SNAP-25 monoclonal de ratón CI 71.1 (Synaptic Systems, Goettingen, Alemania), anticuerpo anti-SNAP-25 monoclonal de ratón CI 71.2 (Synaptic Systems, Goettingen, Alemania), anticuerpo anti-SNAP-25 monoclonal de ratón SP12 (Abcam, Cambridge, MA, Estados Unidos), antisuero anti-SNAP-25 policional de conejo (Synaptic Systems, Goettingen, Alemania) y antisuero anti-SNAP-25 policional de conejo (Abcam, Cambridge, MA, Estados Unidos).

Los procedimientos divulgados en la presente memoria descriptiva incluyen, en parte, una muestra. Tal como se usa en el presente documento, el término "muestra" significa cualquier material biológico que contenga o contenga potencialmente una BoNT/A activa. Puede analizarse una diversidad de muestras según un procedimiento divulgado en la presente memoria descriptiva que incluye, sin limitación, BoNT/A purificada, parcialmente purificada o no purificada; toxina monocatenaria o bicatenaria recombinante con una secuencia de origin natural o no natural; BoNT/A recombinante con una específicidad de proteasA modificada; BoNT/A recombinante con una específicada celular alterada; toxina quimérica que contiene elementos estructurales de múltiples especies o subtipos de BoNT/A; BoNT/A a granel; producto de BoNT/A formulado y alimentos; células o lisados celulares brutos fraccionados o parcialmente purificados, por ejemplo, diseñados para incluir un ácido nucleico recombinante que codifica un BoNT/A; lisados bacterianos, baculovíricos y de levadura; alimentos crudos, cocinados, parcialmente cocinados o procesados; refrescos; productos de alimentación de animales; muestras de suelo; muestras de aqua; sedimentos de estangues: lociones: cosméticos y formulaciones clínicas. Se entiende que el término muestra abarca muestras de tejidos, incluidas, sin limitación, muestras de tejidos de mamíferos, muestras de tejidos de ganado tales como muestras de tejidos de oveja, vaca o cerdo, muestras de tejidos de primates y muestras de tejidos humanos. Dichas muestras abarcan, sin limitación, muestras intestinales tales como muestras intestinales de niños, muestras de tejidos obtenidas de una herida. Otras muestras de este tipo incluyen tejido de mamífero, saliva de mamífero, excreciones de mamífero y heces de mamífero. Como ejemplo no limitante, un procedimiento de la presente invención puede ser útil para detectar la presencia o actividad de una BoNT/A en una muestra de comida o bebida: para evaluar una muestra de un ser humano o de un animal, por ejemplo, expuesta a una BoNT/A o que tiene uno o varios síntomas de exposición a BoNT/A; para realizar un seguimiento de la actividad durante la producción y purificación de BoNT/A o para analizar productos de BoNT/A formulados tales como productos farmacéuticos o cosméticos.

Se considera que puede usarse una amplia variedad de formatos de procesamiento junto con los procedimientos divulgados en la presente memoria descriptiva, incluidos, sin limitación, procesamiento manual, procesamiento parcialmente automatizado, procesamiento semiautomatizado, procesamientos totalmente automatizado, procesamiento de alto rendimientos, procesamiento de alto contenido y similares o cualquier combinación de los mismos.

Un aspecto de referencia proporciona procedimientos de reducción de la actividad de BoNT/A en un ser humano que comprenden administrar a dicho ser humano una composición farmacéutica que comprende una molécula que se une selectivamente a un FGFR3, en los que dicha unión selectiva reduce la capacidad de BoNT/A de unirse a dicho FGFR3. Se considera que cualquier molécula que puede unirse selectivamente a un FGFR3 de un modo que evita la unión de BoNT/A al mismo FGFR3 puede ser útil, incluidas, sin limitación, un anticuerpo anti-FGFR3, un FGF o un agonista de FGF. Además, un FGFR3, un fragmento de FGFR3 que mantiene la actividad de unión selectiva a BoNT/A o un peptidomimético del mismo también puede ser útil. Las moléculas que se unen selectivamente a FGFR3 y que, por lo tanto, son útiles en procedimientos para reducir la actividad de BoNT/A se describen por, por ejemplo, Avner Yayon y col., Antibodies that block receptor protein tyrosone kinase activation, methods of screening for and using thereof, Publicación internacional de patente WO 02/102972 (27 de diciembre, 2002); Avner Yayon y col., Antibodies that block receptor protein tyrosone kinase activation, methods of screening for and using thereof, Publicación internacional de patente N° WO 02/102973 (27 de diciembre, 2002) y Elisabeth Thomassen-Wolf y col., Antibodies that block receptor protein tyrosone kinase activation, methods of screening for and using thereof, Publicación internacional de patente N° WO 02/102854 (27 de diciembre, 2002)

Los aspectos de referencia proporcionan, en parte, un procedimiento para reducir la actividad de BoNT/A en un ser humano administrando una composición farmacéutica que comprende una molécula que se une selectivamente a un FGFR3. La composición administrada puede formularse en una variedad de medios farmacéuticamente aceptables, tal como se describe más adelante. Una dosis eficaz de una composición divulgada en la presente memoria descriptiva dependerá de la molécula particular seleccionada, la vía de administración y las características particulares del ser humano u otro mamífero, tales como la edad, el peso, el estado general de salud y similares.

Una dosis eficaz puede determinarse en un modelo animal antes de la administración a seres humanos. Las composiciones útiles en aspectos de la invención pueden administrarse usando una variedad de vías de estímulo y respuesta inmunitaria. Como ejemplo no limitante, la tolerancia oral está bien reconocida en la técnica (véase, por ejemplo, Weiner, Hospital Practice, páginas 53-58 (15 de septiembre, 1995). Los expertos en la técnica pueden determinar fácilmente para una composición particular, una composición farmacológica adecuada, una carga útil de antígeno apropiada; la vía de administración; el volumen de la dosis y la pauta farmacéutica útil en un animal en particular, por ejemplo, seres humanos.

5

10

15

20

30

35

40

45

50

55

60

Tal como se divulga en el presente documento, una composición farmacéutica se administra a un ser humano o a otro mamífero para reducir la actividad de BoNT/A. Tal como se usa en el presente documento, el término "reducir" cuando se usa con referencia a la administración a un ser humano u otro mamífero de una cantidad eficaz de una composición farmacéutica significa reducir un síntoma de una afección caracterizada por la exposición a la actividad de BoNT/A, o retrasar o evitar la aparición de un síntoma de una afección caracterizada por la exposición a la actividad de BoNT/A en el ser humano u otro mamífero. Por ejemplo, la expresión "que reduce" puede significar que reduce un síntoma de una afección caracterizada por la exposición a la actividad de BoNT/A en al menos el 30 %, 40 %, 60 %, 70 %, 80 %, 90 % o el 100 %. La eficacia de una composición farmacéutica en el tratamiento de una afección caracterizada por la exposición a la actividad de BoNT/A puede determinarse observando uno o varios síntomas clínicos o indicadores fisiológicos asociados con la afección. Una mejora en una afección caracterizada por la exposición a la actividad de BoNT/A también puede indicarse por una necesidad reducida de una terapia simultánea. Los expertos en la técnica conocerán los síntomas apropiados o indicadores asociados con afecciones específicas y sabrán como determinar si un ser humano u otro mamífero es candidato al tratamiento con una composición farmacéutica que se divulga en la presente memoria descriptiva. En particular, se entiende que los expertos en la técnica serán capaces de determinar si una afección está caracterizada por una exposición a la actividad de BoNT/A comparando, por ejemplo, los niveles de actividad de BoNT/A del ser humano u otro mamífero con unas células de control normales.

Los expertos pueden determinar la cantidad eficaz apropiada para administrar para una aplicación particular de los procedimientos usando las guías que se proporcionan en el presente documento. Por ejemplo, una cantidad eficaz puede extrapolarse a partir de ensayos tal como se ha descrito anteriormente en el presente documento. Un experto en la técnica reconocerá que puede realizarse un seguimiento de la condición del paciente a lo largo de la terapia y que la cantidad eficaz de una composición que se administra puede ajustarse consecuentemente.

Una composición farmacéutica útil en aspectos de la invención se administra generalmente en una composición farmacéuticamente aceptable. Tal como se usa en el presente documento, el término "farmacéuticamente aceptable" se refiere a cualquier entidad molecular o composición que no produce una reacción adversa, alérgica o de otro tipo perjudicial o no deseado cuando se administra a un ser humano o a otro mamífero. Tal como se usa en el presente documento, la expresión "composición farmacéuticamente aceptable" se refiere a una concentración terapéuticamente eficaz de un ingrediente activo. Una composición farmacéutica puede administrarse a un paciente sola o en combinación con otros ingredientes activos, agentes, fármacos u hormonas suplementarios. Las composiciones farmacéuticas pueden fabricarse usando cualquier procedimiento de una diversidad de los mismos, incluidos, sin limitación, mezclado convencional, disolución, granulación, fabricación de grageas, levigación, emulsión, encapsulamiento, atrapamiento y liofilación. La composición farmacéutica puede tomar cualquier forma entre una diversidad de las mismas, que incluyen, sin limitación, una solución estéril, suspensión, emulsión, liofilizado, comprimido, pastilla, pella, cápsula, polvo, jarabe, elixir o cualquier otra forma farmacéutica adecuada para su administración.

Se contempla también que una composición farmacéutica divulgada en la presente memoria descriptiva puede incluir, opcionalmente, un vehículo farmacéuticamente aceptable que facilita el procesamiento de un ingrediente activo en composiciones farmacéuticamente aceptables. Tal como se usa en el presente documento, la expresión "vehículo farmacológicamente aceptable" se refiere a cualquier vehículo que no tenga un efecto negativo a largo plazo o permanente cuando se administra y abarca expresiones tales como "vehículo, estabilizante, diluyente, auxiliar o excipiente farmacológicamente aceptable". Un vehiculo de este tipo se mezcla generalmente con un compuesto activo, o permite diluir o incluir el compuesto activo y puede ser un agente sólido, semisólido o líquido. Se entiende que los ingredientes activos pueden ser solubles en, o pueden proporcionarse en forma de suspensión a, el vehículo o diluyente deseado. Puede usarse cualquier vehículo farmacéuticamente aceptable entre una diversidad de los mismos, incluidos, sin limitación, medios acuosos tales como, por ejemplo aqua destilada, aqua desionizada, solución salina: disolventes; medios dispersantes; recubrimientos; agentes antibacterianos y antifúngicos; agentes isotónicos y retardantes de la absorción o cualquier otro ingrediente inactivo. La selección de un vehículo farmacológicamente aceptable puede depender de la vía de administración. Excepto en la medida en que cualquier vehículo farmacológicamente aceptable sea incompatible con el ingrediente activo, se contempla su uso en las composiciones farmacéuticamente aceptables. Ejemplos no limitantes de usos específicos de dichos vehículos farmacéuticos pueden encontrarse en PHARMACEUTICAL DOSAGE FORMS AND DRUG DELIVERY SYSTEMS (Howard C. Ansel y col., ed., Lippincott Williams & Wilkins Publishers, 7ª ed., 1999); REMINGTON: THE SCIENCE AND PRACTICE OF PHARMACY (Alfonso R. Gennaro ed., Lippincott, Williams & Wilkins, 20a ed. 2000); GOODMAN & GILMAN'S THE PHARMACOLOGICAL BASIS OF THERAPEUTICS (Joel G. Hardman y col., eds., McGraw-Hill Professional, 10a ed., 2001) y HANDBOOK OF PHARMACEUTICAL EXCIPIENTS (Raymond C. Rowe y col., APhA Publications, 4ª edición, 2003). Estos protocolos son procedimientos rutinarios y cualquier modificación está dentro del alcance de un experto en la técnica y de las enseñanzas del presente documento.

5

10

15

20

25

30

35

40

45

50

55

60

Se considera además que una composición farmacéutica divulgada en la presente memoria descriptiva puede incluir opcionalmente, sin limitación, otros componentes farmacéuticamente aceptables, incluidos, sin limitación, tampones, conservantes, ajustadores de la tonicidad, sales, antioxidantes, sustancias fisiológicas, sustancias farmacéuticas, agentes voluminizadores, agentes emulsionantes, agentes humectantes, edulcorantes o aromas y similares. Pueden usarse diversos tampones y medios para ajustar el pH para preparar una composición farmacéutica divulgada en la presente memoria descriptiva, siempre que la preparación resultante sea farmacéuticamente aceptable. Dichos tampones incluyen, sin limitación, tampones de acetato, tampones de fosfato, soluciones salinas tamponadas a pH neutro, solución salina tamponada con fosfato y tampones de borato. Se entiende que pueden usarse ácidos o bases para ajustar el pH de una composición como sea necesario. Los antioxidantes farmacéuticamente aceptables incluyen, sin limitación, metabisulfito de sodio, tiosulfato de sodio, acetilcisteína, hidroxianisol butilado e hidroxitolueno butilado. Los conservantes útiles incluyen, sin limitación, cloruro de benzalconio, clorobutanol, timerosal, acetato fenilmercúrico, nitrato fenilmercúrico y una composición de oxicloro estabilizada, por ejemplo, PURITE<sup>®</sup>. Los ajustadores de la tonicidad en una composición farmacéutica incluyen, sin limitación, sales tales como, por ejemplo, cloruro de sodio, cloruro de potasio, manitol o glicerina y otros ajustadores de la tonicidad farmacéuticamente aceptables. La composición farmacéutica puede proporcionarse en forma de sal y puede formarse con muchos ácidos, incluidos, pero no limitados a, ácido clorhídrico, sulfúrico, acético, láctico, tartárico, málico, succínico, etc. Las sales tienden a ser más solubles en disolventes acuosos o protónicos de otro tipo que las formas de base libre correspondientes. Se entiende que estas y otras sustancias conocidas en la técnica de la farmacología pueden incluirse en una composición farmacéutica útil en la invención.

Una composición farmacéutica útil en un procedimiento de la divulgación se administra a un ser humano o a otro mamífero en una cantidad eficaz. Dicha cantidad eficaz, generalmente, es la dosis mínima necesaria para lograr el efecto terapéutico deseado, que puede ser, por ejemplo, la cantidad aproximadamente necesaria para reducir los síntomas asociados con la exposición a la actividad de BoNT/A. Por ejemplo, la expresión "cantidad eficaz" cuando se usa con respecto al tratamiento de la exposición a la actividad de BoNT/A puede ser una dosis suficiente para reducir los síntomas, por ejemplo, en al menos el 30 %, 40 %, 50 %, 60 %, 70 %, 80 %, 90 % o el 100 %. Dicha dosis, generalmente, se encuentra en el intervalo de 0,1-1.000 mg/día y puede estar, por ejemplo, en el intervalo de 0,1-500 mg/día, 0,5-500 mg/día, 0,5-100 mg/día, 0,5-50 mg/día, 0,5-20 mg/día, 0,5-10 mg/día o 0,5-5 mg/día, con la cantidad real que se va a administrar determinada por un médico que tenga en cuenta las circunstancias pertinentes, incluida la gravedad de la exposición a la BoNT/A, la edad y el peso del paciente, la condición física general del paciente, la causa de la exposición a BoNT/A y la vía de administración. Cuando se usa una administración repetida, la frecuencia de la administración depende, en parte, de la semivida de la composición farmacéutica. Los supositorios y las formulaciones de liberación prolongada pueden ser útiles en la invención, e incluyen, por ejemplo, parches dérmicos, formulaciones para depositar sobre o debajo de la piel y formulaciones para inyección intramuscular. Se entiende que las formulaciones de liberación lenta también pueden ser útiles en los procedimientos de la invención. El sujeto que recibe la composición farmacéutica puede ser cualquier mamífero u otro vertebrado capaz de experimentar una exposición a la actividad de BoNT/A, por ejemplo, un ser humano, primate, caballo, vaca, perro, gato o ave.

Pueden ser útiles diversas vías de administración para reducir la actividad de BoNT/A según un procedimiento de la invención. Una composición farmacéutica útil en los procedimientos de la invención puede administrarse a un mamífero mediante cualquiera de entre una diversidad de medios dependiendo de, por ejemplo, el tipo y localización de la exposición a BoNT/A que se va a tratar, la composición farmacéutica u otro compuesto que está incluido en la composición, y el historial, factores de riesgo y síntomas del sujeto. Las vías de administración adecuadas para los procedimientos de la invención incluyen tanto la administración sistémica como la local. Como ejemplos no limitantes, una composición farmacéutica útil para reducir la actividad de BoNT/A puede administrarse oralmente o mediante bomba subcutánea; mediante parche dérmico; mediante inyección intravenosa, subcutánea o intramuscular; mediante gotas, cremas, geles o pomadas tópicas; como una formulación de liberación prolongada implantada o invectada: como un sistema de liberación bioerodibles o no bioerodibles; mediante minibomba subcutánea u otro dispositivo implantado; mediante bomba o inyección intratecal o mediante inyección epidural. Una lista de ejemplos de polímeros biodegradables y de procedimientos de uso se describe, por ejemplo, en HANDBOOK OF BIODEGRADABLE POLYMERS (Abraham J. Domb y col., ed., Overseas Publishers Association, 1997); CONTROLLED DRUG DELIVERY: DESIGNING TECHNOLOGIES FOR THE FUTURE (Kinam Park y Randy J. Mrsny ed., American Chemical Association, 2000); Vernon G. Wong, Method for Reducing or Preventing Transplant Rejection in the Eye and Intraocular Implants for Use Therefor, documento de patente de Estados Unidos Nº 6.699.493 (2 de marzo, 2004); Vernon G. Wong v Mae W. L. Hu, Methods for Treating Inflammation-mediated Conditions of the Eye, documento de patente de Estados Unidos Nº 6.726.918 (27 de abril, 2004); David A. Weber y col., Methods and Apparatus for Delivery of Ocular Implants, documento de patente de Estados Unidos No US2004/0054374 (18 de marzo, 2004); Thierry Nivaggioli y col., Biodegradable Ocular Implant, documento de patente de Estados Unidos Nº US2004/0137059 (15 de julio, 2004). Se entiende que la frecuencia y duración de la dosificación dependerá, en parte, del alivio deseado y de la semivida de la composición tolerogénica.

En realizaciones particulares, un procedimiento de la invención se pone en práctica mediante administración periférica de una composición farmacéutica. Tal como se usa en el presente documento, la expresión

"administración periférica" o "administrado periféricamente" significa introducir un agente en un sujeto fuera del sistema nervioso central. La administración periférica abarca cualquier vía de administración diferente a la administración directa a la médula espinal o al cerebro. Como tal, está claro que la administración intratecal y epidural, así como la inyección o implantación craneal no están dentro del ámbito de la expresión "administración periférica" o "administrado periféricamente".

5

10

15

20

25

30

45

50

55

60

La administración periférica puede ser local o sistémica. La administración local da como resultado que se administran más de una composición farmacéutica a, y alrededor de, el sitio de administración local que a regiones que distan del sitio de administración. La administración local da como resultado el suministro de una composición farmacéutica a esencialmente la totalidad del sistema nervios periférico del sujeto y también puede dar como resultado el suministro al sistema nervioso central dependiendo de las propiedades de la composición.

Las vías de administración periférica útiles en los procedimientos de la invención abarcan, sin limitación, administración oral, administración tópica, intravenosa u otra inyección, y minibombas implantadas y otros dispositivos o formulaciones de liberación prolongada. Una composición farmacéutica útil en la invención puede administrarse periféricamente, por ejemplo, oralmente en cualquier forma aceptables tal como en un comprimido, líquido, cápsula, polvo o similar; mediante inyección intravenosa, intraperitoneal, intramuscular, subcutánea o parenteral; mediante difusión transdérmica o electroforesis; tópicamente en cualquier forma aceptables tal como en gotas, cremas, geles o pomadas; y mediane una minibomba u otro dispositivo o formulación de liberación prolongada implantado.

Otros aspectos de la presente invención proporcionan procedimientos para seleccionar una molécula capaz de competir con el BoNT/A para unirse selectivamente a células susceptibles de intoxicarse con BoNT/A poniendo en contacto dicha muestra con una composición que comprende un FGFR3 y detectando si dicha molécula se une selectivamente a dicho FGFR3, en los que la unión selectiva de dicha molécula a dicho FGFR3 indica que dicha molécula es capaz de competir con BoNT/A para unirse selectivamente a células susceptibles de intocarse con BoNT/A v en los que si dicha molécula es BoNT/A, dichos procedimientos no comprenden un ensavo de DL<sub>50</sub>, Tal como se usa en el presente documento, la expresión "unión selectiva" significa que un agente de unión es capaz de unirse a su diana en condiciones fisiológicas, o en condiciones in vitro que sustancialmente se aproximen a las condiciones fisiológicas (es decir, tiene una K<sub>d</sub> o constante de disociación inferior) que a otra molécula no diana de la superficie de la célula neuronal. "K<sub>d</sub>" es la concentración molar del agente de unión a la que están unidas la mitad de las moléculas diana al agente de unión. Tal como se usa en el presente documento, la expresión "ensayo DL50" significa un ensayo in vivo sobre la base de animales vivos de la actividad de nuerotoxinas que comprende detectar la dosis de nuerotoxina a la que el 50 % de los animales tratados muere, véase, por ejemplo, el ensayo de protección de ratones (MPA), Charles L. Hatheway y Carol Dang, Immunogenicity of the Neurotoxins of Clostridium botulinum, 93-107 (Neurological Disease and Therapy-THERAPY WITH BOTULINUM TOXIN, Joseph Jankovic y Mark Hallett ed., Marcel Dekker, 1994).

Se considera que cualquiera de las condiciones de ensayo, y todas ellas, adecuados para analizar una molécula capaz de competir con BoNT/A para unirse selectivamente a células susceptibles de intoxicarse con BoNT/A puede ser útil, por ejemplo, en ensayos *in vitro* e *in vivo*. Además, se prevé también que puede usarse una amplia diversidad de formatos de procesamiento junto con los procedimientos divulgados en la presente memoria descriptiva, incluidos, sin limitación, procesamiento manual, procesamiento parcialmente automatizado, procesamiento semiautomatizado, procesamiento totalmente automatizado, procesamiento de alto rendimiento, procesamiento de alto contenido y similares o cualquier combinación de los mismos.

Tal como se ha divulgado anteriormente, cualquiera de los procedimientos útiles para detectar la actividad de BoNT/A divulgado en la presente memoria descriptiva y cualquiera de las composiciones útiles para poner en práctica los procedimientos útiles para detectar la actividad de BoNT/A divulgado en la presente memoria descriptiva puede ser útil para analizar una molécula que compita con BoNT/A para unirse selectivamente a un FGFR3. Así, en un aspecto de la presente realización, el FGFR3 puede ser codificado por una molécula de ácido nucleico de un FGFR3 de mamífero tal como, por ejemplo, un FGFR3 humano, un FGFR3 bovino, un FGFR3 de rata o un FGFR3 de ratón; un FGFR3 de pájaro tal como, por ejemplo, un FGFR3 de pollo; un FGFR3 de anfibio tal como, por ejemplo, un FGFR3 de tritón o un FGFR3 de rana; y un FGFR3 de pez tal como, por ejemplo, un FGFR3 de pez cebra. En otro aspecto de la presente realización, el FGFR3 puede ser un FGFR3 de mamífero tal como, por ejemplo, un FGFR3 humano, un FGFR3 bovino, un FGFR3 de rata o un FGFR3 de ratón; un FGFR3 de ave tal como, por ejemplo, un FGFR3 de pollo; un FGFR3 de anfibio tal como, por ejemplo, un FGFR3 de tritón o un FGFR3 de rana; y un FGFR3 de pez tal como, por ejemplo, un FGFR3 de pez cebra. En otro aspecto de esta realización, un FGFR3 útil para analizar una molécula que compita con BoNT/A para unirse selectivamente al FGFR3 puede estar incluido de forma transitoria o estable en una célula. En otro aspecto de esta realización, una composición útil para analizar una molécula que compite con BoNT/A por unirse selectivamente a un FGFR3 comprende un FGFR3 y opcionalmente un poliisaligangliosido G1b tal como, por ejemplo, GD1a, GD1b, GD3, GQ1b o GT1b.

En otro aspecto de esta realización, una célula puede incluir células, tales como, por ejemplo, células neuronales que incluyen, sin limitación, células neuronales primarias; células neuronales inmortalizadas o establecidas; células neuronales transformadas; células tumorales neuronales; células neuronales transfectadas de forma estable o transitoria que expresan un FGFR3, y también incluyen, aunque no están limitadas a, células neuronales de

5

10

15

20

25

30

35

40

45

50

55

60

mamífero, murinas, de rata, de primate y humanas. Otros aspectos de la invención incluyen células de, tales como, por ejemplo, líneas celulares neuronales que incluyen, sin limitación, líneas celulares de neuroblastoma, líneas celulares híbridas neuronales, líneas celulares de médula espinal, líneas celulares del sistema nervioso central, líneas celulares del córtex cerebral, líneas celulares de ganglio espinal, líneas celulares del hipocampo y líneas celulares de feocromocitoma. Los ejemplos de líneas celulares neuronales incluyen, por ejemplo, las líneas celulares de neuroblastoma BE(2)-C, BE(2)-M17, C1300, CHP-212, CHP-126, IMR 32, KELLY, LA-N-2, MC-IXC, MHH-NB-11, N18Tq2, N1E- 115, N4TG3, Neuro-2A, NB41A3, NS20Y, SH-SY5Y, SIMA, SK-N-DZ, SK-N-F1, SK-N-MC v SK-N-SH; las líneas celulares híbridas de neuroblastoma/glioma N18, NG108-15 y NG115-401L; las líneas celulares híbridas de neuroblastoma/neurona motora NSC-19 y NSC-32; las líneas celulares híbridas de neuroblastoma/neurona de ganglio espinal F11, ND-E, ND-U1, ND7/23, ND8/34 y ND27; la línea celular híbrida de neuroblastoma/neurona de hipocampo HN-33; las líneas celulares de médula espinal TE 189.T y M4b; las líneas celulares de córtex cerebral CNh, HCN-1a y HCN-2; la línea celular de ganglio espinal G4b; las líneas celulares de hipocampo HT-4, HT-22 y HN33; las líneas celulares que expresan FGFR3 H929, JIM-3, KMS-11, KMS-18, LB278, LB375, LB1017, LB2100, LP-1, OPM-2, PCL1 y UTMC-2. En otros aspectos de esta realización, una célula que expresa FGFR3 puede ser, por ejemplo, H929, JIM-3, KMS-11, KMS-18, LB278, LB375, LB1017, LB2100, LP-1, OPM-2, PCL1 UTMC-2, B9, TC, L6 y CFK2. Otros aspectos de esta realización incluyen células, tales como, por ejemplo, células neuronales que incluyen, sin limitación, células no neuronales primarias; células no neuronales inmortalizadas o establecidas; células no neuronales transformadas; células tumorales no neuronales; células no neuronales transfectadas de forma estable o transitoria que expresan un FGFR3, y también incluyen, aunque no están limitadas a, células no neuronales de mamífero, murinas, de rata, de primate y humanas. Otros aspectos de esta realización incluyen células tales como, por ejemplo, células no neuronales útiles en aspectos de la invención que incluyen, sin limitación, células de la pituitaria anterior; células suprarrenales, células pancreáticas, células de ovario, células renales, células de estómago, células sanguíneas, células epiteliales, fibroblastos, células de tiroides, condrocitos, células musculares, hepatocitos, células glandulares y células implicadas en la translocación del transportador de glucosa (GLUT4).

La molécula que se va a analizar en el procedimiento de análisis puede ser un compuesto orgánico "pequeño" de origen sintético, o puede ser una macromolécula (bien de origen sintético o bien natural), incluido, sin limitación, un polipéptido, tal como, por ejemplo, un factor del crecimiento, una neurotoxina, una neurotoxina modificada, un anticuerpo o un derivado de anticuerpo, un ácido nucleico, tal como, por ejemplo un aptámero; y un polisacárido, tal como, por ejemplo, un gangliósido o una lectina. En una realización, la molécula es una molécula sintética diseñada sobre la base de la estructura terciaria y conformación tridimensional de FGF o un anticuerpo que inhibe la unión de BoNT/A a un FGFR3. Dicha análisis de SAR (relación estructura/actividad) es rutinario en la técnica de la química medicinal, entre otros campos.

Puede usarse una amplia diversidad de ensayos para determinar si una molécula se une selectivamente a FGFR3, incluidos ensayos directos e indirectos de captación de toxina. Los ensayos para determinar las propiedades de unión o captación de BoNT/A pueden usarse para evaluar si una molécula se une selectivamene a un FGFR3. Dichos ensayos incluyen, sin limitación, ensayos de reticulación usando BoNT/A marcada, tales como, por ejemplo, T/ASBED; véase, por ejemplo, el ejemplo II de la presente memoria descriptiva y [125 l] BoNT/A; véanse, por ejemplo, Noriko Yokosawa y col., Binding of Clostridium botulinum type C neurotoxin to different neuroblastoma cell lines, 57(1) Infect. Immun. 272-277 (1989); Noriko Yokosawa y col., Binding of botulinum type Cl. D and E neurotoxins to neuronal cell lines and synaptosomes, 29 (2) Toxicon 261-264 (1991) y Tei-ichi Nishiki y col., Identification of protein receptor for Clostridium botulinum type B neurotoxin in rat brain synaptosomes, 269(14) J. Biol. Chem. 10498-10503 (1994). Otros ensayos no limitantes incluyen ensayos inmunocitoquímicos que detectan la unión a toxina usando anticuerpos marcados o no marcados; véase, por ejemplo, Atsushi Nishikawa y col., The receptor and transporter for internalization of Clostridium botulinum type C progenitor toxin into HT-29 cells, 319(2) Biochem. Biophys. Res. Commun. 327-333 (2004), y ensayos de inmunoprecipitación; véase, por ejemplo. Yukako Fujinaga y col., Molecular characterization of binding subcomponents of Clostridium botulinum type C progenitor toxin for intestinal epithelial cells and erythrocytes, 150(Pt 5) Microbiology 1529-1538 (2004). Los anticuerpos útiles para estos ensayos incluyen, sin suponer limitación, anticuerpos seleccionados contra una BoNT/A, anticuerpos seleccionados contra un receptor de BoNT/A, tal como, por ejemplo, FGFR3, anticuerpos seleccionados contra un gangliósido, tal como, por ejemplo, GD1a, GD1b, GD3, GQ1b o GT1b y anticuerpos seleccionados contra un compuesto de ensayo, tal como, por ejemplo, una molécula que se une selectivamente al receptor de BoNT/A, modulando la unión selectiva la actividad de BoNT/A. Si el anticuerpo está marcado, la unión de la molécula puede detectarse usando diversos medios, incluidos inmunotransferencia (Western), observación microscópica directa de la localización celular del anticuerpos, medición de anticuerpo unido a la célula o al sustrato seguido de etapa de lavado o electroforesis, usando técnicas bien conocidas por los expertos en la técnica. Si el anticuerpo no está marcado, puede usarse un anticuerpo secundario marcado para la detección indirecta de la molécula unida y la detección puede realizarse como para un anticuerpo marcado. Se entiende que estos y otros ensayos similares que determinan las propiedades o características de captación de BoNT/A pueden ser útiles para seleccionar una neurona u otras células en aspectos de la invención.

Los ensayos de seguimiento de la liberación de una molécula tras exposición a BoNT/A también pueden ser útiles para evaluar si una molécula se une a FGFR3. En estos ensayos, la inhibición de la liberación de la molécula tendría lugar en células que expresan un FGFR3 después del tratamiento con BoNT/A. Como ejemplo no limitante, con el

ensayo de inhibición de la liberación de insulina divulgado en la presente memoria descriptiva puede realizarse un seguimiento de la liberación de una molécula tras exposición a BoNT/A y, por lo tanto, ser útil en la evaluación de si una molécula se une selectivamente a FGFR3 (véase el ejemplo I). Otros ensayos no limitantes incluyen procedimientos que miden la inhibición de la liberación de catecolamina radiomarcada desde neuronas, tales como, por ejemplo, la liberación de [3H] norsuprarrenalina o [3H] dopamine; véase, por ejemplo, A Fassio y col., Evidence for calcium-dependent vesicular transmitter release insensitive to tetanus toxin and botulinum toxin type F, 90(3) Neuroscience 893-902 (1999) y Sara Stigliani y col., The sensitivity of catecholamine release to botulinum toxin C1 and E suggests selective targeting of vesicles set into the readily releasable pool, 85(2) J. Neurochem. 409-421 (2003), o miden la liberación de catecolamina usando procedimientos flurométricos; véase, por ejemplo, Anton de Paiva y col., A role for the interchain disulfide or its participating thiols in the internalization of botulinum neurotoxin. A revealed by a toxin derivative that binds to ecto-acceptors and inhibits transmitter release intracellularly, 268(28) J. Biol. Chem. 20838-20844 (1993); Gary W. Lawrence y col., Distinct exocytotic responses of intact and permeabilised chromaffin cells after cleavage of the 25-kDa synaptosomal-associated protein (SNAP-25) or synaptobrevin by botulinum toxin A or B, 236(3) Eur. J. Biochem. 877-886 (1996); y Patrick Foran y col., Botulinum neurotoxin Cl cleaves both syntaxin and SNAP-25 in intact and permeabilized chromaffin cells: correlation with its blockade of catecholamine release, 35(8) Biochemistry 2630-2636 (1996); y procedimientos que miden la inhibición de liberación de hormonas desde células endocrinas, tales como, por ejemplo células de la pituitaria anterior o células de ovarios. Se entiende que estos ensayos y otros similares de análisis de liberación de moléculas pueden ser útiles para evaluar si una molécula se une selectivamente a FGFR3.

5

10

15

30

35

40

45

50

55

60

Como ejemplos no limitantes, un ensayo de inhibición de liberación de insulina puede usarse para analizar si una molécula se une selectivamente a FGFR3 en una célula que contiene FGFR3 capaz de segregar insulina; un ensayo de inhibición de liberación de noradrelanina puede usarse para analizar si una molécula se une selectivamente a FGFR3 en una célula que contiene FGFR3 capaz de segregar noradrelanina y un ensayo de inhibición de liberación de estrógeno puede usarse para analizar si una molécula se une selectivamente a FGFR3 en una célula que contiene FGFR3 capaz de segregar estrógeno.

Los ensayos para detectar la escisión de un sustrato de BoNT/A después de exposición a BoNT/A también pueden usarse para evaluar si una molécula se une selectivamente a un FGFR3. En estos ensayos, la generación de un producto de escisión de BoNT/A se detectaría en células que expresan un FGFR3 después del tratamiento con BoNT/A. Como ejemplo no limitante, en ensayo de escisión de SNAP-25 que se divulga en la presente memoria descriptiva puede detectar la escisión de un sustrato de BoNT/A después de la exposición a BoNT/A y, por lo tanto, ser útil para evaluar si una molécula se une selectivamente a un receptor de BoNT/A (véase el ejemplo I). Otros procedimientos no limitantes útiles para detectar la escisión de un sustrato de BoNT/A después de la exposición a BoNT/A se describen por, por ejemplo, Lance E. Steward y col., FRET Protease Assays for Botulinum Serotype A/E Toxins, Publicación de patente de Estados Unidos Nº. 2003/0143650 (31 de julio, 2003) y Ester Fernandez-Salas y col., Cell-based Fluorescence Resonance Energy Transfer (FRET) Assays for Clostridial Toxins, Publicación de patente de Estados Unidos Nº 2004/0072270 (15 de abril, 2004). Se entiende que estos ensayos y otros similares de escisión de sustrato de BoNT/A pueden ser útiles para evaluar si una molécula se une selectivamente a FGFR3.

Como ejemplos no limitantes, el análisis de inmunotransferencia (Western) usando un anticuerpo que reconoce el producto de escisión de SNAP-25 de BoNT/A puede usarse para determinar si una molécula se une selectivamente a FGFR3. Los ejemplos de anticuerpos anti-SNAP-25 útiles para estos ensayos incluyen, sin limitación, antisuero anti-SNAP25<sup>197</sup> policional de conejo pAb anti-SNAP25197 N° 1 (Allergan, Inc., Irvine, CA, Estados Unidos), anticuerpo anti-SNAP-25 monoclonal de ratón SMI-81 (Sternberger Monoclonals, Lutherville, MD, Estados Unidos), anticuerpo anti-SNAP-25 monoclonal de ratón CI 71.1 (Synaptic Systems, Goettingen, Alemania), anticuerpo anti-SNAP-25 monoclonal de ratón CI 71.2 (Synaptic Systems, Goettingen, Alemania), anticuerpo anti-SNAP-25 monoclonal de ratón SP12 (Abcam, Cambridge, MA, Estados Unidos), antisuero anti-SNAP-25 policional de conejo (Synaptic Systems, Goettingen, Alemania) y antisuero anti-SNAP-25 policional de conejo (Abcam, Cambridge, MA, Estados Unidos).

Los ensayos que detectan la unión competitiva de una molécula con BoNT/A para unirse selectivamente a un FGFR3 también pueden usarse para evaluar si una molécula se une selectivamente a un FGFR3. En estos ensayos, una reducción en la actividad de BoNT/A se detectaría como que la cantidad de una molécula que compite con BoNT/A para unirse selectivamente a un BoNT/A aumentaría. En un ejemplo no limitante, el ensayo de inhibición competitiva usando ligandos FGF divulgados en la presente memoria descriptiva puede usarse para detectar la unión competitiva de una molécula con BoNT/A para unirse selectivamente a un FGFR3 y, por lo tanto, ser útil para evaluar si una molécula se une selectivamente aun receptor de BoNT/A (véase el ejemplo II). De este modo, en un aspecto de esta realización, los ensayos de unión competitiva que usan una molécula de unión a FGFR3 con BoNT/A para unirse selectivamente a FGFR3 pueden usarse para evaluar si una molécula se une selectivamente a un FGFR3.

Otros aspectos de referencia proporcionan procedimientos para hacer una célula susceptible de escindir proteínas SNARE mediante BoNT/A, que comprenden inducir dicha célula a expresar un FGFR3. Otros aspectos de referencia proporcionan procedimientos para hacer una célula susceptible de escindir proteínas SNARE mediante BoNT/A, que comprenden inducir de forma transitoria a dicha célula a expresar un FGFR3. Otros aspectos de referencia

proporcionan procedimientos para hacer una célula susceptible de escindir proteínas SNARE mediante BoNT/A, que comprenden inducir de forma estable a dicha célula a expresar un FGFR3.

Otros aspectos de referencia proporcionan procedimientos de comercialización de una neurotoxina capaz de unirse selectivamente al mismo FGFR3 que BoNT/A que comprenden obtener la aprobación de comercialización de una autorizad reguladora gubernamental o regional para una neurotoxina terapeútica, en los que dicha neurotoxina se analiza para evaluar su unión selectiva a una célula que comprende poner en contacto dicha neurotoxina con una composición que comprende un FGFR3 y detector si dicha neurotoxina se une selectivamente a dicho FGFR3, en los que la unión selectiva de dicha neurotoxina a dicho FGFR3 indica que dicha neurotoxina es capaz de unirse selectivamente a células susceptibles de intoxicarse con BoNT/A y en los que si dicha molécula es BoNT/A, dichos procedimientos no comprenden un ensayo de DL<sub>50</sub>; envasar dicha neurotoxina para su venta de un modo consecuente con los requerimientos de dicha autoridad reguladora y vender dicha neurotoxina.

5

10

15

20

25

30

35

40

45

50

55

60

Otros aspectos de referencia proporcionan procedimientos de comercialización de una neurotoxinacapaz de unirse selectivamente al mismo FGFR3 que BoNT/A que comprenden obtener la aprobación de comercialización de una autoridad reguladora gubernamental o regional para una neurotoxina terapeútica, en los que dicha neurotoxina se analiza para evaluar su unión selectiva a una célula que comprende poner en contacto dicha neurotoxina con una célula que contiene un FGFR3 exógeno en los que dicha célula puesta en contacto es capaz de intoxicarse con BoNT/A, y detectar la presencia de actividad de BoNT/A de dicha célula puesta en contacto con relación a una célula control, siendo indicativo de la actividad de BoNT/A una diferencia en la actividad de BoNT/A de dicha célula puesta en contacto en comparación con dicha célula control; envasar dicha neurotoxina para su venta de un modo consecuente con los requerimientos de dicha autoridad reguladora y vender dicha neurotoxina.

En otro aspecto de referencia, la memoria descriptiva se refiere a un polipéptido que comprende al menos la región Hc de BONT/A, que se produce a partir de una preparación en masa o formulada, en el que la preparación en masa o formulada se analiza para evaluar la unión específica a células neuronales usando un procedimiento que comprende poner en contacto dicho polipéptido con una composición que comprende un receptor FGFR3 y, opcionalmente, un gangliósido GT1b y detectar si dicho polipéptido se une selectivamente a FGFR3.

En otra realización similar al aspecto de la invención anterior, el polipéptido comprende al menos un dominio de unión a FGFR3 diferente al dominio Hc de BoNT/A. Dicho dominio de unión puede comprender, por ejemplo, un FGF, tal como FGF 1, FGF2, FGF4, FGF8 o FGF 9, o un anticuerpo anti-FGFR3. Además, el polipéptido puede contener opcionalmente un dominio de traslocación tal como el domino H<sub>N</sub> de BoNT/A. Adicionalmente, el polipéptido contendrá generalmente una cadena ligera de nuerotoxina clostridial o variación de la misma, la naturaleza y/o fuente de la cadena ligera puede proporcionar diferencias en la amplitud y la semivida del efecto terapéutico del polipéptido.

De este modo, en esta realización, el polipéptido reivindicado se produce (producción que puede incluir etapas de purificación, tratamiento enzimático y/o oxidación) a partir de una preparación en masa o en formulación. En una realización, la preparación puede ser, por ejemplo, un lisado celular producido a partir de la fermentación de una cepa de Clostridium botulinum productora de BoNT/A, o a partir de de una célula huésped de mamífero, de insecto o bacteriana que produce una versión recombinante de BoNT/A. Dicha preparación en masa tambiénpuede producirse usando metodologías de transcripción exentas de células. En otra realización, la preparación puede ser BoNT/A purificada formulada con proteínas estabilizantes asociadas, tales como albúmina de suero. En cada caso, la preparación puede comprender moléculas de BoNT/A que se desnaturalizan o se pliegan incorrectamente de otro modo de tal modo que no se unen a las células diana. La potencia y/o actividad específica de la preparación, o de las fracciones purificadas de la preparación, puede detectarse usando el procedimiento de ensayo reivindicado.

Alternativamente, el polipéptido que se va a analizar puede comprender sólo una porción de la molécula de BoNT/A completa. Por ejemplo, la preparación en masa puede contener solo la cadena pesada de BoNT/A, como producción por separado de las cadenas pesada y ligera de la toxina puede ser una ruta preferente de evitar la exposición accidental a la neurotoxina por parte de técnicos de laboratorio.

Como otro ejemplo de la realización anterior, el polipéptido puede comprender un polipéptido recombinante quimérico que contiene la región Hc de la cadena pesada de BoNT/A (o algún otro resto de unión a FGFR3, tal como e mismo FGF). El polipéptido quimérico comprende regiones de secuencias de aminoácidos adicionales a, o distintas a, las que están presentes en una molécula de BoNT/A natural. Por ejemplo, las toxinas botulínica y del tetanus pueden usarse como base para la creación de proteínas de transporte, véase, por ejemplo, James Oliver Dolly y col., Modification of clostridial toxins for use as transport proteins, documento de patente de Estados Unidos Nº 6.203.794 (20 de marzo, 2001). La cadena ligera de estas proteínas de transporte generalmente o bien se reemplazan por un resto terapéutico o se inactivan y se acoplan a dicho resto terapéutico. Adicionalmente, las neurotoxinas quiméricas pueden fabricarse de modo que comprendan polipéptidos que contienen dominios de más de una neurotoxina., James Oliver Dolly y col., Activatable Recombinant Neurotoxins, Publicación internacional Nº WO 01/14570 (1 de marzo, 2001). De este modo, este aspecto de la invención también comprende, como una realización, neurotoxinas quiméricas que contienen al menos el dominio HC de BoNT/A. Dichas moléculas pueden ser útiles en la modulación del tiempo o la extensión de la inhibición de la liberación de vesículas secretoras. Además, puede ser deseable para dirigir agents, tales como agentes terapéuticos, a la superficie extracelular de la

membrana celular neuronal. De este modo, un agente puede unirse (por ejemplo, como una proteína de fusión o mediante conjugación postraslacional) a la porción Hc de BoNT/A. En tal caso, el lisado celular o mezcla de reacción de conjugación puede comprender una preparación en lote según este aspecto de la invención.

Los polipéptidos a los que se ha hecho referencia anteriormente se analizan para evaluar su unión y/o internalización esencialmente como se ha mencionado anteriormente en la realización del procedimiento de análisis descrito.

En otra realización más, un aspecto de referencia se refiere a un procedimiento de comercialización de un polipéptido que contiene una región capaz de unirse al receptor FGFR3 que comprende obtener el permiso de una autoridad reguladora de fármacos regional o gubernamental para vender dicho polipéptido, en el que dicho polipéptido se produce primeramente como una preparación en masa que se analiza para evaluar la unión selectiva de dicho polipéptido a células neuronales poniendo en contacto la preparación en masa que contiene dicho polipéptido con una composición que comprende un receptor FGFR3 y, opcionalmente, el gangliósido GT1b y detectar si dicho polipéptido se une selectivamente a FGFR3 en dichas condiciones, envasar dicho polipéptido para su venta de un modo consecuente con los requerimientos de dicha autoridad reguladora y ofrecer dicho polipéptido en el mercado.

Este aspecto se refiere a un procedimiento de comercialización de un polipéptido que contiene la región HC de una toxina BoNT/A. El polipéptido en cuestión es esta realización de la invención se produce a partir de una preparación en masa que se analiza para evaluar la pureza o actividad usando el procedimiento de análisis descrito previamente. En una etapa de este procedimiento, el permiso se obtiene de un organismo regulador para la comercialización de dicho polipéptido. En este contexto "permiso" puede ser tácito o expreso; es decir, el permiso o la aprobación pueden obtenerse de la autoridad reguladora para la venta de un agente terapéutico o composición que comprende dicho polipéptido, en cuyo caso "permiso" es aprobación de comercialización para la venta de dicho agente o composición. Alternativamente, "permiso", tal como se usa en el presente documento puede comprender el asentimiento, tanto dado de forma afirmativa o manifestado en su falta de objeciones, de dicha autoridad reguladora para la venta continua de un producto que contiene un polipéptido analizado de este modo nuevo. Como anteriormente, el polipéptido puede comprender BoNT/A, o un derivado de la misma, o una proteína de fusión o conjugado que contiene la región Hc de la cadena pesada de BoNT/A.

El producto terapéutico que comprende el polipéptido contenido originalmente en la preparación en masa analizado de este modo se etiqueta según los requerimientos de al autoridad reguladora. Después, el producto se ofrece para su venta. Ofrecer para su venta puede comprender actividad de promoción o venta, seminarios educativos dirigidos a médicos, hospitales, mutuas o pacientes, conversaciones con organismos oficiales locales, regionales o gubernamentales que tratan el reembolso de ayudas (tales como Medicare o Medical en Estados Unidos).

## **Ejemplos**

5

10

15

20

25

30

35

50

55

# Ejemplo I

Identificación de un receptor de BoNT/A usando una complementación genética

Procedimiento 1. Identificación de células útiles en el cribado de un receptor de BoNT/A

1a. Identificación de células que carecen del receptor de BoNT/A usando un ensayo de inhibición de la liberación de insulina

Para determinar si las células HIT-T15 expresan un receptor para BoNT/A, se realizó un ensayo de inhibición de liberación de insulina. En respuesta a la estimulación con glucosa, la línea celular de insulinoma de hámster HIT-T15 segrega insulina en un proceso exocítico que depende de la actividad de SNAP-25 para el anclaje y fusión a la vesícula. Si las células HIT-T15 carecen de un receptor de BoNT/A, estas células serían incapaces de captar BoNT/A después de una exposición a esta toxina y la secreción de insulina podría tener lugar en presencia de alta glucosa en el medio. No obstante, si las células HIT-T15 contienen un receptor de BoNT/A, la secreción de insulina sería inhibida después del tratamiento con BoNT/A debido a que la toxina podría intoxicar la célula y escindir el SNAP-25.

Para realizar un ensayo de inhibición de la liberación de insulina, se plaqueó una densidad celular adecuada de aproximadamente 1,5 x 10<sup>5</sup> células/ml de células HIT-T15 en pocillos individuales de placas de cultivo hístico recubiertas con poli-D-lisina/laminina de 6 pocillos que contenían 3 ml de medio Tagle modificado de Dulbecco completo (DMEM), suplementado con suero de bovino fetal (FBS) al 10 %, 1 x solución de penicillina/estreptomicina (Invitrogen, Inc, Carlsbad, CA, Estados Unidos), y se cultivó en una incubadora a 37 °C en atmósfera de dióxido de carbono al 5 % hasta que las células alcanzaron una densidad de aproximadamente 5 x 10<sup>5</sup> células/ml (6-16 horas). Un grupo de células HIT-T15 se trató con una concentración aproximadamente 1 nM de PURE-A mediante introducción de la toxina por electroporación usando un juego GENE PULSER® II a 960 μF y 0,28 kV (Bio-Rad Laboratories, Hercules, CA, Estados Unidos). Un grupo de control no tratado se sometió a electroporación sin PURE-A. El medio de los pocillos que contenía células electroporadas tratados y no tratadas se reemplazó por 3 ml de DMEM completo nuevo suplementado con bien

glucosa 5,6 mM (baja glucosa) o bien glucosa 25 mM (alta glucosa) y estas células se incubaron en una incubadora a 37 °C en atmósfera de dióxido de carbono al 5 % durante aproximadamente 1 hora para inducir la secreción de insulina. El medio acondicionado se transfirió a tubos de 15 ml y se determinó la cantidad de insulina presente en las muestras de medio acondicionado usando un ensayo ELISA de insulina (Peninsula Laboratories, Inc., San Carlos, CA, Estados Unidos). La exocitosis se expresa como la cantidad de insulina segregada por 1,5 x 10<sup>5</sup> células/hora. La liberación de insulina se detectó en células no tratadas con BoNT/A estimuladas por glucosa 25 mM, pero la secreción de insulina se inhibió en células tratadas con BoNT/A (véase la figura 3a). Estos datos indican que la liberación de insulina en células HIT-T15 está mediada, en parte, por SNAP-25, pero que éstas carecen de un receptor de BoNT/A.

5

10

15

20

25

30

35

40

45

50

55

60

# 1b. Identificación de células que carecen del receptor de BONT/A usando un ensayo de escisión de SNAP-25

Para determinar si las células HIT-T15 expresan un receptor para BoNT/A, se realizó un ensayo de escisión de SNAP-25. Si las células HIT-T15 carecen de un receptor de BoNT/A, entonces solo se detectaría la presencia de sustrato SNAP-25 mediante un análisis de inmunotransferencia (Western). Sin embargo, si las células FUT-T15 contienen un receptor de BoNT/A, entonces la toxina podría intoxicar la célula y se detectaría la presencia de producto de SNAP-25<sub>197</sub> de BoNT/A escindido.

Para realizar un ensayo de escisión de SNAP-25, las células se cultivaron en placas de 6 pocillos recubiertas con poli-D-lisina/laminita y se trataron con PURE-A tal como se ha descrito en el ejemplo I, 1a. Las células se recogieron en tubos de 15 ml, se lavaron una vez con 1 ml de solución salina tamponada con fosfato, pH 7,4, y se transfirieron a tubos de microcentrifugación de 1,5 ml. Las células se lisaron en 0,5 ml de tampón de lisis que contenía N-(2-hidroxietil) piperazina-N'-(ácido 2-etanosulfónico) (HEPES) 50 mM, pH 6,8, cloruro de sodio 150 mM, cloruro de magnesio 1,5 mM, ácido etilenglicol bis(□-aminoetil éter) N,N,N',N'-tetraacético (EGTA) 1 mM, glicerina al 10 % y Triton-X<sup>®</sup> 100 (polietoxilato de 4-octilfenol) al 1 % (V/V), con rotación durante 1 hora a 4 °C. Las células lisadas se centrifugaron a 5.000 rpm durante 10 min a 4 °C para eliminar desechos y el sobrenadante se transfirió a tubos siliconizados nuevos. Las concentraciones de proteínas se midieron usando el procedimiento de Bradford y se resuspendieron en 1 x tampón de muestra SDS a 1 mg/ml o una concentración superior.

Para detectar la presencia de sustrato BoNT/A escindido, las muestras se hirvieron durante 5 min, y se separaron partes alícuotas de 40 µl por electroforesis en gel de poliacrilamida MOPS usando geles de poliacrilamida preformados con bis-tris al 4-12 % NuPAGE<sup>®</sup> Novex (Invitrogen, Inc, Carlsbad, CA, Estados Unidos) en condiciones reductoras desnaturalizantes. Los péptidos separados se transfirieron del gel a membranas de poli(fluoruro de vinilideno) (PVDF) (Invitrogen, Inc, Carlsbad, CA, Estados Unidos) mediante inmunotransferencia (Western) usando un aparato celular de transferencia electroforética semiseca Trans-Blot® SD (Bio-Rad Laboratories, Hercules, CA, Estados Unidos). Las membranas de PVDF se bloquearon incubando a temperatura ambiente durante 2 horas en una solución que contenía solución salina tamponada con tris 25 mM (ácido 2-amino-2-hidroximetil-1,3-propanodiol clorhídrico 25 mM (Tris-HCI)(pH 7,4), cloruro de sodio 137 mM, cloruro de potasio 2,7 mM), TWEEN-20<sup>®</sup> al 0,1 %, monolaurato de polioxietileno (20) sorbitán, albúmina de suero bovino al 2 %, leche desnatada seca al 5 %. Las membranes bloqueadas se incubaron a 4 °C durante la noche en solución salina tamponada con tris TWEEN-20® (solución salina tamponada con tris 25 mM, TWEEN-20<sup>®</sup> al 0,1 %, monolaurato de polioxietileno (20) sorbitán) que contenía una dilución 1:5.000 de antiseurpo anti-SNAP25 policional de conejo pAb anti-SNAP25197 Nº 1, un anticuerpo policional que es específico para el producto de escisión de SNAP25<sub>197</sub> y no reacciona de forma cruzada con SNAP-25<sub>206</sub> de longitud completa (Allergan, Inc., generado mediante contrato con Zymed Laboratories Inc., South San Francisco, CA, Estados Unidos). Las manchas analizadas de anticuerpo primario se lavaron tres veces durante 15 minutos cada vez en solución salina tamponada con tris TWEEN-20<sup>®</sup>. Las membranes lavadas se incubaron a temperature ambiente durante 2 horas en solución salina tamponada con tris TWEEN-20® que contenía una dilución 1:20.000 de anticuerpo de cadenas pesada y ligera de inmunoglobulina G (IgG. H+L) anti-coneio policional de cabra, conjugado a peroxidasa de rábano picante (HRP; Pierce Biotechnology, Inc., Rockford, IL, Estados Unidos) como anticuerpo secundario. Las manchas analizadas de anticuerpo secundario se lavaron tres veces durante 15 minutos cada vez en solución salina tamponada con tris TWEEN-20<sup>®</sup>. La detección del producto de escisión de SNAP25<sub>197</sub> de BoNT/A se visualizó usando el sistema de detección mediante inmunotransferencia (Western) ECL Plus™ (Amersham Biosciences, Piscataway, NJ, Estados Unidos) y se realizó una imagen de la membrana y el producto de escisión se cuantificó con un programa informático captador de imágenes en modo variable y de análisis del captador de imágenes Typhoon 9410 (Amersham Biosciences, Piscataway, NJ, Estados Unidos). La elección del tamaño en píxeles (100 a 200 píxeles) y los ajustes de voltaje PMT (350 a 600, normalmente 400) dependió de la mancha individual. Se detectó un producto de escisión de SNAP25<sub>197</sub> de BoNT/A en células HIT-T15 tratadas con BoNT/A, pero no en células no tratadas, lo que indica que las células HIT-T15 expresan SNAP-25 pero no el receptor de BoNT/A (véase la figura 3b).

# 1c. Evaluación de la exposición a la BoNT/A sobre el crecimiento de HIT-T15

Para evaluar si la presencia de toxina en las células afecta al crecimiento celular, se electroporaron células HIT-T15 tal como se ha descrito anteriormente en el ejemplo I, 1a y se realizó un seguimiento durante 10 días. La figura 4a demuestra que la presencia de la toxina retrasa el crecimiento en comparación con los controles, pero las células tratadas con toxina eran capaces de replicarse normalmente después de un periodo de recuperación. También se analizaron partes alícuotas celulares durante los días 3, 5, 7 y 10 para evaluar la presencia del producto de escisión

de SNAP-25<sub>197</sub> de BoNT/A usando el ensayo de escisión de SNAP-25 tal como se ha descrito en el ejemplo I, 1b. La figura 4b muestra que la escisión de SNAP-25 se detectó mediante análisis de inmunotransferencia (Western) en todos los puntos temporales analizados cuando se introdujo PURE-A en las células.

#### 2. Identificación del receptor de BoNT/A usando complementación genética

15

20

25

30

35

40

45

50

Para identificar un receptor de BoNT/A se clonó una molécula de ácido nucleico que codifica un receptor de BoNT/A por complementación genética. Este procedimiento implica la introducción de una molécula de ácido nucleico que codifica el receptor de BoNT/A en una línea celular que no contiene el receptor de forma natural por transducción retroviral; véase, por ejemplo, Mitchell H. Finer y col., Methods for Production of High Titer Virus and High Efficiency Retroviral Mediated Transduction of Mammalian Cells, documento de patente de Estados Unidos Nº 5.858.740 (12 de julio, 1999).

# 2a. Producción de una solución madre retroviral que contiene los constructos de expresión pLIB

Para producir una solución madre retroviral que contiene los constructos de expresión que codifican moléculas de ácido nucleico de cerebro humano, se plaquearon aproximadamente 5x10<sup>5</sup> células basadas en HEK 293 (células AmphoPack™ 293: BD Biosciences Clontech, Palo Alto, CA, Estados Unidos) en placas de cultivo hístico de 60 mm que contenían 5 ml medio Eagle modificado de Dulbecco (DMEM) completo, suplementado con suero de bovino fetal (FBS) al 10 %, 1x solución de penicilina/estreptomicina (Invitrogen, Inc, Carlsbad, CA, Estados Unidos) y glutamina 4mM (Invitrogen, Inc, Carlsbad, CA, Estados Unidos), y se cultivaron en una incubadora a 37 °C en atmósfera de dióxido de carbono al 5 % hasta que las células alcanzaron del 60 % al 80 % de confluencia o una densidad de aproximadamente 1 a 2 x 106 células/ml (12-24 horas). El día de la transfección, el medio DMEM completo suplementado se reemplazó por 3 ml de medio en suero reducido OPTI-MEM. Se preparó una solución de transfección de 500 µl añadiendo 250 µl de medio en suero reducido OPTI-MEM que contenía 15 µl de LipofectAmine 2000 (Invitrogen, Carlsbad, CA, Estados Unidos) incubada a temperatura ambiente durante 5 minutos a 250 µl de medio en suero reducido OPTI-MEM que contenía 5 µg de moléculas de acido derivadas de células cerebrales humanas que contenían constructos de expresión retroviral pLIB (BD Biosciences Clontech, Palo Alto, CA, Estados Unidos). Esta transfección se incuba a temperature ambiente durante aproximadamente 20 minutos. Después, la solución de transfección de 500 μl se añadió a las células AmphoPack™ 293 y las células se incubaron en una incubadora a 37 °C en atmósfera de dióxido de carbono al 5 % durante aproximadamente 8-10 horas. El medio de transfeccion se reemplazó por 3 ml de DMEM completo suplementado nuevo y las células se incubaron en una incubadora a 37 °C en atmósfera de dióxido de carbono al 5 % durante aproximadamente 48-72 horas. Las células que contienen retrovirus se recogen separando las células usando el medio de cultivo y raspando células de la placa de cultivo. Las células separadas y el medio se transfieren a un tubo de 15 ml y se centrifugan (5,000x g a 20 °C durante 15 minutos) para formar pellas con los desechos celulares. El sobrenadante clarificado que contiene las partículas retrovirales se transfiere a crioviales de 2 ml en partes alícuotas de 1 ml y debería contener aproximadamente de 5 x 10<sup>4</sup> a 5 x 10<sup>6</sup> ut/ml de particulas retrovirales. Las partes alícuotas pueden almacenarse a -80 °C hasta que se necesiten.

# 2b. Transducción de células con una solución madre retroviral que contiene los constructos de expresión pLIB

Para transducir células con una solución madre retroviral que contiene los constructos de expresión que codifican moléculas de ácido nucleico de cerebro humano, se plaquearon aproximadamente 5x10<sup>5</sup> células HIT-T15 en placas de cultivo hístico de 60 mm que contenían 5 ml medio Eagle modificado de Dulbecco (DMEM) completo, suplementado con suero de bovino fetal (FBS) al 10 %, 1x solución de penicilina/estreptomicina (Invitrogen, Inc, Carlsbad, CA, Estados Unidos), y se cultivaron en una incubadora a 37 °C en atmósfera de dióxido de carbono al 5 % hasta que las células alcanzaron del 60 % al 80 % de confluencia o una densidad de aproximadamente 5 x 10<sup>5</sup> células/ml (6-16 horas). Se inocula a las células solución madre retroviral que contiene moléculas de ácido nucleico derivadas de células cerebrales humanas (véase el ejemplo I, 2a), usando una multiplicidad de infección adecuada. Después se añadieron aproximadamente 4-8 μg/ml de polibreno y las células se incubaron durante aproximadamente 16-24 horas en una incubadora a 37 °C en atmósfera de dióxido de carbono al 5 %. El medio de transfeccion se reemplazó por 5 ml de DMEM completo suplementado nuevo y las células se incubaron en una incubadora a 37 °C en atmósfera de dióxido de carbono al 5 % durante aproximadamente 4 días. Las células transducidas se usaron después para realizar un ensayo de cribado para identificar un receptor de BoNT/A. Para más detalles sobre los procedimientos descritos en este ejemplo, véase Retroviral Gene Transfer and Expresion User Manual PT3132-1 (PR43789), BD Biosciences Clontech, Palo Alto, CA, Estados Unidos (3 de marzo, 2004).

# 2c. Cribado de células HIT-T15 que expresan una biblioteca de ADNc retroviral

Para cribar células que expresan un receptor de BoNT/A, se analizaron células HIT-T15 transducidas tal como se describe en el ejemplo I, 2b sobre la base de su capacidad de unirse a perlas Dynex recubiertas con Pure A (ref). Se añadieron aproximadamente 7,5 mg de perlas magnéticas Dynabeads® (Dynal Biotechnology, LLC, Brown Deer, WI, Estados Unidos) recubiertas con un anticuerpo contra la cadena ligera de BONT/A al medio durante 30 minutos a 4 °C y las células unidas a la cadena ligera de BONT/A se aislaron como grupos de células después de la exposición a

un imán. Estas células aisladas se lavaron una vez con PBS y se transfirieron a placas de cultivo hístico nuevas de 60 mm que contenían 5 ml de DMEM completo. Estas células se volvieron a cribar con 7,5 mg de perlas magnéticas Dynabeads® recubiertas con PURE-A durante 30 minutos a 4 °C y las células unidas a PURE-A se aislaron como grupos de células después de la exposición a un imán (véase la figura 5). Estas colonias celulares reaisladas se transfirieron a placas de 96 pocillos que contenían 0,25 ml de DMEM complete y las células se cultivaron en una incubadora a 37 °C en atmósfera de dióxido de carbono al 5 % hasta confluencia.

El análisis de la presencia de un receptor de BoNT/A en células individuales contenidas en placas de 96 pocillos se llevó a cabo usando el ensayo de inhibición para el ensayo de liberación de insulina, tal como se ha descrito anteriormente en el ejemplo I, 1a. Las líneas celulares que contenían un receptor de BoNT/A se seleccionaron sobre la base de la detección de la inhibición de liberación de insulina. La figura 6 muestra que las líneas celulares HIT-T15 transducidas C6 y C7 como líneas celulares candidatas que expresan un receptor de BoNT/A. Para confirmar estos resultados, los cultivos de clones C6 y C7 se expanden tal como se han descrito anteriormente en el ejemplo I, 2a y se analizan usando el ensayo de inhibición de liberación de insulina y el ensayo de escisión de SNAP-25 tal como se han descrito en el ejemplo I, 1b. Los resultados indican que un receptor BoNT/A está presente en estas líneas celulares sobre la base de la inhibición de la liberación de insulina (véase la figura 7a) y la presencia de una producto de escisión de SNAP25197 de BoNT/A (véase la figura 7b).

#### 2d. Clonación de un receptor de BoNT/A

Para aislar moléculas de ácido nucleico que codifican el receptor de BoNT/A, se purificará ADN de aislados de células HIT-T15 que contienen receptor de BoNT/A identificados anteriormente en el ejemplo I, 2c y la molécula de ácido nucleico que codifica el receptor de BoNT/A se clonará usando el procedimiento de reacción en cadena de la polimerasa (PCR). El AND genómico de la línea cellular C7 se aislará mediante un procedimiento de lisis alcalina y se amplificará mediante reacciones PCR usando el kit de PCR ADVANTAGE® Genomic (BD Biosciences Clontech, Palo Alto, CA, Estados Unidos) y los dos oligonucleótidos siguientes 5'-AGCCCTCACTCCTTCTAG- 3' (SEC ID N°: 29) v 5'-ACCTACAGGTGGGGTCTTTC ATTCCC-3' (SEC ID N°: 30). Las reacciones se incubarán a 95 °C durante 1 minuto, seguido por 25 ciclos a 68 °C durante 30 segundos y 95 °C durante 30 segundos, seguido por 1 ciclo a 68 °C de 6 minutos y una incubación final a 4 °C. El producto de PCR resultante se purificará mediante reacción PCR usando el kit de extracción en gel QIAquick (QIAGEN, Inc., Valencia, CA, Estados Unidos) y se someterán a una segunda amplificación PCR. Los oligonucleótidos usados en la segunda PCR serán cebadores anidados diseñados para hibridarse a secuencias encontradas dentro del producto de PCR purificado originalmente v tendrán las secuencias de nucleótidos siguientes: 5'-CCCTGGGTCAAGCCCTTTGTACACC- 3' (SEC ID Nº: 31) y 5'-TGCCAAACCTACA GGTGGGGTCTTT-3' (SEC ID Nº: 32). El producto de ADN anidado resultante se subclonará en un vector pTOPO®-XL usando el procedimiento de clonación TOPO® TA (Invitrogen, Inc, Carlsbad, CA, Estados Unidos). La mezcla de ligación se transformará en células E. coli TOP10 químicamente competentes (Invitrogen, Inc. Carlsbad, CA, Estaods Unidos) usando un procedimiento de choque térmico, se plaqueará en placas de agar Luria-Bertani al 1,5 % (pH 7,0) que contenína 100 µg/ml de ampicilina, y se situarán en una incubadora a 37 °C para su cultivo durante la noche. Las colonias resistentes a ampilicina se analizarán usando un procedimiento de minipreparación de plásmido de lisis alcalino y se cribarán constructo de receptores candidatos por cartografiado de endonucleasa de restricción para determinar la presencia y la orientación del fragmento de inserto correcto. Los cultivos que contienen el constructo de expresión deseado se usarán para inocular matraces con deflectores de 1 l que contienen 200 ml de medio Luria-Bertani que contiene 100 µg/ml de ampicilina y se situarán en una incubadora a 37 °C, agitando a 250 rpm, para un cultivo durante la noche. El ADN del plásmido purificado correspondiente a un constructo de expresión se aislará usando el procedimiento QIAGEN Maxi-prep (QIAGEN, Inc., Valencia, CA, Estados Undiso) y se secuenciará para verificar que se ha fabricado el constructo de expresión correcto (contrato de servicio con Sequetech Corp., Mountain View, CA, Estados Unidos). Esta estrategia de clonación identificará la composición de secuencia del receptor de BoNT/A contenido en el aislado HIT-T15 C7.

# Ejemplo II

5

10

15

20

25

30

35

40

45

50

55

Identificación de un receptor de BoNT/A usando un procedimiento de reticulación

# Procedimiento 1. Identificación de líneas celulares con captación de alta afinidad para BoNT/A

Pueden esperarse diversas sensibilidades para cada uno de los serotipos de BoNT sobre la base de los sistemas de receptores individuales para cada una de los diferentes serotipos de toxina y su expresión diferente en diferentes líneas celulares. La presencia en una célula de un sistema receptor de alta afinidada para BoNT puede caracterizarse mediante dos atributos: una captación rápida de la neurotoxina por parte de la célula y una concentración baja de neurotoxina necesaria para la intoxicación celular. Para identificar una línea celular que tenga un sistema receptor de alta afinidad por una BoNT/A, analizamos líneas celulares usando uno de dos ensayos de escisión *in vitro* diferentes, uno para determinar la cantidad de toxina requerida para la intoxicación y otro para determinar la duración de tiempo necesario para que la célula capte la neurotoxina.

## 1a. Ensayo para determinar la concentración de BoNT/A necesaria para la intoxicación de la célula

Con el fin de evaluar la cantidad de BoNT/A necesaria para intoxicar una célula, se cribó un panel de líneas celulares de mamífero de origen neuronal (véase la tabla 3) para determinar si la exposición a la toxina daría como resultado la escisión de SNAP-25 expresado de forma endógena. Una densidad de semillas adecuada de células de cada línea se plaqueó en pocillos individuales de placas de cultivo hístico de 6 pocillos recubiertas con poli Dlisina/laminina que contenían 3 ml de un medio adecuado (véase la tabla 3) y se cultivaron en una incubadora a 37 °C en atmósfera de dióxido de carbono al 5 % durante 24 horas. Se añadió BoNT/A (Metabiologics, Inc., Madison, WI, Estados Unidos) a diferentes concentraciones (0 nM, 1 nM, 5 nM, 12.5 nM, 25 nM, 50nM) al medio de cultivo que contenía las células durante aproximadamente 8 o aproximadamente 16 horas. Las células se recogieron en tubos de 15 ml, se lavaron una vez con 1 ml de solución salina tamponada con fosfato, pH 7,4, y después se transfirieron a tubos de microcentrifugación de 1,5 ml. Las células se lisaron en 0,5 ml de tampón de lisis que contenía N-(2-hidroxietil) piperazina-N'-(ácido 2-etanosulfónico) (HEPES) 50 mM, pH 6.8. cloruro de sodio 150 mM. cloruro de magnesio 1,5 mM, ácido etilenglicol bis(K-aminoetil éter) N,N,N',N'-tetraacético (EGTA) 1 mM, glicerina al 10 % y Triton-X<sup>®</sup> 100 (polietoxilato de 4-octilfenol) al 1 % (V/V), con rotación durante 1 hora a 4 °C. Las células lisadas se centrifugaron a 5.000 rpm durante 10 min a 4 °C para eliminar desechos y el sobrenadante se transfirió a tubos siliconizados nuevos. Las concentraciones de proteínas se midieron usando el procedimiento de Bradford y se resuspendieron en 1 x tampón de muestra SDS a 1 mg/ml o una concentración superior.

La presencia de un producto de escisión de SNAP25197 de BoNT/A se determinó mediante inmunotransferencia (Western) tal como se ha descrito anteriormente en el ejemplo I, 1b. Un producto de escisión de SNAP25197 de BoNT/A se detectó en las líneas celulares SH-SY5Y, NG108-15, N1E-115, Neuro-2A y SK-N-BE(2) después de una incubación de al menos 8 horas con al menos BoNT/A 5 nM, indicando de este modo la capacidad de BoNT/A de intoxicar estas líneas celulares (véase la figura 8a).

La línea celular de neuroblastoma de ratón Neuro-2A se analizó adicionalmente con bajas concentraciones de BoNT/A para determinar la concentración de neurotoxina necesaria para escindir SNAP-25 expresado de forma endógena. Las células se cultivaron en placas de 6 pocillos recubiertos con poli-D-lisina/laminina tal como se ha descrito en el ejemplo II, 1a. Se añadió BoNT/A (Metabiologics, Inc., Madison, WI, Estados Unidos) a diferentes concentraciones (0 nM, 0,05 nM, 0,1 nM, 0,2 nM, 0,5 nM, 1 nM, 5 nM y 20 nM) al medio de cultivo que contenía las células durante aproximadamente 8 o aproximadamente 16 horas. Las células tratadas con toxina se recogieron y se lisaron tal como se ha descrito anteriormente en el ejeplo II, 1a. La presencia de un producto de escisión de SNAP25197 de BoNT/A se determinó usando análisis de inmunotransferencia tal como se ha descrito anteriormente en el ejemplo II, 1a. Se detectó un producto de escisión de SNAP25197 de BoNT/A en la línea celular Neuro-2A después de una incubación de al menos 8 horas con al menos BoNT/A 0,5 nM, indicando de este modo la capacidad de BoNT/A de intoxicar estas líneas celulares (véase la figura 8c).

#### 1b. Ensayo para determinar el tiempo requerido por una célula para captar BoNT/A

Con el fin de evaluar la cantidad de tiempo necesario para que una línea celular capte BoNT/A, se cribó un panel de líneas celulares de mamífero de origen neuronal para determinar la duración de la exposición a la toxina necesaria para escindir el SNAP-25 expresado de forma endógena. Las células de cada línea se cultivaron en placas de 6 pocillos recubiertas con poli-D-lisina/laminina tal como se ha descrito anteriormente en el ejemplo II, 1a. Se añadió BoNT/A aproximadamente 1 nM (Metabiologics, Inc., Madison, WI, Estados Unidos) al medio de cultivo durante 10 min, 20 min, 30 min, 60 min, 2 horas, 4 horas, 6 horas, 8 horas o 16 horas. Las células tratadas con toxina se recogieron y se lisaron tal como se ha descrito anteriormente en el ejeplo II, 1a. La presencia de un producto de escisión de SNAP25197 de BoNT/A se determinó usando análisis de inmunotransferencia tal como se ha descrito anteriormente en el ejemplo II, 1a. Se detectó un producto de escisión de SNAP25197 de BoNT/A en las líneas celulares Neuro-2A, SH-SY5Y y NG108-15 después de una incubación de al menos 8 horas con BoNT/A 1 nM, indicando de este modo la capacidad de estas líneas celulares para captar rápidamente BoNT/A (véase la figura 8b).

1	ᄃ

5

10

15

20

25

30

35

40

TABLA 3 Condiciones de cultivo para líneas celulares				
Línea celular	Medio de cultivo completo	Condiciones de paso	Densidad de siembra (células/mm²)	
SK-N-DZ	DMEM al 90 %, A	Tratamiento con tripsina/EDTA, dilución 1:4 división cada 2-3 días	4,25 x 10 <sup>3</sup>	
SK-N-F1	DMEM al 90 %, A	Tratamiento con tripsina/EDTA, dilución 1:4 división 2 veces por semana	4,25 x 10 <sup>3</sup>	
SK-N-SH	de Ham F12, DMEM o EMEM, B	Tratamiento con tripsina/EDTA, dilución 1:20 división cada 4-7 días	4,25 x 10 <sup>3</sup>	
SH-SY5Y	EMEM y de Ham F12 1:1, C	Tratamiento con tripsina/EDTA, dilución 1:6 división cada 2-3 días	4,25 x 10 <sup>3</sup>	
SK-N-BE(2)	EMEM y de Ham	Tratamiento con tripsina/EDTA,	4,25 x 10 <sup>3</sup>	

	F12 1:1, D	dilución 1:6 división cada 3 días	
BE(2)-C	EMEM y de Ham	Tratamiento con tripsina/EDTA,	4,25 x 10 <sup>3</sup>
	F12 1:1, D	dilución 1:4 división cada 2-3 días	
BE(2)-M17	EMEM y de Ham	Tratamiento con tripsina/EDTA,	4,25 x 10 <sup>3</sup>
	F12 1:1, D	dilución 1:20 división cada 4-7 días	
Neuro 2a	EMEM, E	Tratamiento con tripsina/EDTA,	4,25 x 10 <sup>3</sup>
		dilución 1:3 división cada 3 días	
C1300	RPMI 1640, B	Tratamiento con tripsina/EDTA,	4,25 x 10 <sup>3</sup>
		dilución 1:3 división cada 3 días	
NB4 1A3	de Ham F10,F	Tratamiento con tripsina/EDTA,	4,25 x 10 <sup>3</sup>
		dilución 1:3 división cada 3 días	
NIE-115	EMEM, G	Tratamiento con tripsina/EDTA,	4,25 x 10 <sup>3</sup>
		dilución 1:3 división cada 3 días	
NG108-15	EMEM, B	Tratamiento con tripsina/EDTA,	4,25 x 10 <sup>3</sup>
		dilución 1:4 división cada 2	
HCN-1A	EMEM, H	dilución 1:4 división cada 1-2 días	4,25 x 10 <sup>3</sup>
HCN-2	EMEM, H	Tratamiento con tripsina/EDTA,	4,25 x 10 <sup>3</sup>
		dilución 1:3 división cada 3 días	
TE 189.T	EMEM, H	Tratamiento con tripsina/EDTA,	4,25 x 10 <sup>3</sup>
		dilución 1:3 división cada 3 días	
ND8/34	EMEM, B	Tratamiento con tripsina/EDTA,	4,25 x 10 <sup>3</sup>
		dilución 1:3 división cada 3 días	

A contiene 1,5 g/l de bicarbonato de sodio, aminoácidos no esenciales (NEAA) 0,1 nM, glutamina 4 nM y suero de carnero fetal (FCS) al 10 %

B contiene glutamina 2mM v FCS al 10 %

C contiene 1,5 g/l de bicarbonato de sodio, aminoácidos no esenciales (NEAA) 0,1 nM, glutamina 4 nM, piruvato de sodio al 1 %, penicilina/estreptomicina al 1 % y FCS al 10 %

D contiene NEAA 0,1 nM, glutamina 4mM y FCS al 10 %

E contiene 1,5 g/l de bicarbonato de sodio, aminoácidos no esenciales (NEAA) 0,1 nM, glutamina 2 nM, piruvato de sodio al 1 % y FCS al 10 %

F contiene glutamine 2 nM, suero de caballo al 15 % y FCS al 2,5 %

G contiene 4,5 g/l de glucosa FCS al 10 %

H contiene glucosa 4 nM y FCS al 10 %

10

15

20

25

El medio de congelación comprende medio de cultivo al 95 % y DMSO al 5 %

# 1c. Tratamiento con gangliósidos para aumentar la captación de alta afinidad de BoNT/A por una célula

Con el fin de evaluar el efecto del tratamiento con gangliósido sobre la capacidad de BoNT/A para intoxicar una célula, se trató previamente una línea celular Neuro-2A con diferentes gangliósidos para determinar si estos restos de azúcar podrían aumentar la captación de BoNT/A por estas células. Las células Neuro-2A se plaquearon a una densidad adecuada en pocillos individuales de placas de cultivo hístico de seis pocillos recubiertas con poli-Dlisina/laminina que contenían 3 ml de un medio adecuado (véase la tabla 3) y se cultivaron en una incubadora a 37 °C en atmósfera de dióxido de carbono al 5 %. Después de aproximadamente 24 horas, el medio se reemplaza por un medio exento de suero y se añadieron 25 µg/ml de uno de los gangliósidos siguientes a pocillos indivuales: GD1a, GD1b, GD3, GQ1b or GT1b (AXXORA, LLC, San Diego, CA, Estados Unidos). Después de un periodo de incubación a 37 °C, las células tratadas con gangliósidos se lavaron tres veces con 1 ml de solución salina tamponada con fosfatos, pH 7,4 y después se incubaron a 37 °C con medio de suero al 1 % que contenía distintas concentraciones (0 nM, 12,5 nM, 25 nM, 50nM) de BoNT/A (Metabiologics, Inc., Madison, WI, Estados UNidos) durante aproximadamente 8 horas o aproximadamente 16 horas. Las células se recogieron en tubos de 15 ml, se lavaron una vez con 1 ml de solución salina tamponada con fosfato, pH 7,4, y se transfirieron a tubos de microcentrifugación de 1,5 ml. Las células se lisaron en 0,5 ml de tampón de lisis que contenía N-(2-hidroxietil) piperazina-N'-(ácido 2-etanosulfónico) (HEPES) 50 mM, pH 6.8, cloruro de sodio 150 mM, cloruro de magnesio 1.5 mM, ácido etilenglicol bis(□-aminoetil éter) N,N,N',N'-tetraacético (EGTA) 1 mM, glicerina al 10 % y Triton-X<sup>®</sup> 100 (polietoxilato de 4-octilfenol) al 1 % (V/V), con rotación durante 1 hora a 4 °C. Las células lisadas se centrifugaron a 5.000 rpm durante 10 min a 4 °C para eliminar desechos y el sobrenadante se transfirió a tubos siliconizados nuevos. Las concentraciones de proteínas se midieron usando el procedimiento de Bradford y se resuspendieron en 1 x tampón de muestra SDS a 1 mg/ml o una concentración superior. La presencia de un producto de escisión de SNAP25197 de BoNT/A se determinó usando análisis de inmunotransferencia tal como se ha descrito anteriormente en el ejemplo II, 1a. Un aumento de producto de escisión de SNAP25197 de BoNT/A se detectó en la línea celular Neuro-2A tratada con el gangliósido GT1b, indicando de este modo que el tratamiento con GTlb puede aumentar la captación de BoNT/A por células Neuro- 2A (véase la figura 9a).

## 1d. Tratamiento con gangliósidos para aumentar la captación de alta afinidad de BoNT/E por una célula

Con el fin de evaluar el efecto del tratamiento con gangliósido sobre la capacidad de BoNT/E para intoxicar una célula, se pretrató una línea celular Neuro-2A con diferentes gangliósidos para determinar si estos restos de azúcar podrían aumentar la captación de BoNT/A por estas células. Las células Neuro-2A se cultivaron en placas de seis pocillos recubiertas con poli-D-lisina/laminina y se trató con gangliósidos tal como se ha descrito anteriormente en el ejemplo II, 1c. Las células tratadas con gangliósidos se incubaron con BoNT/E (Metabiologics, Inc., Madison, WI, Estados Unidos) a distintas concentraciones (0 nM, 12,5 nM, 25 nM, 50 nM) en medio de suero al 1 % durante bien aproximadamente 6 horas o bien aproximadamente 16 horas. Las células tratadas con toxina se recogieron y se lisaron tal como se ha descrito anteriormente en el ejeplo II, 1c. La presencia de un producto de escisión de SNAP25180 de BoNT/E se determinó mediante análisis inmunotransferencia (Western) tal como se ha descrito anteriormente en el ejemplo I, 1b, con la excepción de que las membranas PVDF bloqueadas se incubaron en un solución de anticuerpo primario que contenía una dilución 1:50.000 de anticuerpo anti-SNAP-25 monoclonal de ratón (SMI-81; Sternberger Monoclonals, Lutherville, MD, Estados Unidos) mejor que el antisuero anti-SNAP25 policlona de conejo pAb anti-SNAP25197 Nº 1 y una solución de anticuerpo secundario que contenía una dilución 1:20.000 de anticuerpo de cadenas ligera y pesada de inmunoglobulina G (IgG, H+L) anti-ratón policional de cabra conjugado a peroxidasa de rábano picante (HRP; Pierce Biotechnology, Inc., Rockford, IL, Estados Unidos) mejor que el anticuerpo IgG-HRP anti-conejo policional de cabra con el fin de detectar el producto de escisión de SNAP25180 de BoNT/E. Un aumento de producto de escisión de SNAP25180 de BoNT/E se detectó en la línea celular Neuro-2A tratada con los gangliósidos GD3, GD1b y GD1a, indicando de este modo que el tratamiento con GD3, el tratamiento con GD1b o el tratamiento con GD1a puede aumentar la captación de BoNT/E por células Neuro-2A (véase la figura

#### 2. Aislamiento del receptor de BoNT/A a partir de células Neuro-2A

10

15

20

25

30

35

40

45

Las células Neuro-2A se eligieron para realizar experimentos de reticulación de ligandos usando BoNT/A debido a que estas células tienen un perfil de captación de toxina rápido (aproximadamente 10 minutos) y alta afinidad por BoNT/A. Se usó el sulfo-SBED (Pierce Biotechnology, Inc., Rockford, IL, Estados Unidos) trifuncional. El reactivo sulfo-SBED contiene tres grupos reactivos (uno de ellos diseñada para ser activado mediante UV) y está diseñado para biotinilar una proteína diana.

Para conjugar un agente de reticulación a un BoNT/A, se centrifugan aproximadamente 100 µg de Pure A a 10,000 x g a 4 °C durante 10 minutos para formar pellas de toxina y se lleva a un volumen final de 900 µl de solución salina tamponada con fosfatos (pH 7,4). La solución se lleva a continuación a la oscuridad y se añaden 900 µl de SBED 0,25 mM, solución de DMSO al 1 % y se incuba a 4 °C durante dos horas en un recipiente secundario sobre un aparato agitador. La reacción se detiene añadiendo 50 µl de TRIS 1 M (pH 7,4). La solución se invierte 6 veces y se incuba sobre hielo durante 30 minutos. La solución PURE-ASBED resultante se usó para realizar los experimentos de reticulación para identificar un receptor BoNT/A.

Para reticular PURE-A a receptores de BoNT/A presentes en células Neuro-2A, se plaqueron 1,5 x 10<sup>5</sup> células Neuro-2A en una placa de cultivo hístico de 35 mm que contenía 3 ml de EMEM completo, suplementado con FBS al 10 %, glutamine 2 mM (Invitrogen, Inc, Carlsbad, CA, Estados Unidos), piruvato de sodio 1 mM (Invitrogen, Inc, Carlsbad, CA, Estados Unidos), 1,5 q/l de carbonato de sodio y 1 x MEM de solución de aminoácidos no esenciales (Invitrogen, Inc, Carlsbad, CA, Estados Unidos) y se cultiva en una incubadora a 37 °C en atmósfera de dióxido de carbono hasta que las células alcanzan una densidad de aproximadamente 5 x 10<sup>5</sup> células/ml. Las células Neuro-2A se recogieron separando las células con un tratamiento de tripsina, transfiriendo las células a tubos de 15 ml y centrifugando las células a 5,000 x g a 4 °C durante 10 min. El sedimento de células se lava tres veces con 9 ml de solución salina tamponada con Tris y después se divide en partes alícuotas de 4 X 108 células. Cada parte alícuota de células se suspende en 12 ml de solución salina tamponada con Tris para dar una densidad final de 2 x 10<sup>7</sup> células/ml y se situaron sobre hielo durante 15 minutos. A una parte alícuota de suspensión celular, se añade 1 ml de PURE-A-SBED, siendo la concentración final de aproximadamente 100 µg de PURE A (33 nM). A una segunda parte alícuota, solo se añade sulfo-SBED y sirve como control para positivos falsos. Ambas suspensiones de células Neuro-2 se incubaron a 4 °C durante dos horas en un recipiente secundario usando un aparato agitador y, después, cada solución celular se distribuye en 13 partes alícuotas de 1,0 ml. Estas partes alícuotas se expusieron a radiación ultravioleta (365 nm) a 4 °C durante 15 minutos.

Las células se centrifugaron a 5,000 x g a 4 °C durante 15 minutos y se lavaron una vez con 1 ml de solución salina 50 tamponada con Tris. Las células lavadas se lisaron en 0,5 ml de tampón de lisis que contenía N-(2-hidroxietil) piperazina-N'-(ácido 2-etanosulfónico) (HEPES) 50 mM, pH 6.8, cloruro de sodio 150 mM, cloruro de magnesio 1.5 mM, ácido etilenglicol bis(□-aminoetil éter) N.N.N',N'-tetraacético (EGTA) 1 mM, glicerina al 10 % y Triton-X<sup>®</sup> 100 (polietoxilato de 4-octilfenol) al 1 % (V/V) y los inhibidores de proteasa adecuados, con rotación durante 1 hora a 4 55 °C. Las células lisadas se centrifugarón a 5.000 rpm durante 10 min a 4 °C para eliminar desechos y el sobrenadante se transfirió a tubos siliconizados nuevos y se añadieron perlas de avidina a los sobrenadantes eliminados. Esta mezcla se incubó a 4°C durante 3 horas. A continuación, las perlas de avidina se lavaron dos veces por centrifugación a 1000 x g a 4°C durante 10 min dando perlas de pellas, se decantó el sobrenadante, se añadieron 0,5 ml de tampón de lisis y se incubó la solución a 4 °C durante 10 minutos. Las perlas de avidina se 60 lavaron después dos veces con 0,5 ml de solución salina tamponada con fosfato (pH 7,4). Se añadieron aproximadamente 100 µl de tampón de carga SDS-PAGE a las perlas de avidina en forma de pellas y se hirvió durante 10 minutos. A continuación se sometieron 40 µl de una parte alícuota a electroforesis en gel de poliacrilamida MOPS usando geles de poliacrilamida pretransformados con bis-Tris la 4-12 % NuPAGE® Novex (Invitrogen, Inc, Carlsbad, CA, Estados Unidos) en condiciones reductoras no desnaturalizantes y desnaturalizantes. La figura 10a muestra una proteína de aproximadamente 250 kDa en geles no reductores que representa la toxina PURE-A-SBED del reactivo de reticulación intacta unida al receptor de BoNT/A putativo. Las mismas muestras se procesaron en condiciones desnaturalizantes y revelaron una proteína de aproximadamente 100 kDa que se purificó con PURE-A-SBED.

Para determinar la identidad del receptor de BoNT/A aislado a partir de los experimentos de reticulación se realizaron análisis de inmunotransferencia (Western) usando anticuerpos a la región citoplásmica del receptor FGF 1 (FGFR1), receptor FGF 2 (FGFR2), receptor FGF 3 (FGFR3) y receptor FGF 4 (FGFR4) de los polipéptidos. Aproximadamente 40 µl de partes alícuotas del complejo receptor-PureA, obtenido tal como se describe en el eiemplo II. 2, se separaron mediante electroforesis en gel de poliacrilamida MOPS usando geles de poliamida pretransformados con bis-Tris al 4-12 % NuPAGE® Novex (Invitrogen, Inc, Carlsbad, CA, Estados Unidos) en condiciones no reductoras y desnaturalizantes reductoras. Los péptidos separados se transfirieron del gel a membranas de poli(fluoruro de vinilideno) (PVDF) (Invitrogen, Inc. Carlsbad, CA, Estados Unidos) mediante inmunotransferencia (Western) usando un aparato celular de transferencia electroforética semiseca Trans-Blot® SD (Bio-Rad Laboratories, Hercules, CA, Estados Unidos). Las membranas de PVDF se bloquearon incubando a temperatura ambiente durante 2 horas en una solución que contenía solución salina tamponada con tris 25 mM (ácido 2-amino-2-hidroximetil-1,3-propanodiol clorhídrico 25 mM (Tris-HCI)(pH 7,4), cloruro de sodio 137 mM, cloruro de potasio 2,7 mM), TWEEN-20<sup>®</sup> al 0,1 %, monolaurato de polioxietileno (20) sorbitán, albúmina de suero bovino al 2 %, leche desnatada seca al 5 %. Las membranes bloqueadas se incubaron a 4 °C durante la noche en solución salina tamponada con Tris TWEEN-20® (solución salina tamponada con Tris 25 mM, TWEEN-20® al 0,1 %, monolaurato de polioxietileno (20) sorbitán) que contenía una de las soluciones de anticuerpos primarios siguientes: 1) una dilución 1:1000 de antisuero anti-FGFR1 policional de conejo (Santa Cruz Biotechnologies, Inc., Santa Cruz, CA, Estados Unidos); 2) una dilución 1:1000 de antisuero anti-FGFR2 policional de cabra (Santa Cruz Biotechnologies, Inc., Santa Cruz, CA, Estados Unidos); 3) una dilución 1:1000 de antisuero (C15) anti-FGFR3 policional de conejo (Santa Cruz Biotechnologies, Inc., Santa Cruz, CA, Estados Unidos) o 4) una dilución 1:1000de antisuero anti-FGFR4 policional de cabra (Santa Cruz Biotechnologies, Inc., Santa Cruz, CA, Estados Unidos). Las manchas analizadas de anticuerpo primario se lavaron tres veces durante 15 minutos cada vez en solución salina tamponada con tris TWEEN-20<sup>®</sup>. Las membranas lavadas se incubaron a temperatura ambiente durante 2 horas en solución salina tamponada con Tris TWEEN-20® que contenía bien una dilución 1:20.000 de anticuerpo de cadenas pesada y ligera de inmunoglobulina G (IgG, H+L) anti-conejo policional de cabra conjugado a peroxidasa de rábano picante (HRP; Pierce Biotechnology, Inc., Rockford, IL, Estados Unidos) como anticuerpo secundario para las manchas FGFR1 y FGFR3 o bien una dilución 1:20.000 de anticuerpo de cadenas pesada y ligera de inmunoglobulina G (IgG, H+L) anti-cabra policional de conejo conjugado a peroxidasa de rábano picante (HRP; Pierce Biotechnology, Inc., Rockford, IL, Estados Unidos) para las manchas FGFR2 y FGFR4. Las manchas analizadas de anticuerpo secundario se lavaron tres veces durante 15 minutos cada vez en solución salina tamponada con tris TWEEN-20<sup>®</sup>. La detección del producto de escisión de SNAP25<sub>197</sub> de BoNT/A se visualizó usando el sistema de detección mediante inmunotransferencia (Western) ECL Plus™ (Amersham Biosciences, Piscataway, NJ, Estados Unidos) y se realizó una imagen de la membrana y el producto de escisión se cuantificó con un programa informático captador de imágenes en modo variable y de análisis del captador de imágenes Typhoon 9410 (Amersham Biosciences, Piscataway, NJ, Estados Unidos). La elección del tamaño en píxeles (100 a 200 píxeles) y los ajustes de voltaje PMT (350 a 600, normalmente 400) dependió de la mancha individual. Se detectó una banda en la muestra de receptor de toxina analizada con antisuero anti-FGFR3 de aproximadamente 97 kDa que es consecuente con el tamaño de FGFR3, lo que indica que FGFR3 es un receptor de BoNT/A (vése la figura 10b).

#### 3. Identificación del receptor de BoNT/A de diversas células

Se analizaron varias líneas celulares que responden a la captación de BoNT/A con anticuerpos diseñados contra FGFR1, FGFR2, FGFR3 y FGFR4 con el fin de determinar que FGFR expresan estas líneas celulares. Además, se examinaron las células de la línea celular natural HIT-T15 que no responden a BoNT/A y la línea cellular C7 aislada de HIT-T15 que responde a BoNT/A, tal como se ha descrito anteriormente en el ejemplo I, 2c y 2d.

Para determinar la presencia de FGFR en líneas celulares que responden a la exposición a BoNT/A, las células se cultivaron, se recogieron y se lisaron tal como se ha descrito anteriormente en el ejemplo II, 1a,1b o 2c y se sometieron 40 µl de partes alícuotas al análisis de inmunotransferencia (Western) tal como se ha descrito anteriormente en el ejemplo II, 2. Estos resultados indican que las líneas celulares sensibles a BoNT/A Neuro-2A, SH-SY5Y y HIT-T15-C7 expresan todas FGFR3, mientras que HIT-T15 natural no sensible a BoNT/A no lo hace (véase la figura 11). Los datos también revelaron que FGFR2 y FGFR4 no se detectaron en ninguna de las líneas celulares analizadas, mientras que FGFR1 se presentó en todas las líneas celulares analizadas, incluidas las células HIT-T15 naturales que no son sensibles a la exposición a BoNT/A (véase la figura 11).

## 4. Ensayos de competición competitiva

5

10

15

20

25

30

35

40

45

50

55

Para corroborar que la toxina BoNT/A penetra en células Neuro-2A a través del FGFR3 realizamos un experimento de competición con PURE-A y analizamos la respuesta de los productos analizados usando el ensayo de escisión

SNAP-25 tal como se ha descrito anteriormente en el ejemplo I, 1b. Si BoNT/A y un ligando de FGFR3 se unen al mismo receptor, entonces las cantidades aumentadas de ligando FGF deberían dar como resultado una respuesta reducida de una célula a la exposición de BoNT/A. No obstante, si BoNT/A y un ligando de FGFR3 se unen a receptores diferentes, entonces las cantidades aumentadas de ligando FGF no deberían dar como resultado ningún efecto sobre la respuesta de una célula a la exposición de BoNT/A. La tabla 1, que los solicitantes no reivindican es una tabulación completa de receptores y especies de FGF, muestra determinados miembros de la familia de FGFR y sus ligandos conocidos y distribución en tejidos.

Para determinar si ligandos para FGFR3 pueden competir competitivamente con BoNT/A para unirse a FGFR3, se plaquearon aproximadamente 5x10<sup>5</sup> células Neuro-2A en pocillos individuales de placas de cultivo hístico de 6 pocillos recubiertas con poli-D-lisina/laminina que contenían 3 ml de EMEM, suplementado con glutamina 2 mM (Invitrogen, Inc, Carlsbad, CA, Estados Unidos), piruvato de sodio 1 mM (Invitrogen, Inc, Carlsbad, CA, Estados Unidos), 1,5 g/l de bicarbonato de sodio y 1 x solución de aminoácidos no esenciales MEM (Invitrogen, Inc. Carlsbad, CA, Estados Unidos) y se cultivaron en una incubadora a 37 °C en atmósfera de dióxido de carbono al 5 % hasta que las células alcanzaron confluencia. Se añadió PURE-A aproximadamente 5 nM (Metabiologics, Inc., Madison, WI, Estados Unidos) junto con FGF1, FGF2 o tanto FGF1 como FGF2 a distintas concentraciones (0 nM, 0,1 nM, 1 nM, 5 nM, 50 nM, 200 nM) al medio de cultivo que contenía las células y se incubó durante aproximadamente 10 minutos a 37 °C. Las células se recogieron en tubos de 15 ml, se lavaron una vez con 1 ml de solución salina tamponada con fosfato, pH 7,4 y después se transfirieron a tubos de microcentrifugación de 1,5 ml. Las células se lisaron en 0,5 ml de tampón de lisis que contenía N-(2-hidroxietil) piperazina-N'-(ácido 2etanosulfónico) (HEPES) 50 mM, pH 6,8, cloruro de sodio 150 mM, cloruro de magnesio 1,5 mM, ácido etilenglicol bis(K-aminoetil éter) N,N,N',N'-tetraacético (EGTA) 1 mM, glicerina al 10 % y Triton-X<sup>®</sup> 100 (polietoxilato de 4octilfenol) al 1 % (V/V), con rotación durante 1 hora a 4 °C. Las células lisadas se centrifugaron a 5.000 rpm durante 10 min a 4 °C para eliminar desechos y el sobrenadante se transfirió a tubos siliconizados nuevos. Las concentraciones de proteínas se midieron usando el procedimiento de Bradford y se resuspendieron en 1 x tampón de muestra SDS a 1 mg/ml o una concentración superior.

La presencia de un producto de escisión de SNAP25197 de BoNT/A se determinó mediante análisis de inmunotransferencia (Western) tal como se ha descrito anteriormente en el ejemplo II, 1a, con la excepción de que las membranas PVDF bloqueadas se incubaron en un solución de anticuerpo primario que contenía una dilución 1:50.000 de anticuerpo anti-SNAP-25 monoclonal de ratón (SMI-81; Sternberger Monoclonals, Lutherville, MD, Estados Unidos) mejor que el antisuerpo anti-SNAP25 policlonal de conejo pAb anti-SNAP25197 Nº 1 y una solución de anticuerpo secundario que contenía una dilución 1:20.000 de anticuerpo de cadenas ligera y pesada de inmunoglobulina G (IgG, H+L) anti-ratón policlonal de cabra conjugado a peroxidasa de rábano picante (HRP; Pierce Biotechnology, Inc., Rockford, IL, Estados Unidos) mejor que el anticuerpo IgG-HRP anti-conejo policlonal de cabra con el fin de detectar tanto el sustrato de SNAP-25 y el producto de escisión de SNAP25197 de BoNT/A. Una cantidad aumentada de ligandos de FGF indicó que estos FGF1 y FGF2 compiten por el mismo receptor que BoNT/A y se confirmó posteriormente que FGFR3 es un receptor de BoNT/A (véase la figura 12).

### Ejemplo III

5

10

15

20

25

30

35

40

55

Una proteína de fusión que comprende la porción C teminal de la cadena pesada de BoNT/A y la cadena ligera de BoNT/E se analiza para evaluar su capacidad de unirse selectivamente a células susceptibles de ser intoxicadas con BoNT/A. Se incuba una preparación que comprende diluciones de la proteína de fusión con células de insulinita HIT-T15 que expresan FGFR3 exógeno en presencia de gangliósido GT1b. La capacidad del péptido de fusión para unirse a y penetrar en las células de insulinota se detecta detectando la secreción de insulina en respuesta a la presencia de glucosa, tal como se ha descrito en el ejemplo I, 1a. Por el contrario, la secreción de insulina no afecta a células que expresan FGFR3.

Los resultados de este ensayo muestran que la cantidad de insulina segregada en el medio de cultivo es decreciente de una modo dependiente de la dosis cuando la proteína de fusión se agrega al medio de cultivo. Los análisis de inmunotransferencia (Western) de lisados celulares mostrarán la conversión de SNAP-25 de longitud completa en la forma escindida típica de la actividad proteolítica de la proteasa de cadena ligera de BoNT/E. Este ensayo, por lo tanto, es útil para mostrar que el péptido de fusión es capaz de unirse a y de penetrar en células susceptibles a BoNT/A.

La misma proteína de fusión es capaz de intoxicar células de la unión neuromuscular.

#### Ejemplo IV

Una proteína de fusión que comprende una porción de unión al receptor de una especie de FGF capaz de unirse a FGFR3 (que incluye FGF1, FGF2, FGF4 y FGF9) y el dominio de translocación y la cadena ligera de BoNT/E se analiza para evaluar su capacidad de unirse selectivamente a células susceptibles de intoxicarse con BoNT/A. El ensayo se realiza tal como se ha descrito en el ejemplo 1 anteriormente, con resultados similares; los fragmentos de SNAP-25 escindidos detectados son caracterísiticos de intoxicación con BoNT/A.

### Ejemplo V

La BoNT/A producida a partir de la fermentación de Clostridium botulinum se produce usando técnicas de fermentación estándar. Tanto la preparación en masa como las versiones formuladas purificadas de toxina expresada, o ambas, se analizan para evaluar la pureza y la actividad tal como sigue. Se incuba una preparación que comprende diluciones de la preparación de BoNT/A con células de insulinoma HIT-T15 que expresan FGFR3 exógeno en presencia de gangliósido GT1b. La capacidad de la toxina para unirse a y penetrar en las células de insulinoma se detecta detectando la secreción de insulina en respuesta a la presencia de glucosa, tal como se ha descrito en el ejemplo I, 1a. La actividad específica de la preparación puede calcularse a partir de la concentración de una proteína determinada y la actividad de la preparación a diversas dosis.

Estos datos se comunican a la Administración de fármacos y alimentos de Estados Unidos (FDA) por una compañía farmacéutica como parte de datos que demuestran como se fabrica y se analiza la BoNT/A. Esta información es considerada por la FDA, que decide permitir la fabricación y venta de este lote de BoNT/A y lotes subsiguientes fabricados y analizados de forma similar, como producto farmacéutico terapéutico basado en parte en estos datos de ensayo del producto bruto y/o la formulación.

El producto farmacéutico que comprende la BoNT/A se ofrece a continuación para su venta como medicación con prescripción médica.

#### Ejemplo VI

10

15

20

35

40

45

50

55

Lo mismo que en el ejemplo V, pero el polipéptido producido es la neurotoxina de fusión del ejemplo III, producida en E. coli. Los lotes del producto bruto y/o de formulación de la neurotoxina de fusión se analizan tal como se ha indicado anteriormente, los datos se comunican a la FDA, y la decisión de aprobar la comercialización o la venta continuada de dicho polipéptido de fusión como agente terapéutico se realiza por parte de la FDA sobre la base, al menos en parte, de dichos datos. La compañía farmacéutica ofrece entonces la neurotoxina de fusión para su venta como agente terapéutico con prescripción médica.

#### Ejemplo VII

Se realiza un ensayo *in vitro* usando FGFR3 clonado unido a un soporte sólido en presencia de gangliósido GT1b. El FGFR3 unido se satura primeramente con cadena pesada de BoNT/A (cadena H) en solución salina tamponada con fosfato (PBS) y se lava exento de FGF no unido. Un compuesto de ensayo a partir de una biblioteca combinatoria de compuestos se pone en contacto con el receptor en condiciones sustancialmente fisiológicas (por ejemplo, PBS) y el eluido se recoge. La concentración de cadena H en el eluido se compara con la concentración de cadena H de un eluido control en el que la cadena H no se unió primeramente a FGFR3.

Los compuestos de ensayo que son capaces de unirse fuertemente a FGFR3 y compiten con la cadena H por unirse a FGFR3 (por ejemplo, mediante el procedimiento descrito en esta sección) son compuestos candidatos para el desarrollo de un antídoto para la intoxicación por botulismo agudo.

#### Ejemplo VIII

## Generación de células que contienen FGFR3 de forma estable

### 1. Construcción de pQBI25/FGFR3

Para construir pQBI-25/FGFR3, un fragmento de ácido nucleico que codifica la región de aminoácidos que comprende FGFR3 de SEC ID Nº: 4 se amplifica a partir de una biblioteca de ADNc cerebral humano usando un procedimiento de reacción en cadena de la polimerasa y se subclona dando un vector pCR2.1 usando el procedimiento de clonación TOPO® TA (Invitrogen, Inc, Carlsbad, CA, Estados Unidos). Los cebadores de oligonucleótidos directo e inverso que se usan para esta reacción se diseñan para que incluyan sitios de enzima de restricción únicos útiles para las etapas de subclonación subsiguientes. El constructo pCR2.1/FGFR3 resultante se digiere con enzimas de restricción que 1) causan la escisión del inserto que contiene el marco de lectura abierto completo que codifica el FGFR3 y 2) posibilita que este inserto se una operativamente a un vector pQBI-25 (Qbiogene, Inc., Irvine, CA, Estados Unidos). Este inserto se subclona usando un procedimiento de ADN ligasa T4 dando un vector pQBI-25 que se digiere con las endonucleasas de restricción apropiadas para proporcionar pQBI-25/FGFR3. La mezcla de ligación se transforma en células de E. coli BL21 (DE3) químicamente competentes (Invitrogen, Inc, Carlsbad, CA, Estaods Unidos) usando un procedimiento de choque térmico, se plaquea en placas de agar al 1,5 % Luria-Bertani (pH 7,0) que contiene 100 µg/ml de ampicilina, y se situan en una incubadora a 37 °C para su cultivo durante la noche. Las bacterias que contienen constructos de expresión se identifican como colonias resistentes a ampicilina. Los constructos candidatos se aislan usando un procedimiento de minipreparación de plásmido de lisis alcalino y se analizan mediante cartografiado de digestión de endonucleasa de restricción para determinar la presencia y orientación del inserto. Esta estrategia de clonación proporciona un constructo de expresión de mamífero que codifica el FGFR3 de SEC ID Nº: 4 unido operativamente a los elementos de expresión del vector pQBI-25.

#### 2. Células transformadas de forma estable usando un procedimiento de cruce recombinante

Para generar una línea celular integrada de forma estable que exprese un FGFR3 usando un procedimiento de cruce, se plaquea una densidad adecuada (1 x 10<sup>5</sup> a 1 x 10<sup>5</sup> células) de células apropiadas, tales como, por ejemplo, HIT-T15 o Neuro2A, en una placa de cultivo místico de 35 mm que contiene 3 ml de medio de cultivo completo suplementado y se cultivan en una incubadora a 37 °C en atmósfera de dióxido de carbono al 5 % hasta que las células alcanzan una densidad apropiada para la transfección. Se prepara una solución de transfección de 500 µl añadiendo 250 µl de medio en suero reducido OPTI-MEM que contiene 15 µl de LipofectAmine 2000 (Invitrogen, Carlsbad, CA, Estados Unidos) incubado a temperatura ambiente durante 5 minutos a 250 µl de medio en suero reducido OPTI-MEM que contiene 5 µg de constructo de expresión que codifica un FGFR3, tal como, por ejemplo pQBI-25/FGFR3 (véase el ejemplo VIII, 1). Esta transfección se incubó a temperatura ambiente durante aproximadamente 20 minutos. El medio completo suplementado se reemplaza por 2 ml de medio de suero reducido OPTI-MEM y los 500 µl de solución de transfección se añaden a las células y las células se incuban en una incubadora a 37 °C en atmósfera de dióxido de carbono al 5 % durante aproximadamente 16 horas. El medio de transfeccion se reemplaza por 3 ml de medio de cultivo completo suplementado nuevo y las células se incuban en una incubadora a 37 °C en atmósfera de dióxido de carbono al 5 % durante aproximadamente 48 horas. El medio se reemplaza por 3 ml de medio de cultivo completo suplementado nuevo que contiene aproximadamemente 5 µg/ml de G418. Las células se incuban en una incubadora a 37 °C en atmósfera de dióxido de carbono al 5 % durante aproximadamente 4 semanas, reemplazándose el medio viejo por medio selectivo de G418 completo, suplementado, nuevo cada 4 a 5 días. Una vez establecidas las colonias resistentes a G418, los clones resistentes se vuelven a plaquear en placas de cultivo de 35 mm nuevas que contienen medio de cultivo completo nuevo, suplementado con aproximadamente 5 µg/ml de G418 hasta que estas células alcanzan una densidad de 6 a 20 x 10<sup>5</sup> células/ml.

Para analizar la expression de un FGFR3 a partir de líneas celulares aisladas que integraron de forma estable un constructo de expression que codifica un FGFR3, tales como, por ejemplo, pQBI-25/FGFR3 (veáse el ejemplo VIII, 1), aproximadamente 1,5 x 10<sup>5</sup> células de cada línea celular se plaquean en una placa de cultivo hístico de 35 mm que contiene 3 ml de DMEM selectivo de G418 completo suplementado y se cultivan en una incubadora a 37 °C en atmósfera de dióxido de carbono al 5 % hasta que las células alcanzan una densidad de aproximadamente 5 x 10<sup>5</sup> células/ml (6-16 horas). El medio se reemplazó con 3 ml de medio de cultivo selectivo de G418 completo suplementado y las célula se incubaron en una incubadora a 37 °C en atmósfera de dióxido de carbono al 5 %. Después de 48 horas, las células se recogen enjuagando las células una vez con 3,0 ml de solución salina tamponada con fosfato 100 mM, pH 7,4, y se lisan con un tampón que contiene ácido 2-amino-2-hidroximetil-1,3-propanodiol clorhídrico (Tris-HCl) 62,6 mM, pH 6,8, y lauril sulfato de sodio 2 % (SDS). Las células lisadas se centrifugan a 5000 rpm durante 10 min a 4 °C para eliminar desechso y los sobrenadantes se transfieren a tubos siliconados nuevos. Las concentraciones de proteínas se midieron usando el procedimiento de Bradford y se resuspendieron en 1 x tampón de muestra SDS a 1 mg/ml o una concentración superior.

Para detectar la presencia de un FGFR3, las muestras se separan mediante electroforesis en gel de poliacrilamida MOPS y se analizan mediante procedimientos de inmunotransferencia (Western) tal como se ha descrito anteriormente en el ejemplo II, 2 usando una dilución 1:1000 de antisuero (C15) anti-FGFR3 policional de conejo (Santa Cruz Biotechnologies, Inc., Santa Cruz, CA, Estados Unidos), con el fin de identificar líneas celulares que han integrado de forma estable y expresan el sustrato de FGFR3.

#### 40 Ejemplo IX

5

10

15

20

25

30

35

45

50

55

# Estudios de fosforilación de FGFR3

# 1. Fosforilación de FGFR-3 expuesto a FGF o BoNT/A

Cuando se unen a ligandos específicos, los FGFR se autofosforilan sobre residuos de tirosina específicos. Esto comienza el proceso de internalización del receptor y del ligando en la ruta endosómica. Si BoNT/A se une a FGFR3, entonces la exposición a BoNT/A debería provocar la autofosforilación de FGFR3 en células expuestas.

Para determinar si la unión de BoNT/A daba como resultado la fosforilación de FGFR3, se plaquearon aproximadamente 1,5 x 10<sup>5</sup> células Neuro-2A en placas de cultivo hístico de 6 pocillos recubiertas con poli-Dlisina/laminina que contenían 3 ml de EMEM exento de suero, suplementado con piruvato de sodio 1 mM (Invitrogen, Inc, Carlsbad, CA, Estados Unidos), 1,5 g/l de bicarbonato de sodio y 1x solución de aminoácidos no esenciales MEM (Invitrogen, Inc, Carlsbad, CA, Estados Unidos) y se cultivaron en una incubadora a 37 °C en atmósfera de dióxido de carbono al 5 % hasta que las células alcanzaron una densidad de 5 x 10<sup>5</sup> células/ml. El medio exento de suero se reemplazó por EMEM suplementado nuevo que contenía FBS al 1 % (Invitrogen, Inc, Carlsbad, CA, Estados Unidos) y bien FGF-2 5 nM (Biosource International, Camarillo, CA, Estados Unidos) o una concentración 5 nM de PURE/A (Metabiologics, Inc., Madison, WI, Estados Unidos). A continuación, las células se incubaron en una incubadora a 37 °C en atmósfera de dióxido de carbono al 5 % durante 5 min, 10 min, 20 min y 30 min, con células no expuestas usadas como tiempo 0. Las células se recogieron en tubos de 15 ml, se lavaron una vez con 1 ml de

solución salina tamponada con fosfatos, pH 7,4, y a continuación se transfirieron a tubos de microcentrifugación de 1,5 ml. Las células se lisaron en 0,5 ml de tampón de lisis que contenía N-(2-hidroxietil) piperazina-N'-(ácido 2-etanosulfónico) (HEPES) 50 mM, pH 6,8, cloruro de sodio 150 mM, cloruro de magnesio 1,5 mM, ácido etilenglicol bis(□-aminoetil éter) N,N,N',N'-tetraacético (EGTA) 1 mM, glicerina al 10 % y Triton-X<sup>®</sup> 100 (polietoxilato de 4-octilfenol) al 1 % (V/V), con rotación durante 1 hora a 4 °C. Las células lisadas se centrifugaron a 5.000 rpm durante 10 min a 4 °C para eliminar desechos y el sobrenadante se transfirió a tubos siliconizados nuevos. Las concentraciones de proteínas se midieron usando el procedimiento de Bradford y se resuspendieron en 1 x tampón de muestra SDS a 1 mg/ml o una concentración superior.

El sobrenadante que contenía 100 µg de proteína se inmunoprecipitó usando 5 µg de anticuerpo anti-fosfotirosina unido a una perla de sefarosa (Zymed Laboratories, Inc., South San Francisco, CA, Estados Unidos). El producto inmunoprecipitado se sometió a un análisis de inmunotransferencia (Western) tal como se ha descrito anteriormente en el ejemplo II, 4, siendo analizadas las manchas para evaluar FGFR3 (Santa Cruz Biotechnologies, Inc., Santa Cruz, CA, Estados Unidos). Estos experimentos muestran que el FGFR3 se fosforila después de su exposición a FGF2 o a BoNT/A, lo que indica que BoNT/A se une a FGFR3 (véase la figura 13a).

#### 2. Inhibición con DMBI de la fosforilación de FGFR-3 expuesto a FGF

5

15

20

25

30

50

Para determinar si el DMBI inhibe la fosforilación inducida por BoNT/A de FGFR3, se plaquearon células Neuro-2A y se cultivaron tal como se describe en el ejemplo IX, 1. Las células Neuro-2A se plagueron a una densidad de 5 x 10<sup>5</sup> células/pocillo (placa de 6 pocillos) y se incubaron durante la noche en medio exento de suero. El medio se reemplazó por EMEM suplementado exento de suero nuevo que contenía concentraciones 0, 1 μΜ, 5 μΜ, 20 μΜ ο 100 µM de DMBI (EMD Calbiochem, San Diego, CA, Estados Unidos) durante 1 hora. El DMBI inhibe la autofosforilación y la dimerización de receptores de tipo FGFR y PDGF. Las células se lavaron después y se dispusieron en EMEM suplementado nuevo que contenía FBS al 1 % (Invitrogen, Inc, Carlsbad, CA, Estados Unidos) y FGF-2 5 nM (Biosource International, Camarillo, CA, Estados Unidos), A continuación, las células se incubaron en una incubadora a 37 °C en atmósfera de dióxido de carbono al 5 % durante aproximadamente 5 min. 10 min y se recogieron y se inmunoprecipitaron tal como se ha descrito anteriormente en ejemplo IX, 1. Los productos inmunoprecipitados se sometieron a un análisis de inmunotransferencia (Western) tal como se ha descrito anteriormente en el ejemplo II, 4, con la excepción de que las manchas se analizaron con una solución de anticuerpo primario que contenía una dilución 1:1000 de un antisuero anti-fosfotirosina policlonal de conejo (Upstate USA, Inc., Charlottesville, VA, Estados Unidos) y una solución de anticuerpo secundario que contenía una dilución 1:20.000 de anticuerpo de cadenas pesada y ligera de inmunoglobulina G (IgG, H+L) anticonejo policlonal de cabra conjugado a peroxidasa de rábano picante (HRP; Pierce Biotechnology, Inc., Rockford, IL, Estados Unidos). Estos resultados indican que el DMBI inhibe eficazmente la fosforilación de FGFR3 después de exposición a FGF2 (véase la figura

### 3. Inhibición con DMBI de la actividad de BoNT/A

35 Para determinar si el DMBI puede inhibir la actividad de BoNT/A, se plaquearon células Neuro-2A y se cultivaron tal como se describe en el ejemplo IX, 1. El medio se reemplazó por EMEM suplementado exento de suero nuevo que contenía concentraciones 0,1 µM, 5 µM, 20 µM o 100 µM de DMBI (EMD Calbiochem, San Diego, CA, Estados Unidos) durante 1 hora. El DMBI inhibe la autofosforilación y la dimerización de receptores de tipo FGFR y PDGF. Las células se lavaron después y se dispusieron en EMEM suplementado nuevo que contenía FBS al 1 % (Invitrogen, Inc., Carlsbad, CA, Estados Unidos) y PURE/A 5 nM (Metabiologics, Inc., Madison, WI, Estados Unidos). 40 A continuación, las células se incubaron en una incubadora a 37 °C en atmósfera de dióxido de carbono al 5 % durante aproximadamente 5 min, 10 min y se recogieron tal como se ha descrito anteriormente en el ejemplo IX, 1. Se analizaron partes alícuotas para evaluar la presencia de producto de escisión de SNAP-25197 de BoNT/A usando el ensayo de escisión de SNAP-25 tal como se ha descrito anteriormente en el ejemplo I, 1b. Estos resultados 45 indican una reducción en la cantidad de producto de escisión de SNAP-25 presente, indicando de este modo que el DMBI inhibe eficazmente la actividad de BoNT/A y confirmando que esta toxina se internaliza por medio de FGFR3 (véase la figura 13c).

Los ejemplos proporcionados en el presente documento son simplemente ilustraciones de diversos aspectos de la invención, que debe entenderse que se define sólo mediante las reivindicaciones que siguen a la presente memoria descriptiva.

#### LISTADO DE SECUENCIAS

<110> Fernandez-Salas, Ester

Garay, Patton

Aoki, Kei Roger

5 <120> Ensayo de selección de toxinas botulínicas

<130> 17596 (BOT)

<150> US 60/547.591

<151> 24/02/2004

<160>32

10 <170> FastSEQ para Windows versión 4.0

<210>1

<211> 2427

<212> DNA

<213> Homo sapiens FGFR3IIIb

```
atgggcgccc ctgcctgcgc cctcgcgctc tgcgtggccg tggccatcgt ggccggcgcc 60
tecteggagt cettggggac ggagcageg gtegtgggge gageggcaga agteeegge 120 ceagageeg gecagcagga geagttggte tteggeageg gggatgetgt ggagetgage 180
tgtccccgc ccgggggtgg tcccatgggg cccactgtct gggtcaagga tggcacaggg ctggtgccct cggagcgtgt cctggtgggg ccccagcggc tgcaggtgct gaatgcctcc
                                                                               240
                                                                               300
cacgaggact ccggggccta cagctgccgg cagcggctca cgcagcgcgt actgtgccac 360 ttcagtgtgc gggtgacaga cgctccatcc tcgggagatg acgaagacgg ggaggacgag 420
gctgaggaca caggtgtgga cacaggggcc ccttactgga cacggcccga gcggatggac
aagaagetge tggeegtgee ggeegeeaac acegteeget teegetgeee ageegetgge 540
aaccccactc cetecatete etggetgaag aacggcaggg agtteegegg egageacege 600
attggaggca tcaagctgcg gcatcagcag tggagcctgg tcatggaaag cgtggtgccc 660
teggacegeg geaactacae etgegtegtg gagaacaagt ttggeageat eeggeagaeg
tacacgetgg acgtgctgga gcgctccccg caccggccca tcctgcaggc ggggctgccg 780
gccaaccaga cggcggtgct gggcagcgac gtggagttcc actgcaaggt gtacagtgac 840
gcacagcccc acatccagtg gctcaagcac gtggaggtga acggcagcaa ggtgggcccg 900 gacggcacac cctacgttac cgtgctcaag tcctggatca gtgagagtgt ggaggccgac 960
gtgcgcctcc gcctggccaa tgtgtcggag cgggacgggg gcgagtacct ctgtcgagcc
1020
accaatttca taggcgtggc cgagaaggcc ttttggctga gcgttcacgg gccccgagca
1080
gccgaggagg agctggtgga ggctgacgag gcgggcagtg tgtatgcagg catcctcagc
1140
tacggggtgg gcttcttcct gttcatcctg gtggtggcgg ctgtgacgct ctgccgcctg
1200
cgcagcccc ccaagaaagg cctgggctcc cccaccgtgc acaagatctc ccgcttcccg
1260
ctcaagcgac aggtgtccct ggagtccaac gcgtccatga gctccaacac accactggtg
1320
cgcatcgcaa ggctgtcctc aggggagggc cccacgctgg ccaatgtctc cgagctcgag
ctgcctgccg accccaaatg ggagctgtct cgggcccggc tgaccctggg caagcccctt
1440
```

```
ggggagggct gcttcggcca ggtggtcatg gcggaggcca tcggcattga caaggaccgg
1500
gccgccaagc ctgtcaccqt agccgtgaag atgctgaaag acgatgccac tgacaaggac
1560
ctgtcggacc tggtgtctga gatggagatg atgaagatga tcgggaaaca caaaaacatc
1620
atcaacctgc tgggcgcctg cacgcagggc gggcccctgt acgtgctggt ggagtacgcg
gccaagggta acctgcggga gtttctgcgg gcgcggcggc ccccgggcct ggactactcc
ttcgacacct gcaagccqcc cqaggagcag ctcaccttca aggacctggt gtcctqtqcc
taccaggtgg cccggggcat ggagtacttg gcctcccaga agtgcatcca cagggacctg
1860
gctgcccgca atgtgctggt gaccgaggac aacgtgatga agatcgcaga cttcgggctg
1920
gcccgggacg tgcacaacct cgactactac aagaagacaa ccaacggccg gctgcccgtg
1980
aagtggatgg cgcctgaggc cttgtttgac cgagtctaca ctcaccagag tgacgtctgg
2040
teetttgggg teetgetetg ggagatette acgetggggg geteeecgta eeeeggeate
cctgtggagg agctcttcaa gctgctgaag gagggccacc gcatggacaa gcccgccaac
2160
tgcacacacg acctgtacat gatcatgcgg gagtgctggc atgccgcgcc ctcccagagg
2220
cccaccttca agcagctggt ggaggacctg gaccgtgtcc ttaccgtgac gtccaccgac
2280
gagtacctgg acctgtcggc gcctttcgag cagtactccc cgggtggcca ggacaccccc
agetecaget ceteagggga egacteegtg titigeceaeg acetgetgee eeeggeeeea
cccagcagtg ggggctcgcg gacgtga
2427
```

<210>2

<211> 808

<212> PRT

<213> Homo sapiens FGFR3IIIb

```
Met Gly Ala Pro Ala Cys Ala Leu Ala Leu Cys Val Ala Val Ala Ile
                                    10
Val Ala Gly Ala Ser Ser Glu Ser Leu Gly Thr Glu Gln Arg Val Val
            20
                                25
Gly Arg Ala Ala Glu Val Pro Gly Pro Glu Pro Gly Gln Gln Glu Gln
        35
                            40
Leu Val Phe Gly Ser Gly Asp Ala Val Glu Leu Ser Cys Pro Pro
Gly Gly Pro Met Gly Pro Thr Val Trp Val Lys Asp Gly Thr Gly
                   70
                                        75
Leu Val Pro Ser Glu Arg Val Leu Val Gly Pro Gln Arg Leu Gln Val
                85
                                    90
Leu Asn Ala Ser His Glu Asp Ser Gly Ala Tyr Ser Cys Arg Gln Arg
                                105
                                                    110
Leu Thr Gln Arg Val Leu Cys His Phe Ser Val Arg Val Thr Asp Ala
```

		115					120					125			
Pro	Ser 130		Gly	Asp	Asp	Glu 135		Gly	Glu	Asp	Glu 140		Glu	Asp	Thr
Gly 145	Val	Asp	Thr	Gly	Ala 150	Pro	Tyr	Trp	Thr	Arg 155		Glu	Arg	Met	Asp 160
Lys	Lys	Leu	Leu	Ala 165	Val	Pro	Ala	Ala	Asn 170	Thr	Val	Arg	Phe	Arg 175	Cys
			180			Thr		185					190		
		195		_		His	200		_			205			
	210	_				Met 215					220		_		_
225					230	Glu				235					240
				245		Glu			250					255	
	_		260			Gln		265			-		270		
		275				Ser	280					285			
	290					Gly 295					300				
305					310	Ser				315					320
				325		Asn			330					335	
			340			Phe		345					350		_
		355				Arg	360					365			
	370					Tyr 375	•				380				
385					390	Val				395					400
				405		Gly			410					415	
			420			Arg		425					430		
		435				Leu	440					445			_
	450					Asn 455					460				_
465	•				470	Arg				475					480
				485	_	Gln			490					495	
			500			Lys		505					510		
		515				Lys	520					525			
	530					Gly 535					540				,
545					550	Gly				555					560
Ala	Lys	Gly	Asn	Leu	Arg	Glu	Phe	Leu	Arg	Ala	Arg	Arg	Pro	Pro	Gly

```
565
                                     570
                                                          575
Leu Asp Tyr Ser Phe Asp Thr Cys Lys Pro Pro Glu Glu Gln Leu Thr
                                585
                                                     590
            580
Phe Lys Asp Leu Val Ser Cys Ala Tyr Gln Val Ala Arg Gly Met Glu
        595
                            600
                                                 605
Tyr Leu Ala Ser Gln Lys Cys Ile His Arg Asp Leu Ala Ala Arg Asn
                        615
                                             620
Val Leu Val Thr Glu Asp Asn Val Met Lys Ile Ala Asp Phe Gly Leu
                    630
                                         635
Ala Arq Asp Val His Asn Leu Asp Tyr Tyr Lys Lys Thr Thr Asn Gly
                645
                                     650
Arg Leu Pro Val Lys Trp Met Ala Pro Glu Ala Leu Phe Asp Arg Val
                                                     670
                                 665
Tyr Thr His Gln Ser Asp Val Trp Ser Phe Gly Val Leu Leu Trp Glu
                            680
                                                 685
Ile Phe Thr Leu Gly Gly Ser Pro Tyr Pro Gly Ile Pro Val Glu Glu
                                             700
                        695
Leu Phe Lys Leu Leu Lys Glu Gly His Arg Met Asp Lys Pro Ala Asn
                    710
                                         715
Cys Thr His Asp Leu Tyr Met Ile Met Arg Glu Cys Trp His Ala Ala
                                     730
                725
Pro Ser Gln Arg Pro Thr Phe Lys Gln Leu Val Glu Asp Leu Asp Arg
            740
                                745
                                                     750
Val Leu Thr Val Thr Ser Thr Asp Glu Tyr Leu Asp Leu Ser Ala Pro
        755
                            760
                                                 765
Phe Glu Gln Tyr Ser Pro Gly Gly Gln Asp Thr Pro Ser Ser Ser Ser
                                             780
                        775
Ser Gly Asp Asp Ser Val Phe Ala His Asp Leu Leu Pro Pro Ala Pro
                                         795
                    790
Pro Ser Ser Gly Gly Ser Arg Thr
                805
```

<210>3

<211> 2421

<212> ADN

5 <213> Homo sapiens FGFR3IIIc

```
atgggegece etgeetgege eetegegete tgegtggeeg tggeeategt ggeeggegee 60
tecteggagt cettggggae ggageagege gtegtgggge gageggeaga agteeeggge 120
ccagagcccg gccagcagga gcagttggtc ttcggcagcg gggatgctgt ggagctgagc 180
tgtcccccgc ccgggggtgg tcccatgggg cccactgtct gggtcaagga tggcacaggg 240
ctggtgccct cggagcgtgt cctggtgggg ccccagcggc tgcaggtgct gaatgcctcc 300
cacgaggact ccggggccta cagctgccgg cagcggctca cgcagcgcgt actgtgccac 360
tteagtgtgc gggtgacaga cgctccatcc tcgggagatg acgaagacgg ggaggacgag 420
gctgaggaca caggtgtgga cacaggggcc ccttactgga cacggcccga gcggatggac 480
aagaagetge tggcegtgee ggeegeeaae accgteeget teegetgeee ageegetgge 540
aaccccactc cctccatctc ctggctgaag aacggcaggg agttccgcgg cgagcaccgc 600
attggaggca tcaagctgcg gcatcagcag tggagcctgg tcatggaaag cgtggtgccc 660
teggacegeg geaactacae etgegtegtg gagaacaagt ttggeageat eeggeagaeg 720
tacacgctgg acgtgctgga gcgctccccg caccggccca tcctgcaggc ggggctgccg 780
gccaaccaga cggcggtgct gggcagcgac gtggagttcc actgcaaggt gtacagtgac 840
gcacagcccc acatccagtg gctcaagcac gtggaggtga acggcagcaa ggtgggcccg 900
gacggcacac cctacgttac cgtgctcaag acggcgggcg ctaacaccac cgacaaggag 960
```

```
ctagaggttc tctccttgca caacgtcacc tttgaggacg ccggggagta cacctgcctg
1020
gegggeaatt ctattgggtt ttctcatcac tctgcgtggc tggtggtgct gccagccgag
qaqqaqctqq tqqaqqctqa cqaqqcqqqc aqtqtqtatq caqqcatcct caqctacqqq
gtgggcttct tcctgttcat cctggtggtg gcggctgtga cgctctgccg cctgcgcagc
1200
cccccaaga aaggcctggg ctcccccacc gtgcacaaga tctcccgctt cccgctcaag
1260
cgacaggtgt ccctggagtc caacgcgtcc atgagctcca acaccacct ggtgcgcatc
1320
gcaaggctgt cctcagggga gggccccacg ctggccaatg tctccgagct cgagctgcct
1380
gccgacccca aatgggagct gtctcgggcc cggctgaccc tgggcaagcc ccttggggag
1440
ggctgcttcg gccaggtggt catggcggag gccatcggca ttgacaagga ccgggccgcc
1500
aagcctgtca ccgtagccgt gaagatgctg aaagacgatg ccactgacaa ggacctgtcg
1560
gacctggtgt ctgagatgga gatgatgaag atgatcggga aacacaaaaa catcatcaac
1620
ctgctgggcg cctgcacgca gggcgggccc ctgtacgtgc tggtggagta cgcggccaag
ggtaacctgc gggagtttct gcgggcgcgg cggcccccgg gcctggacta ctccttcgac
acctgcaagc cgcccgagga gcagctcacc ttcaaggacc tggtgtcctg tgcctaccag
gtggcccggg gcatggagta cttggcctcc cagaagtgca tccacaggga cctggctgcc
1860
cgcaatgtgc tggtgaccga ggacaacgtg atgaagatcg cagacttcgg gctggcccgg
1920
gacgtgcaca acctcgacta ctacaagaag acaaccaacg gccggctgcc cgtgaagtgg
atggcgcctg aggccttgtt tgaccgagtc tacactcacc agagtgacgt ctggtccttt
ggggtcctgc tctgggagat cttcacgctg gggggctccc cgtaccccgg catccctgtq
gaggagetet teaagetget gaaggagge cacegeatgg acaageeege caactgeaca
2160
cacgacctgt acatgatcat gcgggagtgc tggcatgccg cgccctccca gaggcccacc
2220
ttcaagcagc tggtggagga cctggaccgt gtccttaccg tgacgtccac cgacgagtac
2280
ctggacctgt cggcgccttt cgagcagtac tccccgggtg gccaggacac ccccagctcc
agetecteag gggacgacte egtgtttgee caegacetge tgeeceegge eccaeceage
agtgggggct cgcggacgtg a
2421
```

<210>4

<211> 806

<212> PRT

5 <213> Homo sapiens FGFR3IIIc

```
Met Gly Ala Pro Ala Cys Ala Leu Ala Leu Cys Val Ala Val Ala Ile
                                    10
Val Ala Gly Ala Ser Ser Glu Ser Leu Gly Thr Glu Gln Arg Val Val
                                25
Gly Arg Ala Ala Glu Val Pro Gly Pro Glu Pro Gly Gln Gln Glu Gln
                            40
Leu Val Phe Gly Ser Gly Asp Ala Val Glu Leu Ser Cys Pro Pro Pro
                        55
Gly Gly Pro Met Gly Pro Thr Val Trp Val Lys Asp Gly Thr Gly
                    70
                                        75
Leu Val Pro Ser Glu Arg Val Leu Val Gly Pro Gln Arg Leu Gln Val
                                    90
                85
Leu Asn Ala Ser His Glu Asp Ser Gly Ala Tyr Ser Cys Arg Gln Arg
            100
                                105
                                                    110
Leu Thr Gln Arg Val Leu Cys His Phe Ser Val Arg Val Thr Asp Ala
                            120
Pro Ser Ser Gly Asp Asp Glu Asp Glu Asp Glu Ala Glu Asp Thr
                        135
                                            140
Gly Val Asp Thr Gly Ala Pro Tyr Trp Thr Arg Pro Glu Arg Met Asp
                    150
                                        155
Lys Lys Leu Leu Ala Val Pro Ala Ala Asn Thr Val Arg Phe Arg Cys
               165
                                    170
                                                        175
Pro Ala Ala Gly Asn Pro Thr Pro Ser Ile Ser Trp Leu Lys Asn Gly
           180
                                185
                                                    190
Arg Glu Phe Arg Gly Glu His Arg Ile Gly Gly Ile Lys Leu Arg His
                            200
       195
Gln Gln Trp Ser Leu Val Met Glu Ser Val Val Pro Ser Asp Arg Gly
                        215
                                            220
Asn Tyr Thr Cys Val Val Glu Asn Lys Phe Gly Ser Ile Arg Gln Thr
                    230
                                        235
Tyr Thr Leu Asp Val Leu Glu Arg Ser Pro His Arg Pro Ile Leu Gln
                245
                                    250
Ala Gly Leu Pro Ala Asn Gln Thr Ala Val Leu Gly Ser Asp Val Glu
                                                    270
           260
                                265
Phe His Cys Lys Val Tyr Ser Asp Ala Gln Pro His Ile Gln Trp Leu
       275
                            280
Lys His Val Glu Val Asn Gly Ser Lys Val Gly Pro Asp Gly Thr Pro
                       295
Tyr Val Thr Val Leu Lys Thr Ala Gly Ala Asn Thr Thr Asp Lys Glu
                   310
                                        315
Leu Glu Val Leu Ser Leu His Asn Val Thr Phe Glu Asp Ala Gly Glu
               325
                                    330
                                                        335
Tyr Thr Cys Leu Ala Gly Asn Ser Ile Gly Phe Ser His His Ser Ala
            340
                                345
Trp Leu Val Val Leu Pro Ala Glu Glu Glu Leu Val Glu Ala Asp Glu
        355
                            360
                                                365
Ala Gly Ser Val Tyr Ala Gly Ile Leu Ser Tyr Gly Val Gly Phe Phe
                                            380
                        375
Leu Phe Ile Leu Val Val Ala Ala Val Thr Leu Cys Arg Leu Arg Ser
                    390
                                        395
Pro Pro Lys Lys Gly Leu Gly Ser Pro Thr Val His Lys Ile Ser Arg
                405
                                    410
Phe Pro Leu Lys Arg Gln Val Ser Leu Glu Ser Asn Ala Ser Met Ser
            420
                                425
Ser Asn Thr Pro Leu Val Arg Ile Ala Arg Leu Ser Ser Gly Glu Gly
```

```
440
        435
Pro Thr Leu Ala Asn Val Ser Glu Leu Glu Leu Pro Ala Asp Pro Lys
                       455
Trp Glu Leu Ser Arg Ala Arg Leu Thr Leu Gly Lys Pro Leu Gly Glu
                                        475
                                                            480
                   470
Gly Cys Phe Gly Gln Val Val Met Ala Glu Ala Ile Gly Ile Asp Lys
                485
                                    490
                                                        495
Asp Arg Ala Ala Lys Pro Val Thr Val Ala Val Lys Met Leu Lys Asp
                                505
                                                    510
            500
Asp Ala Thr Asp Lys Asp Leu Ser Asp Leu Val Ser Glu Met Glu Met
                            520
                                                525
        515
Met Lys Met Ile Gly Lys His Lys Asn Ile Ile Asn Leu Leu Gly Ala
                        535
Cys Thr Gln Gly Gly Pro Leu Tyr Val Leu Val Glu Tyr Ala Ala Lys
                   550
                                        555
Gly Asn Leu Arg Glu Phe Leu Arg Ala Arg Arg Pro Pro Gly Leu Asp
                565
                                    570
Tyr Ser Phe Asp Thr Cys Lys Pro Pro Glu Glu Gln Leu Thr Phe Lys
                                585
            580
Asp Leu Val Ser Cys Ala Tyr Gln Val Ala Arg Gly Met Glu Tyr Leu
                            600
Ala Ser Gln Lys Cys Ile His Arg Asp Leu Ala Ala Arg Asn Val Leu
                        615
                                            620
Val Thr Glu Asp Asn Val Met Lys Ile Ala Asp Phe Gly Leu Ala Arg
                    630
                                        635
Asp Val His Asn Leu Asp Tyr Tyr Lys Lys Thr Thr Asn Gly Arg Leu
                                    650
Pro Val Lys Trp Met Ala Pro Glu Ala Leu Phe Asp Arg Val Tyr Thr
            660
                                665
                                                    670
His Gln Ser Asp Val Trp Ser Phe Gly Val Leu Leu Trp Glu Ile Phe
                                                685
       675
                            680
Thr Leu Gly Gly Ser Pro Tyr Pro Gly Ile Pro Val Glu Glu Leu Phe
                                            700
                       695
Lys Leu Leu Lys Glu Gly His Arg Met Asp Lys Pro Ala Asn Cys Thr
                                       715
                   710
His Asp Leu Tyr Met Ile Met Arg Glu Cys Trp His Ala Ala Pro Ser
               725
                                    730
Gln Arg Pro Thr Phe Lys Gln Leu Val Glu Asp Leu Asp Arg Val Leu
           740
                                745
                                                    750
Thr Val Thr Ser Thr Asp Glu Tyr Leu Asp Leu Ser Ala Pro Phe Glu
                            760
                                                765
Gln Tyr Ser Pro Gly Gly Gln Asp Thr Pro Ser Ser Ser Ser Gly
                        775
                                            780
Asp Asp Ser Val Phe Ala His Asp Leu Leu Pro Pro Ala Pro Pro Ser
                                        795
                    790
Ser Gly Gly Ser Arg Thr
                805
```

<210>5

<211> 2085

<212> ADN

5 <213> Homo sapiens FGFR3IIIS

<400> 5

atgggcgccc ctgcctgcgc cctcgcgctc tgcgtggccg tggccatcgt ggccggcgcc 60

```
tcctcggagt ccttggggac ggagcagcgc gtcgtggggc gagcggcaga agtcccgggc 120
ccagageceg gecageagga geagttggte tteggeageg gggatgetgt ggagetgage 180
tgtccccgc ccgggggtgg tcccatgggg cccactgtct gggtcaagga tggcacaggg 240
ctggtgccct cggagcgtgt cctggtgggg ccccagcggc tgcaggtgct gaatgcctcc 300
cacgaggact ccggggccta cagctgccgg cagcggctca cgcagcgcgt actgtgccac 360
ttcagtgtgc gggtgacaga cgctccatcc tcgggagatg acgaagacgg ggaggacgag 420
gctgaggaca caggtgtgga cacaggggcc ccttactgga cacggcccga gcggatggac 480
aagaagetge tggeegtgee ggeegeeaac accgteeget teegetgeec ageegetgge 540
aaccccactc cctccatctc ctggctgaag aacggcaggg agttccgcgg cgagcaccgc 600
attggaggca tcaagctgcg gcatcagcag tggagcctgg tcatggaaag cgtggtgccc 660
teggacegeg geaactacae etgegtegtg gagaacaagt ttggcageat eeggeagaeg 720
tacacgetgg acgtgctgga gcgctccccg caccggccca tcctgcaggc ggggctgccg 780
gccaaccaga cggcggtgct gggcagcgac gtggagttcc actgcaaggt gtacagtgac 840
gcacagcccc acatccagtg gctcaagcac gtggaggtga acggcagcaa ggtgggcccg 900
gacggcacac cctacgttac cgtgctcaag gtgtccctgg agtccaacgc gtccatgagc 960
tccaacacac cactggtgcg catcgcaagg ctgtcctcag gggagggccc cacgctggcc
aatgteteeg agetegaget geetgeegae eecaaatggg agetgteteg ggeeeggetg
1080
accetgggca ageceettgg ggagggetge tteggceagg tggteatgge ggaggeeate
1140
ggcattgaca aggaccgggc cgccaagcct gtcaccgtag ccgtgaagat gctgaaagac
1200
gatgccactg acaaggacct gtcggacctg gtgtctgaga tggagatgat gaagatgatc
1260
gggaaacaca aaaacatcat caacctgctg ggcgcctgca cgcagggcgg gcccctgtac
1320
gtgctggtgg agtacgcggc caagggtaac ctgcgggagt ttctgcgggc gcggccgcc
1380
ccgggcctgg actactcctt cgacacctgc aagccgcccg aggagcagct caccttcaag
1440
gacctggtgt cctgtgccta ccaggtggcc cggggcatgg agtacttggc ctcccagaag
tgcatccaca gggacctggc tgcccgcaat gtgctggtga ccgaggacaa cgtgatgaag
atcgcagact tcgggctggc ccgggacgtg cacaacctcg actactacaa gaagacaacc
1620
aacggccggc tgcccgtgaa gtggatggcg cctgaggcct tgtttgaccg agtctacact
1680
caccagagtg acgtctggtc ctttggggtc ctgctctggg agatcttcac gctggggggc
tecceqtace eggeatece tgtggaggag etetteaage tgetgaagga gggeeaeege
atggacaagc ccgccaactg cacacacgac ctgtacatga tcatgcggga gtgctggcat
1860
gccgcgccct cccagaggcc caccttcaag cagctggtgg aggacctgga ccgtgtcctt
1920
accytgacyt ccaccyacya ytacctygac ctytcygcyc ctttcyayca ytactccccy
1980
ggtggccagg acacccccag ctccagctcc tcaggggacg actccgtgtt tgcccacgac
ctgctgcccc cggccccacc cagcagtggg ggctcgcgga cgtga
2085
<210>6
<211> 694
<212> PRT
<213> Homo sapiens FGFR3IIIS
```

5

Met Gly Ala Pro Ala Cys Ala Leu Ala Leu Cys Val Ala Val Ala Ile Val Ala Gly Ala Ser Ser Glu Ser Leu Gly Thr Glu Gln Arg Val Val Gly Arg Ala Ala Glu Val Pro Gly Pro Glu Pro Gly Gln Gln Glu Gln Leu Val Phe Gly Ser Gly Asp Ala Val Glu Leu Ser Cys Pro Pro Pro Gly Gly Gly Pro Met Gly Pro Thr Val Trp Val Lys Asp Gly Thr Gly Leu Val Pro Ser Glu Arg Val Leu Val Gly Pro Gln Arg Leu Gln Val Leu Asn Ala Ser His Glu Asp Ser Gly Ala Tyr Ser Cys Arg Gln Arg . 100 Leu Thr Gln Arg Val Leu Cys His Phe Ser Val Arg Val Thr Asp Ala Pro Ser Ser Gly Asp Asp Glu Asp Glu Asp Glu Ala Glu Asp Thr Gly Val Asp Thr Gly Ala Pro Tyr Trp Thr Arg Pro Glu Arg Met Asp Lys Lys Leu Leu Ala Val Pro Ala Ala Asn Thr Val Arg Phe Arg Cys Pro Ala Ala Gly Asn Pro Thr Pro Ser Ile Ser Trp Leu Lys Asn Gly Arg Glu Phe Arg Gly Glu His Arg Ile Gly Gly Ile Lys Leu Arg His Gln Gln Trp Ser Leu Val Met Glu Ser Val Val Pro Ser Asp Arg Gly Asn Tyr Thr Cys Val Val Glu Asn Lys Phe Gly Ser Ile Arg Gln Thr Tyr Thr Leu Asp Val Leu Glu Arg Ser Pro His Arg Pro Ile Leu Gln Ala Gly Leu Pro Ala Asn Gln Thr Ala Val Leu Gly Ser Asp Val Glu Phe His Cys Lys Val Tyr Ser Asp Ala Gln Pro His Ile Gln Trp Leu Lys His Val Glu Val Asn Gly Ser Lys Val Gly Pro Asp Gly Thr Pro Tyr Val Thr Val Leu Lys Val Ser Leu Glu Ser Asn Ala Ser Met Ser Ser Asn Thr Pro Leu Val Arg Ile Ala Arg Leu Ser Ser Gly Glu Gly Pro Thr Leu Ala Asn Val Ser Glu Leu Glu Leu Pro Ala Asp Pro Lys Trp Glu Leu Ser Arg Ala Arg Leu Thr Leu Gly Lys Pro Leu Gly Glu Gly Cys Phe Gly Gln Val Val Met Ala Glu Ala Ile Gly Ile Asp Lys Asp Arg Ala Ala Lys Pro Val Thr Val Ala Val Lys Met Leu Lys Asp Asp Ala Thr Asp Lys Asp Leu Ser Asp Leu Val Ser Glu Met Glu Met 

```
Met Lys Met Ile Gly Lys His Lys Asn Ile Ile Asn Leu Leu Gly Ala
             420
                                 425
                                                      430
Cys Thr Gln Gly Gly Pro Leu Tyr Val Leu Val Glu Tyr Ala Ala Lys
                                                . 445
                             440
         435
Gly Asn Leu Arg Glu Phe Leu Arg Ala Arg Arg Pro Pro Gly Leu Asp
    450
                         455
                                              460
Tyr Ser Phe Asp Thr Cys Lys Pro Pro Glu Glu Gln Leu Thr Phe Lys
                     470
                                          475
Asp Leu Val Ser Cys Ala Tyr Gln Val Ala Arg Gly Met Glu Tyr Leu
                 485
                                      490
                                                          495
Ala Ser Gln Lys Cys Ile His Arg Asp Leu Ala Ala Arg Asn Val Leu
             500
                                 505
                                                      510
Val Thr Glu Asp Asn Val Met Lys Ile Ala Asp Phe Gly Leu Ala Arg
                             520
                                                  525
Asp Val His Asn Leu Asp Tyr Tyr Lys Lys Thr Thr Asn Gly Arg Leu
                         535
Pro Val Lys Trp Met Ala Pro Glu Ala Leu Phe Asp Arg Val Tyr Thr
545
                     550
                                          555
His Gln Ser Asp Val Trp Ser Phe Gly Val Leu Leu Trp Glu Ile Phe
                 565
                                     570
                                                          575
Thr Leu Gly Gly Ser Pro Tyr Pro Gly Ile Pro Val Glu Glu Leu Phe
             580
                                 585
                                                      590
Lys Leu Leu Lys Glu Gly His Arg Met Asp Lys Pro Ala Asn Cys Thr
        595
                             600
                                                  605
His Asp Leu Tyr Met Ile Met Arg Glu Cys Trp His Ala Ala Pro Ser
                         615
                                             620
Gln Arg Pro Thr Phe Lys Gln Leu Val Glu Asp Leu Asp Arg Val Leu
                                          635
                     630
Thr Val Thr Ser Thr Asp Glu Tyr Leu Asp Leu Ser Ala Pro Phe Glu
                 645
                                     650
Gln Tyr Ser Pro Gly Gly Gln Asp Thr Pro Ser Ser Ser Ser Ser Gly
                                 665
                                                      670
Asp Asp Ser Val Phe Ala His Asp Leu Leu Pro Pro Ala Pro Pro Ser
                             680
        675
                                                  685
Ser Gly Gly Ser Arg Thr
    690
<210>7
```

<211> 2409

<212> ADN

<213> Bos taurus FGFR3IIIc

```
atgggcgccc cggctcgcgc cctcgcgttt tgcgtggcag tggcggtcat gaccggcgcc 60
gccctcgggt ccccgggcgt ggagccccgc gtcgcgcgga gagcggcaga ggtcccgggc 120
cccgagccca gcccgcagga gcgggccttt ggcagcgggg acaccgtgga gctgagctgc 180
cgcttgccgg cgggggtgcc cacagagccc accgtctggg tgaaggacgg cgtgggcctg 240
gegeeetegg accgegteet ggtggggeeg cageggetae aggtgeteaa egeeteecae 300
gaggacgccg gagcctacag ctgccgccag cgcctctccc agcggctgct gtgcctcttc 360
agcgtgcgcg tgacagatgc tccgtcctca ggggatgacg agggtgggga cgacgaggcc 420
gaggacacag ctggggcccc ttactggacg cggcctgagc ggatggacaa gaagctgcta 480
geggtgeegg eegecaacae ggttegette egetgeecag etgetggeaa eeceaegeea 540
tccatcacct ggctgaagaa cggcaaggag ttccggggcg agcaccgcat cgggggaatc 600
aaactgcggc agcagcagtg gagcctggtc atggagagcg tggtgccctc ggaccgcggc 660
aactacacgt gcgtcgtgga gaacaagttc ggcagaatcc agcagaccta caccctggac 720
```

```
gtgctggagc gctctccgca ccggcccatc ctacaggccg ggctgcccgc taaccagaca 780
gccgtgctgg gcagcgatgt ggagttccac tgcaaggtct acagcgacgc ccagccccac 840
atccagtggc tcaagcacgt ggaggtgaac ggcagcaagg tggggcccga cggcacgccc 900
tacgtcaccg tgctcaagac ggcgggcgct aacaccaccg acaaggagct agaggttcta 960
tccttgcgca atgtcacctt tgaggacgcg ggggagtaca catgtctggc gggcaattct
1020
atcgggtttt cccatcactc tgcgtggctg gtggtgctgc cagctgagga ggagctggtg
gaageeggtg aggetggegg tgtgttegeg ggtgteetea getaeggget gggetteete
ctcttcatcc tggccgtggc cgccgttacg ctctaccgcc tgaggagccc ccctaagaag
ggcetgggct cgcccgcggt gcacaaggtc tcccgcttcc cgctcaagcg acaggtgtcc
1260
ttggagtcca gctcatccat gagctccaac acaccgctgg tacgcattgc ccggctgtca
1320
tegggegagg geceaecet ggecaaegte tetgageteg agetgeeege egaeeceaag
1380
tgggagetgt ceegggeeg getgaeeetg ggeaageete ttggggaggg etgettegge
1440
caggtggtca tggcagaggc cattggcatc gacaaggacc gagctgccaa gcctgtcacg
1500
gtggccgtga agatgctgaa agatgacgcc acggataagg acttatcgga cctggtgtcc
1560
gagatggaga tgatgaagat gatcggaaaa cacaagaaca ttatcaacct gctaggcgcc
1620
tgcacgcagg gcgggcccct gtacgtgctg gtggagtacg cggccaaggg caacctgcgg
gaatacctgc gggcacggcg gcccccgggc actgactact ccttcgacac ctgccggctg
cccgaggagc agetcacett caaagacetg gtgtcctgcg cetaccaggt ggcgcggggc
atggagtace tggcctcgca gaagtgcate cacagggace tggcggcccg caacgtgctg
gtgactgagg acaacgtgat gaaaatcgcc gacttcggcc tggctcgtga cgtgcacaac
1920
ctcgactact acaaaaagac cacaaacggc cgcctgcccg tgaagtggat ggcacccgag
gccttgtttg accgcgtcta cacccaccaa agtgacgtct ggtccttcgg ggtcctgctc
tgggagatet teaegetggg gggetegeeg tacceeggea teeeegtgga ggagetette
2100
aagctgctga aggaaggcca ccgcatggac aagccggcca actgcacgca tgacctgtac
2160
atgateatge gegagtgetg geacgeegeg ceetegeaga ggeecacett caageagetg
2220
gtggaggacc tggaccgtgt gctcaccgtg acgtccaccg acgagtacct ggacctgtcg
gtgcccttcg agcagtactc gccgggcggc caggacaccc ccagctccgg ctcctcgggg
gacgactccg tgttcgctca cgacctgctg cccccggccc catccggcag cggaggctcg
2400
cggacgtga
2409
<210>8
<211>802
<212> PRT
```

5

<213> Bos taurus FGFR3IIIc

<400> 8

Met Gly Ala Pro Ala Arg Ala Leu Ala Phe Cys Val Ala Val Ala Val Met Thr Gly Ala Ala Leu Gly Ser Pro Gly Val Glu Pro Arg Val Ala Arg Arg Ala Ala Glu Val Pro Gly Pro Glu Pro Ser Pro Gln Glu Arg Ala Phe Gly Ser Gly Asp Thr Val Glu Leu Ser Cys Arg Leu Pro Ala Gly Val Pro Thr Glu Pro Thr Val Trp Val Lys Asp Gly Val Gly Leu Ala Pro Ser Asp Arg Val Leu Val Gly Pro Gln Arg Leu Gln Val Leu Asn Ala Ser His Glu Asp Ala Gly Ala Tyr Ser Cys Arg Gln Arg Leu Ser Gln Arg Leu Leu Cys Leu Phe Ser Val Arg Val Thr Asp Ala Pro Ser Ser Gly Asp Asp Glu Gly Gly Asp Asp Glu Ala Glu Asp Thr Ala Gly Ala Pro Tyr Trp Thr Arg Pro Glu Arg Met Asp Lys Lys Leu Leu Ala Val Pro Ala Ala Asn Thr Val Arg Phe Arg Cys Pro Ala Ala Gly Asn Pro Thr Pro Ser Ile Thr Trp Leu Lys Asn Gly Lys Glu Phe Arg Gly Glu His Arg Ile Gly Gly Ile Lys Leu Arg Gln Gln Gln Trp Ser Leu Val Met Glu Ser Val Val Pro Ser Asp Arg Gly Asn Tyr Thr Cys Val Val Glu Asn Lys Phe Gly Arg Ile Gln Gln Thr Tyr Thr Leu Asp Val Leu Glu Arg Ser Pro His Arg Pro Ile Leu Gln Ala Gly Leu Pro Ala Asn Gln Thr Ala Val Leu Gly Ser Asp Val Glu Phe His Cys Lys Val Tyr Ser Asp Ala Gln Pro His Ile Gln Trp Leu Lys His Val Glu Val Asn Gly Ser Lys Val Gly Pro Asp Gly Thr Pro Tyr Val Thr Val Leu Lys Thr Ala Gly Ala Asn Thr Thr Asp Lys Glu Leu Glu Val Leu Ser Leu Arg Asn Val Thr Phe Glu Asp Ala Gly Glu Tyr Thr Cys Leu Ala Gly Asn Ser Ile Gly Phe Ser His His Ser Ala Trp Leu Val Val Leu Pro Ala Glu Glu Glu Leu Val Glu Ala Gly Glu Ala Gly Gly Val Phe Ala Gly Val Leu Ser Tyr Gly Leu Gly Phe Leu Leu Phe Ile Leu Ala Val Ala Ala Val Thr Leu Tyr Arg Leu Arg Ser Pro Pro Lys Lys 395 400 Gly Leu Gly Ser Pro Ala Val His Lys Val Ser Arg Phe Pro Leu Lys

```
410
                405
Arg Gln Val Ser Leu Glu Ser Ser Ser Ser Met Ser Ser Asn Thr Pro
           420
                               425
Leu Val Arg Ile Ala Arg Leu Ser Ser Gly Glu Gly Pro Thr Leu Ala
                           440
Asn Val Ser Glu Leu Glu Leu Pro Ala Asp Pro Lys Trp Glu Leu Ser
                       455
                                           460
Arg Ala Arg Leu Thr Leu Gly Lys Pro Leu Gly Glu Gly Cys Phe Gly
                  470
                                       475
Gln Val Val Met Ala Glu Ala Ile Gly Ile Asp Lys Asp Arg Ala Ala
               485
                                   490
Lys Pro Val Thr Val Ala Val Lys Met Leu Lys Asp Asp Ala Thr Asp
                                505
Lys Asp Leu Ser Asp Leu Val Ser Glu Met Glu Met Met Lys Met Ile
                            520
Gly Lys His Lys Asn Ile Ile Asn Leu Leu Gly Ala Cys Thr Gln Gly
                        535
                                            540
Gly Pro Leu Tyr Val Leu Val Glu Tyr Ala Ala Lys Gly Asn Leu Arg
                    550
                                        555
Glu Tyr Leu Arg Ala Arg Arg Pro Pro Gly Thr Asp Tyr Ser Phe Asp
                                    570
                565
Thr Cys Arg Leu Pro Glu Glu Gln Leu Thr Phe Lys Asp Leu Val Ser
                                585
Cys Ala Tyr Gln Val Ala Arg Gly Met Glu Tyr Leu Ala Ser Gln Lys
                            600
                                               605
Cys Ile His Arg Asp Leu Ala Ala Arg Asn Val Leu Val Thr Glu Asp
                        615
                                            620
Asn Val Met Lys Ile Ala Asp Phe Gly Leu Ala Arg Asp Val His Asn
                   630
                                       635
Leu Asp Tyr Tyr Lys Lys Thr Thr Asn Gly Arg Leu Pro Val Lys Trp
                                  650
              . 645
                                                       655
Met Ala Pro Glu Ala Leu Phe Asp Arg Val Tyr Thr His Gln Ser Asp
                               665
           660
Val Trp Ser Phe Gly Val Leu Leu Trp Glu Ile Phe Thr Leu Gly Gly
                           680
Ser Pro Tyr Pro Gly Ile Pro Val Glu Glu Leu Phe Lys Leu Leu Lys
                       695
Glu Gly His Arg Met Asp Lys Pro Ala Asn Cys Thr His Asp Leu Tyr
                   710
                                       715
Met Ile Met Arg Glu Cys Trp His Ala Ala Pro Ser Gln Arg Pro Thr
               725
                                   730
Phe Lys Gln Leu Val Glu Asp Leu Asp Arg Val Leu Thr Val Thr Ser
                               745
Thr Asp Glu Tyr Leu Asp Leu Ser Val Pro Phe Glu Gln Tyr Ser Pro
                           760
Gly Gly Gln Asp Thr Pro Ser Ser Gly Ser Ser Gly Asp Asp Ser Val
                       775
Phe Ala His Asp Leu Leu Pro Pro Ala Pro Ser Gly Ser Gly Ser
Arg Thr
<210>9
<211> 2409
```

<212> ADN

5 <213> Mus musculus FGFR3IIIb

```
atggtagtcc cggcctgcqt gctagtgttc tgcgtggcgg tcgtggctgg agctacttcc 60
gagectectg qtecagagea qcqagttgtg cggagagegg cagaggttee agggeetgaa 120
cctagccagc aggagcaggt ggccttcggc agtggggaca ccgtggagct gagctgccat 180
cctcctggag gtgcccccac agggcccacg gtctgggcta aggatggtac aggtctggtg 240
gcctcccacc gcatcctggt ggggcctcag aggctgcaag tgctaaatgc ctcccacgaa 300
gatgcagggg tctacagctg ccagcaccgg ctcactcggc gtgtgctgtg ccacttcagt 360
gtgcgtgtaa cagatgctcc atcctcagga gatgacgaag atggggagga cgtggctgaa 420
gacacagggg ctccttattg gactcgcccg gagcgaatgg ataagaaact gctggctgtg 480
ccagccgcaa acactgtccg cttccgctgc ccagctgctg gcaaccctac ccctccatc 540
tcctggctga agaatggcaa agaattccga ggggagcatc gcattggggg catcaagctc 600
eggeaceage agtggagett ggteatggaa agtgtggtae eetcegateg tggeaactat 660
acctqtqtaq ttqaqaacaa qtttggcagc atccggcaga catacacact ggatgtgctg 720
gagogetece caeaceggee cateetgeag getgggetge eggeeaacea gaeageeatt 780
ctaggcagtg acgtggagtt ccactgcaag gtgtacagcg atgcacagcc acacatccag 840
tggctgaagc acgtggaagt gaacggcagc aaggtgggcc ctgacggcac gccctacgtc 900
actgtactca agtcctggat cagtgagaat gtggaggcag acgcacgcct ccgcctggcc 960
aatgtgtcgg agcgggacgg gggcgagtac ctctgtcgag ccaccaattt cataggcgtg
1020
gctgagaagg ccttttggct gcgtgttcac gggccccaag cagctgagga ggagctgatg
1080
gaaactgatg aggctggcag cgtgtacgca ggcgtcctca gctacggggt ggtcttcttc
1140
ctcttcatcc tggtggtggc agctgtgata ctctgccgcc tgcgcagtcc cccaaagaag
1200
ggcttgggct cgcccaccgt gcacaaggtc tctcgcttcc cgcttaagcg acaggtgtcc
1260
ttggaatcta actectetat gaactecaac acacceettg teeggattge eeggetgtee
1320
tcaggagaag gtcctgttct ggccaatgtt tctgaacttg agctgcctgc tgaccccaag
1380
tgggagctat ccaggacccg gctgacactt ggtaagcctc ttggagaagg ctgctttgga
caggtggtca tggcagaagc tattggcatc gacaaggacc gtactgccaa gcctgtcacc
gtggccgtga agatgctgaa agatgatgcg actgacaagg acctgtcgga cctggtatct
1560
gagatggaga tgatgaaaat gattggcaag cacaagaaca tcattaacct gctgggggcg
1620
tgcacacagg gtgggcccct gtatgtgctg gtggagtacg cagccaaggg caatctccgg
1680
gagttccttc gggcgcggcg gcctccaggc atggactact cctttgatgc ctgcaggctg
1740
ccagaggaac agetcacetg caaggateta gtgtcctgtg cetaccaggt ggcacggggc
atggaatact tggcttctca gaagtgtatt cacagagact tggctgccag aaacgtcctg
1860
gtgaccgagg acaatgtgat gaagattgcg gactttggcc tggctcgaga tgtgcacaac
1920
ctggactact acaagaagac cacaaatggc cggctacctg tgaagtggat ggcaccagag
1980
gccctttttg accgagtcta cacccaccag agtgatgttt ggtcttttgg tgtcctcctc
2040
```

```
tgggagatct ttacgctggg gggctcaccg tatcctggca tcccagtgga agagctttc 2100
aagctgttga aagagggcca ccgcatggac aagccagcca gctgcacaca tgacctgtac 2160
atgatcatgc gggaatgttg gcatgcggtg ccttcacaga ggcccacctt caagcagttg 2220
gtagaggatt tagaccgcat cctcactgtg acatcaaccg acgagtactt ggacctctcc 2280
gtgccgtttg agcagtactc gccaggtggc caggacacgc ctagctccag ctcgtccgga 2340
gatgactcgg tgttcaccca tgacctgcta ccccaggtc cacccagtaa cgggggacct 2400
cggacgtga 2409
<<210>10
<<211>802
<<212>PRT
```

5 <213> Mus musculus FGFR3IIIb

<400>10

Met Val Val Pro Ala Cys Val Leu Val Phe Cys Val Ala Val Val Ala 5 10 Gly Ala Thr Ser Glu Pro Pro Gly Pro Glu Gln Arg Val Val Arg Arg 25 Ala Ala Glu Val Pro Gly Pro Glu Pro Ser Gln Gln Glu Gln Val Ala Phe Gly Ser Gly Asp Thr Val Glu Leu Ser Cys His Pro Pro Gly Gly Ala Pro Thr Gly Pro Thr Val Trp Ala Lys Asp Gly Thr Gly Leu Val 70 75 Ala Ser His Arg Ile Leu Val Gly Pro Gln Arg Leu Gln Val Leu Asn 90 85 Ala Ser His Glu Asp Ala Gly Val Tyr Ser Cys Gln His Arg Leu Thr 105 110 Arg Arg Val Leu Cys His Phe Ser Val Arg Val Thr Asp Ala Pro Ser 120 125 115 Ser Gly Asp Asp Glu Asp Gly Glu Asp Val Ala Glu Asp Thr Gly Ala 135 140 Pro Tyr Trp Thr Arg Pro Glu Arg Met Asp Lys Lys Leu Leu Ala Val 150 155 Pro Ala Ala Asn Thr Val Arg Phe Arg Cys Pro Ala Ala Gly Asn Pro 165 170 Thr Pro Ser Ile Ser Trp Leu Lys Asn Gly Lys Glu Phe Arg Gly Glu 180 185 190 His Arg Ile Gly Gly Ile Lys Leu Arg His Gln Gln Trp Ser Leu Val 200 205 Met Glu Ser Val Val Pro Ser Asp Arg Gly Asn Tyr Thr Cys Val Val 215 220 Glu Asn Lys Phe Gly Ser Ile Arg Gln Thr Tyr Thr Leu Asp Val Leu 230 235 Glu Arg Ser Pro His Arg Pro Ile Leu Gln Ala Gly Leu Pro Ala Asn 250 245 Gln Thr Ala Ile Leu Gly Ser Asp Val Glu Phe His Cys Lys Val Tyr 265 Ser Asp Ala Gln Pro His Ile Gln Trp Leu Lys His Val Glu Val Asn

		275					280					285			
Gly	Ser 290	Lys	Val	Gly	Pro	Asp 295	Gly	Thr	Pro	Tyr	Val 300	Thr	Val	Leu	Lys
Ser 305	Trp	Ile	Ser	Glu	Asn 310	Val	Glu	Ala	Asp	Ala 315	Arg	Leu	Arg	Leu	Ala 320
Asn	Val	Ser	Glu	Arg 325	Asp	Gly	Gly	Glu	Туr 330	Leu	Cys	Arg	Ala	Thr 335	Asn
			340					345		Leu			350		
		355					360			Asp		365			
	370	_				375				Phe	380				
385					390					Arg 395					400
_		_		405					410	Ser				415	
_			420					425		Met			430		
		435				,	440			Glu		445			
	450					455				Pro	460				
465					470					Gly 475					480
				485				_	490	Asp	_			495	
_			500					505		Lys			510		
_		515					520			Glu		525			
_	530					535				Gly	540				
545					550					Ala 555					560
				565					570	Met				575	
	_		580					585		Cys			590		
_		595					600			Tyr		605			
	610					615				Val	620				
625			_		630	_		_		Ala 635					640
	_	_		645	_				650	Arg				655	
			660					665		Tyr			670		
	_	675		_			680	_		Ile		685		_	_
	690					695		,		Leu	700				
705					710					715					720
met	тте	met	Arg	GIU	Cys	Trp	HIS	АТа	val	Pro	ser	GIN	Arg	Pro	Tnr

725 730 735 Phe Lvs Gln Leu Val Glu Asp Leu Asp Arg Ile Leu Thr Val Thr Ser 745 740 Thr Asp Glu Tyr Leu Asp Leu Ser Val Pro Phe Glu Gln Tyr Ser Pro 760 765 755 Gly Gly Gln Asp Thr Pro Ser Ser Ser Ser Gly Asp Asp Ser Val 775 770 780 Phe Thr His Asp Leu Leu Pro Pro Gly Pro Pro Ser Asn Gly Gly Pro 785 790 795 ደበበ Arg Thr

<210>11

<211> 2403

<212> ADN

5 <213> Mus musculus FGFR3IIIc

```
atggtagtcc cggcctgcgt gctagtgttc tgcgtggcgg tcgtggctgg agctacttcc 60
gagcctcctg gtccagagca gcgagttgtg cggagagcgg cagaggttcc agggcctgaa 120
cctagccagc aggagcaggt ggccttcggc agtggggaca ccgtggagct gagctgccat 180
cctcctggag gtgccccac agggcccacg gtctgggcta aggatggtac aggtctggtg 240
gcctcccacc gcatcctggt ggggcctcag aggctgcaag tgctaaatgc ctcccacgaa 300
gatgcagggg tctacagctg ccagcaccgg ctcactcggc gtgtgctgtg ccacttcagt 360
gtgcgtgtaa cagatgctcc atcctcagga gatgacgaag atggggagga cgtggctgaa 420
gacacagggg ctccttattg gactcgcccg gagcgaatgg ataagaaact gctggctgtg 480
ccagccgcaa acactgtccg cttccgctgc ccagctgctg gcaaccctac cccctccatc 540
tcctggctga agaatggcaa agaattccga ggggagcatc gcattggggg catcaagctc 600
cggcaccagc agtggagctt ggtcatggaa agtgtggtac cctccgatcg tggcaactat 660
acctgtgtag ttgagaacaa gtttggcagc atccggcaga catacacact ggatgtgctg 720
gagcgctccc cacaccggcc catcctgcag gctgggctgc cggccaacca gacagccatt 780
ctaggcagtg acgtggagtt ccactgcaag gtgtacagcg atgcacagcc acacatccag 840
tggctgaagc acgtggaagt gaacggcagc aaggtgggcc ctgacggcac gccctacgtc 900
actgtactca agactgcagg cgctaacacc accgacaagg agctagaggt tctgtccttg 960
cacaatgtca cctttgagga cgcgggggag tacacctgcc tggcgggcaa ttctattggg
1020
ttttcccatc actctgcgtg gctggtggtg ctgccagctg aggaggagct gatggaaact
1080
gatgaggctg gcagcgtgta cgcaggcgtc ctcagctacg gggtggtctt cttcctcttc
1140
atcctggtgg tggcagctgt gatactctgc cgcctgcgca gtcccccaaa gaagggcttg
ggctcgccca ccgtgcacaa ggtctctcgc ttcccgctta agcgacaggt gtccttggaa
tctaactcct ctatgaactc caacacaccc cttgtccgga ttgcccggct gtcctcagga
1320
gaaggtcctg ttctggccaa tgtttctgaa cttgagctgc ctgctgaccc caagtgggag
1380
ctatccagga cccggctgac acttggtaag cctcttggag aaggctgctt tggacaggtg
1440
gtcatggcag aagctattgg catcgacaag gaccgtactg ccaagcctgt caccgtggcc
1500
gtgaagatgc tgaaagatga tgcgactgac aaggacctgt cggacctggt atctgagatg
1560
```

```
gagatgatga aaatgattqq caaqcacaaq aacatcatta acctqctqqq qqcqtqcaca
 cagggtgggc ccctgtatgt gctggtggag tacgcagcca agggcaatct ccgggagttc
 cttcgggcgc ggcggcctcc aggcatggac tactcctttg atgcctgcag gctgccagag
 gaacagetea cetgeaagga tetagtgtee tgtgeetace aggtggeaeg gggeatggaa
 1800
 tacttggctt ctcagaagtg tattcacaga gacttggctg ccagaaacgt cctggtgacc
 1860
 gaggacaatg tgatgaagat tgcggacttt ggcctggctc gagatgtgca caacctggac
 1920
 tactacaaga agaccacaaa tggccggcta cctgtgaagt ggatggcacc agaggccctt
 1980
 tttgaccgag tctacaccca ccagagtgat gtttggtctt ttggtgtcct cctctgggag
 2040
 atctttacgc tggggggctc accgtatcct ggcatcccag tggaagagct tttcaagctq
 2100
 ttgaaagagg gccaccgcat ggacaagcca gccagctgca cacatgacct gtacatgatc
 atgcgggaat gttggcatgc ggtgccttca cagaggccca ccttcaagca gttggtaqaq
 gatttagacc gcatcctcac tgtgacatca accgacgagt acttgqacct ctccqtqccq
 2280
 tttgagcagt actcgccagg tggccaggac acgcctagct ccagctcgtc cggagatgac
 teggtgttea cecatgacet getacececa ggtecaceca gtaacggggg aceteggacg
 2400
 tga
 2403
<210>12
<211> 800
<212> PRT
<213> Mus musculus FGFR3IIIc
<400> 12
 Met Val Val Pro Ala Cys Val Leu Val Phe Cys Val Ala Val Val Ala
 Gly Ala Thr Ser Glu Pro Pro Gly Pro Glu Gln Arg Val Val Arg Arg
                                 25
 Ala Ala Glu Val Pro Gly Pro Glu Pro Ser Gln Glu Gln Val Ala
```

40 Phe Gly Ser Gly Asp Thr Val Glu Leu Ser Cys His Pro Pro Gly Gly 55 ഒറ Ala Pro Thr Gly Pro Thr Val Trp Ala Lys Asp Gly Thr Gly Leu Val Ala Ser His Arg Ile Leu Val Gly Pro Gln Arg Leu Gln Val Leu Asn Ala Ser His Glu Asp Ala Gly Val Tyr Ser Cys Gln His Arg Leu Thr 105 Arg Arg Val Leu Cys His Phe Ser Val Arg Val Thr Asp Ala Pro Ser 115 120 125 Ser Gly Asp Asp Glu Asp Gly Glu Asp Val Ala Glu Asp Thr Gly Ala 135 140 Pro Tyr Trp Thr Arg Pro Glu Arg Met Asp Lys Lys Leu Leu Ala Val

5

145					150					155					160
	Ala	Ala	Asn	Thr 165	Val	Arg	Phe	Arg	Cys 170		Ala	Ala	Gly	Asn 175	
Thr	Pro	Ser	Ile 180		Trp	Leu	Lys	Asn 185	-	Lys	Glu	Phe	Arg 190		Glu
His	Arg	Ile 195	Gly	Gly	Ile	Lys	Leu 200	Arg	His	Gln	Gln	Trp 205	Ser	Leu	Val
	210				Pro	215					220				
225		_			Ser 230					235			_		240
				245	Arg				250					255	
			260		Gly			265					270		
		275			His		280					285			
	290				Pro	295					300				
305					Thr 310					315					320
				325	Glu				330					335	
			340		Ser			345					350		
		355		•	Met		360	_	•			365		_	
	370				Gly	375					380				
385					Cys 390					395					400
				405	His				410					415	
			420		Asn			425					430		
		435			Ser		440					445			
	450				Pro	455					460				
465					Lys 470					475					480
				485	Ile				490					495	
			500		Lys			505					510		
		515			Ser		520					525			
	530				Asn	535					540				
Leu 545	Tyr	Val	Leu	Val	Glu 550	Tyr	Ala	Ala	Lys	Gly 555	Asn	Leu	Arg	Glu	Phe 560
				565	Pro		_		570					575	
			580		Gln			585					590		
Tyr	Gln	Val	Ala	Arg	Gly	Met	Glu	Tyr	Leu	Ala	Ser	Gln	Lys	Суѕ	Ile

```
600
        595
His Arg Asp Leu Ala Ala Arg Asn Val Leu Val Thr Glu Asp Asn Val
    610
                         615
                                              620
Met Lys Ile Ala Asp Phe Gly Leu Ala Arg Asp Val His Asn Leu Asp
                                         635
                     630
                                                              640
Tyr Tyr Lys Lys Thr Thr Asn Gly Arg Leu Pro Val Lys Trp Met Ala
                 645
                                     650
Pro Glu Ala Leu Phe Asp Arg Val Tyr Thr His Gln Ser Asp Val Trp
                                 665
                                                      670
            660
Ser Phe Gly Val Leu Leu Trp Glu Ile Phe Thr Leu Gly Gly Ser Pro
        675
                             680
                                                  685
Tyr Pro Gly Ile Pro Val Glu Glu Leu Phe Lys Leu Leu Lys Glu Gly
                         695
                                             700
His Arg Met Asp Lys Pro Ala Ser Cys Thr His Asp Leu Tyr Met Ile
                    710
                                         715
                                                              720
Met Arg Glu Cys Trp His Ala Val Pro Ser Gln Arg Pro Thr Phe Lys
                725
                                     730
                                                          735
Gln Leu Val Glu Asp Leu Asp Arg Ile Leu Thr Val Thr Ser Thr Asp
            740
                                 745
                                                      750
Glu Tyr Leu Asp Leu Ser Val Pro Phe Glu Gln Tyr Ser Pro Gly Gly
        755
                             760
                                                  765
Gln Asp Thr Pro Ser Ser Ser Ser Gly Asp Asp Ser Val Phe Thr
                         775
                                             780
His Asp Leu Leu Pro Pro Gly Pro Pro Ser Asn Gly Gly Pro Arg Thr
785
                    790
                                         795
                                                              800
```

<210>13

<211> 2349

<212> ADN

5 <213> Mus musculus FGFR3III-delAcid

```
atggtagtcc cggcctgcgt gctagtgttc tgcgtggcgg tcgtggctgg agctacttcc 60
gagcctcctg gtccagagca gcgagttgtg cggagagcgg cagaggttcc agggcctgaa 120
cctagccagc aggagcaggt ggccttcggc agtggggaca ccgtggagct gagctgccat 180
cctcctggag gtgcccccac agggcccacg gtctgggcta aggatggtac aggtctggtg 240
gcctcccacc gcatcctggt ggggcctcag aggctgcaag tgctaaatgc ctcccacgaa 300
gatgcagggg tctacagctg ccagcaccgg ctcactcggc gtgtgctgtg ccacttcagt 360
gtgcgtgtaa caggggctcc ttattggact cgcccggagc gaatggataa gaaactgctg 420
gctgtgccag ccgcaaacac tgtccgcttc cgctgcccag ctgctggcaa ccctaccccc 480
tccatctcct ggctgaagaa tggcaaagaa ttccgagggg agcatcgcat tgggggcatc 540
aageteegge accageagtg gagettggte atggaaagtg tggtaceete egategtgge 600
aactatacct gtgtagttga gaacaagttt ggcagcatcc ggcagacata cacactggat 660
gtgctggagc gctccccaca ccggcccatc ctgcaggctg ggctgccggc caaccagaca 720
gccattctag gcagtgacgt ggagttccac tgcaaggtgt acagcgatgc acagccacac 780
atccagtggc tgaagcacgt ggaagtgaac ggcagcaagg tgggccctga cggcacgccc 840
tacgtcactg tactcaagac tgcaggcgct aacaccaccg acaaggagct agaggttctg 900
teettgeaca atgteacett tgaggaegeg ggggagtaca eetgeetgge gggeaattet 960
attgggtttt cccatcactc tgcgtggctg gtggtgctgc cagctgagga ggagctgatg
gaaactgatg aggctggcag cgtgtacgca ggcgtcctca gctacggggt ggtcttcttc
1080
etetteatee tggtggtgge agetgtgata etetgeegee tgegeagtee eecaaagaag
1140
```

```
ggcttgggct cgcccaccgt gcacaaggtc tctcgcttcc cqcttaaqcq acaggtgtcc
1200
ttggaatcta actcctctat gaactccaac acaccccttg tccggattgc ccggctgtcc
1260
tcaggagaag gtcctgttct ggccaatgtt tctgaacttg agctgcctgc tgaccccaag
1320
tgggagctat ccaggacccg gctgacactt ggtaagcctc ttggagaagg ctgctttgga
1380
caggtggtca tggcagaagc tattggcatc gacaaggacc gtactgccaa qcctqtcacc
1440
gtggccgtga agatgctgaa agatgatgcg actgacaagg acctgtcgga cctggtatct
1500
gagatggaga tgatgaaaat gattggcaag cacaagaaca tcattaacct gctgggggcg
1560
tgcacacagg gtgggcccct gtatgtgctg gtggagtacg cagccaaggg caatctccgg
qaqttccttc qqqcqcqqcq qcctccaqqc atqqactact cctttqatqc ctqcaqqctq
ccagaggaac agctcacctg caaggatcta gtgtcctgtg cctaccaggt ggcacggggc
1740
atggaatact tggcttctca gaagtgtatt cacagagact tggctgccag aaacgtcctg
gtgaccgagg acaatgtgat gaagattgcg gactttggcc tqqctcqaga tgtgcacaac
ctggactact acaagaagac cacaaatggc cggctacctg tgaagtggat ggcaccagag
gccctttttg accgagtcta cacccaccag agtgatgttt ggtcttttgg tgtcctcctc
1980
tgggagatet ttacgetggg gggeteaceg tateetggea teceagtgga agagetttte
2040
aagctgttga aagagggcca ccgcatggac aagccagcca gctgcacaca tgacctgtac
2100
atgatcatgc gggaatgttg gcatgcggtg ccttcacaga ggcccacctt caagcagttg
gtagaggatt tagaccgcat cctcactgtg acatcaaccg acgagtactt qqacctctcc
2220
gtgccgtttg agcagtactc gccaggtggc caggacacgc ctagctccag ctcgtccqqa
2280
gatgactcgg tgttcaccca tgacctgcta cccccaggtc cacccagtaa cgggggacct
2340
cggacgtga
2349
<210>14
<211> 782
<212> PRT
<213> Mus musculus FGFR3III-delAcid
<400> 14
Met Val Val Pro Ala Cys Val Leu Val Phe Cys Val Ala Val Val Ala
                                     10
Gly Ala Thr Ser Glu Pro Pro Gly Pro Glu Gln Arg Val Val Arg Arg
                                 25
Ala Ala Glu Val Pro Gly Pro Glu Pro Ser Gln Glu Gln Val Ala
Phe Gly Ser Gly Asp Thr Val Glu Leu Ser Cys His Pro Pro Gly Gly
```

5

	50					55					60				
Ala 65	Pro	Thr	Gly	Pro	Thr 70	Va1	Trp	Ala	Lys	Asp 75	Gly	Thr	Gly	Leu	Val 80
Ala	Ser	His	Arg	Ile 85	Leu	Val	Gly	Pro	Gln 90	Arg	Leu	Gln	Val	Leu 95	Asn
Ala	Ser	His	Glu 100	Asp	Ala	Gly	Val	Туr 105	Ser	Суѕ	Gln	His	Arg 110	Leu	Thr
Arg	Arg	Val 115	Leu	Суѕ	His	Phe	Ser 120	Val	Arg	Val	Thr	Gly 125	Ala	Pro	Tyr
	130				Arg	135					140				
145					Phe 150					155					160
		•		165	Lys				170					175	
			180		Leu			185					190		
		195			Asp		200					205			
	210				Arg	215					220				
225					11e 230					235					240
				245	Asp				250					255	
			260		Gln			265					270		,
		275			Gly		280					285			
_	290				Asp	295				-	300				
305					Ala 310					315					320
				325	His			_	330					335	
			340		Thr			345					350		
		355			Val		360					365			
	370			_		375					380				
385					Val 390					395					400
				405	Ser				410					415	
			420					425					430		Glu
		435			Asp		440					445			
	450				Leu	455					460				
465				_	11e 470					475					480
				485	Leu				490					495	
Asp	Leu	Val	Ser	Glu	Met	Glu	Met	Met	Lys	Met	Ile	Gly	Lys	His	Lys

```
505
             500
Asn Ile Ile Asn Leu Leu Gly Ala Cys Thr Gln Gly Gly Pro Leu Tyr
                             520
                                                 525
Val Leu Val Glu Tyr Ala Ala Lys Gly Asn Leu Arg Glu Phe Leu Arg
                         535
                                             540
Ala Arg Arg Pro Pro Gly Met Asp Tyr Ser Phe Asp Ala Cys Arg Leu
                     550
                                         555
Pro Glu Glu Gln Leu Thr Cys Lys Asp Leu Val Ser Cys Ala Tyr Gln
                                     570
Val Ala Arg Gly Met Glu Tyr Leu Ala Ser Gln Lys Cys Ile His Arg
                                 585
Asp Leu Ala Ala Arg Asn Val Leu Val Thr Glu Asp Asn Val Met Lys
        595
                             600
                                                 605
Ile Ala Asp Phe Gly Leu Ala Arg Asp Val His Asn Leu Asp Tyr Tyr
                         615
                                             620
Lys Lys Thr Thr Asn Gly Arg Leu Pro Val Lys Trp Met Ala Pro Glu
                    630
                                         635
Ala Leu Phe Asp Arg Val Tyr Thr His Gln Ser Asp Val Trp Ser Phe
                                     650
                645
Gly Val Leu Leu Trp Glu Ile Phe Thr Leu Gly Gly Ser Pro Tyr Pro
            660
                                 665
                                                     670
Gly Ile Pro Val Glu Glu Leu Phe Lys Leu Leu Lys Glu Gly His Arg
        675
                             680
                                                 685
Met Asp Lys Pro Ala Ser Cys Thr His Asp Leu Tyr Met Ile Met Arg
                         695
                                             700
Glu Cys Trp His Ala Val Pro Ser Gln Arg Pro Thr Phe Lys Gln Leu
                     710
                                         715
Val Glu Asp Leu Asp Arg Ile Leu Thr Val Thr Ser Thr Asp Glu Tyr
                725
                                     730
Leu Asp Leu Ser Val Pro Phe Glu Gln Tyr Ser Pro Gly Gly Gln Asp
            740
                                 745
                                                     750
Thr Pro Ser Ser Ser Ser Gly Asp Asp Ser Val Phe Thr His Asp
                             760
Leu Leu Pro Pro Gly Pro Pro Ser Asn Gly Gly Pro Arg Thr
                         775
                                             780
<210>15
<211> 2409
```

<212> ADN

5 <213> Rattus norvegicus FGFR3IIIb

```
atggtagtcc cggcctgcgt gctagtgttc tgcgtggcgg tcgtggctgg agttacttcc 60 gagcctcccg gtccagagca gcgagttggt cggagagcgg cagaggttcc agggcctgaa 120 cctagccagc aggagcaggt ggccttcggc agtggggaca ctgtggagct gagctgccat 180 ccgcctggag gtgccccac aggccccact ctctgggcta aggacggtgt ggggctggtg 240 gctcccacc gtatcctggt ggggcctcag aggcttcaag tgctaaacgc cacccatgag 300 gatgctgggg tctacagctg ccagcagcgg ctaacccggc gtgtgctgtg ccactttagt 360 gtgcgtgtaa cagatgctcc gtcctcagga gatgacgaag atggggagga cgtggctgaa 420 gacacagggg ctccttactg gactcgaccg gagcgtatgg ataagaaact gctggctgta 480 ccagctgcaa acactgtacg cttccgctgc ccagctgctg gcaaccccac cccctccatc 540 ccctggctga agaacggcaa agaattccga ggggagcacc gcattggggg cattaagctc 600 cggcaccagc agtggagctt ggtcatggaa agtgtggtgc cctctgaccg ggatgtgctg 720 gagcgctccc cacaccggcc catcctgcag gctgggctgc cagccaacca gacagccgtt 780
```

```
ctgggcagtg acgtggagtt ccactgcaag gtgtacagcg acgcacagcc acacatccag 840
tggctgaagc acgtggaggt gaatgggagc aaggtgggcc ctgacggcac gccctacgtc 900
actiquactica agreetigat cagtiquaquat griggaggeag acquaegeet ecquetiggec 960
aatqtqtcqq aqcqqqacqq gggcqaqtac ctctqtcqaq ccaccaattt cataggcqtq
gccgagaagg ccttttggct tcgtgttcac gggccccaag cagccgagga ggagctgatg
1080
gaagttgacg aggctggcag cgtgtacgcg ggtgtcctca gctacggggt gggcttcttc
1140
ctcttcatcc tggtggtggc ggcagtgacg ctctgccgtc tgcgcagtcc cccaaagaag
1200
ggcctgggct cgcccaccgt gcacaaggtc tctcgcttcc cgcttaagcg acaggtgtcc
1260
ttggagtcta attcctctat gaactccaac acacctctcg tccggattgc ccggctgtcc
1320
tcaggagaag gtcctgtcct ggccaatgtt tctgaacttg agctgcctgc tgaccccaag
1380
tgggagctat ccaggacccg gctgacactc ggtaagcctc ttggagaagg ctgctttgga
1440
caggttgtca tggcagaagc tattggcatc gacaaggacc gcactgccaa gcctgtcacc
gtggccgtga agatgctgaa agatgatgcg actgacaagg acctgtcgga cctggtgtct
gagatggaga tgatgaaaat gattggcaag cacaagaaca tcattaacct gttgggggcc
1620
tgcacccagg gtgggcccct gtatgtgctg gtggagtatg cagccaaggg caacctgcga
gagtteetee gggeaeggeg geeteeagge atggattaet cetttgatge etgeaggetg
1740
ccagaggaac agctcacctg caaggatctg gtgtcctgtg cctaccaggt ggcacggggc
atggagtact tggcttccca gaagtgtatt cacagagacc tggctgccag aaacgtgctg
1860
gtgactgagg acaatgtgat gaagattgca gactttggcc tggcccgaga tgtgcacaac
1920
ctggattact acaagaagac cacaaatggc cggctacctg tgaagtggat ggcaccagag
gecetttttg accgagteta cacccateaq agtgatgtet ggteetttgg tgteeteete
tgggagatet ttacactggg tgggtcacca tateetggca teccagtgga agagetttte
2100
aagctgttga aagagggcca ccgcatggac aagccagcca actgcacaca tgacctgtac
2160
atgatcatgc gggaatgttg gcatgcagtg ccttcacaga ggcccacctt caagcagttg
2220
gtagaggatt tagaccgcat cctcacggtg acatcaactg acgagtactt ggacctctcg
2280
gtgccatttg aacagtactc gccaggtggc caagatactc ctagctccag ctcgtccggg
2340
gacgactctg tgttcaccca tqacctqcta cccccaqqcc cacccagcaa tgggggacct
2400
cggacgtga
2409
<210>16
<211> 802
<212> PRT
<213> Rattus norvegicus FGFR3IIIb
```

5

```
Met Val Val Pro Ala Cys Val Leu Val Phe Cys Val Ala Val Val Ala
                                   10
Gly Val Thr Ser Glu Pro Pro Gly Pro Glu Gln Arg Val Gly Arg Arg
           20
                               25
Ala Ala Glu Val Pro Gly Pro Glu Pro Ser Gln Glu Glu Gln Val Ala
                           40
Phe Gly Ser Gly Asp Thr Val Glu Leu Ser Cys His Pro Pro Gly Gly
Ala Pro Thr Gly Pro Thr Leu Trp Ala Lys Asp Gly Val Gly Leu Val
Ala Ser His Arg Ile Leu Val Gly Pro Gln Arg Leu Gln Val Leu Asn
               85
                                   90
Ala Thr His Glu Asp Ala Gly Val Tyr Ser Cys Gln Gln Arg Leu Thr
                              105
Arg Arg Val Leu Cys His Phe Ser Val Arg Val Thr Asp Ala Pro Ser
                           120
Ser Gly Asp Asp Glu Asp Gly Glu Asp Val Ala Glu Asp Thr Gly Ala
                     135
                                          140
Pro Tyr Trp Thr Arg Pro Glu Arg Met Asp Lys Lys Leu Leu Ala Val
                  150
                                     155
Pro Ala Ala Asn Thr Val Arg Phe Arg Cys Pro Ala Ala Gly Asn Pro
                                  170
              165
Thr Pro Ser Ile Pro Trp Leu Lys Asn Gly Lys Glu Phe Arg Gly Glu
                                                  190
                               185
His Arg Ile Gly Gly Ile Lys Leu Arg His Gln Gln Trp Ser Leu Val
                           200
                                               205
Met Glu Ser Val Val Pro Ser Asp Arg Gly Asn Tyr Thr Cys Val Val
                                           220
                       215
Glu Asn Lys Phe Gly Ser Ile Arg Gln Thr Tyr Thr Leu Asp Val Leu
                   230
                                       235
Glu Arg Ser Pro His Arg Pro Ile Leu Gln Ala Gly Leu Pro Ala Asn
               245
                                   250
Gln Thr Ala Val Leu Gly Ser Asp Val Glu Phe His Cys Lys Val Tyr
                               265
        260
Ser Asp Ala Gln Pro His Ile Gln Trp Leu Lys His Val Glu Val Asn
                           280
Gly Ser Lys Val Gly Pro Asp Gly Thr Pro Tyr Val Thr Val Leu Lys
                       295
                                           300
Ser Trp Ile Ser Glu Asn Val Glu Ala Asp Ala Arg Leu Arg Leu Ala
                   310
                                      315
Asn Val Ser Glu Arg Asp Gly Gly Glu Tyr Leu Cys Arg Ala Thr Asn
               325
                                   330
Phe Ile Gly Val Ala Glu Lys Ala Phe Trp Leu Arg Val His Gly Pro
           340
                               345
Gln Ala Ala Glu Glu Leu Met Glu Val Asp Glu Ala Gly Ser Val
                           360
Tyr Ala Gly Val Leu Ser Tyr Gly Val Gly Phe Phe Leu Phe Ile Leu
                                           380
                       375
Val Val Ala Ala Val Thr Leu Cys Arg Leu Arg Ser Pro Pro Lys Lys
                   390
                                    395
Gly Leu Gly Ser Pro Thr Val His Lys Val Ser Arg Phe Pro Leu Lys
           405
                                  410
```

```
Arg Gln Val Ser Leu Glu Ser Asn Ser Ser Met Asn Ser Asn Thr Pro
            420
                               425
Leu Val Arg Ile Ala Arg Leu Ser Ser Gly Glu Gly Pro Val Leu Ala
        435
                            440
                                                445
Asn Val Ser Glu Leu Glu Leu Pro Ala Asp Pro Lys Trp Glu Leu Ser
                        455
                                           460
Arg Thr Arg Leu Thr Leu Gly Lys Pro Leu Gly Glu Gly Cys Phe Gly
                   470
                                       475
Gln Val Val Met Ala Glu Ala Ile Gly Ile Asp Lys Asp Arg Thr Ala
                485
                                   490
Lys Pro Val Thr Val Ala Val Lys Met Leu Lys Asp Asp Ala Thr Asp
                               505
Lys Asp Leu Ser Asp Leu Val Ser Glu Met Glu Met Lys Met Ile
                           520
                                               525
Gly Lys His Lys Asn Ile Ile Asn Leu Leu Gly Ala Cys Thr Gln Gly
    530
                       535
                                           540
Gly Pro Leu Tyr Val Leu Val Glu Tyr Ala Ala Lys Gly Asn Leu Arg
                   550
                                       555
Glu Phe Leu Arg Ala Arg Pro Pro Gly Met Asp Tyr Ser Phe Asp
               565
                                   570
Ala Cys Arg Leu Pro Glu Glu Gln Leu Thr Cys Lys Asp Leu Val Ser
           580
                               585
                                                   590
Cys Ala Tyr Gln Val Ala Arg Gly Met Glu Tyr Leu Ala Ser Gln Lys
       595
                           600
                                               605
Cys Ile His Arg Asp Leu Ala Ala Arg Asn Val Leu Val Thr Glu Asp
                       615
                                           620
Asn Val Met Lys Ile Ala Asp Phe Gly Leu Ala Arg Asp Val His Asn
                   630
                                       635
Leu Asp Tyr Tyr Lys Lys Thr Thr Asn Gly Arg Leu Pro Val Lys Trp
               645
                                   650
Met Ala Pro Glu Ala Leu Phe Asp Arg Val Tyr Thr His Gln Ser Asp
                               665
Val Trp Ser Phe Gly Val Leu Leu Trp Glu Ile Phe Thr Leu Gly Gly
       675
                           680
                                               685
Ser Pro Tyr Pro Gly Ile Pro Val Glu Glu Leu Phe Lys Leu Lys
                       695
                                           700
Glu Gly His Arg Met Asp Lys Pro Ala Asn Cys Thr His Asp Leu Tyr
                   710
                                       715
Met Ile Met Arg Glu Cys Trp His Ala Val Pro Ser Gln Arg Pro Thr
               725
                                   730
Phe Lys Gln Leu Val Glu Asp Leu Asp Arg Ile Leu Thr Val Thr Ser
           740
                               745
Thr Asp Glu Tyr Leu Asp Leu Ser Val Pro Phe Glu Gln Tyr Ser Pro
       755
                           760
                                               765
Gly Gly Gln Asp Thr Pro Ser Ser Ser Ser Gly Asp Asp Ser Val
                       775
                                780
Phe Thr His Asp Leu Leu Pro Pro Gly Pro Pro Ser Asn Gly Gly Pro
                                    795
Arg Thr
<210>17
<211>2403
<212> ADN
```

<213> Rattus norvegicus FGFR3IIIc

<400>17

```
atggtagtee eggeetgegt getagtgtte tgegtggegg tegtggetgg agttacttee 60
gagcctcccg gtccagagca gcgagttggt cggagagcgg cagaggttcc agggcctgaa 120
cctagccagc aggagcaggt ggccttcggc agtggggaca ctgtggagct gagctgccat 180
ccgcctggag gtgccccac aggccccact ctctgggcta aggacggtgt ggggctggtg 240
gcctcccacc gtatcctggt ggggcctcag aggcttcaag tgctaaacgc cacccatgag 300
gatgctgggg tctacagctg ccagcagcgg ctaacccggc gtgtgctgtg ccactttagt 360
gtgcgtgtaa cagatgctcc gtcctcagga gatgacgaag atggggagga cgtggctgaa 420
gacacagggg ctccttactg gactcgaccg gagcgtatgg ataagaaact gctggctgtg 480
ccagetgcaa acactgtacg cttccgctgc ccagetgctg gcaaccccac cccetccatc 540
ccctggctga agaacggcaa agaattccga ggggagcacc gcattggggg cattaagctc 600
cggcaccage agtggagett ggtcatggaa agtgtggtge cetetgaceg eggcaattae 660
acctgcgtgg ttgagaacaa gtttggcagc atccggcaga cgtacaccct ggatgtgctg 720
gagcgctccc cacaccggcc catcctgcag gctgggctgc cagccaacca gacagccgtt 780
ctgggcagtg acgtggagtt ccactgcaag gtgtacagcg acgcacagcc acacatccag 840
tggctgaagc acgtggaggt gaatgggagc aaggtgggcc ctgacggcac gccctacgtc 900
actgtactca agactgcagg agctaacacc accgacaggg agctagaggt tctgtccttg 960
cacaatgtca cctttgagga tgcgggggag tacacctgcc tggcgggcaa ttctatcggg
ttttcccatc actctgcqtq gctqqtqqtq ctqccagccq aqqaqqaqct gatqqaagtt
1080
gacgaggetg gcagcgtgta cgcgggtgtc ctcagctacg gggtgggctt cttcctcttc
1140
atcctggtgg tggcggcagt gacgctctgc cgtctgcgca gtcccccaaa gaagggcctg
ggctcgccca ccgtgcacaa ggtctctcgc ttcccgctta agcgacaggt gtccttggag
tctaattcct ctatqaactc caacacacct ctcqtccqqa ttqcccqqct qtcctcaqqa
qaaqqtcctq tcctqqccaa tqtttctqaa cttqaqctqc ctqctqaccc caaqtqqqaq
ctatccagga cccggctgac actcggtaag cctcttggag aaggctgctt tggacaggtt
1440
gtcatggcag aagctattgg catcgacaag gaccgcactg ccaagcctgt caccgtggcc
gtgaagatgc tgaaagatga tgcgactgac aaggacctgt cggacctggt gtctgagatg
gagatgatga aaatgattgg caagcacaag aacatcatta acctgttggg ggcctgcacc
cagggtgggc ccctqtatqt gctgqtqqag tatgcagcca agggcaacct gcgaqagttc
1680
ctccgggcac ggcggcctcc aggcatggat tactcctttg atgcctgcag gctgccagag
1740
gaacagetea cetgeaagga tetggtgtee tgtgcetace aggtggcaeg gggcatggag
1800
tacttggctt cccagaagtg tattcacaga gacctggctg ccagaaacgt gctggtgact
1860
gaggacaatg tgatgaagat tgcagacttt ggcctggccc gagatgtgca caacctggat
1920
tactacaaga agaccacaaa tggccggcta cctgtgaagt ggatggcacc agaggccctt
1980
tttgaccgag tctacaccca tcagagtgat gtctggtcct ttggtgtcct cctctgggag
2040
atctttacac tgggtgggtc accatatect ggcateceag tggaagaget ttteaagetg
2100
```

```
ttgaaagagg gccaccgcat ggacaagcca gccaactgca cacatgacct gtacatgatc 2160
atgcgggaat gttggcatgc agtgccttca cagaggccca ccttcaagca gttggtagag 2220
gatttagacc gcatcctcac ggtgacatca actgacgagt acttggacct ctcggtgcca 2280
tttgaacagt actcgccagg tggccaagat actcctagct ccagctcgtc cggggacgac 2340
tctgtgttca cccatgacct gctacccca ggcccaccca gcaatggggg acctcggacg 2400
tga 2403
<<10>18</1>
</1>
```

5 <213> Rattus norvegicus FGFR3IIIc

<400>18

Met Val Val Pro Ala Cys Val Leu Val Phe Cys Val Ala Val Val Ala Gly Val Thr Ser Glu Pro Pro Gly Pro Glu Gln Arg Val Gly Arg Arg Ala Ala Glu Val Pro Gly Pro Glu Pro Ser Gln Gln Glu Gln Val Ala Phe Gly Ser Gly Asp Thr Val Glu Leu Ser Cys His Pro Pro Gly Gly Ala Pro Thr Gly Pro Thr Leu Trp Ala Lys Asp Gly Val Gly Leu Val Ala Ser His Arg Ile Leu Val Gly Pro Gln Arg Leu Gln Val Leu Asn Ala Thr His Glu Asp Ala Gly Val Tyr Ser Cys Gln Gln Arg Leu Thr Arg Arg Val Leu Cys His Phe Ser Val Arg Val Thr Asp Ala Pro Ser Ser Gly Asp Asp Glu Asp Gly Glu Asp Val Ala Glu Asp Thr Gly Ala Pro Tyr Trp Thr Arg Pro Glu Arg Met Asp Lys Lys Leu Leu Ala Val Pro Ala Ala Asn Thr Val Arg Phe Arg Cys Pro Ala Ala Gly Asn Pro Thr Pro Ser Ile Pro Trp Leu Lys Asn Gly Lys Glu Phe Arg Gly Glu His Arg Ile Gly Gly Ile Lys Leu Arg His Gln Gln Trp Ser Leu Val Met Glu Ser Val Val Pro Ser Asp Arg Gly Asn Tyr Thr Cys Val Val Glu Asn Lys Phe Gly Ser Ile Arg Gln Thr Tyr Thr Leu Asp Val Leu Glu Arg Ser Pro His Arg Pro Ile Leu Gln Ala Gly Leu Pro Ala Asn Gln Thr Ala Val Leu Gly Ser Asp Val Glu Phe His Cys Lys Val Tyr Ser Asp Ala Gln Pro His Ile Gln Trp Leu Lys His Val Glu Val Asn Gly Ser Lys Val Gly Pro Asp Gly Thr Pro Tyr Val Thr Val Leu Lys

	290					295					300				
305					310					315					Leu 320
His	Asn	Val	Thr	Phe 325	Glu	Asp	Ala	Gly	Glu 330	Tyr	Thr	Суѕ	Leu	Ala 335	Gly
			340		Ser			345					350		
		355			Met		360					365		-	
	370				Gly	375					380				
385		•			Cys 390					395		_	_	-	400
				405	His				410					415	
			420		Asn			425					430		
		435			Ser		440		_			445			
	450				Pro	455	_		_		460				
465					Lys 470			-		475					480
				485	Ile	_		_	490	_				495	
			500		Lys			505	_				510		
		515			Ser		520					525		_	_
	530				Asn	535					540				
545	•				Glu 550					555					560
				565	Pro				570					575	
			580		Gln			585					590		
		595			Gly		600					605			
	610	_			Ala	615					620				
625					Phe 630					635					640
_				645	Thr				650					655	
			660		Asp			665					670		
		675			Leu		680					685			
	690				Val	695					700				
705					Pro 710					715					720
				725	His				730					735	
GIN	ьeu	val	GIU	Asp	Leu	Asp	Arg	тте	Leu	Tnr	vaı	Thr	ser	mr	Asp

```
745
             740
                                                     750
Glu Tyr Leu Asp Leu Ser Val Pro Phe Glu Gln Tyr Ser Pro Gly Gly
                                                 765
        755
                             760
Gln Asp Thr Pro Ser Ser Ser Ser Gly Asp Asp Ser Val Phe Thr
    770
                         775
                                             780
His Asp Leu Pro Pro Gly Pro Pro Ser Asn Gly Gly Pro Arg Thr
785
                     790 -
                                         795
                                                             800
<210>19
<211> 2421
<212> ADN
<213> Gallus gallus FGFR3
<400>19
atgcgggcgg cctggggctc cgtctggtgc ctgtgcctgg cggcggccgt cggagcqctg 60
ccggcggcgc gccggcgcgg agcggagcgg agcggcggcc aggcggcaga atacttgagg 120
agcgagaccg cctttctgga agagttggtg tttggaagtg gagataccat tgaactttcc 180
tgtaacaccc agagetette tgtgteagtt ttetggttta aagatggtat tgggattgca 240
ccttccaaca gaactcatat tggacaaaaa ctgttgaaga taatcaatgt gtcatatgac 300
gattcggggc tgtacagttg caagccaagg cattccaacg aggtcctggg aaactttaca 360
gtcagagtga cagattcccc ttcgtcaggt gatgatgaag atgatgacga tgagtcagag 420
gatacaggtg tccccttctg gacccggcca gataagatgg agaagaagct gctggcagtt 480
cctgccgcca acaccgttcg cttccgatgt ccagcaggtg gaaacccaac tcccaccatt 540
tactggctga agaatggcaa agaattcaag ggagagcaca ggatcggggg catcaagttg 600
cgacaccagc agtggagctt ggtgatggag agcgttgtgc cgtcagatcg aggaaactac 660
acctgtgttg tggagaacaa atatggcaat attaggcaca cataccagct tgatgtttta 720
gaacggtcac cccaccgacc aatcctgcaa gcaggactcc ctgccaatca gactgtggtg 780
gtcgggagca atgtggaatt tcactgcaag gtctacagcg atgcccagcc tcatatccag 840
tggctgaaac acgtagaagt caacggcagc aagtatggac ctgatgggac accctatgtc 900
acagtgctga agacggcagg tgttaacaca acggataagg agctagagat tctgtacttg 960
cqaaatgtta cttttgagga tgctggggaa tatacttgtc tcgcagggaa ttctattggg
1020
ttctcacatc actctgcttg gctgacggtg ctaccagcag aggagctgat ggaaatggat
1080
gatteggget cagtgtaege tggeattete agetatggea etggettagt cetetteate
1140
ctggtgctgg tcattgtgat tatctgcagg atgaaaatgc caaacaaaaa ggccatgaac
accaccactg tacagaaagt ctccaaattt ccactcaaga gacagcaggt gtcgttggag
tocaactett coatgaatte caacacace etggteegga teactegtet etecteeage
gatgggccga tgctggccaa cgtctctgag ctggaacttc ctccagatcc caagtgggaa
ttggcacgtt ctcgcctgac cctggggaag ccgcttggtg agggctgttt tggccaagtg
gtgatggcgg aagcaattgg gattgataaa gacaagccaa acaaggccat caccgtggct
```

5

1620

1680

gtcaagatgt taaaagatga tgccacagac aaggaccttt cagacctggt ctctgagatg

gaaatgatga aaatgattgg gaagcacaaa aacatcatta acctgctcgg tgcttgcacg

caggacggac cgctctacgt gttggttgaa tatgcatcga aggggaactt gcgggaatac

```
ctcaqggcac gtcgcccacc tggcatggac tattccttcg acacctgcaa gctgcccgag
qaqcaqttqa catttaaaqa cctggtttcc tgcqcctacc aggtggcccg gggcatggag
1800
tacttggcgt cacagaaatg cattcatcgt gacttggcag ccaggaatgt gttagtcact
1860
qaqqacaatq tqatqaaaat aqctgatttt ggccttgcta gagacgttca caacatcgac
1920
tattacaaga aaaccaccaa tggtcggctg cctqtgaaat ggatggctcc agaagcattg
1980
tttgaccggg tctatactca ccagagcgat gtctggtctt ttggagtgct actatgggag
2040
atcttcactt tgggagggtc tccgtacccg ggaattcctg ttgaagaact cttcaaactc
ttgaaagaag gccatcggat ggataaaccc gccaactgta cccacgacct gtacatgatc
atgcgggagt gctggcacgc tgtcccctcg cagcgaccca cattcaagca gctggtggaa
gacctggaca gagtcctcac catgacatcc actgatgagt acctggacct ctcggtgccc
2280
tttgagcaat actcacccgc tggccaggac acccacagca cctgctcctc aggggacgac
teggtttttg cacatgacet getgeetgat gageeetgee tgeecaagea egtgeeetgt
2400
aatggcgtca tccgcacgtg a
2421
<210>20
<211> 806
```

5 <213> Gallus gallus FGFR3

<400> 20

<212> PRT

Met Arg Ala Ala Trp Gly Ser Val Trp Cys Leu Cys Leu Ala Ala Ala 10 Val Gly Ala Leu Pro Ala Ala Arg Arg Arg Gly Ala Glu Arg Ser Gly 25 Gly Gln Ala Ala Glu Tyr Leu Arg Ser Glu Thr Ala Phe Leu Glu Glu 40 Leu Val Phe Gly Ser Gly Asp Thr Ile Glu Leu Ser Cys Asn Thr Gln 55 60 Ser Ser Ser Val Ser Val Phe Trp Phe Lys Asp Gly Ile Gly Ile Ala 70 75 Pro Ser Asn Arg Thr His Ile Gly Gln Lys Leu Leu Lys Ile Ile Asn 85 90 Val Ser Tyr Asp Asp Ser Gly Leu Tyr Ser Cys Lys Pro Arg His Ser 105 Asn Glu Val Leu Gly Asn Phe Thr Val Arg Val Thr Asp Ser Pro Ser 120 125 115 Ser Gly Asp Asp Glu Asp Asp Asp Glu Ser Glu Asp Thr Gly Val 135 140 Pro Phe Trp Thr Arg Pro Asp Lys Met Glu Lys Lys Leu Leu Ala Val 150 155 Pro Ala Ala Asn Thr Val Arg Phe Arg Cys Pro Ala Gly Gly Asn Pro 165 170 Thr Pro Thr Ile Tyr Trp Leu Lys Asn Gly Lys Glu Phe Lys Gly Glu

			180					185					190		
His	Arg	Ile 195		Gly	Ile	Lys	Leu 200		His	Gln	Gln	Trp 205		Leu	Val
Met	Glu 210	Ser	Val	Val	Pro	Ser 215	Asp	Arg	Gly	Asn	Tyr 220	Thr	Cys	Val	Val
225		_	_	Gly	230		_			235			_		240
				His 245					250					255	
			260	Val				265					270		
	-	275		Pro			280					285			•
	290			Gly		295					300				
305				Asn	'310					315					320
				Phe 325					330					·335	
			340	Phe				345					350		
		355		Met			360					365			
	370		•	Gly		375					380				
385				Суѕ	390					395					400
				Gln 405					410					415	
			420	Ser				425					430		
		435		Leu			440					445			
	450			Leu		455			_		460				
465				Gly	470			_		475	_				480
				Ala 485					490					495	
			500	Val				505					510		
		515		Val			520					525			
	530					535					540				Pro
545				Val	550					555					560
	_		_	Arg 565			_		570	-			_	575	
			580	Glu				585					590		
		595		Arg			600	_				605			
	610			Ala		615					620				
Met	Lys	Ile	Ala	Asp	Phe	Gly	Leu	Ala	Arg	Asp	Val	His	Asn	Ile	Asp

```
635
                     630
Tyr Tyr Lys Lys Thr Thr Asn Gly Arg Leu Pro Val Lys Trp Met Ala
                645
                                     650
Pro Glu Ala Leu Phe Asp Arg Val Tyr Thr His Gln Ser Asp Val Trp
                                 665
                                                     670
            660
Ser Phe Gly Val Leu Leu Trp Glu Ile Phe Thr Leu Gly Gly Ser Pro
                             680
                                                 685
        675
Tyr Pro Gly Ile Pro Val Glu Glu Leu Phe Lys Leu Leu Lys Glu Gly
                                             700
                         695
His Arg Met Asp Lys Pro Ala Asn Cys Thr His Asp Leu Tyr Met Ile
                    710
                                         715
Met Arg Glu Cys Trp His Ala Val Pro Ser Gln Arg Pro Thr Phe Lys
                                                          735
                725
                                     730
Gln Leu Val Glu Asp Leu Asp Arg Val Leu Thr Met Thr Ser Thr Asp
                                                      750
                                 745
Glu Tyr Leu Asp Leu Ser Val Pro Phe Glu Gln Tyr Ser Pro Ala Gly
                             760
                                                 765
Gln Asp Thr His Ser Thr Cys Ser Ser Gly Asp Asp Ser Val Phe Ala
                                             780
His Asp Leu Leu Pro Asp Glu Pro Cys Leu Pro Lys His Val Pro Cys
                     790
                                         795
                                                              800
Asn Gly Val Ile Arg Thr
                805
```

<210> 21

<211> 2484

<212> ADN

5 <213> Xenopus laevis FGFR3-1

```
atgtctaagg ctggaggggg ctgtggaatt gccctttatc aagggatcca tatgggaatt 60
gtcaccctgt tctgcactct ctgctttttt ctggtctctg tgaactgtgt cccggctgcc 120
cgactgccag ttacgctccc tggagaggac agagcaaaca gaaaagcatc agattatctc 180
acggtagaac agcccccatt cgatgagctc atgtttacaa ttggagaaac cattgagttg 240
tcctgctctg cggatgatgc atccacgacc accaagtggt tcaaggatgg tatcggcatt 300
gtgccgaaca acagaacaag tacgaggcag ggcctgctga agattatcaa catctcatac 360
gatgactctg ggatatacag ttgcagacta tggcattcta ctgaaattct gcgcaatttt 420
accatcagag taacagactt accatcgtcc ggtgatgatg aggatgacga tgatgaaacc 480
gaagacagag agcctcctcg ctggacccaa cctgagaaga tggagaagaa acttattgca 540
gtccctgccg ctaacacaat ccgattccgg tgcccagccg cggggaatcc cacccctacc 600
atccattggc ttaagaacgg aaaggaattc aggggagagc atcgtattgg tggcatcaaa 660
ctccgacatc agcagtggag cctcgttatg gagagcgtag ttccatcgga taaaggcaac 720
tacacgtgtg tagtggagaa caaatatgga agcatccgtc aaacctatca acttgatgtc 780
ctggagaggt cctctcaccg gcccatcctt caggccgggt tacccgccaa ccagacggtg 840
gtgtttggga gcgacgtgga attccactgc aaagtctaca gtgacgcaca gccacatatt 900
cagtggctta aacacgtgga agtgaatggc agcaagtacg gcccagacgg agatccttac 960
gtcacagtgc tgcaatcttt caccaatggc actgaagtcg attctacctt aagtctaaaa
aatgtgaccg agacccatga aggacagtat gtgtgtagag ccaacaattt cataggagta
gccgaggcat ccttttggct ccacatttac aaaccagcac cagcagaacc agtggagaag
ccagcaacca catcttccag ctccatcacc gttcttattg tggtcacctc gactattgtg
1200
```

```
ttcatactqt tggttatcat tgtcatcacc taccgcatqa aggtcccttc taagaaggca
1260
atgagcaccc cgccggtgca taaagtctcc aagttcccgc tcaagcggca ggtgtctcta
1320
qaqtccaact cttctatgaa ttccaacacc ccqctqqtqa qqatcactca cctgtcctcc
1380
agcgacggaa ccatgttggc taatgtgtcg gagctcgqcc tgcccctgga tcccaagtgg
1440
qaqttattga gatcaaggct gactttagga aagccccttg gagaaggctg ctttggtcaa
1500
gtagtgatgg cagaagcaat tggcattgat aaggaaaggc caaataagcc tgttactgta
gctqtaaaga tgcttaaaga tgatqctaca gataaagatc tctccgatct ggtctcggag
atggagatga tgaaaatgat tgggaagcac aaaaatatca tcaatctgct aggagcatgc
actcaggatg gaccactgta cgttcttgtg gaatatgcat ccaaagggaa cctcagggag
1740
tatttaaagg cacggcgccc cccaggaatg gattattctt ttgacacctg caaaattcca
gctgagcagc tgacqttcaa ggacctcqtt tcttgcgcct accaggtagc tcgtggcatg
1860
gagtacctgg cgtcgcaaaa atgtattcac agagatctgg cagccagaaa tgtgttagta
acagatgaca ttgtaatgaa gattgcagat ttcggcttgg ccagggacat ccacaacata
gattattaca agaaaacaac aaatggtcgg ctgccagtca aatggatggc tccggaagct
ttgttcgacc gtatctacac tcatcagagc gatgtatggt cgtacggagt gctgctgtgg
2100
gagatattta cactgggggg ctcqccctac ccagggatcc cagtagagga actctttaag
2160
ctattgaaag aaggccacag aatggacaag ccagcaaact gcacacatga actgtatatg
2220
atcatqaqaq aqtqctqqca cqctqtccca tcqcaaaqac caaccttcaa qcaqctqqtt
2280
gaagaccttq accqcqttct tactqtaaca tctactgatg agtacctgga cctqtcqqta
2340
ccattcgagc agtattcccc ggcgggccaa gacagtaaca gcacctgctc ctcgggggac
gactcagtct ttgctcatga cattttaccc gatgaaccgt gtcttcccaa acaacagcag
2460
tacaacggcg ccatccgaac atga
2484
<210>22
<211> 827
<212> PRT
<213> Xenopus laevis FGFR3-1
<400> 22
Met Ser Lys Ala Gly Gly Gly Cys Gly Ile Ala Leu Tyr Gln Gly Ile
                                     10
His Met Gly Ile Val Thr Leu Phe Cys Thr Leu Cys Phe Phe Leu Val
Ser Val Asn Cys Val Pro Ala Ala Arg Leu Pro Val Thr Leu Pro Gly
```

```
40
Glu Asp Arg Ala Asn Arg Lys Ala Ser Asp Tyr Leu Thr Val Glu Gln
                        55
                                            60
Pro Pro Phe Asp Glu Leu Met Phe Thr Ile Gly Glu Thr Ile Glu Leu
                    70
                                        75
Ser Cys Ser Ala Asp Asp Ala Ser Thr Thr Lys Trp Phe Lys Asp
                                   90
               85
Gly Ile Gly Ile Val Pro Asn Asn Arg Thr Ser Thr Arg Gln Gly Leu
           100
                               105
Leu Lys Ile Ile Asn Ile Ser Tyr Asp Asp Ser Gly Ile Tyr Ser Cys
                           120
Arg Leu Trp His Ser Thr Glu Ile Leu Arg Asn Phe Thr Ile Arg Val.
                       135
                                           140
Thr Asp Leu Pro Ser Ser Gly Asp Asp Glu Asp Asp Asp Glu Thr
                                    . 155
                   150
Glu Asp Arg Glu Pro Pro Arg Trp Thr Gln Pro Glu Lys Met Glu Lys
               165
                                    170
Lys Leu Ile Ala Val Pro Ala Ala Asn Thr Ile Arg Phe Arg Cys Pro
                                185
            180
                                                    190
Ala Ala Gly Asn Pro Thr Pro Thr Ile His Trp Leu Lys Asn Gly Lys
                            200
        195
Glu Phe Arg Gly Glu His Arg Ile Gly Gly Ile Lys Leu Arg His Gln
                        215
                                            220
Gln Trp Ser Leu Val Met Glu Ser Val Val Pro Ser Asp Lys Gly Asn
                    230
                                        235
Tyr Thr Cys Val Val Glu Asn Lys Tyr Gly Ser Ile Arg Gln Thr Tyr
                                    250
                245
Gln Leu Asp Val Leu Glu Arg Ser Ser His Arg Pro Ile Leu Gln Ala
           260
                                265
                                                    270
Gly Leu Pro Ala Asn Gln Thr Val Val Phe Gly Ser Asp Val Glu Phe
                           280
His Cys Lys Val Tyr Ser Asp Ala Gln Pro His Ile Gln Trp Leu Lys
                       295
His Val Glu Val Asn Gly Ser Lys Tyr Gly Pro Asp Gly Asp Pro Tyr
                   310
                                       315
Val Thr Val Leu Gln Ser Phe Thr Asn Gly Thr Glu Val Asp Ser Thr
               325
                                   330
Leu Ser Leu Lys Asn Val Thr Glu Thr His Glu Gly Gln Tyr Val Cys
           340
                               345
Arg Ala Asn Asn Phe Ile Gly Val Ala Glu Ala Ser Phe Trp Leu His
                           360
                                                365
Ile Tyr Lys Pro Ala Pro Ala Glu Pro Val Glu Lys Pro Ala Thr Thr
                       375
Ser Ser Ser Ile Thr Val Leu Ile Val Val Thr Ser Thr Ile Val
                   390
                                       395
Phe Ile Leu Leu Val Ile Ile Val Ile Thr Tyr Arg Met Lys Val Pro
               405
                                   410
Ser Lys Lys Ala Met Ser Thr Pro Pro Val His Lys Val Ser Lys Phe
           420
                               425
Pro Leu Lys Arg Gln Val Ser Leu Glu Ser Asn Ser Ser Met Asn Ser
                           440
Asn Thr Pro Leu Val Arg Ile Thr His Leu Ser Ser Ser Asp Gly Thr
                       455
                                           460
Met Leu Ala Asn Val Ser Glu Leu Gly Leu Pro Leu Asp Pro Lys Trp
                   470
                                       475
Glu Leu Leu Arg Ser Arg Leu Thr Leu Gly Lys Pro Leu Gly Glu Gly
```

```
485
                                     490
                                                          495
Cys Phe Gly Gln Val Val Met Ala Glu Ala Ile Gly Ile Asp Lys Glu
            500
                                 505
                                                     510
Arg Pro Asn Lys Pro Val Thr Val Ala Val Lys Met Leu Lys Asp Asp
        515
                             520
                                                 525
Ala Thr Asp Lys Asp Leu Ser Asp Leu Val Ser Glu Met Glu Met Met
                        535
                                             540
Lys Met Ile Gly Lys His Lys Asn Ile Ile Asn Leu Leu Gly Ala Cys
                    550
                                         555
                                                             560
Thr Gln Asp Gly Pro Leu Tyr Val Leu Val Glu Tyr Ala Ser Lys Gly
                565
                                     570
                                                         575
Asn Leu Arg Glu Tyr Leu Lys Ala Arg Arg Pro Pro Gly Met Asp Tyr
            580
                                 585
                                                     590
Ser Phe Asp Thr Cys Lys Ile Pro Ala Glu Gln Leu Thr Phe Lys Asp
                            600
                                                 605
        595
Leu Val Ser Cys Ala Tyr Gln Val Ala Arg Gly Met Glu Tyr Leu Ala
                        615
                                             620
Ser Gln Lys Cys Ile His Arg Asp Leu Ala Ala Arg Asn Val Leu Val
                    630
                                         635
Thr Asp Asp Ile Val Met Lys Ile Ala Asp Phe Gly Leu Ala Arg Asp
                645
                                     650
Ile His Asn Ile Asp Tyr Tyr Lys Lys Thr Thr Asn Gly Arg Leu Pro
            660
                                 665
                                                     670
Val Lys Trp Met Ala Pro Glu Ala Leu Phe Asp Arg Ile Tyr Thr His
                                                 685
        675
                            680
Gln Ser Asp Val Trp Ser Tyr Gly Val Leu Leu Trp Glu Ile Phe Thr
                        695
                                             700
Leu Gly Gly Ser Pro Tyr Pro Gly Ile Pro Val Glu Glu Leu Phe Lys
                    710
                                         715
Leu Leu Lys Glu Gly His Arg Met Asp Lys Pro Ala Asn Cys Thr His
                725
                                    730
Glu Leu Tyr Met Ile Met Arg Glu Cys Trp His Ala Val Pro Ser Gln
            740
                                745
                                                     750
Arg Pro Thr Phe Lys Gln Leu Val Glu Asp Leu Asp Arg Val Leu Thr
        755
                                                 765
                            760
Val Thr Ser Thr Asp Glu Tyr Leu Asp Leu Ser Val Pro Phe Glu Gln
                        775
    770
                                             780
Tyr Ser Pro Ala Gly Gln Asp Ser Asn Ser Thr Cys Ser Ser Gly Asp
                    790
                                         795
Asp Ser Val Phe Ala His Asp Ile Leu Pro Asp Glu Pro Cys Leu Pro
                                     810
Lys Gln Gln Gln Tyr Asn Gly Ala Ile Arg Thr
```

<210>23

<211> 2409

<212> ADN

5 <213> Xenopus Iaevis FGFR3-2

```
atggtctctg tgaatggtgt cccggctgcc cgactgccag ttacgctccc tggagaggac 60 agagcgagca gaaaagcacc agattatctc atggtagaac agccccatt cgatgaactc 120 atgtatacaa ttggagaaac cattgagttg tcctgcgctg cagaagatgc ttccacaact 180 accaagtggt gtaaggatgg tattggcatt gtaccgaaca acagaacaag cacaaggcag 240 ggcctgctga agattatcaa cgtctcctcc gatgactccg ggatatacag ctgcagacta 300
```

```
tggcattcta ccgagattct gcgcaatttt acaatcagag taacagactt gccatcatct 360
.ggtgacgatg aggatgatga tgatgatgat gatgatgaaa ccgaagacag agaacctcct 420
cgctggaccc aacctgagag gatggaaaag aaacttattg cagtccctgc tgctaacaca 480
atcogcttcc ggtgcccagc cgcagggaat cccaccccta ccatccactg gctaaagaac 540
ggaaaggagt tcagggggga acatcqtatt ggtggcatca aactccgaca tcaacagtgg 600
agccttgtta tggagagtgt ggtcccatca gataaaggca actacacgtg tgtggtggag 660
aacaaatatg gaagcatccg tcaaacctat caacttgatg tccttgagag gtcctctcac 720
eggeecatee tteaggetgg gttaceegge aaceagaegg ttgtgettgg gagegaegtg 780
gaattccact gcaaagtcta cagtgacgca caacctcata ttcagtggct taaacacgtg 840
gaagtgaatg gcagcaaata cggcccagac ggagatcctt acgtctcagt gttgcaatct 900
ttcatcaatg gcactgaagt cgattctacc ctaagtctaa aaaatgtgac cgagaccaat 960
gaaggacagt atgtgtgtag agccaacaat ttcataggag tagccgaggc atccttttgg
1020
ctccacattt acaaaccagc accagcagaa ccagtggaga aggcattgac aacatcttcc
1080
agetetatea cegteettat tgtggteace tegaceattg tgtteatact gttggttate
1140
atogteatea eccaecteat gaaggteeet tecaagaagt caatgacege eccaecggtg
cataaagtct ccaagttccc cctcaaacgg cagcaggtgt ctctagagtc caactcttct
atgaattcca acaccccgtt ggtgaggatc actcatctgt cctccagcga tggaaccatg
ctggctaatg tgtcggaact tggcctgcca cttgacccca agtgggagtt attgagatca
aggetgaett taggaaagee eeteggggaa ggetgetteg gteaggtggt gatggeagaa
gctattggca ttgataagga aaggccaaat aagcctgcta ctgtagctgt aaagatgctt
aaagacgatg ccacagataa agatctctca gatctggtct ctgagatgga gatgatgaaa
atgattggga agcataaaaa tatcatcaat ctgctgggag catgcactca ggatgggccg
1620
ctgtacgttc tggtggaata cgcatcgaaa gggagcctca gggagtattt aaaggcacgg
cgcccccag gaatggatta ttcttttgat gcctgcaaaa ttccagctga gcagctgacg
1740
ttcaaggacc tagtttcttg tgcctaccag gtagctcgtg gcatggagta cctggcatca
1800
caaaaatgca ttcacagaga tctggcagcc agaaatgtgt tagtaacaga tgacaacgta
atgaagattg cagatttcgg cttggccagg gacatccaca acatagatta ttacaagaaa
1920
acaacaaatg gtcggctgcc tgtgaaatgg atggctccgg aagctttgtt tgaccgtatc
1980
tacactcatc acagcgatgt atggtcgtac ggagtgctgc tgtggggagat atttacactg
gggggctcac cctacccagg gatcccggta gaggaacttt ttaagctatt gaaagaaggc
cacagaatgg acaagccagc aaactqcaca catqaactqt atatgatcat gagagagtgc
tggcacgctg tcccctcaca aagacccgcc ttcaagcagc tggttgaaga ccttgaccgc
2220
gttcttactg taacatctac taatgagtac ctagacctct cggtagcatt cgagcagtat
totocaccca gocaagacag toacagcacc tgotoctcag gggacgactc agtotttgot
cacgacattt tacccgatga accgtqtctt cccaaacacc agcagcacaa cggcgccatc
2400
cccacatga
2409
```

<210>24

<211>802

<212> PRT

<213> Xenopus Iaevis FGFR3-2

5 <400> 24

Met Val Ser Val Asn Gly Val Pro Ala Ala Arg Leu Pro Val Thr Leu 10 Pro Gly Glu Asp Arg Ala Ser Arg Lys Ala Pro Asp Tyr Leu Met Val 20 25 Glu Gln Pro Pro Phe Asp Glu Leu Met Tyr Thr Ile Gly Glu Thr Ile 40 45 Glu Leu Ser Cys Ala Ala Glu Asp Ala Ser Thr Thr Thr Lys Trp Cys 60 Lys Asp Gly Ile Gly Ile Val Pro Asn Asn Arg Thr Ser Thr Arg Gln 70 Gly Leu Leu Lys Ile Ile Asn Val Ser Ser Asp Asp Ser Gly Ile Tyr 90 Ser Cys Arg Leu Trp His Ser Thr Glu Ile Leu Arg Asn Phe Thr Ile 100 105 Arg Val Thr Asp Leu Pro Ser Ser Gly Asp Asp Glu Asp Asp Asp 120 115 125 Asp Asp Asp Glu Thr Glu Asp Arg Glu Pro Pro Arg Trp Thr Gln 135 140 Pro Glu Arg Met Glu Lys Lys Leu Ile Ala Val Pro Ala Ala Asn Thr 150 155 Ile Arg Phe Arg Cys Pro Ala Ala Gly Asn Pro Thr Pro Thr Ile His 170 165 Trp Leu Lys Asn Gly Lys Glu Phe Arg Gly Glu His Arg Ile Gly Gly 180 185 Ile Lys Leu Arg His Gln Gln Trp Ser Leu Val Met Glu Ser Val Val 200 205 Pro Ser Asp Lys Gly Asn Tyr Thr Cys Val Val Glu Asn Lys Tyr Gly 215 220 . Ser Ile Arg Gln Thr Tyr Gln Leu Asp Val Leu Glu Arg Ser Ser His 230 235 Arg Pro Ile Leu Gln Ala Gly Leu Pro Gly Asn Gln Thr Val Val Leu 250 Gly Ser Asp Val Glu Phe His Cys Lys Val Tyr Ser Asp Ala Gln Pro 260 265 270 His Ile Gln Trp Leu Lys His Val Glu Val Asn Gly Ser Lys Tyr Gly 280 Pro Asp Gly Asp Pro Tyr Val Ser Val Leu Gln Ser Phe Ile Asn Gly 295 300 Thr Glu Val Asp Ser Thr Leu Ser Leu Lys Asn Val Thr Glu Thr Asn 310 315 Glu Gly Gln Tyr Val Cys Arg Ala Asn Asn Phe Ile Gly Val Ala Glu 330 Ala Ser Phe Trp Leu His Ile Tyr Lys Pro Ala Pro Ala Glu Pro Val

			340					345					350		
Glu	Lys	Ala 355	Leu	Thr	Thr	Ser	Ser 360	Ser	Ser	Ile	Thr	Val 365	Leu	Ile	Val
Val	Thr 370	Ser	Thr	Ile	Val	Phe 375	Ile	Leu	Leu	Val	Ile 380	Ile	Val	Ile	Thr
His 385	Leu	Met	Lys	Val	Pro 390	Ser	Lys	Lys	Ser	Met 395	Thr	Ala	Pro	Pro	Val 400
His	Lys	Val	Ser	Lys 405	Phe	Pro	Leu	Lys	Arg 410	Gln	Gln	Val	Ser	Leu 415	Glu
Ser	Asn	Ser	Ser 420	Met	Asn	Ser	Asn	Thr 425	Pro	Leu	Val	Arg	Ile 430	Thr	His
		435		_	_		440			Asn		445			-
	450					455				Arg	460				
465	•				470					Gln 475					480
				485	_				490	Lys				495	
			500					505		Lys			510		
		515					520			Gly	_	525	_		
	530			_		535				Gly	540		_		
545		_			550					Glu 555					560
				565					570	Ala				575	
			580					585		Cys			590		
		595					600			Суѕ		605			
	610					615				Asn	620				
625			•		630					Ile 635					640
				645					650	Met				655	
			660					665					670		
		675					680			Ser		685			
	690					695				Glu	700				
705					710					Met 715					720
				725					730	Phe				735	
			740					745		Thr			750		
•		755					760			Pro		765			
	770					775	•			Phe	780				
Pro	qsA	Glu	Pro	Cys	Leu	Pro	ьуs	HIS	GIN	Gln	HIS	Asn	GIÀ	Ala	116
785					790					795					800
	Thr														

<210>25

<211> 2391

<212> ADN

<213> Pleurodeleswaltlii FGFR3

```
atgctcgtct ggctctgcgg cttgtgtctg gtgactctgg cgggcggacg ttcggcggcc 60
aggetgeece teacegaggg ecgaeceaca geagaettee tgeeeggega egeeteectg 120
gtggaagage teetgttegg caegggggae accategage teteetgeae caeeeeggge 180
tectetgtgt eegtggtgtg gtteaaagae gggatetegg tggacecaee aacetggtee 240
cacaccggcc agaagctgct gaagatcatc aacgtgtcct acgacgactc gggagtgtac 300
agctgcaagg cccggcagtc cagcgaggtg ctccggaacg tgaccgtcag ggtgaccgat 360
tctccgtcat ccggtgatga cgaagatgat gatgaggaat ctgaaagtgc aaatgcacca 420
aaattcacgc gaccggaatg gatggagaag aaactgcttg cagtgcccgc agccaacacg 480
gtgcgcttcc gatgcccagc tgcaggaaag ccaacgccat ccatcacttg gctgaaaaac 540
ggcaaggagt tcaaaggcga gcatcggatt gggggcataa agctaagaca ccagcagtgg 600
agtttggtga tggagagtgt agtcccatcc gatcggggaa attacacatg tgtggtggca 660
aacaagtacg gcaccatccg agagacctac acattggatg tccttgaacg aactcctcac 720
eggeecatee tecaggeggg atteegttee aacaagactg tggtggtagg aagegatgtg 780
gagttccatt gcaaggtata cagtgatgct cagccgcaca tccagtggct gaaacacgtg 840
gaggttaatg gcagcaagtt tggacctgat gggaacccgt atgtcacagt gcttaagacg 900
gcaggtgtta atacctcgga taaggagcta qaaattcagt tcttgcgaaa tgtaactttt 960
gaggatgctg gggagtatac ttgtctcgct gggaactcta ttggctattc ccatcattct
1020
gettggetea eggtgetgee accageagag eeggteeeag aegtegaeae etetgteage
attettgeeg etgeaggatg tgtegeagtt gttataetgg tggtgateat aatetttaet
1140
tacaaqatga agatgeeete caagaagaee atgaacaeeg eeactgtgea caaagtetea
aagttccctc tcaagagaca ggtgtcactg gagtccaact cttcaatgaa ttccaacacc
1260
cctctggtgc gaatcacccg cctgtcgtcc agcgatggtc cgatgctggc caacgtgtcc
1320
gagetggage taccegetga teegaagtgg gaattgtete gtteaegett gaetttggge
aaacctcttg gggaaggatg ctttggccag gtggtgatgg cggatgcagt tggcattgaa
aaggataagc caaacaaggc cacctcggtt gccgttaaga tgttgaaaga tgatgccact
gataaagacc tgtcqqatct agtctctgaa atggaaatga tgaaaatgat tgggaagcac
aaaaacatca ttaatctcct gggagcctgc acgcaggatg gcccactcta cgtgctggtg
1620
gaatatgcat ccaaaggaaa cttgcgggag tacctgaggg cccggcgccc tcctggcatg
gattactcct tcgacacctg caaacttccc gaagagcagt tgaccttcaa ggacttggta
tectgtgeet accaggtgge eegeggeatg gagtaeetgg eeteteagaa gtgeataeae
1800
```

```
cgagatctgg cagcccggaa cgtgctggtg acggatgaca acgttatgaa gattgctgat
1860
tttqqcctqq cgagagatgt gcacaacatc gactactaca agaaaactac aaatggccga
ctgccgtga agtggatggc tccggaggct ttgttcgacc gggtctacac tcaccaaagc
gacgtctggt cgtttggagt gcttctgtgg gagatcttca cgctgggggg ctcgccgtac
2040
cctggaatcc cagtggaaga actcttcaag ctgttaaagg aaggccatcg aatggacaaa
2100
ccagcgaact gcacgcatga gctgtacatg atcatgcggg agtgctggca tgcagtgcca
2160
tcccagcggc caaccttcaa gcaactcgta gaagacttgg accgggtcct tacggtgacc
2220
tocactgatg agtacctcga totototgtg coottcgage agtattcgcc tgcctgccca
gacagccaca gcagctgctc ttctggagac gattcggtct ttgcccacga cctgcccgag
gagecetgee tteegaagea eeageagtae aatggagtaa teegaacatg a
2391
```

<210>26

<211> 796

<212> PRT

5 <213> Pleurodeles waltlii FGFR3

<400> 26

Met Leu Val Trp Leu Cys Gly Leu Cys Leu Val Thr Leu Ala Gly Gly Arg Ser Ala Ala Arg Leu Pro Leu Thr Glu Gly Arg Pro Thr Ala Asp 20 25 Phe Leu Pro Gly Asp Ala Ser Leu Val Glu Glu Leu Leu Phe Gly Thr 40 45 Gly Asp Thr Ile Glu Leu Ser Cys Thr Thr Pro Gly Ser Ser Val Ser 55 60 Val Val Trp Phe Lys Asp Gly Ile Ser Val Asp Pro Pro Thr Trp Ser 75 His Thr Gly Gln Lys Leu Leu Lys Ile Ile Asn Val Ser Tyr Asp Asp Ser Gly Val Tyr Ser Cys Lys Ala Arg Gln Ser Ser Glu Val Leu Arg 105 Asn Val Thr Val Arg Val Thr Asp Ser Pro Ser Ser Gly Asp Asp Glu 120 125 Asp Asp Asp Glu Glu Ser Glu Ser Ala Asn Ala Pro Lys Phe Thr Arg 135 140 Pro Glu Trp Met Glu Lys Lys Leu Leu Ala Val Pro Ala Ala Asn Thr 150 155 Val Arg Phe Arg Cys Pro Ala Ala Gly Lys Pro Thr Pro Ser Ile Thr 165 170 Trp Leu Lys Asn Gly Lys Glu Phe Lys Gly Glu His Arg Ile Gly Gly 180 185 Ile Lys Leu Arg His Gln Gln Trp Ser Leu Val Met Glu Ser Val Val 200 205 Pro Ser Asp Arg Gly Asn Tyr Thr Cys Val Val Ala Asn Lys Tyr Gly 215 220 Thr Ile Arg Glu Thr Tyr Thr Leu Asp Val Leu Glu Arg Thr Pro His

225					230					235					240
Arg	Pro	Ile	Leu	Gln 245	Ala	Gly	Phe	Arg	Ser 250	Asn	Lys	Thr	Val	Val 255	Val
Gly	Ser	Asp	Val 260	Glu	Phe	His	Суѕ	Lys 265	Val	Tyr	Ser	Asp	Ala 270	Gln	Pro
His	Ile	Gln 275		Leu	Lys	His	Val 280	Glu	Val	Asn	Gly	Ser 285	Lys	Phe	Gly
Pro	Asp 290		Asn	Pro	Тут	Val 295	Thr	Val	Leu	Lys	Thr	Ala	Gly	Val	Asn
Thr 305	Ser	Asp	Lys	Glu	Leu 310	Glu	Ile	Gln	Phe	Leu 315	Arg	Asn	Val	Thr	Phe 320
Glu	Asp	Ala	Gly	Glu 325	Tyr	Thr	Cys	Leu	Ala 330	Gly	Asn	Ser	Ile	Gly 335	Tyr
Ser	His	His	Ser 340	Ala	Trp	Leu	Thr	Val 345	Leu	Pro	Pro	Ala	Glu 350	Pro	Val
Pro	Asp	Val 355	Asp	Thr	Ser	Val	Ser 360	Ile	Leu	Ala	Ala	Ala 365	Gly	Суѕ	Val
Ala	Val 370	Val	Ile	Leu	Val	Va1 375	Ile	Ile	Ile	Phe	Thr 380	Tyr	Lys	Met	Lys
Met 385	Pro	Ser	Lys	Lys	Thr 390	Met	Asn	Thr	Ala	Thr 395	Val	His	Lys	Val	Ser 400
Lys	Phe	Pro	Leu	Lys 405	Arg	Gln	Val	Ser	Leu 410	Glu	Ser	Asn	Ser	Ser 415	Met
			420			Val	_	425					430		_
_		435				Val	440					445		_	
	450					Ser 455					460				
465					470	Val				475					480
				485	_	Ala			490					495	_
	,	•	500			Asp		505					510		
		515			_	Lys	520					525			_
	530			_	_	Pro 535					540				
545				_	550	Tyr		_		555					560
				565		Cys			570					575	
			580			Ala		585					590		
		595				Ile	600			•		605			
	610			_		Val 615					620				
625					630	Asp				635					640
				645		Ala			650					655	
			660			Trp		665					670		
Pne	Thr	Leu	Gly	Gly	Ser	Pro	Tyr	Pro	Gly	Ile	Pro	vai	GIU	Glu	Leu

```
680
Phe Lys Leu Leu Lys Glu Gly His Arg Met Asp Lys Pro Ala Asn Cys
                        695
Thr His Glu Leu Tyr Met Ile Met Arg Glu Cys Trp His Ala Val Pro
                                         715
Ser Gln Arg Pro Thr Phe Lys Gln Leu Val Glu Asp Leu Asp Arg Val
                725
                                     730
Leu Thr Val Thr Ser Thr Asp Glu Tyr Leu Asp Leu Ser Val Pro Phe
            740
                                 745
                                                     750
Glu Gln Tyr Ser Pro Ala Cys Pro Asp Ser His Ser Ser Cys Ser Ser
                            760
                                                 765
Gly Asp Asp Ser Val Phe Ala His Asp Leu Pro Glu Glu Pro Cys Leu
                        775
                                             780
Pro Lys His Gln Gln Tyr Asn Gly Val Ile Arg Thr
785
                    790
```

<210>27

<211> 2403

<212> ADN

5 <213> Danio rerio FGFR3

```
atggtcccac tetgtctcct cetgtacete geaaceeteg tettcccace agtgtacagt 60
gcacacctgc tgtccccaga gcccacagac tgggtatcga gtgaggtgga agtgtttctg 120
gaggactatg tggcgggagt cggggataca gtagttctgt cctgcacgcc gcaagacttt 180
ctccttccca tcgtatggca aaaagacgga gacgccgttt cttcaagcaa ccgtacacga 240
gtgggccaga aagccctccg catcatcaat gtctcctatg aagactcggg tgtttactcc 300
tgcagacatg cccacaagag catgcttctg agcaactaca ccgtcaaagt catcgattcg 360
ctgtcctctg gtgatgatga ggactatgat gaagatgagg acgaggcagg taatggaaat 420
gcagaagctc catactggac ccgttcggac cggatggaga agaaactatt ggctgttcct 480
gctgccaata cagtcaagtt ccgctgtcct gctgctggca acccaacgcc cagtatccat 540
tggctgaaaa atggcaagga gttcaaggga gagcagagaa tgggcggcat taagctgagg 600
catcagcagt ggagettggt catggagagt gccgttccat ccgaccqqqg aaattacaca 660
tgtgtggtgc agaacaaata cgggtcaatc aagcacactt atcaactcga tgtgctggag 720
cgctcccctc accggcccat cttacaggca ggactgccag ccaatcagac ggtagtggtg 780
ggcagtgatg tggagttcca ctgtaaggtg tacagtgatg ctcagccaca catccagtgg 840
ctgaaacaca ttgaagtcaa tggaagccaa tatgggccca atggcgcccc ctacgtcaat 900
gttcttaaga ctgctgggat aaatactacg gataaagagc tggagattct ctacctgacc 960
aatgtgtctt tcgaggatgc ggggcaatac acttgtctgg cagggaactc gattggctat
1020
aaccatcact ctgcttggct tacagtctta ccagcggtgg agatggagag agaggatgat
1080
tatgcagaca tecteateta tgtgacaage tgegtgetet teatteteae catggteate
attattetet geegaatgtg gataaacaeg cagaagaete teeeggeaee acetgtteaa
1200
aaactgtcca aattccccct caagagacag gtgtccttgg aatccaactc ttccatgaat
1260
tcaaacaccc cgctggtcag gatcgcccgc ctgtcatcca gcgatgggcc gatgttgcct
1320
aacgtgtctg aacttgaact gccctctgac cccaagtggg agtttactcg aacaaagtta
acgttgggga aaccgttggg agagggctgc tttgggcagg tggtgatggc tgaagccatt
1440
```

```
gggattgaca aagaaaaacc caacaaacct ctaactgttg ctgtcaagat gctcaaagat
1500
gacggcacag ataaagacct gtcagacctt gtgtctgaaa tggagatgat gaagatgatt
1560
gggaaacata agaacatcat taacttgctg ggagcatgta ctcaaqacgg tcctctqtac
1620
gtgctggtag aatacgcctc taaagggaat cttagggaat acttacgagc cagaaggcca
1680
cctgggatgg actactcatt cgacacctgt aagatcccga acgaaacgct aacatttaaa
gacctggtgt cctgcgccta tcaggtcgcc aggggtatgg agtacctggc ctcaaaqaaq
1800
tgtatccata gggaccccgc agcccggaat gttctggtta ccgaggacaa cgtgatgaag
attgcagact tcggccttgc cagagatgtg cacaacattg actactacaa gaagaccacc
aacggtcgtc tgcccgtcaa atggatggca ccagaagcac tgttcgatcg cgtctacacg
caccagagcg atgtgtggtc ttatggtgtg ttgttgtggg agattttcac tcttggtgga
teccegtate caggitatece agiggaggag etetttaaac igetgaagga aggecategg
atggacaaac cggccaactg cactcatgaa ctgtacatga tcatgcgaga atgttggcat
gctgttcctt cacaaagacc cacgttcaga cagctggtgg aggaccacga cagggttctt
2220
tocatgacct ccactgacga gtacctggac ctctctgtac cgttcgagca gtattcaccq
2280
acctgtccgg actccaacag cacctgttcc tctggcgatg actctgtgtt tgcccacgac
cccttacctg aggagecatg cctccctaaa caccaccaca gcaacggggt catacgaaca
2400
taa
2403
<210>28
<211>800
<212> PRT
<213> Danio rerio FGFR3
<400> 28
Met Val Pro Leu Cys Leu Leu Tyr Leu Ala Thr Leu Val Phe Pro
                                    .10
Pro Val Tyr Ser Ala His Leu Leu Ser Pro Glu Pro Thr Asp Trp Val
Ser Ser Glu Val Glu Val Phe Leu Glu Asp Tyr Val Ala Gly Val Gly
Asp Thr Val Val Leu Ser Cys Thr Pro Gln Asp Phe Leu Leu Pro Ile
Val Trp Gln Lys Asp Gly Asp Ala Val Ser Ser Ser Asn Arg Thr Arg
Val Gly Gln Lys Ala Leu Arg Ile Ile Asn Val Ser Tyr Glu Asp Ser
                                    90
Gly Val Tyr Ser Cys Arg His Ala His Lys Ser Met Leu Leu Ser Asn
                                105
Tyr Thr Val Lys Val Ile Asp Ser Leu Ser Ser Gly Asp Asp Glu Asp
```

		115					120					125			
Tvr	Asp		Asp	Glu	Asp	G111		Glv	Asn	Glv	Asn		Glu	Ala	Pro
-1-	130			Ų.u.		135		017		017	140		014		
Tyr		Thr	Arg	Ser	Asp		Met	Glu	Lys	Lys		Leu	Ala	Val	Pro
145	_		_		150	_			-	155					160
Ala	Ala	Asn	Thr	Val 165	Lys	Phe	Arg	Cys	Pro 170	Ala	Ala	Gly	Asn	Pro 175	Thr
Pro	Ser	Ile	His 180	Trp	Leu	Lys	Asn	Gly 185	Lys	Glu	Phe	Lys	Gly 190	Glu	Gln
Arg	Met	Gly 195		Ile	Lys	Leu	Arg 200		Gln	Gln	Trp	Ser 205		Val	Met
Glu	Ser 210		Val	Pro	Ser	Asp 215		Gly	Asn	Tyr	Thr 220		Val	Val	Gln
Asn		Tvr	Glv	Ser	Ile		His	Thr	Tvr	Gln		Asp	Va1	Leu	Glu
225	_1 ~	-1-	4	~~-	230	-3~			-1-	235					240
Arg	Ser	Pro	His	Arg 245	Pro	Ile	Leu	Gln	Ala 250	Gly	Leu	Pro	Ala	Asn 255	Gln
Thr	Val	Val	Val 260	Gly	Ser	Asp	Val	Glu 265	Phe	His	Cys	Lys	Val 270	Tyr	Ser
Asp	Ala	Gln 275	Pro	His	Ile	Gln	Trp 280	Leu	Lys	His	Ile	Glu 285	Val	Asn	Gly
Ser	Gln 290	Tyr	Gly	Pro	Asn	Gly 295	Ala	Pro	Tyr	Val	Asn 300	Val	Leu	Lys	Thr
Ala 305		Ile	Asn	Thr	Thr	Asp	Lys	Glu	Leu	Glu 315		Leu	Tyr	Leu	Thr 320
	Val	Ser	Phe	Glu 325	Asp	Ala	Gly	Gln	Tyr 330		Cys	Leu	Ala	Gly 335	
Ser	Ilė	Gly	Tyr 340	Asn	His	His	Ser	Ala 345	Trp	Leu	Thr	Val	Leu 350		Ala
Val	Glu	Met 355	Glu	Arg	Glu	Asp	Asp 360	Tyr	Ala	Asp	Ile	Leu 365	Ile	Tyr	Val
Thr	Ser 370		Val	Leu	Phe	Ile 375		Thr	Met	Val	Ile 380		Ile	Leu	Cys
Arg 385		Trp	Ile	Asn	Thr 390		Lys	Thr	Leu	Pro 395		Pro	Pro	Val	Gln 400
	Leu	Ser	Lys	Phe 405	Pro	Leu	Lys	Arg	Gln 410		Ser	Leu	Glu	Ser 415	
Ser	Ser	Met	Asn 420	Ser	Asn	Thr	Pro	Leu 425		Arg	Ile	Ala	Arg 430		Ser
Ser		Asp 435		Pro	Met	Leu			Val	Ser		Leu 445		Leu	Pro
Ser	Asp 450	Pro	Lys	Trp	Glu	Phe 455	Thr	Arg	Thr	Lys	Leu 460	Thr	Leu	Gly	Lys
Pro 465	Leu	Gly	Glu	Gly	Cys 470	Phe	Gly	Gln	Val	Val 475	Met	Ala	Glu	Ala	Ile 480
Gly	Ile	Asp	Lys	Glu 485	Lys	Pro	Asn	Lys	Pro 490	Leu	Thr	Val	Ala	Val 495	Lys
Met	Leu	Lys	Asp 500	Asp	Gly	Thr	Asp	Lys 505	Asp	Leu	Ser	Asp	Leu 510	Val	Ser
Glu	Met	Glu 515	Met	Met	Lys	Met	Ile 520	Gly	Lys	His	Lys	Asn 525	Ile	Ile	Asn
Leu	Leu 530	Gly	Ala	Суѕ	Thr	Gln 535	Asp	Gly	Pro	Leu	<b>Tyr</b> 540	Val	Leu	Val	Glu
Tyr 545	Ala	Ser	Lys	Gly	Asn 550		Arg	Glu	Tyr	Leu 555	Arg	Ala	Arg	Arg	Pro 560
Pro	Gly	Met	Asp	Tyr	Ser	Phe	Asp	Thr	Cys	Lys	Ile	Pro	Asn	Glu	Thr

```
565
                                       570
 Leu Thr Phe Lys Asp Leu Val Ser Cys Ala Tyr Gln Val Ala Arg Gly
             580
                                  585
 Met Glu Tyr Leu Ala Ser Lys Lys Cys Ile His Arg Asp Pro Ala Ala
                               600
 Arg Asn Val Leu Val Thr Glu Asp Asn Val Met Lys Ile Ala Asp Phe
                          615
                                                620
 Gly Leu Ala Arg Asp Val His Asn Ile Asp Tyr Tyr Lys Lys Thr Thr
                      630
                                            635
 Asn Gly Arg Leu Pro Val Lys Trp Met Ala Pro Glu Ala Leu Phe Asp
                 645
                                       650
 Arg Val Tyr Thr His Gln Ser Asp Val Trp Ser Tyr Gly Val Leu Leu
              660
                                                        670
                                   665
 Trp Glu Ile Phe Thr Leu Gly Gly Ser Pro Tyr Pro Gly Ile Pro Val
                               680
                                                    685
 Glu Glu Leu Phe Lys Leu Leu Lys Glu Gly His Arg Met Asp Lys Pro
                          695
 Ala Asn Cys Thr His Glu Leu Tyr Met Ile Met Arg Glu Cys Trp His
                      710
                                           715
 Ala Val Pro Ser Gln Arg Pro Thr Phe Arg Gln Leu Val Glu Asp His
                  725
                                       730
                                                             735
 Asp Arg Val Leu Ser Met Thr Ser Thr Asp Glu Tyr Leu Asp Leu Ser
             740
                                   745
                                                        750
 Val Pro Phe Glu Gln Tyr Ser Pro Thr Cys Pro Asp Ser Asn Ser Thr
                               760
                                                    765
 Cys Ser Ser Gly Asp Asp Ser Val Phe Ala His Asp Pro Leu Pro Glu
                          775
                                                780
 Glu Pro Cys Leu Pro Lys His His Ser Asn Gly Val Ile Arg Thr
 785
                      790
                                            795
<210>29
<211>20
<212> ADN
<213> secuencia artificial
<220>
<223> cebador de PCR 1
<400> 29
agccctcact ccttctctag 20
<210>30
<211>26
<212> ADN
<213> secuencia artificial
<220>
<223> cebador de PCR 2
<400> 30
acctacaggt ggggtctttc attccc 26
<210>31
<211>25
```

10

15

20

<212> ADN

- <213> secuencia artificial
- <220>
- <223> cebador de PCR 3
- <400> 31
- 5 ccctgggtca agccctttgt acacc 25
  - <210>32
  - <211>25
  - <212> ADN
  - <213> secuencia artificial
- 10 <220>
  - <223> cebador de PCR 4
  - <400> 32
  - tgccaaacct acaggtgggg tcttt 25

#### **REIVINDICACIONES**

- 1. Procedimiento para detectar la actividad de BoNT/A poniendo en contacto una muestra con una célula que contiene un FGFR3 exógeno, en el que dicha célula puesta en contacto es capaz de intoxicarse con BoNT/A, y detectando la presencia de la actividad de BoNT/A de dicha célula puesta en contacto con respecto a una célula control, siendo la diferencia en dicha actividad de BoNT/A de dicha célula puesta en contacto en comparación con dicha célula control indicativa de actividad de BoNT/A.
- 2. Procedimiento para seleccionar una molécula capaz de competir con el BoNT/A para unirse selectivamente a células susceptibles de intoxicarse con BoNT/A poniendo en contacto dicha muestra con una composición que comprende un FGFR3 y detectando si dicha molécula se une selectivamente a dicho FGFR3, en el que la unión selectiva de dicha molécula a dicho FGFR3 indica que dicha molécula es capaz de competir con BoNT/A para unirse selectivamente a células susceptibles de intoxicarse con BoNT/A y en el que si dicha molécula es BoNT/A, dicho procedimiento no comprende un ensayo de DL50.
- 3. Procedimiento según la reivindicación 2, en el que dicha etapa de puesta en contacto se realiza in vitro.
- 4. Procedimiento según la reivindicación 2, en el que dicho FGFR3 se expresa en la superficie de una célula.
- 15. Procedimiento según una cualquiera de las reivindicaciones 2 a 4, en el que dicha molécula es BoNT/A.

5

10

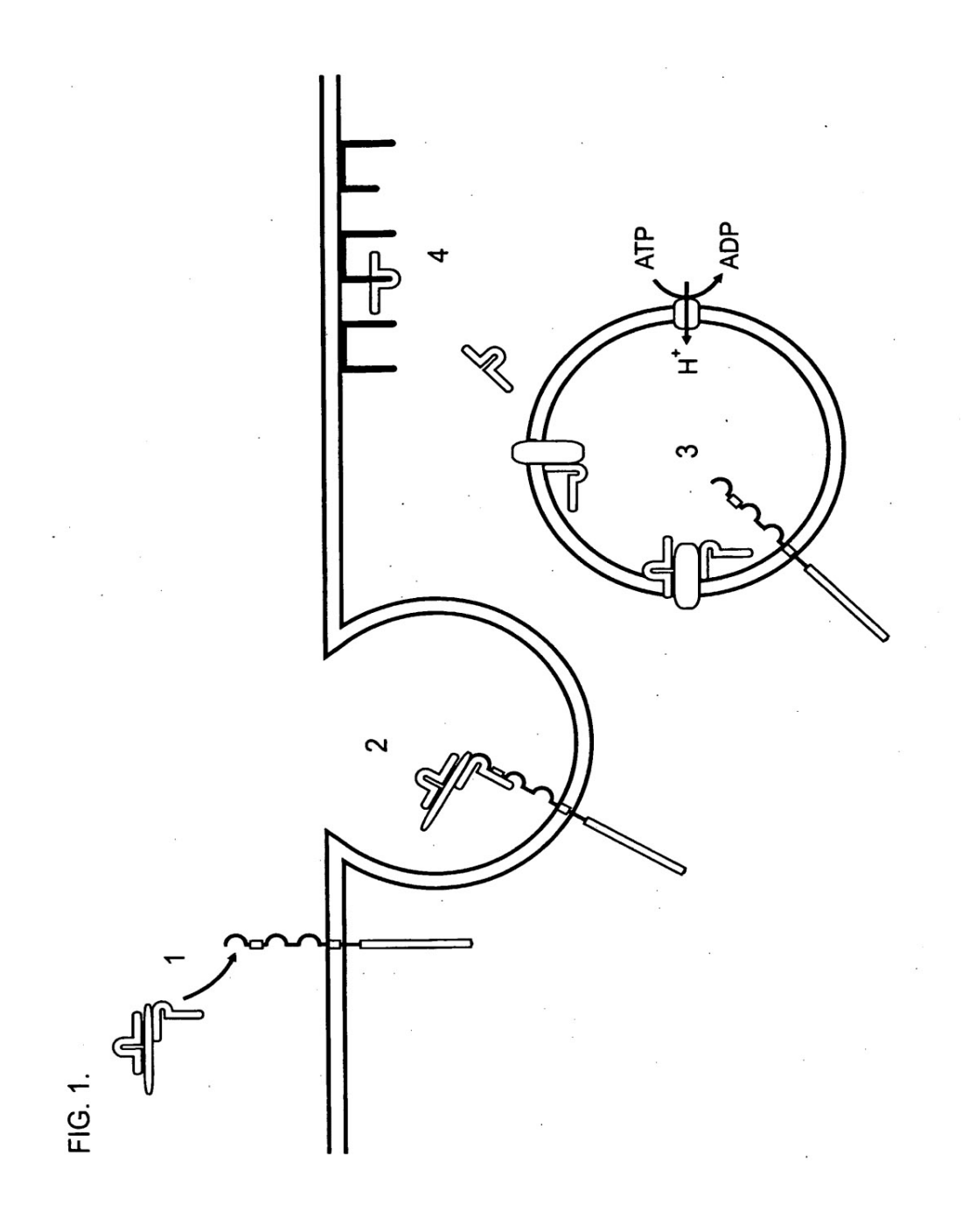
- **6.** Procedimiento según la reivindicación 5, en el que dicha molécula comprende un dominio de unión del receptor de una cadena pesada de BoNT/A.
- 7. Procedimiento según una cualquiera de la reivindicaciones 2 a 4, en el que dicha molécula es una molécula que se une selectivamente al dominio de unión del receptor de FGFR3 y no es BoNT/A.
- **8.** Procedimiento según la reivindicación 7, en el que dicha molécula comprende un anticuerpo anti-FGFR3 que se une al dominio de unión del receptor de FGFR3.
  - 9. Procedimiento según la reivindicación 7, en el que dicha molécula comprende un FGF que se une al dominio de unión del receptor de FGFR3.
  - **10.** Procedimiento según la reivindicación 9, en el que dicha molécula de FGF se selecciona del grupo constituido por FGF1, FGF2, FGF4, FGF8 y FGF9.
    - **11.** Procedimiento según una cualquiera de las reivindicaciones 2 a 4, en el que dicha molécula es una molécula que se une selectivamente al dominio de unión del receptor de FGFR3 y comprende un dominio de proteasa que escinde una proteína SNARE en un sitio diferente al que se escinde por la cadena ligera de BoNT/A.
- **12.** Procedimiento según la reivindicación 11, en el que dicho dominio de proteasa comprende el sitio activo de la cadena ligera de una toxina Clostridial diferente a la BoNT/A.
  - **13.** Procedimiento según la reivindicación 11, en el que dicho dominio de proteasa comprende el sitio activo de la cadena ligera de BoNT/E.
  - **14.** Procedimiento para determinar la actividad de BoNT/A a partir de una preparación que comprende BoNT/A que comprende el procedimiento de la reivindicación 2.
- **15.** Procedimiento según bien la reivindicación 1 o bien la reivindicación 2, en el que dicha célula contiene de forma transitoria un FGFR3 exógeno.
  - **16.** Procedimiento según bien la reivindicación 1 o bien la reivindicación 2, en el que dicha célula contiene de forma estable un FGFR3 exógeno.
- 17. Procedimiento según bien la reivindicación 1 o bien la reivindicación 2, en el que dicho FGFR3 es un FGFR3 de
   40 mamífero, un FGFR3 de ave, un FGFR3 de anfibio o un FGFR3 de pez.
  - **18.** Procedimiento según la reivindicación 17, en el que dicho FGFR3 de mamífero es un FGFR3 humano, un FGFR3 bovino, un FGFR3 de ratón o un FGFR3 de rata.
  - **19.** Procedimiento según bien la reivindicación 1 o bien la reivindicación 2, en el que dicha composición contiene además un polisialogangliósido G1b.
- **20.** Procedimiento según la reivindicación 19, en el que dicho polisialogangliósido se selecciona del grupo constituido por GD1a, GD1b, GD3, GQ1b o GT1b.
  - 21. Procedimiento según bien la reivindicación 1 o bien la reivindicación 2, en el que dicha célula es una célula neuronal.

- **22.** Procedimiento según la reivindicación 21, en el que dicha célula neuronal es una célula neuronal primaria, una célula neuronal inmortalizada o una célula neuronal transformada.
- 23. Procedimiento según la reivindicación 21, en el que dicha célula neuronal se selecciona del grupo constituido por una célula del neuroblastoma, una célula híbrida neuronal, una célula de la médula espinal, una célula del sistema nervioso central, una célula del córtex cerebral, una célula del ganglio espinal, una célula del hipocampo y una célula de feocromocitoma.
- 24. Procedimiento según bien la reivindicación 1 o bien la reivindicación 2, en el que dicha célula es una célula no neuronal.
- **25.** Procedimiento según la reivindicación 24, en el que dicha célula no neuronal es una célula no neuronal primaria, una célula no neuronal inmortalizada o una célula no neuronal transformada.
  - **26.** Procedimiento según la reivindicación 24, en el que dicha célula no neuronal se selecciona del grupo constituido por una célula de la pituitaria anterior, una célula suprarrenal una célula pancreática, una célula de ovario, una célula de riñón, una célula del estómago, una célula sanguínea, una célula epitelial, un fibroblasto, una célula del tiroides, un condrocito, una célula muscular, un hepatocito, una célula glandular.

15

10

## FIGURAS



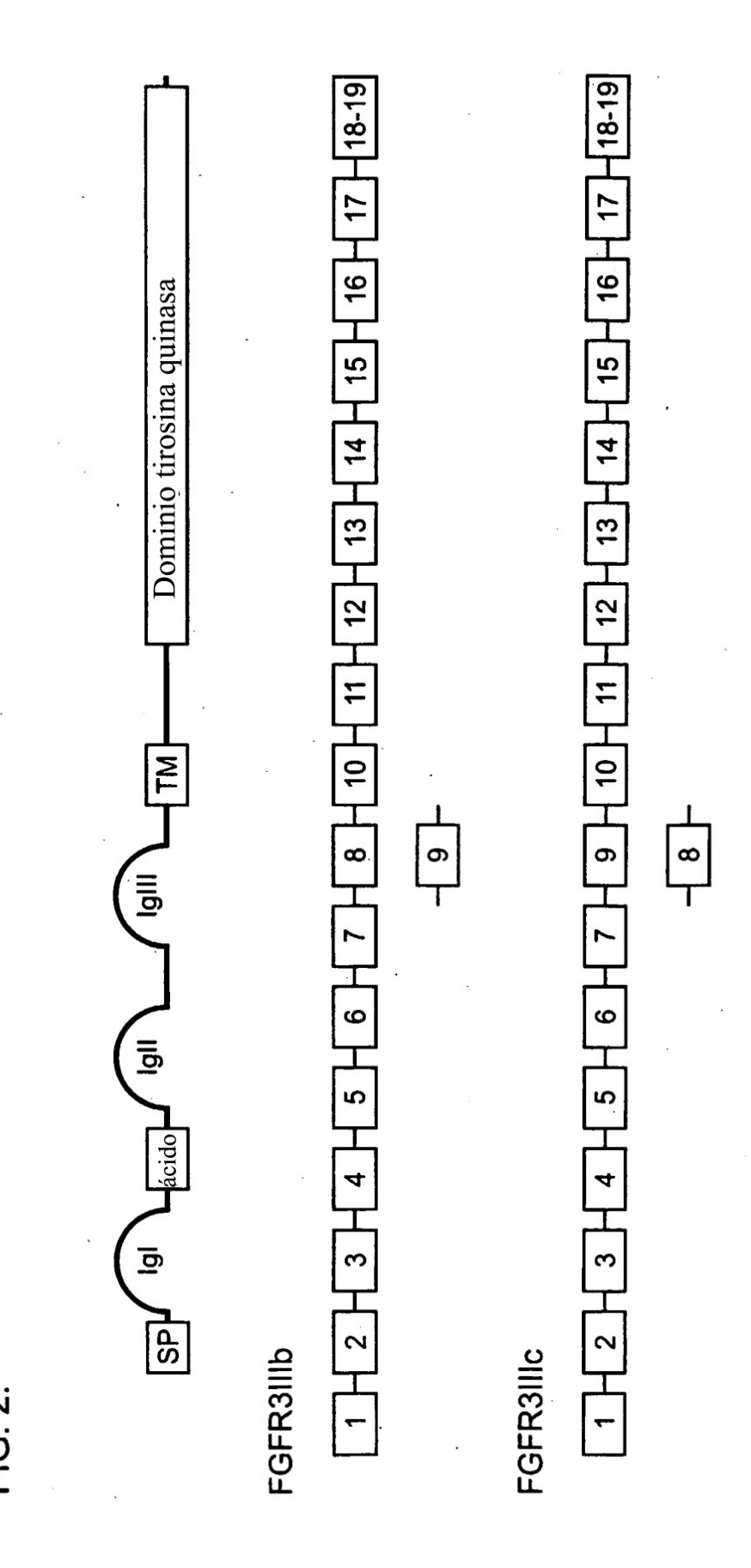


FIG. 3a.

# Ensayo de inhibición de liberación de insulina

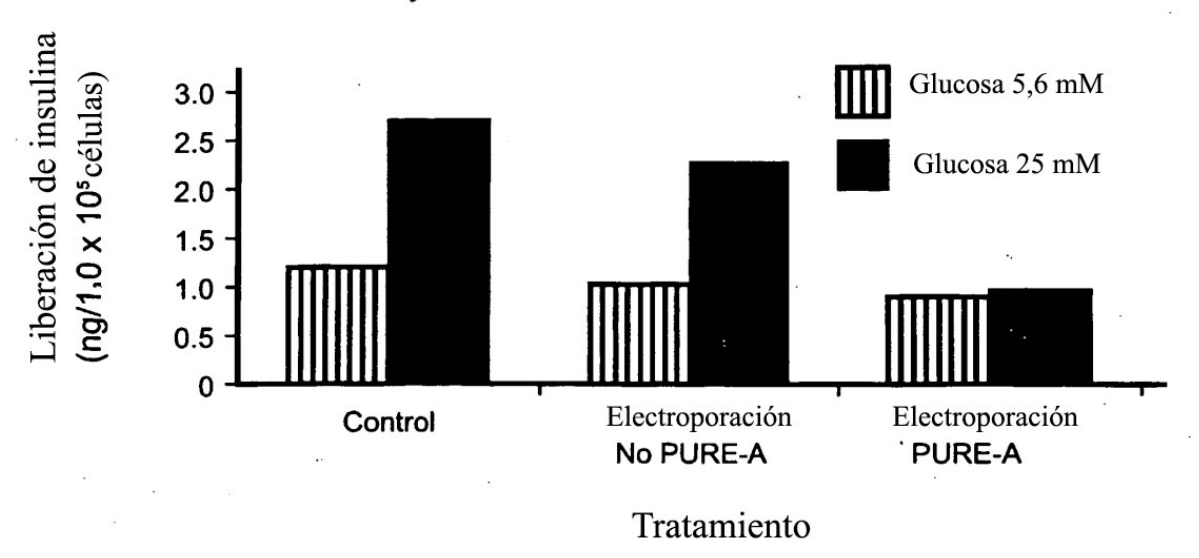


FIG. 3b.

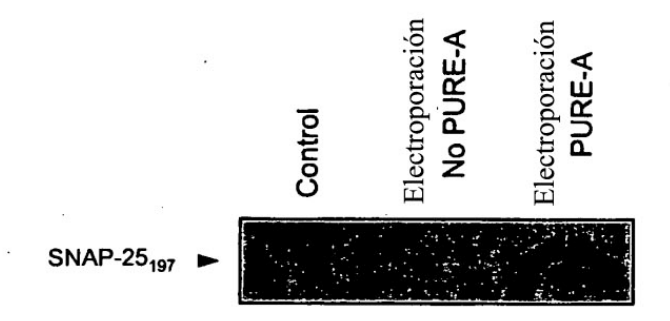


FIG. 4a.

Curva de crecimiento postratamiento de HIT-T15 con PURE-A

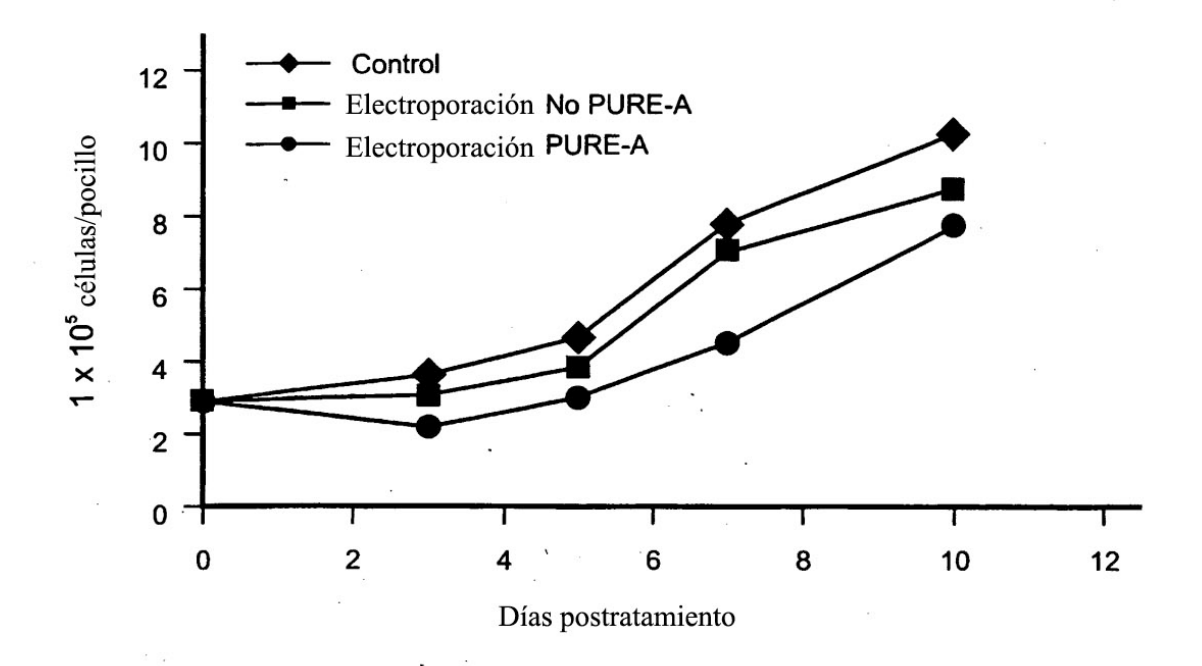


FIG. 4b.

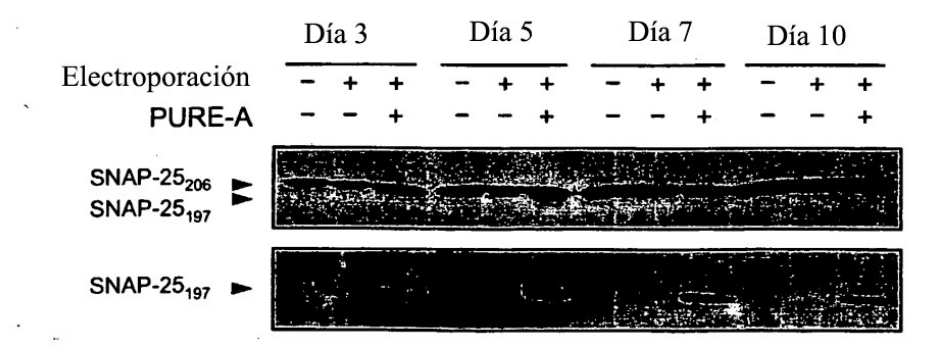


FIG. 5.

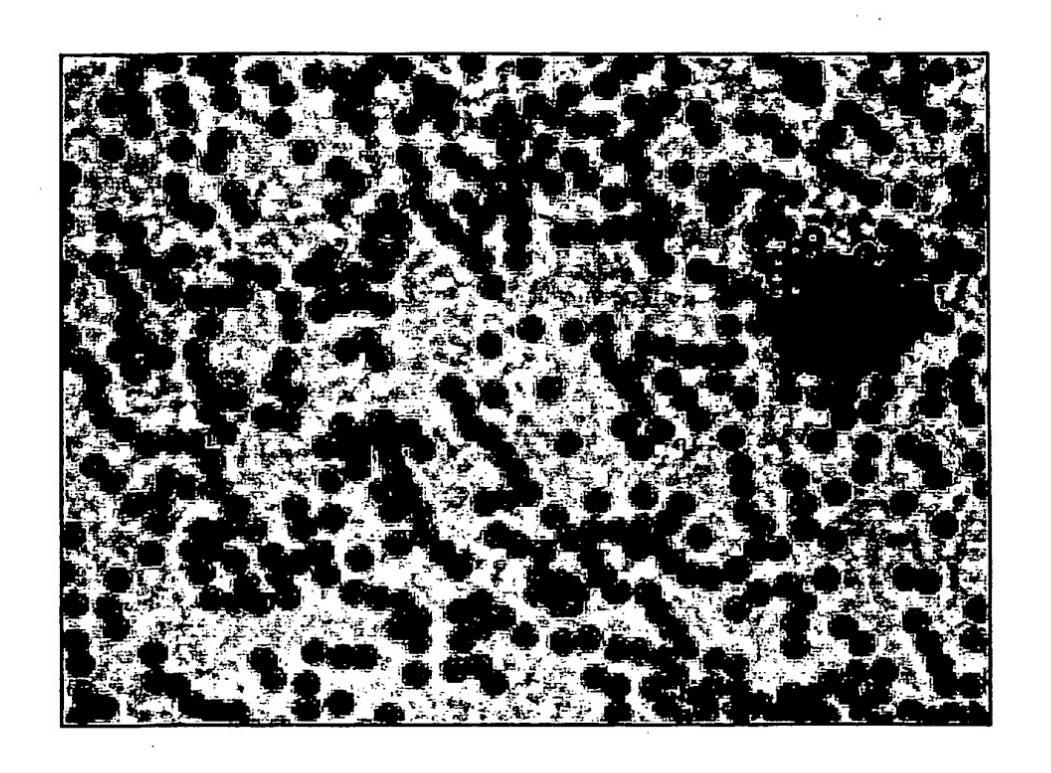


FIG. 6.

# Ensayo de inhibición de liberación de insulina

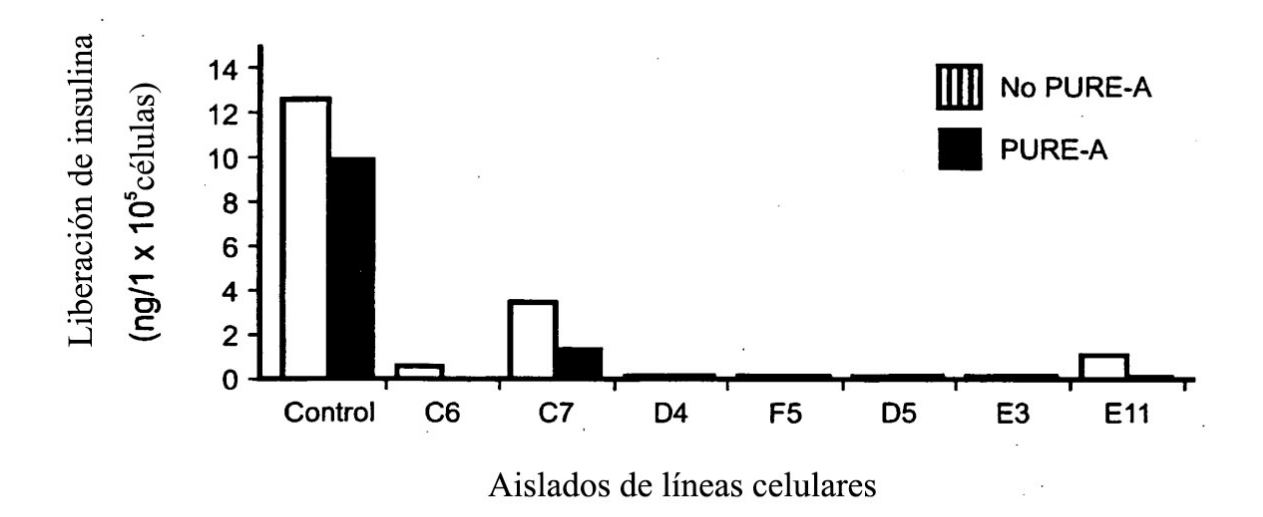


FIG. 7a.

Ensayo de inhibición de liberación de insulina

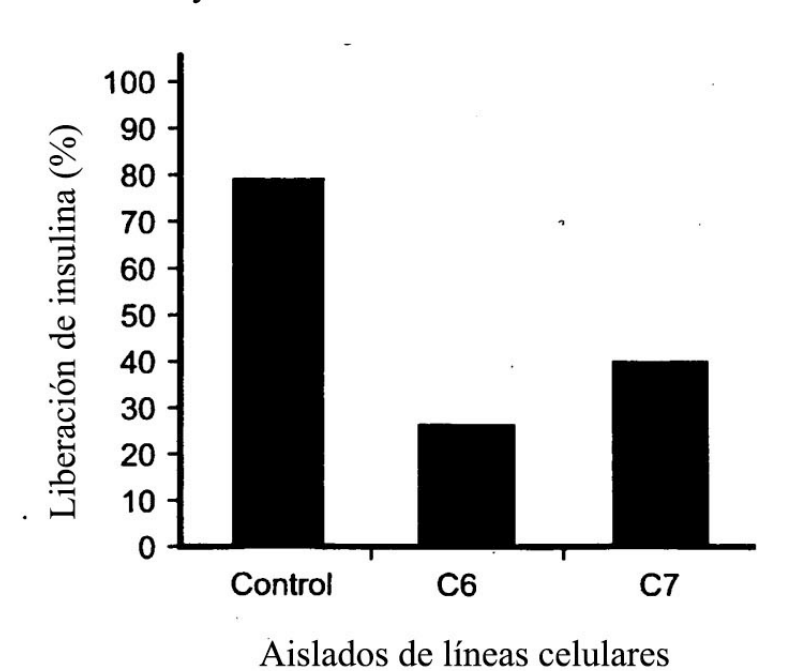


FIG. 7b.

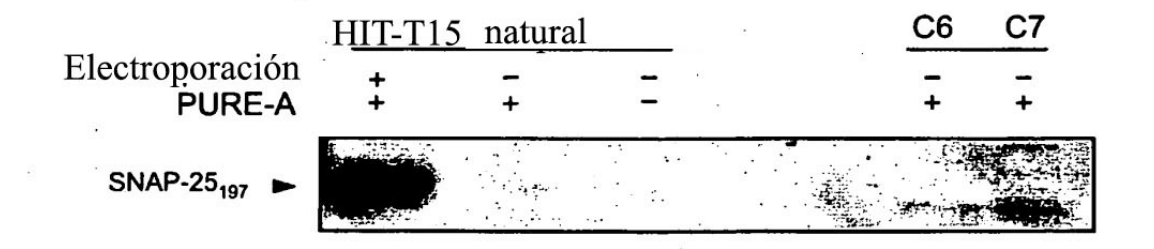
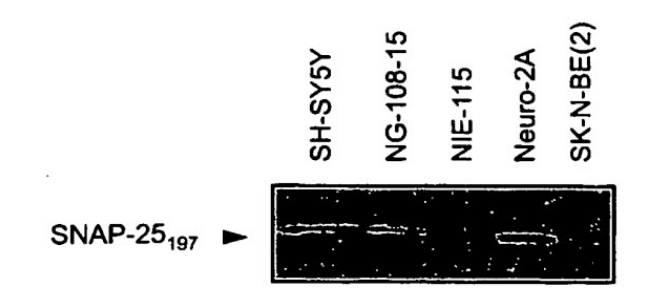
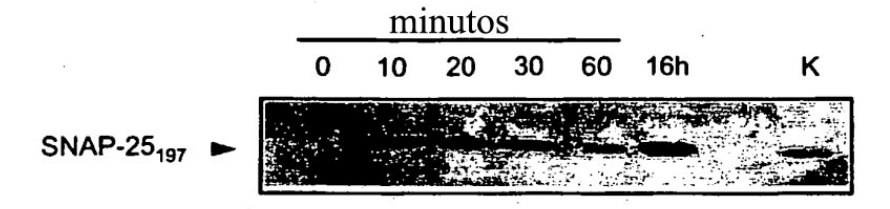


FIG. 8a.

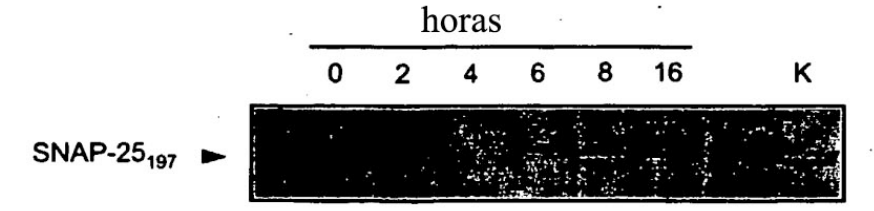


# FIG. 8b.





## SH-SY5Y



# FIG. 8c.

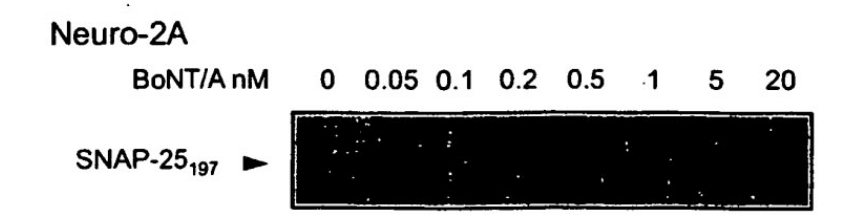
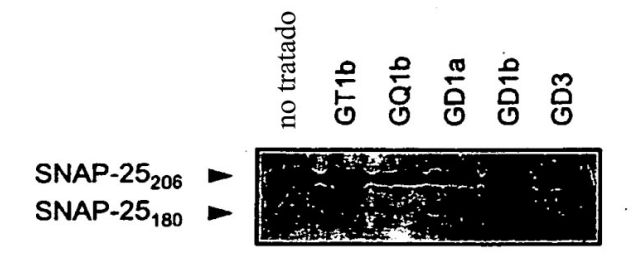


FIG. 9a.

# Concentración de BoNT/A Concentración de BoNT/A 12,5 pM 25 pM 50 pM GT1b - + - + - + - + SNAP-25<sub>197</sub> ►

# FIG. 9b.

## Neuro-2A





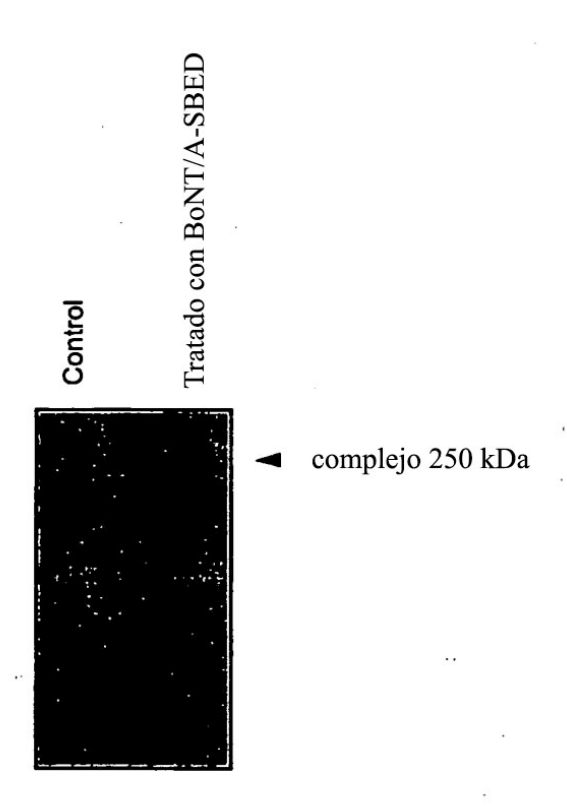


FIG. 10b.

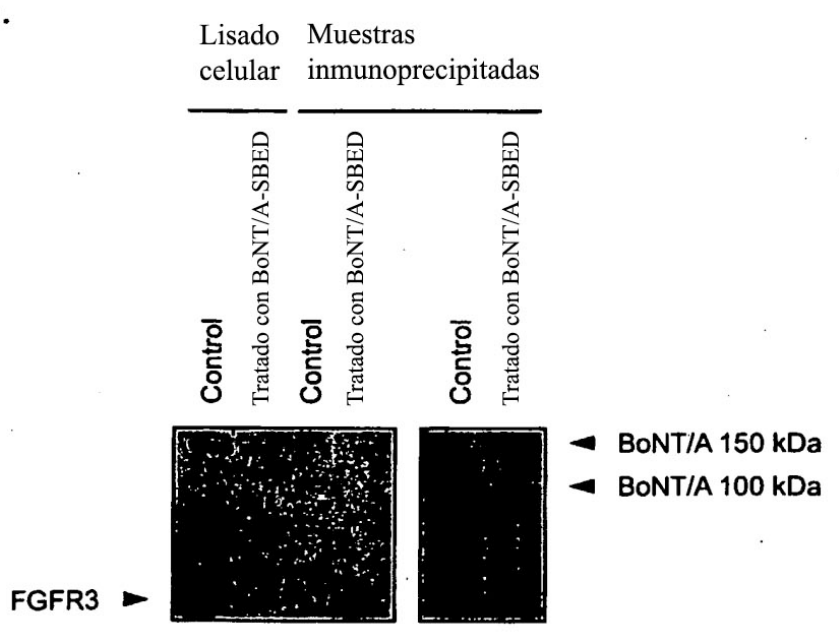


FIG. 11.

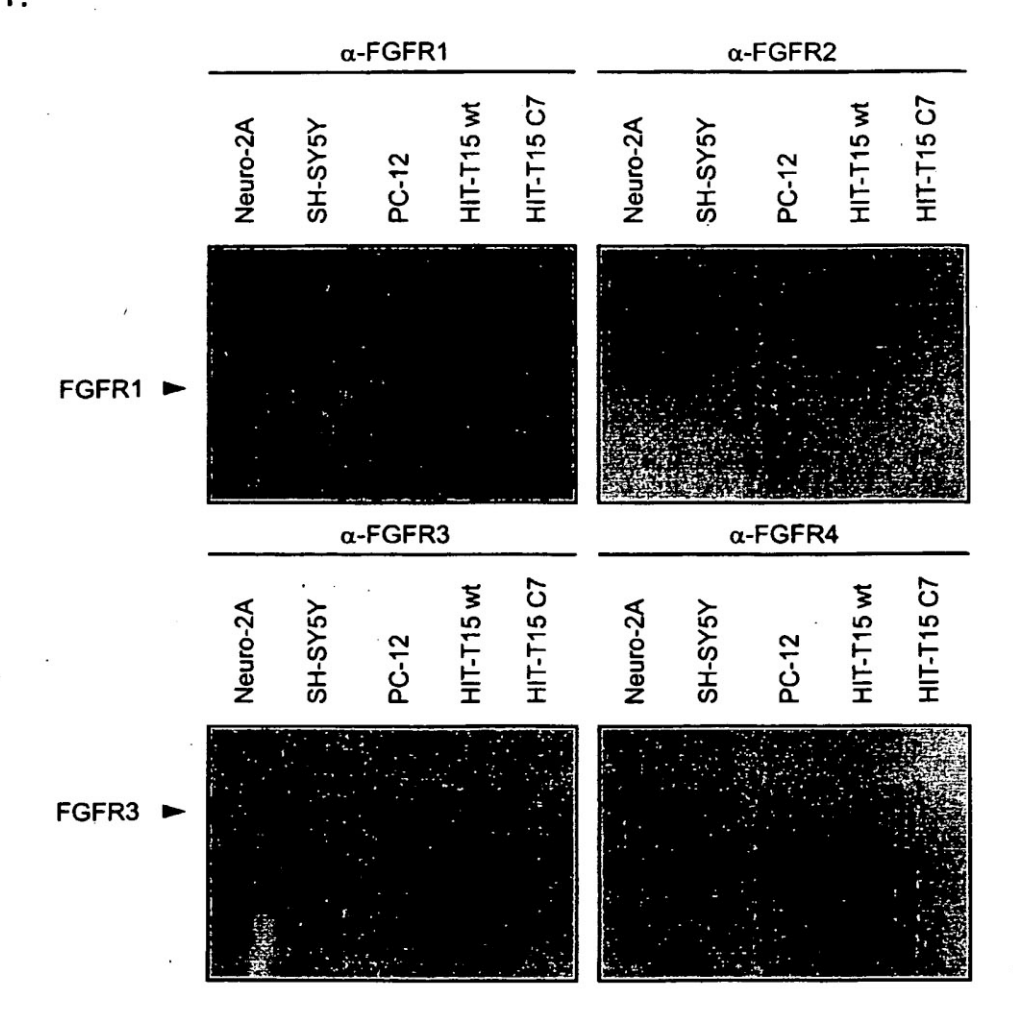


FIG. 12.

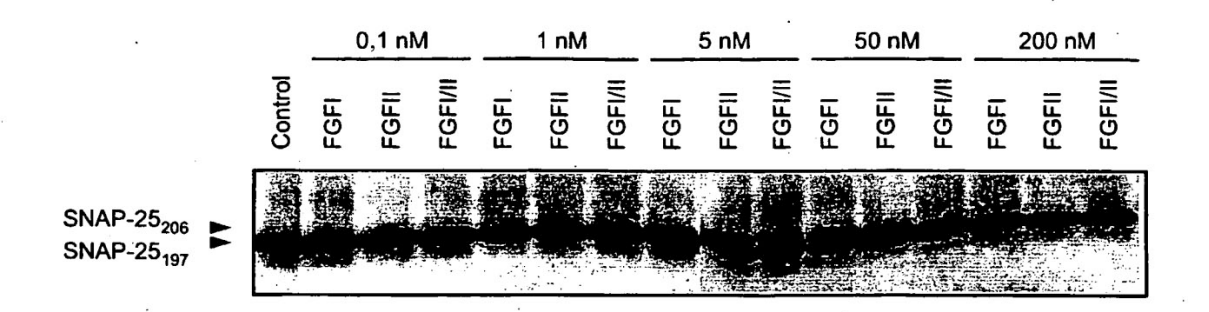


FIG. 13a.

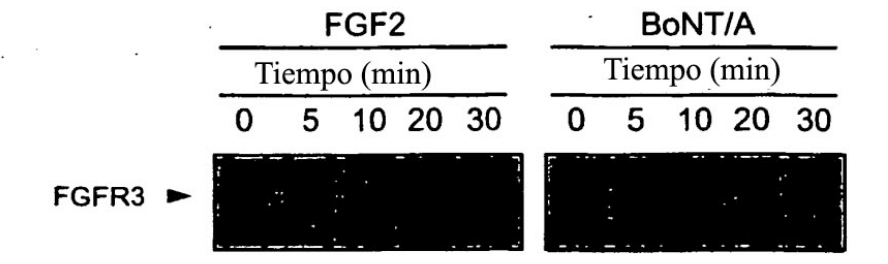


FIG. 13b.

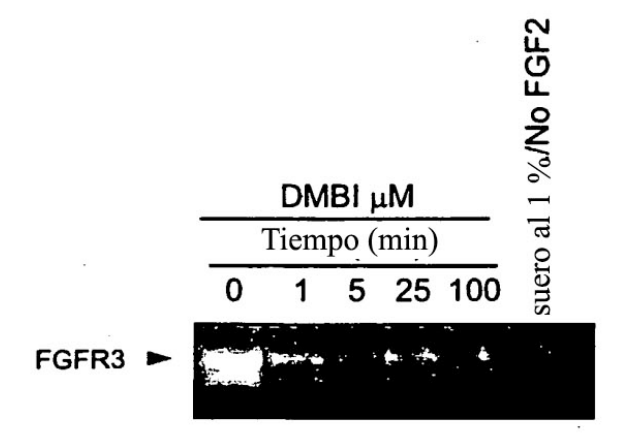


FIG. 13c.

